

**ЕВ\_1941\_AKS\_147**

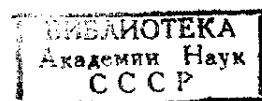
А К А Д Е М И Я Н А У К С О Ю З А С С Р

4332

Акад. А. Н. ЗАВАРИЦКИЙ

ПЕРЕСЧЕТ ХИМИЧЕСКИХ АНАЛИЗОВ  
ИЗВЕРЖЕННЫХ ГОРНЫХ ПОРОД  
И ОПРЕДЕЛЕНИЕ ХИМИЧЕСКИХ  
ТИПОВ ИХ

СПРАВОЧНОЕ ПОСОБИЕ



ИЗДАТЕЛЬСТВО АКАДЕМИИ НАУК СССР  
МОСКВА 1941 ЛЕНИНГРАД

## ПРЕДИСЛОВИЕ

С точки зрения физической химии горная порода представляет гетерогенную многофазную систему.

Если бы мы знали точно, какие фазы и в каком количестве слагают систему, и знали бы состав каждой фазы, то мы без труда определили бы и состав всей системы. Однако, когда приходится иметь дело с горными породами, в большинстве случаев неизвестен точно состав каждой фазы, т. е. каждого минерала, слагающего породу. Не всегда можно определить и относительное их количество, и, наконец, состав стекла, если оно имеется, большей частью остается неопределенным.

Поэтому до сих пор существенной характеристикой вещественного состава горной породы является обыкновенно ее валовой химический состав. При изучении химизма горных пород и природных ассоциаций пород приходится иметь дело главным образом с валовыми анализами, и их сравнение между собою и сопоставление рядов анализов (с целью вывести из этого сопоставления некоторые эмпирические закономерности) является основным методом современных петрохимических, в узком смысле слова, исследований. Цель настоящей книжки — облегчить работу студента, начинающего петролога и химика при изучении состава горных пород в указанном отношении.

Книга является справочным пособием, необходимость которого чувствовалась при преподавании мною петрологии в Ленинградском горном институте. Это и послужило поводом к составлению и изданию такого справочного пособия, выпущенного в свет под названием «Пересчеты химических анализов изверженных горных пород». Это издание оказалось полезным не только для студентов-петрологов и быстро разошлось.

В последние годы метод, изложенный в первом издании «Пересчетов» подвергся дальнейшей разработке, и в настоящей книге он излагается в новом, более совершенном виде. Таблицы для вычисления молекулярных отношений и нормативных минералов исправлены согласно новым данным об атомных весах. Совершенно изменена последняя часть книги, заключавшая числовые характеристики типов химических составов горных пород, выделявшихся разными авторами.

Разными авторами неоднократно подсчитывались средние химические составы различных типов изверженных горных пород, «типов магм» и т. п., и давались их числовые характеристики, вычисленные различным способом. Если сравнить эти средние типы или по непосредственным цифрам анализа, или перечислив анализы по одному какому-нибудь способу, то можно видеть, что носящие одно и то же название «типичные» составы у разных авторов различны. Это лучше всего показывает, насколько субъективным является подбор материала для вычисления таких средних или «типичных» составов. Очень часто эти средние вычисля-

ются из небольшого числа субъективно подобранных анализов, как это можно видеть, например, в типах магм Ниггли. Такие средние больше отражают точку зрения автора, чем действительное соотношение вещей в природе. Кроме того, вообще вычисление средних составов, реально в природе не существующих, имеет только значение вспомогательного приема, полезного для первоначальной ориентировки в химизме горных пород, изучение которых в химическом отношении не может ограничиваться только сравнением с этими средними составами.

Поэтому мне представлялось мало полезным давать, как это было в первом издании, числовые характеристики средних составов пород по разным авторам. Они заменены числовыми характеристиками тех реальных пород, которые получили от описавших их авторов особые названия. Вычисление всех таких характеристик было очень облегчено появлением компендиума Трёгера, где приведены анализы этих пород. Из числовых характеристик средних типов оставлены только характеристики средних типов, составы которых подсчитаны и даны были Дэли. Пользование ими получило, как известно, широкое распространение, и для целей первоначальной ориентировки в химизме горных пород они вполне достаточны.

Приложенные к книге диаграммы дают возможность быстро и объективно решать задачи сравнения химического состава вновь исследованной изверженной горной породы со всеми теми, числовые характеристики которых приведены в последней части этой книги.

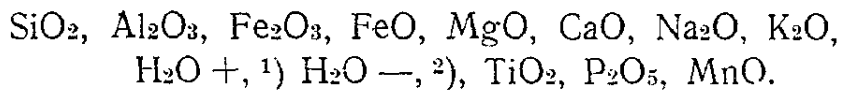
Замена таблиц четвертой части книги новыми потребовала довольно большого труда по перечислению многочисленных анализов и по сведению числовых характеристик в таблице согласно выбранной системе. Приношу искреннюю благодарность Э. А. Струве и Л. Г. Кваша, которые оказали мне помощь в этой части работы.

---

# ВВОДНАЯ ЧАСТЬ

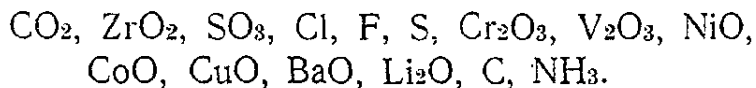
## ПРЕДВАРИТЕЛЬНЫЕ ЗАМЕЧАНИЯ

§ 1. Химический состав изверженной горной породы дается обыкновенно в виде весового процентного содержания окислов:



В среднем для всех изверженных горных пород и для большинства отдельных случаев это составляет 99.5%, и на долю остальных окислов и других соединений приходится не более 0.5%.

В специальных случаях в дополнение к вышеперечисленным окислам определяются:



Порядок цифр анализа, написанный выше, иногда видоизменяют, помещая  $\text{TiO}_2$  между  $\text{SiO}_2$  и  $\text{Al}_2\text{O}_3$ , а  $\text{MnO}$  между  $\text{FeO}$  и  $\text{MgO}$ . Это не представляет ни преимуществ, ни неудобств. Наоборот, для петролога неудобен иногда применяемый химиками порядок, при котором  $\text{CaO}$  помещается перед  $\text{MgO}$  и  $\text{K}_2\text{O}$  перед  $\text{Na}_2\text{O}$ , так как тогда разделяются в колонке анализа столь близкие петрохимически окислы, как  $\text{MgO}$  и  $\text{FeO}$ .

Цифры анализа, как и всякие величины, получающиеся в результате того или другого опыта и измерения, являются цифрами приближенными, и при их определении всегда имеет место некоторая «погрешность» измерения. Обыкновенно цифры анализа даются до второго десятичного знака (0.01%), но эта точность лишь кажущаяся; она отвечает только точности взвешивания при анализе, но отнюдь не действительной точности определения содержания окисла в породе, часто значительно меньшей.

Источники неточности цифр анализа двоякого рода:

1. При отборании образца для анализа мы лишь приблизительно можем представить таким образом средний состав большой массы породы. Если бы последняя была совершенно однородной, например, представляла однородное стекло, то, конечно, каждая взятая часть по составу отвечала бы всей массе, но уже в зернистой породе, состоящей из зерен разных минералов, это соответствие может быть только приближенным. Расчет показывает, что если взять пробу весом в 10 г

<sup>1)</sup> Вода, выделяющаяся при нагревании до 110°.

<sup>2)</sup> Вода, выделяющаяся при нагревании выше 110°, часто вместо нее в анализе дается потеря при прокаливании.

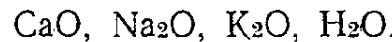
породы, состоящей из зерен размером в 1  $\text{мм}^3$ , то вероятная погрешность для 50%-ного содержания минерала будет 0.5%; для 10%-ного — 0.3%. При размере зерна 0.001  $\text{мм}^3$  соответственные величины погрешности будут 0.16 и 0.01%. Если же размер зерна увеличится до 10  $\text{мм}^3$  (средний диаметр 2.1 мм), то эта погрешность возрастет до 1.5 и 0.9%. В порфировых породах неоднородность породы вызывается наличием вкрапленников (фенокристаллов). Указанную погрешность можно уменьшить, увеличивая размер пробы, но всякому петрографу, детально изучавшему горные породы в поле, известно, что редко вся масса породы настолько однородна, что выбитый образец ее будет обладать в точности тем же составом, как какой-нибудь другой, взятый в недалеком расстоянии. Учесть эту неоднородность породы, проявляющуюся в более крупном масштабе, чрезвычайно затруднительно. Между тем пробы для анализа берутся от отдельных образцов, и таких приемов систематического опробования горных масс, как это мы делаем при изучении месторождений полезных ископаемых, вообще не применяют. Поэтому рассчитывать на очень точное соответствие анализированного образца и значительной массы породы не приходится.

. 2. Другого рода погрешности вносятся при самом производстве анализа. Пределы этой погрешности исследованы такими авторитетами, как Вашингтон, Гиллебранд, Диттрих.<sup>1</sup>

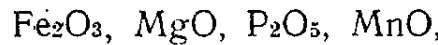
Расхождения в цифрах анализа одной и той же породы для кремнекислоты и других окислов, количество которых составляет 30%, и больше, могут составлять 0.2—0.3%; для окиси алюминия и окислов, составляющих от 10 до 30%, — от 0.1 до 0.2%; для составных частей, входящих в количестве 1—10%, — от 0.05 до 0.1%. Эти числа даны в процентах породы, а не отдельных составных частей.

При этом надо иметь в виду, что вероятные погрешности для разных окислов не всегда являются равно вероятными как в сторону преумышления, так и преувеличения истинного содержания окисла.

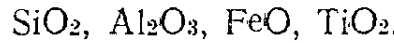
По авторитетному указанию Гиллебранда<sup>2</sup>, равно вероятными в ту и другую сторону являются погрешности аналитического определения



Положительные ошибки преобладают при определении



отрицательные — при определении



При недостаточно тщательной работе аналитические погрешности могут значительно возрасти. Особенно легко могут быть допущены значительные ошибки при определении магнезии и глинозема. Как указывает Вашингтон, в некоторых случаях они достигают 3%. Ошибка в определении магнезии представляет, как указывает Робинсон, обычное явление. Следует иметь в виду также, что в  $\text{Al}_2\text{O}_3$  попадают  $\text{P}_2\text{O}_5$ ,  $\text{ZrO}_2$ ,  $\text{TiO}_2$ , если они не определяются. Неполное выделение  $\text{SiO}_2$ , неполное разложение силиката, неполное промывание  $\text{SiO}_2$  могут повести к преумышлению  $\text{SiO}_2$ . Попадание в осадок вместе с  $\text{Al}_2\text{O}_3$  кремнезема и неправильно проведенное осаждение полуторных окислов дают преувеличенное значение для  $\text{Al}_2\text{O}_3$ .

<sup>1</sup> Об ошибках анализа см. Ю. В. Морачевский. Источники ошибок силикатного анализа. Труды I Совещания химиков. ГГРУ. Ленинград, 1931.

Из сказанного видно, что два анализа одной и той же породы можно считать тождественными, если они совпадают в десятых долях процента, а для кремнезема отклонения могут доходить даже до 0.2—0.3%. Этим определяется также и та точность расчетов, которой следует придерживаться, интерпретируя анализы.

§ 2. Если мы не можем говорить об идентичности двух или нескольких анализов одной и той же породы из одного месторождения, то встретить тождественность анализов одинаковых горных пород из разных месторождений можно только в редких случаях. Чтобы убедиться в этом, достаточно просмотреть сборник анализов Вашингтона или какой-нибудь другой. Поэтому петрографу обыкновенно приходится решать вопрос не о тождестве анализов двух сравниваемых пород, а о большей или меньшей их близости и оценивать численно эту близость.

Каждый анализ горной породы дает количественные отношения между образующими ее окислами; поэтому задача сравнения двух или нескольких анализов и выяснения большей или меньшей близости между ними представляет прежде всего задачу математическую: она сводится к сравнению относительной близости ряда отношений; число этих отношений равно  $n - 1$ , где  $n$  — число определенных и данных в анализе окислов; обычно  $n = 13$ . Из этих 13 определений при приближенных расчетах обыкновенно считаются с главными 8, написанными в первой строке приведенного вначале перечня (стр. 5), т. е. опуская воду и часто, кроме того, присоединяя  $TiO_2$  и  $MnO$  соответственно к  $SiO_2$  и  $FeO$ . Если даже ограничиться этими главными 7 отношениями, то, для того чтобы судить о близости таких рядов отношений, необходимо произвести некоторые простые подсчеты. Эти подсчеты могут быть различными, в зависимости от того, какие особенности химического состава пород считаются имеющими наиболее важное значение. Сущность же этого рода подсчетов сводится к той или иной группировке окислов, и в дальнейшем сравниваются отношения между такими группами окислов. При соединении в группы сходных химически окислов уменьшается число отношений, которое, как сказано, в непосредственных данных анализа не менее 7.

В такого рода арифметических операциях над непосредственными данными анализа и состоят различные так называемые химические классификации горных пород, в которых правильнее следует видеть лишь систематику химических анализов, проведенную по определенному, искусственно выбранному признаку. Нет надобности перечислять все или сколько-нибудь значительное число предложенных способов пересчета анализов, и мы ограничимся здесь изложением двух способов.

1. Так называемая американская классификация Кросса, Иддингса, Персона и Вашингтона (классификация CIPW), с которой приходится иметь дело каждый раз, когда надо подыскать подходящий анализ в известном сборнике анализов Вашингтона.<sup>1</sup> Значение классификации CIPW и заключается именно в том, что она является ключом к этому единственному в своем роде сборнику.

2. Система пересчета, которая, по мнению автора, является наиболее удобной для изображения составов пород в форме диаграммы, и притом такой диаграммы, что каждый из составов изображается на ней вектором в пространстве, а относительное расстояние и расположение таких векторов количественно выражают соотношения между химическими составами пород.

<sup>1</sup> H. S. Washington. Chemical Analyses of Igneous Rocks. U. S. Geol. Surv., Prof. Pap. № 99.

## СИСТЕМА АМЕРИКАНСКОЙ КОЛИЧЕСТВЕННОЙ КЛАССИФИКАЦИИ.

Сущность этой системы заключается в том, что вычисляются такие относительные количества (по весу) некоторых простых соединений, в которых нужно взять эти соединения, чтобы получить состав, одинаковый с составом данной породы. Каждая горная порода представляет смесь минералов, и если бы состав каждого из этих минералов был известен, то, зная количество минералов, мы знали бы и состав породы. Но, как уже было сказано, в огромном большинстве случаев состав минералов, образующих породу, в точности неизвестен. Кроме того, породы одинакового химического состава могут иметь разный минералогический состав в зависимости от условий образования. Поэтому при сравнении химических составов пород (не самих пород) в большинстве случаев мы не можем исходить из их действительного (реального) минералогического состава, и авторы системы CIPW прибегают к искусственному приему представления химического состава в виде смеси упомянутых выше соединений. Эти соединения называются нормативными минеральными молекулами, или «стандартными минералами», а выражение химического состава этих соединений — нормой состава, или виртуальным составом породы. Для каждой нормативной молекулы применяют особое обозначение.<sup>1</sup> Этими молекулами являются:

### Салическая группа SAL

Q . . . . .	$\text{SiO}_2$
C . . . . .	$\text{Al}_2\text{O}_3$
Z . . . . .	$\text{ZrO}_2 \cdot \text{SiO}_2$
or	
ab	
an	
lc	
ne	
kp	
hl	$\text{NaCl}$
th	$\text{Na}_2\text{SO}_4$
nc	$\text{Na}_2\text{CO}_3$

### Фемическая группа FEM

ac		$\text{Na}_2\text{O} \cdot \text{Fe}_2\text{O}_3 \cdot 4\text{SiO}_2$
ns		$\text{Na}_2\text{O} \cdot \text{SiO}_2$
ks		$\text{K}_2\text{O} \cdot \text{SiO}_2$
di		$\text{CaO}(\text{Mg}, \text{Fe})\text{O} \cdot 2\text{SiO}_2$
wo		$\text{CaO} \cdot \text{SiO}_2$
hy		$(\text{Mg}, \text{Fe})\text{O} \cdot \text{SiO}_2$
ol		$2(\text{Mg}, \text{Fe})\text{O} \cdot \text{SiO}_2$
cs		$2\text{CaO} \cdot \text{SiO}_2$
mt		$\text{FeO} \cdot \text{Fe}_2\text{O}_3$
cm	H . . .	$\text{FeO} \cdot \text{Cr}_2\text{O}_3$
hm		$\text{Fe}_2\text{O}_3$
il		$\text{FeO} \cdot \text{TiO}_2$
tn		$\text{CaO} \cdot \text{TiO}_2 \cdot \text{SiO}_2$
pf	T . . .	$\text{CaO} \cdot \text{TiO}_2$
ru		$\text{TiO}_2$

<sup>1</sup> Обыкновенно для этих обозначений употребляют прямой шрифт; мы его заменили курсивом для удобства чтения в дальнейшем изложении правил вычисления виртуального состава (Norm).

<i>ap</i>	$3(\text{CaO} \cdot \text{P}_2\text{O}_5) \cdot \text{CaF}_2$
<i>fr</i>	$\text{CaF}_2$
<i>pr</i>	$\text{FeS}_2$
<i>cc</i>	$\text{CaO} \cdot \text{CO}_2$

Как видно, состав этих соединений отвечает теоретическим идеальным составам различных минералов, почему они и называются «стандартными минералами», а каждый из них называется именем того минерала, теоретический состав которого он представляет. Таким образом, мы можем говорить о количестве нормативного гиперстена, нормативного аортита в химическом составе данной породы, не смешивая их, конечно, с реальными гиперстеном и аортитом в самой породе. Таких реальных минералов в ней может и не быть.

Некоторые из петрографов выражали отрицательное отношение к способу пересчета анализов по системе CIPW. В большинстве случаев возражения сводятся к указаниям на расхождение нормы с реальным минералогическим составом. Это возражение основано на очевидном недоразумении, и в основе его лежит логическая ошибка, известная под названием *ignoratio elenchi*, так как авторы системы никогда не смешивали этих двух различных вещей, а впоследствии Вашингтоном, во избежание этого недоразумения, даже прежний термин «стандартные минералы» был заменен термином «минеральные молекулы». Тем не менее, еще до сих пор можно встретить повторения этих возражений.

Применение системы CIPW есть искусственный прием, преследующий цели определенной систематики химических анализов горных пород, и единственный вопрос, который может возникнуть, состоит в том, насколько труд, который затрачивается на пересчет анализов, оправдывается достижаемыми результатами. На этот вопрос не так легко ответить, но приходится считаться с тем, что этот способ получает все более широкое распространение, и отчетливое знание его должно быть обязательным для всякого петролога.

Порядок вычисления нормы основан на некоторых положениях, которые сводятся к следующим главным правилам.

А. В зависимости от содержания кремнезема различаем случаи:

1) Если в породе  $\text{SiO}_2$  больше, чем нужно для образования наиболее богатых кремнеземом силикатов, то избыток  $\text{SiO}_2$  появляется в виде кварца.

Б. При недостатке кремнезема могут быть три случая:

1) часть гиперстена заменяется оливином;

2) если при полной замене гиперстена оливином все же недостаток кремнезема не покрывается, то часть альбита заменяется нефелином;

3) если недостаток кремнезема настолько велик, что он не покрывается заменой всего гиперстена оливином и всего альбита нефелином, то часть ортоклаза (или даже весь ортоклаз) заменяется лейцитом.

В. В зависимости от содержания глинозема различаем случаи:

1) если молекулярное количество  $\text{Al}_2\text{O}_3 > \text{K}_2\text{O} + \text{Na}_2\text{O} + \text{CaO}$ , избыток глинозема выражается в виде корунда;

2) если  $\text{K}_2\text{O} + \text{Na}_2\text{O} + \text{CaO} > \text{Al}_2\text{O}_3 > \text{K}_2\text{O} + \text{Na}_2\text{O}$ , то глинозем распределяется на образование алюмосиликатов щелочей и извести;

3) если  $\text{K}_2\text{O} + \text{Na}_2\text{O} > \text{Al}_2\text{O}_3$ , то избыток  $\text{Na}_2\text{O}$ , равный разности  $\text{Na}_2\text{O} + \text{K}_2\text{O} - \text{Al}_2\text{O}_3$ , входит в состав акмита.

Из этих правил пересчета вытекает, что совместно в норме не могут присутствовать:

<i>Q</i>	вместе с	<i>ol ne lc</i>
<i>hy</i>	"	<i>ne lc</i>
<i>lc</i>	"	<i>ab</i>
<i>C</i>	"	<i>di ac</i>
<i>an</i>	"	<i>ac</i>

Кроме того, как увидим, *wo* не может быть вместе с *hy* или *ol*. Отсюда вытекают характерные ассоциации в норме:

	$\text{Al}_2\text{O}_3 > \text{K}_2\text{O} + \text{Na}_2\text{O} + \text{CaO}$	$\text{K}_2\text{O} + \text{Na}_2\text{O} + \text{CaO} > \text{Al}_2\text{O}_3 > \text{K}_2\text{O} + \text{Na}_2\text{O}$	$\text{K}_2\text{O} + \text{Na}_2\text{O} > \text{Al}_2\text{O}_3$
Избыток $\text{SiO}_2$	<i>Q or ab an C</i>  <i>hy</i>	<i>Q or ab an</i>  <i>di hy</i>	<i>Q or ab</i>  <i>ac di hy</i>
$\text{SiO}_2$ нехватает для образования гиперстена	<i>or ab an C</i>  <i>hy ol</i>	<i>or ab an</i>  <i>di hy ol</i>	<i>or ab</i>  <i>ac di hy ol</i>
$\text{SiO}_2$ нехватает для образования альбита	<i>or ab ne an C</i>  <i>ol</i>	<i>or ab ne an</i>  <i>di ol</i>	<i>or ab ne</i>  <i>ac di ol</i>
$\text{SiO}_2$ нехватает для образования ортоклаза	<i>or lc ne an C</i>  <i>ol</i>	<i>or lc ne an</i>  <i>di ol</i>	<i>or lc ne</i>  <i>ac di ol</i>

### Вычисление виртуального состава или нормы

1. Вычисляется молекулярное количество<sup>1</sup> каждого окисла, входящего в породу. Оно получается делением процентного весового количества на молекулярный вес окисла. Для упрощения этого действия имеются таблицы, данные ниже (табл. I, стр. 44—50).

2. Количества  $\text{MnO}$  и  $\text{NiO}$  присоединяются к  $\text{FeO}$ , а количество  $\text{BaO}$  и  $\text{SrO}$  к  $\text{CaO}$ .

За. Количество  $\text{CaO}$ , равное  $3.33 \text{ P}_2\text{O}_5$  (или  $3\text{P}_2\text{O}_5$  и  $0.33 \text{ F}$ , если последний имеется), соединяется с  $\text{P}_2\text{O}_5$  в *ap*.

Зб. Количество  $\text{Na}_2\text{O}$ , равное  $\text{Cl}_2$ , соединяется с ним в *hl*.

Зс. Количество  $\text{Na}_2\text{O}$ , равное  $\text{SO}_3$ , соединяется в *th*. Правило применяется для пород, содержащих минералы гаюиновой группы.

Зд. Количество  $\text{FeO}$ , равное половине  $\text{S}$ , соединяется с ней в *rg*.

Зе. Количество  $\text{FeO}$ , равное  $\text{Cr}_2\text{O}_3$ , соединяется с ним в *ct*.

Зф. Количество  $\text{FeO}$ , равное  $\text{TiO}_2$ , соединяется с ним в *il*. Если получается избыток  $\text{TiO}_2$ , то вместе с равным количеством  $\text{CaO}$  он соединяется для подсчета впоследствии (по правилу 8а) в *th*, но соединение  $\text{CaO}$  с  $\text{TiO}_2$  делается только после соединения  $\text{CaO}$  и  $\text{Al}_2\text{O}_3$  в *an* (правило 4). Если и после этого остается избыток, он рассчитывается, как *gi*.

<sup>1</sup> В дальнейшем изложении правила расчета оно называется просто количеством

3g. Количество CaO, равное половине оставшегося F, соединяется с ним в *fr*.

3h. Если в свежей породе присутствует канкринит, то количество Na<sub>2</sub>O, равное CO<sub>2</sub>, соединяется с ним в *ps*. Если в породе есть первичный кальцит, то количество CaO, равное CO<sub>2</sub>, соединяется в *cc*.

3i. ZrO<sub>2</sub> выписывается для образования впоследствии (правило 8a) *Z*.

4a. Количество Al<sub>2</sub>O<sub>3</sub>, равное K<sub>2</sub>O, соединяется для образования впоследствии (правило 8a) *or* или *ab*.

4b. Если имеется избыток K<sub>2</sub>O по сравнению с Al<sub>2</sub>O<sub>3</sub> (крайне редко), он рассчитывается на *ks*.

4c. Избыток Al<sub>2</sub>O<sub>3</sub>, остающийся после соединения с K<sub>2</sub>O, соединяется с равным количеством оставшегося Na<sub>2</sub>O для образования впоследствии (по правилу 8а и след.) *ab* и *an*. Если для этого Al<sub>2</sub>O<sub>3</sub> недостаточно, то поступают по правилу 4g.

4d. Если имеется избыток Al<sub>2</sub>O<sub>3</sub> по сравнению с суммой K<sub>2</sub>O + Na<sub>2</sub>O, то он соединяется с равным количеством CaO для образования *an*.

4e. Если после этого остается избыток Al<sub>2</sub>O<sub>3</sub> по сравнению с CaO, он рассчитывается в виде *C*.

4f. Если же имеется избыток CaO по сравнению с Al<sub>2</sub>O<sub>3</sub>, полученным по правилу 4d, он идет в фемическую группу для образования (по правилам 7a и 7b) *di* и *wo*.

4g. Если по правилу 4c получается избыток по сравнению с Al<sub>2</sub>O<sub>3</sub>, он сохраняется для образования *ac* и в некоторых случаях *ns* (правила 5a и 5b). В этих случаях не может быть *an* в виртуальном составе.

5a. Количество Fe<sub>2</sub>O<sub>3</sub>, равное избытку Na<sub>2</sub>O сравнительно с Al<sub>2</sub>O<sub>3</sub> (по правилу 4g), соединяется с этим избытком для образования *ac*.

5b. Если в редких случаях имеется избыток Na<sub>2</sub>O по сравнению с Fe<sub>2</sub>O<sub>3</sub>, он рассчитывается в *ns*.

5c. Если, как это бывает обыкновенно, остается избыток Fe<sub>2</sub>O<sub>3</sub> над оставшимся Na<sub>2</sub>O, его вместе с равным количеством FeO из оставшегося после образования *pr* и *ll* (правила 3d, 3e и 3f) соединяют в *mt*.

5d. Если имеется еще избыток Fe<sub>2</sub>O<sub>3</sub>, он рассчитывается в виде *hm*.

6. Все количество MgO и FeO, оставшееся от предыдущих операций (по правилам 3d, 3e, 3f), соединяется вместе и для будущих расчетов определяется их отношение.

7a. К количеству CaO, оставшемуся после соединения по правилу 4d, прибавляется равное количество MgO + FeO, взятых в отношении, определенном в предыдущем правиле 6, для образования *di*.

7b. Если получается избыток CaO, он идет впоследствии для образования *wo* или *cs*.

7c. Если получается избыток MgO + FeO по сравнению с количеством, нужным для образования *di* (правило 7a), то он пойдет для образования *hy* или *ol*.

Теперь все окислы, за исключением SiO<sub>2</sub>, распределены или в уже подсчитанные нормативные минеральные молекулы, или в основании силикатовых молекул, которые мы получим, распределяя между этими основаниями SiO<sub>2</sub> по следующим правилам.

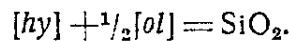
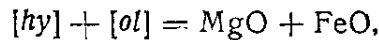
8a. Соединяем равные количества SiO<sub>2</sub> и ZrO<sub>2</sub>, образуя *Z* (правило 3i); количество, равное CaO и TiO<sub>2</sub>, образует *tn*; равное учетверенному избытку Na<sub>2</sub>O и Fe<sub>2</sub>O<sub>3</sub>, образует *ac* (правило 5a); если имеется еще дальше избыток Na<sub>2</sub>O и K<sub>2</sub>O, то равное ему количество SiO<sub>2</sub> входит в *ns* и *ks* (по правилам 4b и 5b). Соединяем шестерное количество SiO<sub>2</sub> с K<sub>2</sub>O и Al<sub>2</sub>O<sub>3</sub>, образуя *or* (правило 4a); и с Na<sub>2</sub>O и Al<sub>2</sub>O<sub>3</sub>, образуя *ab* (правило 4c); удвоенное количество с CaO и Al<sub>2</sub>O<sub>3</sub>, образуя *an* (правило 4d); равное количество с CaO + (MgFe)O, образуя *di* (правило 7a),

с избытком CaO, образуя wo (правило 7b), или с (Mg, Fe)O, образуя hy (правило 7c).

Распределенное так количество кремнекислоты вычитается из общего его количества.

8b. Если имеется избыток SiO<sub>2</sub>, как это нередко бывает, он рассчитывается в Q.

8c. Если оказывается недостаток SiO<sub>2</sub> при образовании соединений по правилу 8a, то SiO<sub>2</sub>, которое пошло на образование hy (правило 7c), вычитается из общей суммы SiO<sub>2</sub>, входящей в соединения, полученные по правилу 8a, и этот остаток вычитается из общего количества SiO<sub>2</sub>. Если теперь получится избыток SiO<sub>2</sub>, больший, чем половина SiO<sub>2</sub>, входившего в вычисленный раньше hy, то он соединяется с MgO и FeO, распределяясь по молекулам hy и ol, которые можно определить из следующих уравнений:



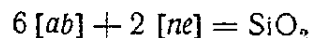
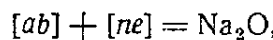
Здесь [hy] и [ol] обозначают число молекул hy и число молекул ol. Прямые скобки [ ] для такого обозначения мы сохраним и в дальнейшем изложении правил вычисления нормы.

При этой операции сохраняется отношение MgO и FeO, определенное по правилу 6.

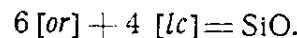
Если нехватает SiO<sub>2</sub> для образования hy и ol, то образуем только ol, соединяя с MgO + FeO вдвое меньшее количество SiO<sub>2</sub>.

8d. Если и для этого нехватает SiO<sub>2</sub>, отнимаем его от tn, превращая последний в pf.

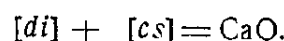
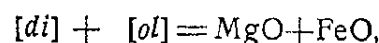
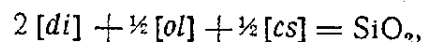
8e. Если после предыдущей операции окажется, что общего количества SiO<sub>2</sub> недостаточно для образования (по правилу 8a) молекул or и ab, то, вместо образования ab, вычисленное для него количество Na<sub>2</sub>O распределяется в молекулы ab и ne, вычисляемые из следующих уравнений:



8f. Если количество SiO<sub>2</sub> окажется недостаточным даже после превращения всего ab и ne, то, вместо одного только or, вычисляем or и lc или даже только lc, решая такие уравнения:



8g. Если нехватает SiO<sub>2</sub> даже для соединения всего Na<sub>2</sub>O в ne и всего K<sub>2</sub>O в lc, то необходимо распределить CaO, вошедшее в wo и di между ними, с одной стороны, и cs и ol, с другой. При этом могут быть два случая: 1) может быть достаточно одного перечисления wo в cs, 2) этого может оказаться недостаточным или wo совсем нет. Чаще бывает второй случай. Тогда, по образовании lc, ne, an, ac и ol по правилу 8c, а в некоторых случаях может быть также Z и ns, нужное для этого количества SiO<sub>2</sub> вычитается из общего количества. Из полученного остатка SiO<sub>2</sub> из (Mg, Fe)O, отведенного для образования di, и из CaO, входящего в di и wo, можно вычислить число молекул di, ol и cs, решая следующие уравнения:



В случае, если пересчета  $wo$  на  $cs$  достаточно для покрытия недостатка  $SiO_2$ , то  $di$  остается неприкосновенным, и недостаток кремнекислоты покрывается пересчетом части или всего  $wo$  и  $cs$ .

8h. В крайне редких случаях, когда после всех указанных пересчетов все-таки  $SiO_2$  недостаточно для образования  $Ic$ , приходится  $Ic$  частью заменять  $kp$ . Количества  $Ic$  и  $kp$  при этом получаются из уравнений:

$$[Ic] + [kp] = K_2O$$

$$4[Ic] + 2[kp] = SiO_2$$

где  $SiO_2$  представляет то его количество, которое остается для образования  $Ic$  и  $kp$ .

9. Распределив  $SiO_2$  и все остальные составные части породы в нормативные молекулы, вычисляют количество последних в весовых процентах, для чего служат специальные таблицы, помещенные ниже. Таким образом, получается виртуальный состав.

Недавно предложено внести некоторые видоизменения в расчеты виртуального состава. Барт предлагает, вместо вычисления  $di$ ,  $hy$  и  $ol$ , заменить их  $wo$ ,  $en$  ( $=MgSiO_3$ ),  $hy$  [понимая под последним не  $(Fe, Mg)O \cdot SiO_2$ , а  $FeO \cdot SiO_2$ ];  $fo=Mg_2SiO_4$  и  $fa=Fe_2SiO_4$ . Этим устраивается смешение Fe и Mg, бывшее в первоначальной системе. Тилли считает нерациональным исключение  $di$ , но за разделение Fe и Mg; Вашингтон согласился с этим разделением, предложив вместо  $hy$  Барта обозначение  $fs$  (ферросиликат  $FeSiO_3$ ).

Как видим, эти нововведения не меняют существа вычисления виртуального состава.

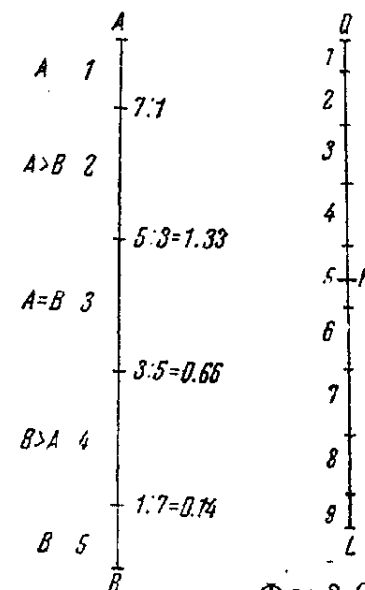
### Символ состава и схема классификации CIPW

Из виртуального состава вычисляется символ состава породы, который и определяет ее положение в классификации. Этот символ находится таким образом.

Прежде всего определяется класс по величине отношения SAL к FEM; таких классов пять. В первых трех, у которых отношение SAL : FEM больше  $\frac{3}{5}$ , деление на порядки определяется отношением салических нормативных молекул. В классах IV и V определяются соотношения фемических нормативных молекул. Дальше определяются ранги: в первых трех классах ранги определяются отношением молекулярных количеств щелочей и извести, входящих в салические элементы, а в классах IV и V — отношением  $(Mg, Fe)O : CaO$ , входящих в фемические составные части.

Наконец, субранги первых трех классов определяются молекулярными отношениями  $K_2O : Na_2O$  салических элементов и в двух последних классах отношением  $MgO : FeO$  элементов фемических.

Пределы величин отношений при всех этих подразделениях принимаются одинаковыми, именно: 7 : 1; 5 : 3; 3 : 5; 1 : 7, или в десятичных дробях: 7.00; 1.33; 0.66; 0.14, т. е. пределы содержаний групп минеральных молекул в процентах: 100—87,5%; 87,5—62,5%; 62,5—37,5%; 37,5—12,5% и 12,5—0%. Графически это изображается схемой на фиг. 1.



Фиг. 1. Схема порядков классов системы CIPW

Фиг. 2. Схема порядков первых трех классов системы CIPW

Для классов I, II и III деление на порядки основано на отношении  $Q:F$  и  $F:L$ . Так как  $Q$  и  $L$  совместно не могут находиться в норме, то можно все порядки расположить в один ряд, причем получится девять порядков, как это изображено на схеме фиг. 2.

Символ состава представляет четыре цифры, показывающие последовательно класс, порядок, ранг и субранг, к которым относится данный состав; при этом первая цифра (номер класса) римская, остальные арабские. Например: II.5.1.4 означает состав породы, относящийся ко второму классу, пятому порядку, первому рангу и четвертому субрангу.

Если обозначить величину отношения  $A:B$  сокращенно таким образом, что

$$\begin{aligned} A:B > 7:1, \text{ то ставим знак } A \\ 7 > A:B > 5:3 & " " " A > B \\ 5:3 > A:B > 3:5 & " " " A = B \\ 3:5 > A:B > 1:7 & " " " B > A \\ 1:7 > A:B & " " " B \end{aligned}$$

то при помощи этих обозначений можно количественную классификацию CIPW представить тоже в виде схемы фиг. 3, по которой легко определить символ. В этой схеме буквы обозначают группы минеральных молекул, согласно таблице на стр. 8.

#### Н о р м а

Класс	Подкласс	Порядок	Подпорядок	Ранг	Субранг
I SAL		1 Q 2 Q>F		1-2 Alk'>CaO' 3 Alk'=CaO' 4-5 Alk'<CaO'	1-2 K <sub>2</sub> O'>Na <sub>2</sub> O' 3 K <sub>2</sub> O'=Na <sub>2</sub> O' 4-5 K <sub>2</sub> O'<Na <sub>2</sub> O'
II SAL>FEM	(I) QFL (II) QFL>CZ	3 Q=F 4 Q<F 5 F		1 Alk' 2 Alk'>CaO' 3 Alk'=CaO'	1 K <sub>2</sub> O' 2 K <sub>2</sub> O'>Na <sub>2</sub> O' 3 K <sub>2</sub> O'=Na <sub>2</sub> O' 4 K <sub>2</sub> O'<Na <sub>2</sub> O' 5 Na <sub>2</sub> O'
III SAL=FEM	(III) QFL=CZ	6 F>L 7 F=L (IV) QFL<CZ (V) CZ		4 Alk'<CaO' 5 CaO'	1-2 K <sub>2</sub> O'>Na <sub>2</sub> O' 3 K <sub>2</sub> O'=Na <sub>2</sub> O' 4-5 K <sub>2</sub> O'<Na <sub>2</sub> O'
IV SAL<FEM	(I) POM (II) POM>A (III) POM=A	8 F<L 9 L 1 PO 2 PO>M 3 PO=M	(1) P (2) P>O (3) P=O (4) P<O (5) O	1 (MgFe) O 2 (MgFe) O>CaO' 3 (MgFe) O=CaO'	1 MgO' 2 MgO'>FeO' 3 MgO'=FeO' 4 MgO'<FeO' 5 FeO'
V FEM	(IV) POM<A (V) A	4 PO<M 5 M	(1-2) P>O (3) P=O (4-5) P<O	4 (MgFe) O<CaO' 5 CaO'	1-2 MgO'>FeO' 3 MgO'=FeO' 4-5 MgO'<FeO'

Фиг. 3 Схема количественной классификации CIPW

Заметим, что для определения класса, подкласса, порядка и подпорядка мы пользуемся отношениями весовых количеств минеральных молекул нормы («нормативных минералов»), а для определения ранга и субранга — молекулярными отношениями.

Авторами системы CIPW были предложены специальные названия для разных подразделений этой классификации. Названия эти при наличии символа состава являются в сущности излишними, и приводить их мы здесь не будем.

Для пояснения всего сказанного приводим примеры расчета химического состава по методу CIPW. Из этих примеров (1, 2, 3 и 4) видно, что вычисление виртуального состава в каждом отдельном случае гораздо проще, чем это может показаться на первый взгляд из изложенных выше правил для его вычисления, и уже при самом небольшом наработке и при пользовании таблицами, помещенными в дальнейшем, отнимает немного времени.

Пример 1. Гранит. Исполиновые горы

Окислы	Вес. содерж. (в %)	Молек. кол. <sup>1</sup>	or	ab	an	mt	di	hy	Q	
SiO <sub>2</sub>	71.53	1.192	252	252	98	—	16	33	541	$\frac{SAL}{FEM} = \frac{91.5}{6.8} = 13.4$
Al <sub>2</sub> O <sub>3</sub>	13.55	.133	42	42	49	—	—	—	—	$Q = \frac{32.5}{59} = 0.55$
Fe <sub>2</sub> O <sub>3</sub>	1.20	.007	—	—	—	7	—	—	—	$\frac{K_2O + Na_2O}{CaO'} = \frac{84}{49} = 1.71$
FeO	0.88	.012	—	—	—	7	1	4	—	$K_2O = \frac{12}{42} = 1$
MgO	1.45	.036	—	—	—	—	7	29	—	$Na_2O = \frac{42}{42} = 1$
CaO	3.21	.057	—	—	49	—	8	—	—	Символ I.4.2.3
Na <sub>2</sub> O	2.61	.042	—	42	—	—	—	—	—	
K <sub>2</sub> O	3.95	.042	42	—	—	—	—	—	—	
H <sub>2</sub> O	1.75	—	—	—	—	—	—	—	—	
Сумма	100.13	—	23.4	22.0	13.6	1.6	<i>wo</i> 0.93 <i>en</i> 0.70 <i>fs</i> 0.13	<i>en</i> 2.9 <i>fs</i> 0.53	32.5	
							1.8	hy 3.4		

Пример 2. Диорит. Крэзи Маунтинс

Окислы	Вес. содерж. (в %)	Молек. кол.	il	ap	or	ab	an	mt	di	hy	ol
SiO <sub>2</sub>	50.73	846	—	—	120	390	222	—	52	37	25
Al <sub>2</sub> O <sub>3</sub>	19.99	196	—	—	20	65	111	—	—	—	$\frac{SAL}{FEM} = \frac{76.1}{23.1} = 3.27$
Fe <sub>2</sub> O <sub>3</sub>	3.20	020	—	—	—	—	—	20	—	—	
FeO	4.66	066	20	—	—	—	—	20	6	9	$K_2O + Na_2O = \frac{85}{111} = 0.77$
MgO	3.48	087	—	—	—	—	—	—	20	28	39
CaO	8.55	155	—	18	—	—	111	—	26	—	
Na <sub>2</sub> O	4.03	065	—	—	—	65	—	—	—	—	$K_2O = \frac{20}{65} = 0.31$
K <sub>2</sub> O	1.89	020	—	—	20	—	—	—	—	—	
TiO <sub>2</sub>	1.59	020	20	—	—	—	—	—	—	—	
P <sub>2</sub> O <sub>5</sub>	0.81	006	—	6	—	—	—	—	—	—	
H <sub>2</sub> O	0.77	—	—	—	—	—	—	—	—	—	Символ II.5.3.4
Сумма	99.70	—	3.0	2.0	11.1	34.1	30.9	4.6	<i>wo</i> 3.02 <i>en</i> 2.80 <i>fs</i> 1.19 <i>fs</i> 0.79 <i>di</i> 5.8	<i>fo</i> 2.67 <i>fa</i> 1.03 <i>hy</i> 4.0 <i>ol</i> 3.7	

После образования *di* остается

$$MgO + FeO = 87, SiO_2 = 62,$$

откуда

$$[hy] + [ol] = 87, [hy] + \frac{1}{2}[ol] = 62, \\ [hy] = 37, [ol] = 50.$$

<sup>1</sup> Нули перед точкой при этом отбрасываются.

Пример 3. Сиенит-пегматит. Стокзунд, Норвегия

Окислы	Вес. содержк. (в %)	Молек. кол.	<i>or</i>	<i>ad</i>	<i>ne</i>	<i>an</i>	<i>mt</i>	<i>bi</i>	<i>ol</i>	
$\text{SiO}_2$ . . .	53.81	897	294	420	110	38	—	24	10	$\frac{\text{SAL}}{\text{FEM}} = \frac{84.8}{13.4} = 6.33$
$\text{Al}_2\text{O}_3$ . . .	19.69	193	49	70	55	19	—	—	—	$L = \frac{45.6}{69.2} = 0.23$
$\text{Fe}_2\text{O}_3$ . . .	6.20	039	—	—	—	—	39	—	—	$\frac{\text{K}_2\text{O} + \text{Na}_2\text{O}}{\text{CaO}} = \frac{174}{19} = 9.17$
$\text{FeO}$ . . .	3.63	050	—	—	—	—	39	4	7	$\frac{\text{K}_2\text{O}}{\text{Na}_2\text{O}} = \frac{49}{125} = 0.39$
$\text{MgO}$ . . .	0.85	021	—	—	—	—	—	8	13	
$\text{CaO}$ . . .	4.73	031	—	—	—	19	—	12	—	
$\text{Na}_2\text{O}$ . . .	7.77	125	—	70	55	—	—	—	—	
$\text{K}_2\text{O}$ . . .	4.58	049	49	—	—	—	—	—	—	
Сумма . .	99.79	—	27.2	36.7	15.6	5.3	9.1	<i>wo</i> 1.39	<i>fo</i> 0.91	Символ (I) II.6.1.4
								<i>an</i> 0.80	<i>fa</i> 0.71	
								<i>fs</i> 0.53	<i>ol</i> 1.6	
								<i>di</i> 2.7		

После образования *or* остаток  $\text{SiO}_2 = 603$ ; его недостает для образования *ab* из всего  $\text{Na}_2\text{O}$  ( $125 \times 6 = 800$ ), следовательно, в виртуальном составе будет *ne*. После образования *an*, *di* и *ol* остается  $\text{SiO}_2 = 531$ ; количества *ab* и *ne* найдутся из уравнений

$$[ab] + [ne] = 125, \quad 6[ab] + 2[ne] = 531,$$

откуда

$$[ab] = 70; \quad [ne] = 55.$$

Пример 4. Лейцитовый базанит. Лава Везувия, 1872 г.

Окислы	Вес. содержк. (в %)	Молек. кол.	<i>ap</i>	<i>or</i>	<i>lc</i>	<i>ne</i>	<i>an</i>	<i>mt</i>	<i>di</i>	<i>ol</i>	
$\text{SiO}_2$ . .	47.65	794	—	144	224	90	128	—	170	37	$\frac{\text{SAL}}{\text{FEM}} = \frac{68.3}{30.9} = 2.21$
$\text{Al}_2\text{O}_3$ . .	19.28	189	—	24	56	45	64	—	—	—	$L = \frac{37.2}{31.1} = 1.19$
$\text{Fe}_2\text{O}_3$ . .	2.63	016	—	—	—	—	—	16	—	—	$\frac{\text{K}_2\text{O} + \text{Na}_2\text{O}}{\text{CaO}} = \frac{125}{64} = 1.95$
$\text{FeO}$ . .	6.48	090	—	—	—	—	—	16	40	34	$\frac{\text{K}_2\text{O}}{\text{Na}_2\text{O}} = \frac{80}{15} = 1.78$
$\text{MgO}$ . .	3.40	085	—	—	—	—	—	—	45	40	
$\text{CaO}$ . .	9.01	161	12	—	—	—	64	—	85	—	
$\text{Na}_2\text{O}$ . .	2.78	045	—	—	—	45	—	—	—	—	
$\text{K}_2\text{O}$ . .	7.47	080	—	24	56	—	—	—	—	—	
$\text{P}_2\text{O}_5$ . .	0.50	004	4	—	—	—	—	—	—	—	
$\text{H}_2\text{O}$ . .	0.24	—	—	—	—	—	—	—	—	—	
Сумма . .	99.44	—	1.3	13.3	24.4	12.8	17.8	3.7	<i>wo</i> 9.8	<i>fo</i> 2.8	Символ II.7.2.2
									<i>en</i> 4.5	<i>fa</i> 3.5	
									<i>fs</i> 5.3	<i>ol</i> 6.3	
									<i>di</i> 19.6		

Для образования щелочных алюмосиликатов пойдет 125 молекул  $\text{Al}_2\text{O}_3$  и 64 останется на *ap*, который возьмет 128  $\text{SiO}_2$ , остается 666  $\text{SiO}_2$ . Далее после образования *di* и *ol* остается 458  $\text{SiO}_2$ . Этого количества хватит только, если имеем комбинацию *ol*, *lc* и *ne*. Количество *or* и *lc* определяются из уравнений:

$$[or] + [lc] = 80; \quad 6[or] + 4[lc] = 369,$$

откуда

$$[or] = 24; \quad [lc] = 56.$$

**ПРОСТЕЙШАЯ ЧИСЛОВАЯ ХАРАКТЕРИСТИКА ХИМИЧЕСКИХ СОСТАВОВ ГОРНЫХ ПОРОД В ВИДЕ ГРУПП НЕ БОЛЕЕ ЧЕМ ТРЕХ ОТНОШЕНИЙ**

Как уже было сказано (стр. 7), при сравнении химического состава горных пород приходится решать вопрос не столько о тождестве двух рассматриваемых составов, сколько об их относительной близости и о том направлении, в каком один отличается от другого. Решение этой задачи получает наиболее наглядное и совершенное выражение, если мы представим каждый данный состав однозначно на какой-либо диаграмме. Расстояние и направление между изображениями двух сравниваемых составов, например точками на диаграмме, дают определенный ответ на стоящий перед нами вопрос.

Однако задачи изучения химизма горных пород не ограничиваются только сравнением составов двух каких-либо горных пород. Они охватывают гораздо более широкий круг вопросов, для решения которых приходится сравнивать значительное число анализов и не по отдельности, а сопоставлять целые группы — обычно естественные ассоциации горных пород — в отношении химизма их и отыскивать сходство и различие этих ассоциаций в химическом отношении.

В этом случае представление химических составов в виде ли непосредственных колонок анализа, или каких-либо вычисленных из этих анализов числовых характеристик оказывается совершенно недостаточным; мы не в состоянии одновременно сравнивать большое число колонок цифр, и наглядное представление числовых данных в виде диаграммы становится совершенно необходимым. К диаграммам в той или иной форме прибегали различные авторы, и это совершенно понятно, так как в таких более сложных случаях исследование при помощи диаграмм становится основным методом изучения.

Но если мы согласимся, что метод анализа диаграмм должен стать основным методом изучения химизма горных пород, то из этого вытекут некоторые следствия, которые определяют наиболее рациональную форму и тех числовых характеристик химических составов горных пород, которые надо представить на диаграммах. Диаграммы могут быть или плоскими, в виде изображения на плоскости, или трехмерными в виде модели в пространстве, которую можно, однако, изобразить на плоскости при помощи проекций того или иного рода. Пространственные диаграммы дают возможность изображать большее число отношений, чем плоские. В химическом составе горных пород мы находим много компонентов, а для изображения многокомпонентных систем трехмерные диаграммы представляют большие преимущества. Мы не можем, однако, при этом выйти из пределов наглядного трехмерного пространства, так как наглядность диаграммы является необходимым условием. Чтобы в полной мере использовать свойства пространства для построения диаграммы и в то же время получить наиболее простую диаграмму, мы должны прибегнуть к построению фигуративных точек в наглядном трехмерном пространстве; необходимые построения в пространстве тем или иным способом могут быть сведены к графическим операциям на плоскости. Положение точки в пространстве определяется тремя независимыми переменными, т. е. точкой могут быть выражены три отношения между четырьмя составными частями. Точки диаграммы являются теми элементами, с которых надо начинать ее построение.

Отсюда понятно, что в рациональной форме числовых характеристик нам всего удобнее заменить непрерывный ряд отношений окислов, данный в анализе горной породы, группами новых отношений, каждая из которых, представляя три отношения, состояла бы не более чем из четырех чисел. Общее же число отношений, даваемое во всех таких группах

пах для того, чтобы было соблюдено условие полного однозначного соответствия числовых характеристик и данных анализов, должно быть то же, которое мы принимаем во внимание в каждом исходном анализе. Одна из полученных групп отношений, вычисленных таким образом, будет основной. В ней должны быть представлены самые главные основные черты химизма горной породы; другие группы будут дополнительными к ней.

Таким образом, нам нужно выбрать способ, при помощи которого первоначальный (данный в анализе) ряд отношений мы, следуя определенным правилам, заменим несколькими группами отношений, из которых каждая заключала бы в себе не более трех отношений четырех чисел.

Необходимыми условиями, которым должны удовлетворять эти правила, являются такие:

1. Новые группы должны выводиться из исходных чисел при помощи строго определенных математических операций.

2. Из полученных чисел мы должны иметь возможность обратно однозначно находить исходные числа (требование полного однозначного соответствия).

Кроме того, желательно соблюдение таких условий:

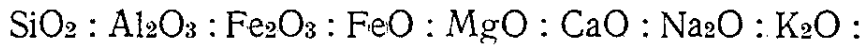
3. Указанные математические операции должны быть как можно более простыми.

4. Вновь полученные отношения должны быть таковы, чтобы в них как можно яснее были отражены те особенности химизма горных пород, которые мы считаем важнейшими.

Все указанные условия, кроме последнего, являются условиями, не имеющими прямого отношения к существу того материала, с которым мы имеем дело, а лишь выражают формальные требования с математической стороны. Последнее условие имеет особое значение, так как оно зависит от основных представлений о химизме горных пород, о том, какое значение имеют те или иные особенности их химического состава.

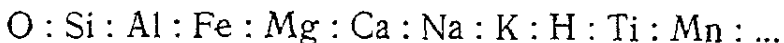
### Предлагаемый способ образования числовых характеристик

Исходные данные химического анализа представляют ряд отношений в весовых процентах:



Заметим, что все авторы разных способов пересчетов анализов на числовые характеристики (формулы, параметры и т. д.) предварительно весовые проценты окислов заменяют молекулярными отношениями. Это делается для того, чтобы облегчить подсчет тех возможных соединений, которые присутствуют (или могут присутствовать) в горной породе в виде минералов. Но мы знаем, что на самом деле в минералах нет таких молекул или групп окислов, как это изображается в их эмпирических формулах. Минералы — кристаллические тела, представляющие правильные решетки, образованные из атомов. Химизм горной породы как агрегата минералов (реальных или возможных) более отражен в относительных числах (и расположении) атомов разных элементов. Поэтому правильнее (рациональнее) в числовых характеристиках составов давать отношение чисел атомов.

Вместо написанного ряда отношений окислов, мы будем исходить из равнозначного ему ряда отношений чисел атомов:

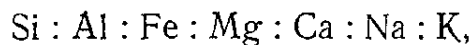


Прежде всего должен быть поставлен вопрос, насколько важно и нужно принимать во внимание все эти отношения? Чтобы упростить стоящую перед нами задачу, надо стремиться уменьшить число рассматриваемых отношений, поэтому можно ограничиться только теми, которые действительно характерны для вещественного состава породы. Это тем более возможно, что мы наперед знаем, что все наши расчеты и выводы могут быть только приближенными и, потому, нет никакого смысла считаться с теми особенностями анализа, которые, так сказать, далеко выходят за пределы точности наших расчетов.

Подходя с этой точки зрения к данным анализам, можно прежде всего некоторые составные части, находящиеся в незначительном количестве, совсем не принимать во внимание, другие второстепенные составные части присоединить условно к сходным в химическом отношении главным составным частям и, наконец, оставить без внимания те отношения даже главных составных частей, которые являются не характерными для химизма горной породы.

Последнее обстоятельство имеет место для кислорода О и водорода Н. Действительно, в отношении содержания кислорода различные породы отличаются степенью окисления железа; в остальном количество кислорода вполне определяется содержанием металлических элементов, так как в минералах сумма валентностей катионов равна сумме валентностей анионов (кислорода). Но степень окисления железа не может считаться характерной величиной, так как зависит от случайных причин. В одном и том же потоке лавы, например, верхние части его отличаются от нижних в этом отношении. Иногда даже наружная корка вулканических бомб отличается степенью окисления железа от их внутренней части. Эта степень зависит от случайных причин, не поддающихся учету. То же самое можно сказать и о содержании водорода (воды), в котором обыкновенно невозможно разделить первоначальное содержание и результат дальнейших изменений породы под влиянием вторичных процессов. Кроме того, изменение содержания воды в разных типах пород не представляется характерным их признаком.

Поэтому в приближенных расчетах химического состава горных пород можно принимать во внимание лишь следующие характерные для породы отношения между элементами:



причем незначительное количество Mn присоединяем к Fe, а Ti условно к Si. Обычно так и поступают при разных приближенных расчетах.

Мы знаем, что с точки зрения атомной структуры минералы горных пород образованы своего рода кислородным каркасом, внутри которого в определенном для каждого минерального вида порядке заключены катионы металлов. С этой точки зрения основные химические свойства горных пород, представленные только что написанным рядом отношений, характеризуются соотношениями катионов разных элементов, входящих в такие решетки. Этими главными составными частями определяются те особенности состава породы, которые можно считать существенными.

Приняв эти упрощения и только что указанное ограничение числа от-

ношений, характеризующих химизм горной породы, мы все-таки имеем здесь шесть отношений между семью числами. Этот ряд отношений семи чисел надо заменить группами отношений не более, чем между четырьмя числами и притом так, чтобы в этой группировке отразить наиболее характерные свойства вещественного состава породы.

За такие характерные свойства вещественного состава можно принять те, которые одинаково ясно выражаются и в химическом, и в минералогическом составе породы и на которых в настоящее время мы основываем главные подразделения классификации горных пород.

В настоящее время можно считать уже достигнутым общее соглашение петрографов во взглядах на то, какие существенные признаки должны быть положены в основу систематики изверженных пород по их вещественному составу.

1. Таким признаком является прежде всего соотношение между салическими и фемическими составными частями горной породы. Важность этого соотношения вытекает из глубокого различия в горных породах между химизмом алюмосиликатов и простых силикатов. Этим отношением прежде всего определяется общий облик породы, выражющийся в виде отношения легких и светлых составных частей к тяжелым и темным составным частям породы.

2. Вторым существенным признаком химизма изверженной горной породы является наличие или отсутствие избытка или недостатка в ее составе кремнезема, определяющее появление таких симптоматических, как их назвал Лякруа, минералов, как кварц, оливин или фельдшпатиды.

3. Далее, чрезвычайно важным классификационным признаком химического и минералогического состава породы является характер полевых шпатов, т. е. характер салических алюмосиликатовых частей состава, именно соотношение щелочных алюмосиликатов и алюмосиликата известии.

4. И, наконец, особенности щелочных алюмосиликатов, с одной стороны, а также простых силикатов — с другой, являются тоже характерными признаками породы и ее минералогического состава.

Вспомним кстати, что первые три из перечисленных характерных признаков определяют класс, порядок, ранг и субранг американской количественной классификации. Стремление так или иначе выявить эти признаки с помощью пересчета химических анализов мы находим у авторов почти всех систем таких пересчетов. Признаки эти отражены лишь в различной мере полно и при помощи приемов, в разной мере сложных.

Вместе с тем все такие расчеты по необходимости должны быть условными. Это вытекает из первого необходимого условия, которому должны удовлетворять правила образования числовых характеристик (см. стр. 18). Ведь и в американской количественной классификации стандартные минералы нормативного состава представляют лишь математические функции химического состава породы, и нормативный состав нельзя смешивать с модальным составом. Всякий пересчет данных химического анализа и подсчет отношений различных групп составных частей по необходимости всегда будет условным или искусственным, так как мы не знаем условий образования породы, от которых зависит группировка атомов в реальные соединения.

Второе правило для образования числовых характеристик — полное, однозначное соответствие их с исходными данными анализов удовлетворяется при достаточном числе отношений данных в характеристиках. Оно удовлетворено и в американской классификации. Правило это, очевидно, легко выполнимо.

Третье правило требует, чтобы числовые характеристики были возможно более простыми. С этой точки зрения можно возражать против американской системы.

## О рациональной форме числовых характеристик

Стремясь внести наибольшую простоту в расчет и удовлетворить остальным указанным выше правилам расчета, мы можем ограничиться такими операциями для образования числовых характеристик химического состава горной породы.

Основная числовая характеристика может быть выражена отношением четырех чисел:

$$a : c : b : s,$$

причем  $a + c + b + s = 100$ . Величины  $a$ ,  $c$ ,  $b$  и  $s$  обозначают:

$a$  — относительное число атомов щелочных металлов, входящих в алюмосиликаты и, следовательно, комбинирующихся в атомных решетках минералов с атомами Al;

$c$  — относительное число атомов кальция, которые могут войти в алюмосиликаты (в сочетании  $\text{CaAl}_2$ ). В некоторых породах известковый алюмосиликат отсутствует и вместо него может появиться феррисиликат натрия. Этот случай мы рассмотрим особо;

$b$  — относительное число всех остальных металлических атомов за исключением кремния (и титана), не входящих в алюмосиликаты и феррисиликат натрия, и принимающих участие главным образом в строении решеток простых силикатов;

$s$  — относительное число атомов кремния (и титана).

Величина  $c$  определяется условно тем же приемом, что и так называемая полевошпатовая известь во всех числовых характеристиках, предложенных различными авторами, т. е. из разностей молекулярных количеств  $\text{Al}_2\text{O}_3 - (\text{Na}_2\text{O} + \text{K}_2\text{O})$ ; такой расчет по существу является лишь определено выбранным условным математическим приемом. В зависимости от того, будет ли написанная разность больше молекулярного количества  $\text{CaO}$  или меньше его, или, наконец, будет величиной отрицательной, мы можем различать три различных ряда химических составов пород — ряды составов: пересыщенных глиноземом, нормальных и пересыщенных щелочами. В дальнейшем мы подробно изложим способ вычисления основной характеристики отдельно на примерах пород каждого из этих рядов.

В группу  $b$  попадают все атомы железа, кроме входящих в феррисиликат натрия, все атомы магния и те атомы кальция, которые не вошли в алюмосиликаты. Число последних можно подсчитать из разности молекулярных количеств  $\text{CaO} - [\text{Al}_2\text{O}_3 - (\text{Na}_2\text{O} + \text{K}_2\text{O})]$ . Далее, в некоторых случаях молекулярное количество  $\text{Al}_2\text{O}_3 > \text{K}_2\text{O} + \text{Na}_2\text{O} + \text{CaO}$ , и тогда избыточные атомы алюминия, определяемые из разности  $\text{Al}_2\text{O}_3 - (\text{K}_2\text{O} + \text{Na}_2\text{O} + \text{CaO})$ , также необходимо отнести к группе  $b$ , как не входящие в салические алюмосиликаты. В некоторых породах молекулярное количество  $\text{Na}_2\text{O} + \text{K}_2\text{O} > \text{Al}_2\text{O}_3$ ; в этом случае мы имеем избыток щелочей ( $\text{Na}_2\text{O} + \text{K}_2\text{O}$ ) —  $\text{Al}_2\text{O}_3$ , который не может войти в алюмосиликаты; параметр  $c$  в этом случае как бы принимает «отрицательное» значение. Атомы щелочных металлов, отвечающие указанному избытку щелочей, мы могли бы включить в группу  $b$ , как не входящие в салические алюмосиликаты, но мы можем также подсчитать их отдельно и внести в основную характеристику как величину  $\bar{c}$  на месте  $c$ . В виду противоположности петрохимической роли щелочей, не входя-

щих в алюмосиликаты, и известкового алюмосиликата, эту группу атомов щелочных металлов мы обозначим  $\bar{c}$  (со знаком — над буквой), вовсе не считая, конечно, отрицательной величиной в настоящем смысле слова. Каждому атому  $Na$ , входящему в группу  $\bar{c}$  отвечает атом железа, участвующий в строении феррисиликата натрия. Подсчитывая отдельно  $\bar{c}$  атомов  $Na$ , удобно и логично не включать связанные с этим  $Na$  атомы  $Fe$  железа в группу  $b$ . Число этих атомов  $Fe$ , равное  $\bar{c}$ , видно непосредственно из характеристики; удобства такого способа будут видны из дальнейшего изложения.

Указанные расчеты позволяют разделить все химические составы изверженных пород на три класса, определенно характеризующиеся соотношением молекулярных количеств  $Al_2O_3$ ;  $CaO$  и  $(Na_2O + K_2O)$ :

- 1) нормальные составы:  $CaO + Na_2O + K_2O > Al_2O_3 > K_2O + Na_2O$ ;
- 2) пересыщенные глиноземом:  $Al_2O_3 > CaO + Na_2O + K_2O$ ;
- 3) пересыщенные щелочами:  $Na_2O + K_2O > Al_2O_3$ .

Иногда их обозначают особыми названиями: 1 — нормальный ряд, 2 — плумазитовый, 3 — агпайтовый.

Образованная по указанному только что принципу основная числовая характеристика действительно выражает те особенности химизма изверженных горных пород, которые мы выше перечислили как главные особенности их химического состава. В самом деле, об отношении салических и фемических составных частей породы мы можем судить по величине  $b$ , так как эта величина выражает как раз относительное число атомов элементов, входящих в фемические минералы.

Об избытке или недостатке кремнезема в породах дает представление относительная величина  $s$ . Понятно, что наибольшее число атомов  $Si$ , которое может войти в щелочные алюмосиликаты, равно  $3a$ , соответственно формуле полевых шпатов  $(Na,K)AlSi_3O_8$ ; в известковых алюмосиликатах связано  $2c$  атомов кремния, согласно формуле  $CaAl_2Si_2O_8$ ; наибольшее количество кремния, которое может быть связано в простых силикатах, вместе с металлическими атомами, не входящими в алюмосиликаты, будет  $b$ , согласно формуле бисиликатов  $RO.SiO_2$ . Отсюда видно, что число

$$Q = s - (3a + 2c + b).$$

будет представлять относительное число «избыточных» атомов кремния и, следовательно, избыток кремнезема, если оно положительно и, наоборот, выражать недостаток кремнезема, если оно отрицательно.

В случае составов, пересыщенных щелочами, вместо известкового алюмосиликата — аортита, в норме породы мы имеем натровый феррисиликат — акмит (эгирин  $NaFeSi_2O_8$ ). На каждый атом  $Na$ , входящий в группу  $\bar{c}$ , приходится два атома  $Si$ , т. е.  $\bar{c}$  связывает  $2\bar{c}$  атомов кремния, и, следовательно, избыточное (или недостающее) число атомов кремния может быть подсчитано по аналогичной формуле:

$$Q = s - (3a + 2\bar{c} + b).$$

Таким образом, сравнивая  $s$  с другими параметрами характеристики, мы получаем выражение второй главной особенности состава.

О характере салических составных частей (характере полевых шпатов) мы можем судить по отношению параметров  $a$  и  $c$ , отражающих отношение щелочных и известкового алюмосиликатов, в частности характер полевого шпата.

Таким образом, три из четырех существенных признаков химизма изверженной горной породы, которые были отмечены выше, находят себе

выражение в основной числовой характеристике. При составлении ее нами, однако, не были приняты во внимание еще такие признаки: 1) различия в отношении содержания К и Na и 2) различия в отношениях между элементами, входящими в нашу группу *b*, т. е. в фемические составные части породы. Для того чтобы выразить и эти признаки и этим достичь полного однозначного соответствия числовых характеристик и данных анализа, нам нужны дополнительные числовые характеристики. Начнем с отношения атомов элементов, входящих в группу *b*. В нормальном ряде (классе) химических составов в группу *b*, как мы видели, войдут все атомы Fe и Mg, часть атомов Ca, остающаяся после того, как из всего их числа будут взяты атомы, могущие войти в алюмосиликаты. Это остающееся число атомов кальция, очевидно, найдется таким путем:

$$Ca' = CaO - [Al_2O_3 - (Na_2O + K_2O)],$$

так как величина в прямых скобках выражает молекулярное количество CaO, идущее в алюмосиликаты.

Таким образом, нужная нам дополнительная характеристика для класса нормальных пород будет

$$f' : m' : c' = (2Fe_2O_3 + FeO) : MgO : \{CaO - [Al_2O_3 - (Na_2O + K_2O)]\}.$$

В случае класса пород, пересыщенных глиноземом, т. е. если  $Al_2O_3 - (Na_2O + K_2O) > CaO$ , мы имеем, как мы видели, избыток глинозема  $Al_2O_3 - (K_2O + Na_2O + CaO)$ , который не может по расчету входить в состав алюмосиликатов щелочей и извести. Этот избыток приходится считать входящим в состав фемических минералов, и соответственное число атомов Al включается в группу *b*. Дополнительная числовая характеристика, вместо  $f' : m' : c'$ , в этом случае будет

$$a' : f' : m' = 2[Al_2O_3 - (K_2O + Na_2O + CaO)] : (2Fe_2O_3 + FeO) : MgO.$$

Наконец, в классе пород, пересыщенных щелочами  $K_2O + Na_2O > Al_2O_3$ , только часть атомов щелочных металлов, именно равная  $2Al_2O_3$ , может войти в салические алюмосиликаты. Избыток их, равный  $2(K_2O + Na_2O - Al_2O_3)$ , приходится, очевидно, или считать вместе с другими, не входящими в эти алюмосиликаты окислами, и тогда включать их в группу *b* или считать их особо, обозначая условно как  $\bar{c}$  (т. е. как недостаток алюминия, нужного для образования кальциевого алюмосиликата). Приняв первый способ, т. е. при числовой основной характеристике  $a : c : b : s$ , мы имели бы четырехчленную числовую дополнительную характеристику

$$f' : m' : c' : n' = (2Fe_2O_3 + FeO) : MgO : CaO : 2(K_2O + Na_2O - Al_2O_3).$$

При втором способе основная характеристика будет иметь вид:

$$a : \bar{c} : b : s,$$

где *c* — пропорционально  $2(K_2O + Na_2O - Al_2O_3)$  и остается трехчленная дополнительная характеристика

$$\begin{aligned} f' : m' : c' &= [2Fe_2O_3 + FeO - 2(K_2O + Na_2O - Al_2O_3)] : MgO : CaO = \\ &= \{2[(Fe_2O_3 + Al_2O_3) - (K_2O + Na_2O)] + FeO\} : MgO : CaO. \end{aligned}$$

Мы предпочтем этот второй способ.

Наконец, как мы видели, при образовании основной числовой характеристики мы оставили без внимания разницу в отношении Na : K, входящих в состав породы. Поэтому нам надо ввести еще одну дополнительную характеристику

тельную характеристику. За такую характеристику мы примем молекулярное отношение  $\text{Na}_2\text{O} : (\text{Na}_2\text{O} + \text{K}_2\text{O})$  для щелочей, входящих в салические алюмосиликаты. Это отношение или отношение атомов  $\text{Na} : (\text{Na} + \text{K})$  в алюмосиликатах мы обозначим  $n$  (без индекса).

Как видно из изложенного, все производимые расчеты исходят из разделения алюмосиликатов и простых силикатов так, как это делается при расчете нормативного или виртуального (не модального или реального) минералогического состава. В реальном составе некоторая часть глинозема или щелочей может войти в цветные металлы. Поэтому в расчетах виртуального (нормативного) состава мы, очевидно, подсчитываем максимальное возможное количество щелочных и известкового алюмосиликатов. С другой стороны, часть окислов железа присутствует в горной породе в виде магнетита, не входя в силикаты. Поэтому важная характеристика  $Q = s - (3a + 2c + b)$  или для пересыщенных щелочами пород  $Q = s - (3a + 2\bar{c} + b)$  выражает минимальное количество свободной кремнекислоты в породах.

Изложив принцип образования числовых характеристик, мы приведем три примера, из которых будет совершенно ясен порядок подсчетов для определения этих характеристик.

### Порядок подсчета числовой характеристики

1. Перечисляем весовое процентное содержание окислов в молекулярные количества их. Для этого служат таблицы (стр. 44—50).

2. Складываем молекулярное количество  $\text{SiO}_2$  и  $\text{TiO}_2$ , обозначим эту сумму  $S$ .

3. Берем сумму молекулярных количеств  $\text{K}_2\text{O}$  и  $\text{Na}_2\text{O}$ . Если эта сумма меньше  $\text{Al}_2\text{O}_3$  или равна этому количеству, то, удваивая сумму  $\text{K}_2\text{O} + \text{Na}_2\text{O}$ , получаем  $A$ .

3а. Если  $\text{K}_2\text{O} + \text{Na}_2\text{O} > \text{Al}_2\text{O}_3$ , то величину  $A$  получим, удваивая  $\text{Al}_2\text{O}_3$ , а избыток  $\text{Na}_2\text{O}' = \text{K}_2\text{O} + \text{Na}_2\text{O} - \text{Al}_2\text{O}_3$ , умножив на 2, обозначаем  $\bar{C}$ .

4. Берем разность  $\text{Al}_2\text{O}_3 - (\text{K}_2\text{O} + \text{Na}_2\text{O})$ . Если она меньше или по крайней мере равна  $\text{CaO}$ , то обозначаем ее  $C$ .

4а. В случае, если  $\text{Al}_2\text{O}_3 > \text{K}_2\text{O} + \text{Na}_2\text{O} + \text{CaO}$ , то  $C$  равно  $\text{CaO}$ , и в этом случае избыток  $\text{Al}_2\text{O}_3' = \text{Al}_2\text{O}_3 - (\text{K}_2\text{O} + \text{Na}_2\text{O} + \text{CaO})$ , умножив на 2, присоединяем к величине  $B$ .

5. Удваивая количество  $\text{Fe}_2\text{O}_3$  и складывая его с количеством  $\text{FeO} (+ \text{MnO})$  получаем  $\text{FeO}'$ . В случае пород, пересыщенных щелочами, величину  $\text{FeO}'$  убавляем на величину  $\bar{C}$  (п. 3а).

5а. В некоторых весьма редких случаях может случиться, что  $\bar{C} > \text{FeO}'$ , тогда обозначим разность  $\bar{C} - \text{FeO}'$  через  $\text{Na}'$ , что представляет избыток окиси натрия, умноженный на 2, т. е. излишние атомы  $\text{Na}$  после образования  $\bar{C}$ .

6. Определяем  $\text{CaO}' = \text{CaO} - C$  (см. пункт 4).

7. Складывая  $\text{FeO}' + \text{MgO} + \text{CaO}'$ , получаем величину  $B$ . Сюда же присоединяем, как сказано, удвоенный избыток  $\text{Al}_2\text{O}_3'$ , когда он имеется (пункт 4а), или в указанном выше редком случае избыток  $\text{Na}'$  (тогда, очевидно, отсутствует  $\text{FeO}'$ ).

8. Приводим отношения  $A : C : B : S$  или  $A : \bar{C} : B : S$  к 100 по формулам

$$a = \frac{100 \cdot A}{N}; c = \frac{1}{N}; b = \frac{100}{N}; s = \frac{100 \cdot S}{N};$$

где  $N = A + C + B + S$ , т. е. мы выражаем отношения  $a : c : b : s$  (или  $a : \bar{c} : b : s$ ) в процентах.

Так получается основная числовая характеристика химического состава породы  $a : c : b : s$ . Кроме нее, для характеристики состава породы могут служить следующие дополнительные коэффициенты или параметры:

$$f = \frac{\text{FeO}' \cdot 100}{B}; m' = \frac{\text{MgO} \cdot 100}{B}; c' = \frac{\text{CaO}' \cdot 100}{B};$$

$$n = \frac{2\text{Na}_2\text{O} \cdot 100}{A}; t' = \frac{\text{TiO}_2 \cdot 100}{S}; \varphi = \frac{2\text{Fe}_2\text{O}_3 \cdot 100}{B}.$$

а в породах, пересыщенных глиноземом, вместо  $c'$  присоединяется, как мы видели,

$$a' = \frac{2\text{Al}_2\text{O}_3}{B} \cdot 100.$$

В породах, пересыщенных щелочами, в написанном выше для  $f'$  выражении величина  $\text{FeO}'$  обозначает количество закиси железа, уменьшенное на величину  $\bar{C}$ . В редких случаях, когда  $\bar{C} > \text{FeO}'$ , получается, как мы видели, избыток  $\text{Na}'$ , и тогда имеем дополнительный параметр  $n' = \frac{\text{Na}'}{B} \cdot 100$ ; в этом случае  $f'$  отсутствует.

Таким образом, мы имеем в зависимости от результатов пересчета три класса или ряда химических составов горных пород, имеющих такие числовые характеристики:

1) составы нормальные

$$a : c : b : s; f' : m' : c'; n; t; \varphi;$$

2) составы, пересыщенные глиноземом

$$a : c : b : s; a' : f' : m' : n; t; \varphi;$$

3) составы, пересыщенные щелочами

$$a : \bar{c} : b : s; f' : m' : c'; n; t; \varphi;$$

3а) в очень редких случаях сильно пересыщенные щелочами составы:

$$a : \bar{c} : b : s; n' : m' : c'; n; t; \varphi;$$

Заметим следующее важное обстоятельство: параметры основной характеристики являются числами именованными, а параметры дополнительных — отвлечеными.

Для пояснения способа вычисления числовых характеристик приведем следующие три примера (последний очень редкий случай За рассматривать не будем).

### I. Состав нормального ряда

Андезито-базальт, лава 1909 г., вулкан Авача на Камчатке

Вес. %

Молек. кол.

$\text{SiO}_2$	54.30	905	917 . . . . .	. . . . .	S
$\text{TiO}_2$	0.98	012			C
$\text{Al}_2\text{O}_3$	17.56	172 — 061 = 111	112	. . . . .	
$\text{Fe}_2\text{O}_3$	5.75	036 $\times 2 = 0.72$			
FeO	2.70	039	300	. . . . .	B
MnO	0.10	001			
MgO	5.65	141	158 — 111 = 047	. . . . .	
CaO	8.85				
$\text{Na}_2\text{O}$	3.14	051	061 $\times 2 = 122$	. . . . .	A
$\text{K}_2\text{O}$	0.93	010			
$\text{P}_2\text{O}_5$	0.15		A = 122	a = 8.4	
S	0.22		C = 111	c = 7.6	
Cl	0.05		B = 300	b = 20.7	
$\text{H}_2\text{O}$	0.10		S = 917	s = 63.3	
Сумма . . .	100.48		N = 1450	100	

От весовых процентов переходим к молекулярным количествам. Складывая  $\text{SiO}_2 + \text{TiO}_2$ , получаем  $S$  (917). Складывая  $\text{Na}_2\text{O} + \text{K}_2\text{O}$ , получаем молекулярное число  $R_2\text{O}$  (или  $\text{R}_2\text{O} \cdot \text{Al}_2\text{O}_3$ ), а так как за параметр ( $A$ ) мы берем число атомов К и Na, то для получения  $A$  (122) надо сумму щелочей (61) умножить на 2. Вычитая сумму щелочей из  $\text{Al}_2\text{O}_3$ , получим  $C$  (111). Вычитая полученное молекулярное количество полевошпатовой извести из всего молекулярного количества  $\text{CaO}$ , получим молекулярное количество свободной извести  $\text{CaO}'$  (047) или соответственно атомов  $\text{Ca}'$ . Перечисляем  $\text{Fe}_2\text{O}_3$  на закись  $\text{FeO}$ , для чего надо это количество умножить на 2; прибавляем сюда  $\text{FeO}$  и  $\text{MnO}$ , получаем  $\text{FeO}'$  (112). Складывая  $\text{FeO}' + \text{MgO} + \text{CaO}'$ , получим  $B$  (300). Сумма  $A + C + B + S = 1450$  ( $N$ ).

Перечисляя относительные количества  $A$ ,  $C$ ,  $B$  и  $S$  в проценты (приводя сумму к 100), получим  $a$ ,  $c$ ,  $b$ ,  $s$ . Дополнительные числовые характеристики будут:

$$f' = \frac{112}{300} \times 100 = 37; m' = \frac{141}{300} \times 100 = 47; c' = \frac{47}{300} \times 100 = 16;$$

$$n = \frac{51}{61} \times 100 = 84; t = \frac{12}{917} \times 100 = 1.3; \varphi = \frac{72}{300} \times 100 = 24.$$

Чрезвычайно просто приведение к 100 при вычислении основной числовой характеристики производить с помощью счетной линейки. Для того, чтобы не передвигать движка линейки, удобно пользоваться верхней шкалой. Выдвигаем движок так, чтобы против нуля неподвижной шкалы стояло число  $N$  на движке. Тогда все сводится к чтению цифр на неподвижной шкале против соответствующих цифр на шкале движка.

Для перечисления на 100 могут помочь также таблицы, данные в приложении к этой книге. Счетная линейка очень полезна и при всех остальных расчетах, облегчая деление и умножение до крайней простоты и давая более чем достаточную точность.

Сложение при вычислении числовых характеристик удобно производить на счетах.

## II. Состав, пересыщенный глиноземом

Анdezит Мон-Пелё, извержение 1902 г., Мартиника

	Вес %	Молек. кол.	
$\text{SiO}_2$	60.60	1010	$S$
$\text{TiO}_2$	0.56	008 } 1018	
$\text{Al}_2\text{O}_3$	18.63	182 — 056 = 126 — 116 = 010 × 2 = 020	
$\text{Fe}_2\text{O}_3$	1.77	011 × 2 = 022 } 0.93	{ 182...B
$\text{FeO}$	5.10	071	
$\text{MgO}$	2.76	069	
$\text{CaO}$	6.52	116	$C$
$\text{Na}_2\text{O}$	2.80	045 } 056 × 2 = 112	$A$
$\text{K}_2\text{O}$	0.97	011	
$\text{P}_2\text{O}_5$	0.09		
П. п. п.	0.25		
Сумма . .	100.05		
		$A = 112$	$a = 7.8$
		$C = 116$	$c = 8.1$
		$B = 182$	$b = 12.7$
		$S = 1018$	$s = 71.4$
		$N = 1428$	100

Как и в предыдущем случае, находим  $A$ ; после вычитания  $\text{Al}_2\text{O}_3 - (\text{Na}_2\text{O} + \text{K}_2\text{O})$  видно, что полученная величина (126) больше  $\text{CaO}$ . В таком случае все число атомов Ca (116) уйдет в  $C$  и будет равно 116. Остается избыток  $\text{Al}_2\text{O}_3$ , именно разность  $126 - 116 = 10$ . Удвоенный,

он представит число атомов Al, которые пойдут в B вместе с Fe<sub>2</sub>O<sub>3</sub> (перечисленным на FeO) FeO и MgO. Дальнейший подсчет, как в предыдущем случае.

Дополнительные числовые характеристики этого состава:

$$a' = \frac{20}{182} \times 100 = 11, \quad f' = \frac{93}{182} \times 100 = 51; \quad m' = \frac{69}{182} \times 100 = 38;$$

$$n = \frac{45}{56} \times 100 = 80; \quad t = \frac{8}{1018} \times 100 = 0.8; \quad \varphi = \frac{22}{182} \times 100 = 12.$$

### III. Состав, пересыщенный щелочами

Пантеллерит, Пантеллярия, Коста Ценети

Вес. %	Молек.	
	кол.	
SiO <sub>2</sub> . . . . .	64.54	1075
TiO <sub>2</sub> . . . . .	0.90	011 } 1086
Al <sub>2</sub> O <sub>3</sub> . . . . .	11.49	113 × 2 = 226
Fe <sub>2</sub> O <sub>3</sub> . . . . .	5.14	032 × 2 = 064 — 50 = 14 }
FeO . . . . .	2.99	042 } = 56
MgO . . . . .	0.89	023 } 91 . . B
CaO . . . . .	0.64	012
Na <sub>2</sub> O . . . . .	5.46	088 } 138 — 113 = 025 × 2 = 50 . . . . C
K <sub>2</sub> O . . . . .	4.66	050 }
П.п.п. . . . .	3.23	A = 226      a = 15.6
P <sub>2</sub> O <sub>5</sub> . . . . .	0.16	C = 50      c = 3.4
		B = 91      b = 6.3
Сумма . . . . .	100.10	S = 1086      s = 74.7
		N = 1453      100

Сложив молекулярные количества Na<sub>2</sub>O + K<sub>2</sub>O, видим, что сумма их (138) больше Al<sub>2</sub>O<sub>3</sub> (113). Следовательно, весь Al<sub>2</sub>O<sub>3</sub> войдет в алюмосиликат щелочей, и число атомов Na + K в алюмосиликатах будет равно 2Al<sub>2</sub>O<sub>3</sub> = 226 (A). Остается еще избыток щелочей 025. Этот избыток — удвоенный — равен числу атомов натрия, входящих в C.

На то же число (50) должно быть уменьшено число атомов железа; оставшееся входит в B.

Дополнительные числовые характеристики здесь будут

$$f' = \frac{56}{91} \times 100 = 62; \quad m' = \frac{23}{91} \times 100 = 25; \quad c' = \frac{12}{91} \times 100 = 13;$$

$$n = \frac{63}{113} \times 100 = 56; \quad t = \frac{11}{1086} \times 100 = 1; \quad \varphi = \frac{14}{91} \times 100 = 15.$$

### Обратное вычисление состава по числовым характеристикам.

Зная основную числовую характеристику и дополнительные коэффициенты, мы, очевидно, можем вычислить обратно относительные весовые количества окислов, из которых мы исходим, по следующим уравнениям:

$$\mathfrak{N} SiO_2 = 60 s \left( 1 - \frac{t}{100} \right);$$

$$\mathfrak{N} TiO_2 = 80 s \frac{t}{100};$$

$$\mathfrak{N} Al_2O_3 = 102 \left( \frac{a}{2} + c + \frac{a'b}{2 \cdot 100} \right) = 51 \left( a + 2c + \frac{a'b}{100} \right);$$

$$\mathfrak{N} Fe_2O_3 = 160 \left( \frac{\varphi \cdot b}{2 \cdot 100} + \frac{c}{2} \right) = 80 \left( \frac{\varphi b}{100} + c \right);$$

$$\mathfrak{N} \text{FeO} = 72 \frac{(f' - \varphi) \cdot b}{100};$$

$$\mathfrak{N} \text{MgO} = 40 \frac{m' b}{100} = \frac{2}{5} m' b;$$

$$\mathfrak{N} \text{CaO} = 56 \left( c + \frac{c' b}{100} \right);$$

$$\mathfrak{N} \text{Na}_2\text{O} = 62 \left( \frac{n}{100} \cdot \frac{a}{2} + \frac{\bar{c}}{2} + \frac{n' b}{2} \right) = 31 \left( \frac{n \cdot a}{100} + \bar{c} + n' b \right);$$

$$\mathfrak{N} \text{K}_2\text{O} = 94 \left( 1 - \frac{n}{100} \right) \frac{a}{2}.$$

Чтобы получить весовые проценты, надо сумму найденных относительных количеств привести к 100 — ( $\text{P}_2\text{O}_5\% + \text{H}_2\text{O}\%$ ), где в скобках окислы, не принимавшиеся в расчет при образовании числовой характеристики. Разумеется, вследствие накопления неточностей при округлении цифр при пересчетах полученные цифры не будут вполне точно совпадать с исходными.

В написанных выше выражениях  $\text{SiO}_2$ ,  $\text{TiO}_2$ ,  $\text{Al}_2\text{O}_3$  и т. д. обозначают весовые проценты этих окислов, а число  $\mathfrak{N}$  — некоторый коэффициент пропорциональности, который мы легко найдем следующим образом. Сложив все написанные выражения, получим

$$\begin{aligned} 100 \mathfrak{N} &= 60 \left( 1 - \frac{t}{100} \right) + 82 \frac{s \cdot t}{100} + 51 \left( a + 2c + \frac{a' b}{100} \right) + \\ &+ 80 \left( \frac{\varphi b}{100} + \bar{c} \right) + 72 \frac{(f' - \varphi) b}{100} + 40 \frac{m' b}{100} + 56 \left( c + \frac{c' b}{100} \right) + \\ &+ 31 \left( \frac{n \cdot a}{100} + \bar{c} + n' b \right) + 94 \left( 1 - \frac{n}{100} \right) \frac{a}{2} = \\ &= (98 - 0.16n)a + 158c + 111\bar{c} + (0.08\varphi + 0.72f' + 0.4m' + 0.56c' + 0.51a' + \\ &\quad + 31n')b + (60 + 0.2t)s. \end{aligned}$$

Возьмем первый из примеров, приведенных выше. Для него имеем

$$100 \mathfrak{N} = 6957; \mathfrak{N} = 69.6.$$

Существует очевидная зависимость между  $\mathfrak{N}$  и  $N = A + C + B + S$ .

Если молекулярное число  $\frac{N}{1000}$  отвечает 100 весовым процентам, то молекулярное число 100, равное  $(a + c + b + s)$ , отвечает  $\mathfrak{N} \cdot 100$  весовым, отсюда  $\frac{N}{1000} : 100 = 100 : 100$  и, следовательно,  $\frac{N\mathfrak{N}}{10} = 10000$ , или  $N = \frac{10^6}{\mathfrak{N}}$ .

В нашем случае  $N = \frac{10^6}{69.6} = 1437$ . Мы видели (на стр. 25), что  $N = 1450$ . Полученная разница произошла от того, что при вычислении числовых характеристик мы округляли числа и таким образом получили погрешность в 0.9%, что для наших приблизительных расчетов не имеет большого значения.

#### ПОСТРОЕНИЕ ДИАГРАММЫ ХИМИЧЕСКИХ СОСТАВОВ И ЕЕ СВОЙСТВА

В предыдущем мы выбрали способ вычисления из цифр анализов таких числовых характеристик, которые удовлетворяют следующим требованиям. Они выражают те особенности химизма породы, которые мы считаем главными, при помощи групп отношений четырех чисел главной характеристики и трех (и двух) дополнительных. Достиг-

нuto полное однозначное соответствие цифр этих числовых характеристик с семью цифрами главнейших окислов, входящих в состав породы. Замена цифр анализа группами отношений не более чем четырех чисел позволяет легко представить эти отношения в виде диаграммы.

Для изображения таких отношений наиболее удобным способом является применение барицентрических координат, как это широко практикуется, например, в физической химии для изображения составов. Мы можем перейти теперь к выбору наиболее удобного для практического пользования способа построения диаграммы в таких координатах.

Можно заранее предвидеть некоторые особенности той диаграммы, которую мы в конце концов хотим получить.

Наши числовые характеристики выражают однозначно ряд отношений между семью числами. В них даны шесть независимых переменных. Простейшим геометрическим элементом, именно точкой, отношение семи чисел может быть изображено только в шестимерном пространстве.

Но мы не можем выходить за пределы трехмерного наглядного пространства. Однако мы можем изображать составы  $n+1$  компонентов и при помощи диаграмм, имеющих меньше чем  $n$  измерений, но тогда каждый состав нельзя представить точкой, а для этого нужен более сложный геометрический образ.

Не трудно понять, что для изображения шести независимых переменных нам достаточно иметь две точки в трехмерном пространстве, так как каждая из них может изобразить три независимых переменных. Вместе двух точек мы можем взять вектор, их соединяющий (разные концы которого имеет разное значение). Таким образом, множество числовых характеристик, выражающих соотношения между 7 компонентами, мы можем изобразить при помощи множества векторов в трехмерном пространстве.

Нам необходимо только выбрать рациональные правила для построения такой «векториальной» диаграммы. При образовании числовых характеристик мы стремились выделить признаки химизма, которые мы приняли за главные, из тех, которые мы считаем за дополнительные. Эта классификация признаков является существенным обстоятельством при решении нашей задачи сопоставления и сравнения химизма пород, — с ней мы должны считаться прежде всего при построении диаграммы, выражающей наши числовые характеристики.

Наша задача — выбрать систему проекций для изображения числовых характеристик — распадается, таким образом, на две части:

1. Надо выбрать способ изображения по отдельности для основной характеристики и дополнительных.

2. Надо сочетать эти изображения основной характеристики и дополнительных так, чтобы получился один цельный геометрический образ, дающий полное представление об особенностях химических составов, отраженных в числовых характеристиках. Этот образ, как мы только что видели, проще всего может быть представлен как некоторые векторы в трехмерном пространстве.

### Диаграмма, представляющая основные характеристики

1. Для изображения основной числовой характеристики химических составов, представляющей отношение четырех чисел, лучше всего воспользоваться барицентрическими координатами, в которых каждой из таких числовых характеристик отвечает одна определенная точка. При изображении четырех отношений чаще всего берут правильный тетраэдр проекций, хотя это вовсе не обязательно, и для практических целей, для

более простого построения фигуративных точек гораздо удобнее взять тетраэдр прямоугольный. На фиг. 4 представлено расположение фигуративных точек теоретических составов породообразующих минералов (виртуальных или нормативных) в правильном тетраэдре. Для этих минералов (минеральных молекул нормы) мы имеем такие отношения параметров основной характеристики:

$a:c:b:s$

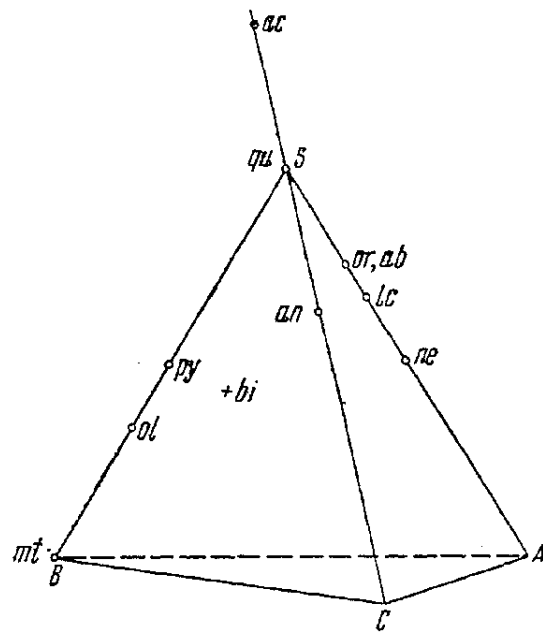
Кварц . . . . .	0:0:0:1
Ортоклаз и альбит . . . . .	1:0:0:3
Анортит . . . . .	0:1:0:2
Нефелин . . . . .	1:0:0:1
Лейцит . . . . .	1:0:0:2

$a:c:b:s$

Метасиликаты (пироксены и амфиболов приблизительно)	0:0:1:1
Оlivин . . . . .	0:0:2:1
Слюды (приблизительно) . . .	1:0:3:3
Рудные минералы и корунд . .	0:0:1:0
Эгирин . . . . .	0:1:0:2

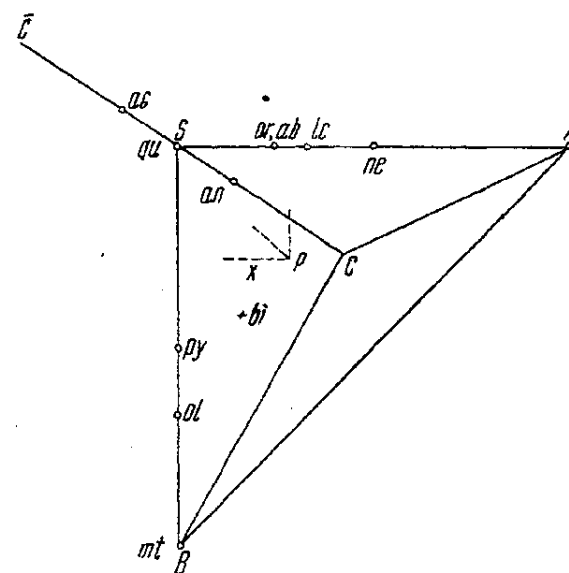
Для реальных минералов — пироксенов, амфиболов и слюд — мы имеем, разумеется, уклонения от этих теоретических отношений. Эти уклонения большей частью заключаются в таких пределах:

	$a$	$c$	$b$	$s$
Слюды . . . . .	9.2—17.2	0—0.7	33.4—47.9	38.9—46.3
Роговые обманки . . . . .	2.1—10.8	0—6.0	36.5—50.0	41.3—51.7
Пироксены . . . . .	0—5.0	0—4.4	44.3—52.2	46.2—51.8



Фиг. 4. Расположение фигуративных точек нормативных минералов на правильном тетраэдре

qu — кварц, ог — ортоклаз, ab — альбит, ap — анортит, lc — лейцит, pe — нефелин, py — пироксен, ol — оливин, ac — акмит, mt — магнетит, bi — биотит



Фиг. 5. Расположение фигуративных точек нормативных минералов и состава  $P$  в барицентрических координатах внутри прямоугольного тетраэдра  
qu — кварц, ог — ортоклаз, ab — альбит, ap — анортит, lc — лейцит, pe — нефелин, py — пироксен, ol — оливин, ac — акмит, mt — магнетит, bi — биотит

Следует остановиться на изображении состава эгирина, имеющего отношение параметров числовой характеристики  $0:1:0:2$ . Согласно тому, как мы условились раньше, знак минус, поставленный над величиной параметра  $c$ , обозначает, что этот параметр представляет избыток атомов щелочных элементов, не входящих в алюмосиликаты. По самому способу вычисления характеристики наличие таких атомов исключает присутствие полевошпатовой извести, т. е.  $c$  исключает  $s$ . Параметры  $c$  и  $s$  имеют прямо противоположный характер в отношении химизма.

породы. Если фигуративные точки составов, в которых  $C > 0$ , помещаются внутри тетраэдра  $ACBS$ , то точки с числовой характеристикой  $a : \bar{c} : b : s$  могут быть помещены лишь вне тетраэдра, для чего надо только выбрать начальную фигуративную точку, отвечающую составу  $a = 0$ ,  $\bar{c} = 100$ ,  $b = 0$ ,  $s = 0$ , т. е. составу  $a : c : b : s = 0 : 1 : 0 : 0$  вне тетраэдра. На фиг. 4 и 5 эта начальная точка взята на продолжении ребра  $CS$  за вершину  $S$  и на расстоянии от этой вершины, равном ребру тетраэдра. В таком случае точка состава эгирина расположится за пределами тетраэдра на продолжении оси  $CS$ . Положение ее на этой оси определится по правилу барицентрических координат из указанного отношения параметров числовой характеристики  $(0 : \bar{1} : 0 : 2)$ , т. е. она будет находиться в симметричном с точкой анортита положении относительно вершины  $S$ .

Именно те удобства, которые связаны с такой симметрией в положении фигуративных точек анортита и эгирина (акмита), своим появлением в норме выражающих характерные особенности состава пород (симптоматические минералы), являются основанием для выделения избытка натрия и связанного с ним железа в особый параметр числовой характеристики  $c$ , хотя с точки зрения атомных структур минералов есть известный резон присоединения всех катионов, могущих пойти на образование эгирина, к группе  $b$ . Напомним еще раз, что наш подсчет является условным математическим приемом, для выбора которого реальные структуры минералов являются одним из главных, но не единственным основанием.

Фигуративные точки нормативных минералов отмечены на фиг. 4 буквенными обозначениями, как это указано в объяснении к рисунку.<sup>1</sup>

На практике пользоваться правильным тетраэдром проекций или какими-либо его изображениями на плоскости крайне неудобно, поэтому мы ограничимся сказанным как иллюстрацией такого вида проекций.

2. Удобно, как сказано, вместо правильного тетраэдра, воспользоваться несколько иным изображением. Мы его получим таким образом. Ребра  $SA$ ,  $SC$  и  $SB$  расположим под прямым углом друг к другу, сохраняя равенство их длины, и длину каждого из этих ребер примем равной 100. Получим фиг. 5 с прямоугольными осями координат  $SA$ ,  $SC$  и  $SB$ .

Удобство этой диаграммы заключается в следующем.

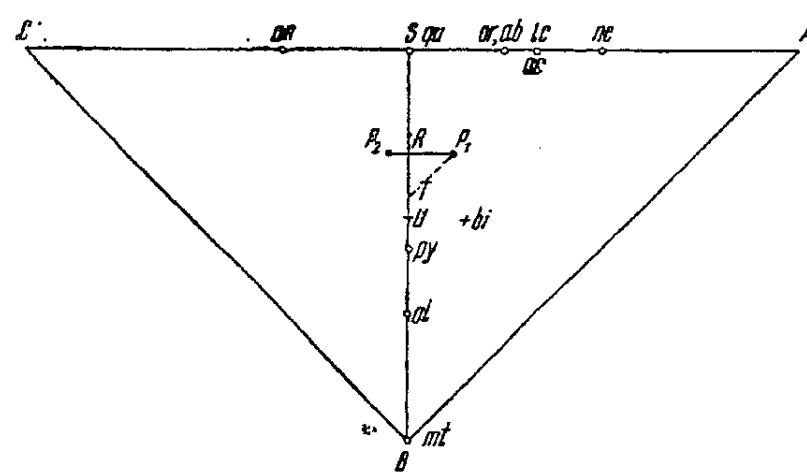
Мы условились, что наша диаграмма барицентрическая, т. е. положение точки состава с числовой характеристикой  $(a : c : b : s)$  определяется как центр тяжести таких весов, приложенных в вершинах фигуры: веса  $a$  в вершине  $A$ ;  $c$  — в  $C$ ;  $b$  — в  $B$  и  $s$  — в  $S$ . Мы раньше условились также вычислять  $a$ ,  $c$ ,  $b$  и  $s$  таким образом, чтобы сумма  $a + c + b + s = 100$ . Величина равнодействующего веса, приложенного к точке  $P = a + c + b + s = 100$ . Воспользуемся теперь известной теоремой о моментах сил равнодействующей и слагаемых относительно плоскостей и возьмем моменты относительно плоскости  $BSC$ . Если расстояние точки  $P$  от этой плоскости  $x$ , то момент равнодействующей силы будет  $(a + c + b + s) \cdot x = 100 \cdot x$ . Он равняется сумме моментов составляющих сил; эти моменты таковы:  $a \cdot SA = a \cdot 100$ , ибо  $SA = 100$ ;  $c \cdot 0$  и  $b \cdot 0$ , таким образом  $100x = a \cdot 100$ , т. е.  $x = a$ . Следовательно, при принятом способе изображения состава с числовой характеристикой  $(a : c : b : s)$  координатами точки  $P$ , принимая ребра фигуры за прямоугольные координаты оси, будут сами параметры числовой характеристики  $a$ ,  $c$  и  $b$ .

<sup>1</sup> В случае если бы мы вместо образования параметра  $\bar{c}$  стали включать избыток щелочей, не входящих в алюмосиликаты, в параметр  $b$ , то фигуративная точка эгирина совпала бы с точкой метасиликатов.

Нахождение точки по ее координатам при прямоугольной системе координат является наиболее простой операцией, а изображение этой точки на чертеже может быть сделано самыми элементарными приемами в виде проекций на плоскости  $ASB$  и  $CSB$ , так, как это мы делаем в начертательной геометрии, развертывая плоскости  $ASB$  и  $CSB$  на плоскость чертежа, как это показано на фиг. 6.

Каждая точка изобразится в виде двух проекций  $P_1$  и  $P_2$  причем  $SR=b$ ;  $P_1R=a$ ;  $P_2R=c$ . Не трудно найти построением и величину  $s$ ; для этого проведем из точки  $P_1$  прямую  $P_1T$  под углом  $45^\circ$  к осям координат (или отложим  $RT=P_1R$ ) и затем отложим отрезок  $TU=P_2R$ ,<sup>1</sup> тогда имеем:  $SR=b$ ;  $RT=a$ ;  $TU=c$ , а так как  $s=100-(a+c+b)$  и мы взяли  $SB=100$ , то  $s=SB-[SR+RT+TU]=UB$ .

Точки, числовая характеристика которых имеет вид  $(a, \bar{c}, b, s)$ , при таком способе изображения поместятся позади плоскости  $ASB$  (фиг. 5)



Фиг. 6. Изображение figurативных точек основных числовых характеристик трехмерной диаграммы в виде проекций на развернутые плоскости  $ASB$  и  $SCB$

в расстоянии от нее, равном  $\bar{c}$ . На чертеже (фиг. 6) вторая точка проекции  $P_2$  в этом случае расположится не влево от оси  $SB$ , а вправо. Вообще говоря, величина  $c$  в тех изверженных горных породах, где имеется такая числовая характеристика, не велика, и точки  $P_2$ , попадающие в правую половину проекции, лежат значительно левее точек  $P_1$ , но все-таки в некоторых таких

случаях, чтобы не смешивать точки  $P_2$  и  $P_1$  для обозначения первых лучше употреблять особый значок. Фигуративная точка состава эгирина расположена, как мы видели и как ясно из числовой характеристики  $(0:1:0:2)$ , на протяжении оси  $CS$  симметрично с точкой анортита по отношению к вершине  $S$ .

По расположению этих точек на той или другой из координатных осей диаграммы можно этим осям дать такие названия:  $SA$  — щелочная ось,  $SC$  — анортитовая ось,  $SB$  — фемическая ось. Координатным плоскостям  $SAB$  и  $SCB$  можно дать названия щелочной и известковистой. Таким образом, можно сказать, что изображение точек пространственной диаграммы мы даем в виде двух проекций на щелочную и известковистую грани основного тетраэдра. Составы, пересыщенные щелочами, занимают особое место, выходя за пределы тетраэдра.

Заметим, что все figurативные точки минералов и горных пород по самому способу образования числовой характеристики и при принятой нами системе проекций не выйдут из треугольника *an-pe-mt* (или *ac-pe-mt*) и, следовательно, для построений нам может понадобиться только центральная часть диаграммы, захватывающая этот треугольник. Построение удобнее делать на клетчатой бумаге, приняв длину  $SB$  (ребро тетраэдра) равной 100 см (т. е. единица масштаба  $1\% = 10$  мм и точность нанесения точек 1.0 мм), или же во вдвое более мелком масштабе ( $1\% = 0.5$  см).

<sup>1</sup> Можно сразу отложить  $RU=P_1P_2$ .

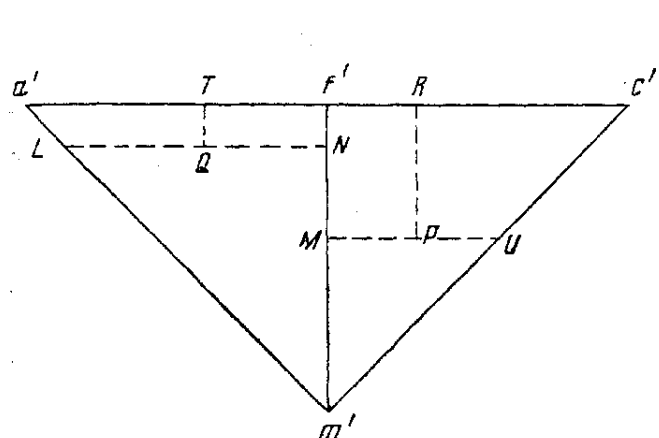
### Частные диаграммы дополнительных характеристик

Таким образом, мы выбрали способ геометрического представления основной числовой характеристики. В основу выбора положено два заранее условленные признака диаграммы.

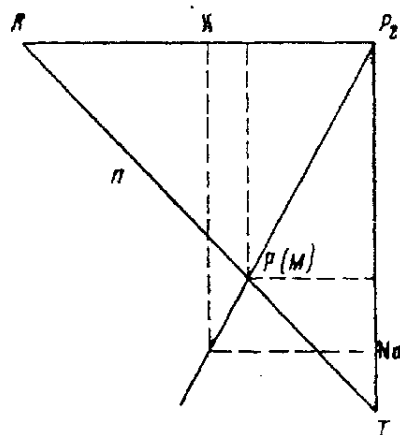
1) Диаграмма должна быть барицентрической, 2) для удобства построения мы пользуемся прямоугольным тетраэдром.

Эти же условия мы примем во внимание при изображении дополнительных числовых характеристик. В характеристиках  $f' : m' : c'$  или  $a' : f' : m'$ , взаимно исключающих, как мы видели, друг друга, мы имеем по два отношения трех чисел. Для изображения их достаточно точки в треугольнике на плоскости. В соответствии со вторым условием мы должны взять для этого прямоугольные треугольники и, так как и в той и в другой характеристике два параметра  $f'$  и  $m'$  одинаковы, а третий взаимно исключают друг друга, то удобно взять такое расположение треугольников, как это показано на фиг. 7.

Точка  $P$  изображает характеристику  $f' : m' : c'$ , а  $Q$  —  $a' : f' : m'$  в барицентрических координатах. По свойству прямоугольного треугольника



Фиг. 7. Построение дополнительных характеристик  $c':m':f'$  и  $a':m':f'$



Фиг. 8. Построение дополнительной характеристики  $n$

проекций, если сторона треугольника равна 100 и  $f' + m' + c' = 100$ , то  $f'R = c'$ ,  $PR = m'$  и  $PU = f'$ .<sup>1</sup> Подобным же образом в треугольнике  $a'f'm'$  получим:  $f'N = m'$ ,  $QN = a'$  и  $QL = f'$ .

В практике для построения удобно брать масштаб треугольников  $f'm'c'$  и  $a'f'm'$  в 10 раз более мелким, чем для диаграммы основной числовой характеристики.

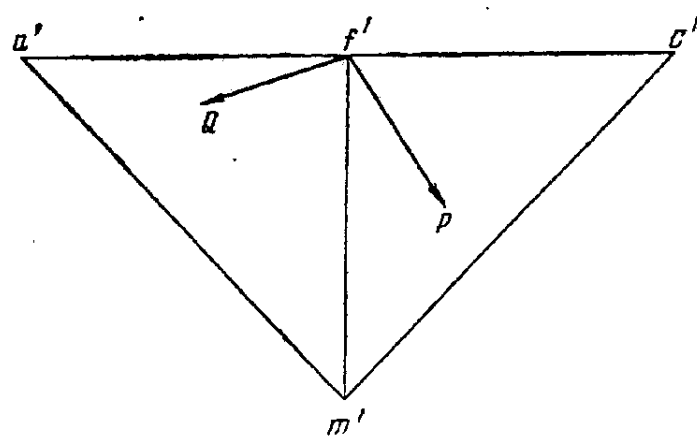
Вторая дополнительная числовая характеристика представляет только одно отношение:  $n = Na : (Na + K)$  в параметре  $a$ . Оно может быть выражено или точкой на некотором отрезке прямой, или направлением некоторой линии, делящей угол между двумя другими прямыми. Для выражения этой характеристики мы примем такое построение (фиг. 8). На взаимно перпендикулярных осях  $P_2R$  и  $P_2T$  отложим величины, пропорциональные  $K$  и  $Na$ , и определяемую такими координатами точку  $P$  соединим с  $P_2$ . Направление линии  $P_2P$  однозначно выразит отношение  $Na : K$ , а следовательно, и  $n$ . Если построим прямоугольный равнобедренный треугольник  $P_2RT$ , то, как ясно из фиг. 8,  $RM : MT = Na : K$  и  $MR : RT$ , выраженное в процентах, равно  $n$ .

<sup>1</sup> Мы не будем здесь давать вывода этого свойства, которое легко получить рассуждением, подобным тому, какой дан на стр. 51.

## Общая диаграмма числовых характеристик

Выбрав способы построения числовых характеристик, как основной, так и дополнительные по отдельности, мы можем перейти ко второй части нашей задачи. Теперь надо сочетать закономерно три изображения в одной диаграмме.

Мы видели, что, представляя пространственную диаграмму основных числовых характеристик на плоскости с помощью ортогональных проекций, мы каждый состав изображаем двумя точками: одна на плоскости  $ASB$ , другая на  $CSB$  (точки  $P_1$  и  $P_2$  на фиг. 6). Воспользуемся этим и построим около каждой из этих точек изображения дополнительных характеристик, добавив их к основной проекции. Для этого в точке  $P_1$  поместим вершину треугольников  $f'm'c'$  или  $a'f'm'$ , а стороны их направим параллельно осям  $SA$  и  $SB$  ( $f'm' \parallel SB$  и  $f'c' \parallel SA$ ), тогда figurативная точка  $P$ , изображающая  $f':m':c'$  (соответственно  $a':f':m'$ ) будет



Фиг. 9. Изображение дополнительных характеристик  $f':m':c'$  и  $a':f':m'$  в виде векторов

совершенно определенным образом связана с точкой  $P_1$ . Две точки  $P_1$  и  $P_2$ , имеющие разное, как мы видим, значение, можно заменить вектором  $P_1P$ , соединяя эти точки между собой. Также для изображения отношения  $a':f':m'$  мы построим вектор  $P_1Q$ .  $P_1$  будет началом таких векторов, а  $P$  или  $Q$  — их концами.

На фиг. 9 показана отдельно замена точек  $P$  и  $Q$  на диаграммах, изображаю-

щих  $f':m':c'$  и  $a':f':m'$  векторами. Заменяя относительное положение точки  $P$  или  $Q$ , помещенной указанным способом в диаграмме основной характеристики, вектором, мы употребляем чертеж, избегая смешения точек  $P_1$  и  $P$  и освобождаясь от необходимости строить вспомогательные треугольники проекции  $f'm'c'$  или  $a'f'c'$ , если только масштаб построения нам известен.

Отметим сейчас признаки химического состава, наглядно выражющиеся длиной и направлением вектора. Короткие векторы указывают на богатство железом, направленные круто (близкие к вертикали) — на богатство магнезией, пологие — на богатство свободной известью.

По самому способу построения векторы, выражающие соотношение  $f':m':c'$ , направлены вниз и вправо, векторы, выражающие  $a':f':m'$ , — вниз и влево. Этот последний случай есть признак составов, пересыщенных глиноземом, и избыток глинозема тем больше, чем более пологим является вектор.

В редких случаях щелочных пород, когда имеем дополнительную числовую характеристику  $n':m':c'$ , она может быть изображена, как  $f':m':c'$ , где вместо  $f'$  имеем  $n'$ ; необходимо только для отличия от общего случая отметить вектор особым знаком, например пунктиром.

Связав диаграмму основной числовой характеристики ( $a\ c\ b\ s$ ) с диаграммой дополнительной характеристики ( $f'm'c'$ ) или ( $a'f'm'$ ) через точку  $P_1$ , мы подобным же образом можем связать вторую дополнительную характеристику  $n$  через точку  $P_2$ , проводя в этой точке направление линии  $P_2P$  при условии расположения  $P_2K$  и  $P_2Na$  соответственно параллельно  $SC$  и  $SB$ . Чем круче идет проведенная таким образом линия

на диаграмме, тем больше Na в алюмосиликатах; пологое ее направление указывает на богатство калиевыми алюмосиликатами.

Таким путем мы соединили диаграммы основной числовой характеристики и характеристик дополнительных на плоских проекциях пространственной диаграммы основной характеристики. Мы получили множество векторов на плоскости проекции  $ASB$  и связанное с ним множество прямых (направлений) на плоскости проекции  $CSB$ . Мы можем объединить эти геометрические элементы, допустив, что векторы на проекции  $ASB$  и направление на  $CSB$  являются проекциями некоторых векторов в пространстве и их направлений на плоскости  $ASB$  и  $CSB$ . Тогда и направления на плоскости  $CSB$  можно заменить векторами, проектируя на эти направления векторы, построенные на плоскости  $ASB$ . Принимая, векторы на плоскостях  $ASB$  и  $CSB$  за проекции векторов в пространстве, мы все числовые характеристики заменяем одним вектором в пространстве. Этот вектор действительно выражает шесть независимых переменных, т. е. отношения между семью числами: три координаты его начала, длину вектора и две координаты, определяющие его направление в пространстве. Множество векторов однозначно изображает все химические составы, поскольку они могут быть выражены в числовых характеристиках. Оно удовлетворяет полному и однозначному соответствуем с множеством данных анализов (из 7 чисел).

Для практических целей мы будем пользоваться, разумеется, проекциями векторов на плоскости  $ASB$  и  $CSB$ . На табл. А, приложенной к этой книге, представлена совокупность векторов, изображающих средние составы изверженных горных пород так, как они были подсчитаны Дэли, а на табл. В — векторы, отвечающие всем породам, получившим особые названия.

На проекции мы имеем также 6 независимых переменных: три координаты, которыми определяется положение начальных точек векторов (это будут координаты  $b$ ,  $a$  и  $c$ ), длину вектора на плоскости проекции  $ASB$  и углы наклонов векторов на обеих плоскостях проекций к оси  $B$ .

### Выражение на диаграмме главных особенностей химизма горных пород

Как мы уже отчасти видели, непосредственное рассмотрение такой диаграммы дает возможность наглядно представить характерные особенности химизма горных пород.

Положение вектора на диаграмме выражает главные особенности химизма, представленные в основной числовой характеристике. Векторы, располагающиеся внизу диаграммы, отвечают породам, богатым фемиическими составными частями. Чем вектор ближе к оси  $SB$ , тем порода беднее алюмосиликатами, чем дальше удалается вектор от  $SB$  на плоскости проекции  $ASB$ , тем больше в породе щелочных алюмосиликатов; породы, богатые аортитом, имеют векторы, удаленные от оси  $SB$  на проекции  $CSB$ . Векторы, близкие к вершине  $S$ , отвечают породам, богатым  $SiO_2$ .

Если мы проведем на нашей пространственной диаграмме плоскости через figurативные точки (начальные точки векторов) нормативных минералов, которые мы построили, то разделим всю область диаграммы на части; по положению начальных точек векторов в той или другой части можем разбить и химические составы на группы.

Наиболее важной плоскостью является плоскость

1) ог-ап-ру, уравнение которой  $s - (3a + 2c + b) = 0$ .

Горные породы, для которых начальные точки векторов попадают на эту плоскость (или практически близки к ней), являются «насыщен-

ными» кремнекислотой; точки, лежащие в стороне от этой плоскости и ближе к началу координат (вершина  $S$  или  $qu$ ), отвечают пересыщенным кремнекислотой породам; в противоположную сторону от этой плоскости уклоняются точки ненасыщенных кремнеземом горных пород. Мы уже видели раньше, что величина  $Q = s - (3a + 2c + b)$  для горных пород нормального класса может служить мерой химической пересыщенности или ненасыщенности состава горной породы кремнеземом. Для огромного большинства пород величины  $Q$  довольно близко выражают содержание кварца в породе.<sup>1</sup>

Для пород с составом, пересыщенным щелочами, плоскостью, отделяющей пересыщенные кремнеземом породы от недосыщенных, будет плоскость

$$s - (3a + 2c + b) = 0.$$

Для дальнейшего подразделения ненасыщенных пород можно воспользоваться плоскостями

$$2) ol - ap - ab, \text{ для которой } s - (3a + 2c + \frac{b}{2}) = 0$$

$$3) ol - ap - lc, \text{,,,,} \quad s - (2a + 2c + \frac{b}{2}) = 0$$

Наконец, за плоскость

$$4) ol - ap - pe, \text{ для которой } s - (a + 2c + \frac{b}{2}) = 0$$

могут войти только очень редкие типы.

Пределом же всех начальных точек векторов является плоскость

$$5) ap - pe - mt, \text{ для которой } s - (a + 2c) = 0.$$

Для пересыщенных щелочами пород мы должны взять плоскости, где  $ap$  заменено  $ac$ , и в их уравнениях вместо  $c$  подставить  $\bar{c}$ .

Следовательно, мы будем иметь в этом случае такие плоскости:

$$2a) ol - ac - ab, \text{ для которой } s - (3a + 2\bar{c} + \frac{b}{2}) = 0,$$

$$3a) ol - ac - lc, \text{,,,,} \quad s - (2a + 2\bar{c} + \frac{b}{2}) = 0,$$

$$4a) ol - ac - pe, \text{,,,,} \quad s - (a + 2\bar{c} + \frac{b}{2}) = 0,$$

$$5a) ac - pe - mt, \text{,,,,} \quad s - (a + 2\bar{c}) = 0.$$

Если после подстановки в эти выражения параметров числовых характеристики получим выражения, стоящие в левой части равенства, положительными, то начальные точки вектора лежат в сторону вершины  $S$ , а если эти выражения отрицательны, то в противоположную. Сопоставляя уравнение (1) с уравнениями (2—5), можно вывести, что условиями для того, чтобы точка лежала в сторону, противоположную  $S$  от каждой из перечисленных плоскостей, являются такие абсолютные величины  $[-Q]$  для пород с составом нормального ряда (стр. 22); для плоскости

$$ol - ap - ab: \quad [-Q] > \frac{b}{2},$$

$$ol - ap - lc: \quad [-Q] > \frac{b}{2} + a,$$

$$ol - ap - pe: \quad [-Q] > \frac{b}{2} + 2a,$$

$$ol - ap - mt: \quad [-Q] > b + 2a.$$

Те же равенства справедливы и для составов горных пород, пересыщенных щелочами, так как величины  $s$  и  $\bar{c}$  здесь исключаются.

<sup>1</sup> Из большого числа разнообразных пород эмпирически выводится соотношение  $\% Q + 7 > \text{кварц} > \% Q + 1$ .

Таким путем химические составы ненасыщенных кремнеземом пород могут быть разделены на группы по степени недостатка кремнезема.

Сравнивая химические составы изверженных пород между собою, мы легко заметим то обстоятельство, что встретить тождественные анализы одинаковых по другим признакам пород из разных месторождений можно в исключительно редких случаях. Чтобы убедиться в этом, достаточно просмотреть какой-либо сборник анализов.

Поэтому, как уже упоминалось раньше, петрографу обыкновенно приходится решать вопрос не о тождестве анализов сравниваемых пород, а о большей или меньшей их близости и, следовательно, оценивать численно эту близость. На диаграмме степень близости точек может быть легко определена как расстояние между этими точками. Поэтому близость химического состава горных пород в отношении тех признаков, которые выражены в основной числовой характеристике химического состава, может измеряться расстоянием между точками, выраженным в тех же единицах как параметры числовой характеристики. Мы условились (стр. 20) считать признаки химического состава, выражаемые в основной характеристике, самыми главными, и поэтому главным мерилом отличия химических составов и будет величина расстояния между начальными точками векторов на нашей диаграмме. Если состав с основной характеристикой  $(a c b s)$  мы сравниваем с составом  $(a_0 c_0 b_0 s_0)$ , то отличие первого от второго аналитически может быть выражено в виде

$$d = \sqrt{(a-a_0)^2 + (b-b_0)^2 + (c-c_0)^2}.$$

Существенное значение имеет также направление, в котором один состав отличается от другого. Это направление определяется отношениями:

$$(a-a_0) : (c-c_0) : (b-b_0).$$

Из этих трех величин или одна может превышать две остальные, или две, будучи почти равными, превышать третью и т. д.

Полезно ввести некоторые термины для обозначения уклонений какого-либо состава породы  $(a c b s)$  от ближайшего типа  $(a_0 c_0 b_0 s_0)$ . Уклонения могут быть:

1) В направлении какой-нибудь из координатных осей. Это будут случаи уклонений:

а) в направлении оси  $a$  — такие уклонения мы будем называть алкаллиплетовыми, если  $a-a_0$  положительно; алкалиптоховыми, если  $a-a_0$  отрицательно;

б) в направлении оси  $b$  — такие уклонения будут называться фемиплетовыми, если  $b-b_0$  положительно; фемиптоховыми, если  $b-b_0$  отрицательно;

в) в направлении оси  $c$  — такие уклонения будут кальциплетовыми, если  $c-c_0$  положительно; кальциптоховыми, если  $c-c_0$  отрицательно.

2) В случае, если имеется уклонение в двух направлениях, можно пользоваться соответственным двойным термином.

Пример. Основная числовая характеристика лампрофировой жильной породы с г. Магнитной такова:

$$a : c : b : s = 11.8 : 4.2 : 22.7 : 61.7.$$

Сравнивая ее с числовой характеристикой

$$a_0 : c_0 : b_0 : s_0 = 12 : 5 : 21 : 62$$

тиличного диоритового лампрофира, видим, что уклонение измеряется величиной

$$d = \sqrt{0.2^2 + 0.8^2 + 1.7^2} = 1.9;$$

наибольшей величиной является  $b - b_0$  с положительным знаком. Мы имеем состав, близкий к типу диоритового ламирофира и обнаруживающий фемиплетовое уклонение от этого типа.

Вычисление  $d$  по написанной выше формуле может быть удобно и быстро произведено с помощью логарифмической линейки и счетов, и тогда нет надобности прибегать к графическому построению.

Если мы имеем дело с составом, пересыщенным щелочами, для которого основная числовая характеристика будет ( $a : c : b : s$ ), то все изложенные соображения будут иметь свое значение, но, так как вместо  $c$  мы будем иметь  $s$  и точки будут располагаться по другую сторону плоскости  $ASB$ , то мы будем иметь построение на этой плоскости как бы симметричное по отношению к тому, какое имеет место в случае нормальных составов. Для обозначения уклонений в направлении оси  $s$  нужны другие термины, какими могут быть названия:

в1) акмиплетовых в сторону увеличения величины  $s$ , акмитоховых в сторону уменьшения величины  $s$  (от сокращенного названия стандартного минерала акмит).

Положение фигуративной точки на диаграмме для основных числовых характеристик или, другими словами, положение начальной точки вектора на нашей общей (комбинированной) диаграмме по отношению к положению фигуративных точек стандартных минералов дает приблизительное представление и о количественном минералогическом составе породы. Проводя плоскость через ребро  $BS$  и фигуративную точку породы, мы пересечением ее с линией полевых шпатов определим и отношение количеств  $(ol+ab) : ap$ . Необходимо только иметь в виду особенность, заключающуюся в том, что все измерения мы выражаем не в весовых единицах и не в молекулярных количествах, а в некоторых условных единицах, именно за единицу берется количество вещества с равным числом атомов, входящих в подсчет при образовании числовой характеристики.

Рассмотрим еще, какие особенности представляют сами векторы на нашей комбинированной диаграмме в проекциях их на плоскости  $ASB$ . Прежде всего, как мы уже говорили, по направлению векторов сразу же выделяются составы пород, пересыщенных глиноземом. Их векторы направлены вниз и влево, в отличие от всех остальных, отклоняющихся от вертикали вниз и вправо. При относительно большом содержании железа в фемической части породы — векторы короткие и при отсутствии  $Mg$  и  $Ca'$  они обратились бы в точку. При малом содержании железа конец вектора попадает на гипotenузу вспомогательного треугольника проекции, за пределы которого он, очевидно, выйти не может. Отметим еще такую особенность. В огромном большинстве случаев в цветных минералах  $MgO + FeO > CaO$ , для наиболее богатых известью пироксенов диопсид-геденбергитового ряда  $Mg + Fe = Ca$ . Для таких пироксенов, если изображать это отношение векторами, концы векторов расположатся по вертикальной прямой, соединяющей середину гипotenузы треугольника проекций с серединой горизонтального катета. Понятно, что вследствие отклонения модального (реального) минералогического состава горной породы от ее виртуального состава нет точного соответствия состава цветного минерала с длиной и направлением векторов, но все же приблизительно по этим признакам можно судить о характере цветного минерала в породе. Породы, пересыщенные глиноземом, с векторами наклонными влево, содержат как цветной минерал слюду. Вертикальные и близкие к ним векторы отвечают ромбическим пироксенам, наклонные вправо — моноклинным; в роговообманковых породах вооб-

ще можно ждать меньшего отклонения вектора, чем в авгитовых. Присутствие оливина естественно отклоняет вектор, приближая его к вертикали. Железистость цветных минералов выражается укорочением вектора.

Наконец, дополнительная характеристика, выражающая отношение щелочей в салических частях породы, изображается в нашей диаграмме наклоном проекции вектора на плоскость *CSB*. Нет надобности в каких-либо пояснениях этого простого обозначения. Заметим одну особенность, вытекающую из способа построения диаграммы. Для пород, богатых калием, векторы вообще получаются более длинными, так как они проектируются на направления вектора под более острым углом. В особенности длина полого наклонного вектора калиевых пород возрастает при высоком содержании Mg; тогда вектор может даже далеко выйти за пределы диаграммы. Наоборот, для пород, одновременно богатых Na и Fe, векторы на плоскости *CSB* будут наиболее короткими, и они будут наклонены круто. Таким образом, в нашей диаграмме особенно резко подчеркивается замечательный парагенезис элементов в изверженных породах, уже давно подмеченный Вашингтоном, именно: противоположная роль ассоциации K и Mg, с одной стороны, и Na и Fe — с другой. Более распространены натровые породы. Поэтому бросающиеся в глаза длины векторов калиевых пород удобны, чтобы подчеркнуть их исключительный характер.

### Изображение химизма серий горных пород.

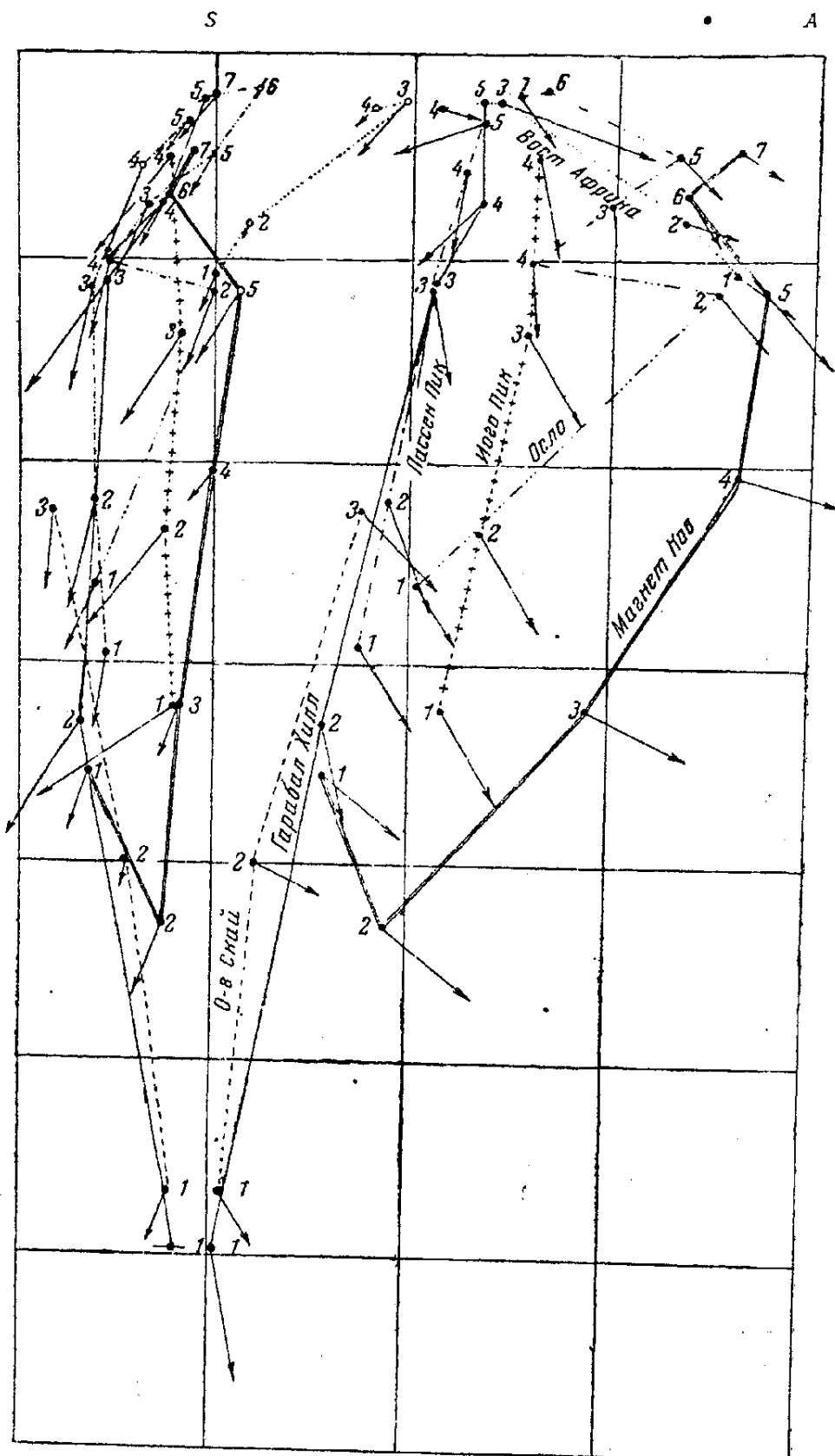
Очень важной задачей петрологии является изучение естественных ассоциаций или комплексов изверженных горных пород. При этом, с одной стороны, возникает вопрос о характере изменений в составе пород при переходе от одного члена серии к другому, с другой — возникает необходимость сравнения между собою различных ассоциаций пород.

Если изучаемый комплекс пород представляет серию или ряд отдельных членов, то соседние начальные точки их векторов можно соединить прямыми и получить вариационную диаграмму в виде ломаной или плавной линии (вариационная линия).

На фиг. 10 изображены некоторые серии горных пород в виде вариационных линий. Взяты те примеры, которые приводит в своей классической книге «The Natural History of Igneous Rocks» Харкер, и для которых он дает там вариационные диаграммы другого типа. Эти вариационные диаграммы Харкера воспроизведены в уменьшенном виде на фиг. 11. При принятом у нас способе изображения каждая вариационная диаграмма заменяется одной ломаной линией с рядом векторов в точках перелома. Правда, сама линия выражает изменение только тех отношений групп атомов (или окислов), которые приняты нами за главную или основную числовую характеристику состава, и для того, чтобы сравнивать такие отношения, как K:Na и Fe:Mg:Ca', необходимо пользоваться и дополнительными коэффициентами и строить векторы, но для общего наглядного сравнения серий пород такое изображение каждой серии линией и векторами дает большое преимущество благодаря наглядности. Об этом можно судить, сравнивая фиг. 11, где изображены рядом все вариационные диаграммы Харкера для тех же серий, с фиг. 10, где эти серии изображены по принятому нами способу в виде линий и векторов.

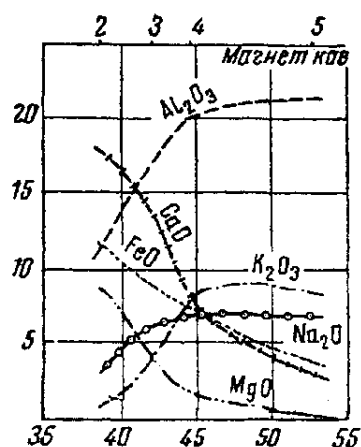
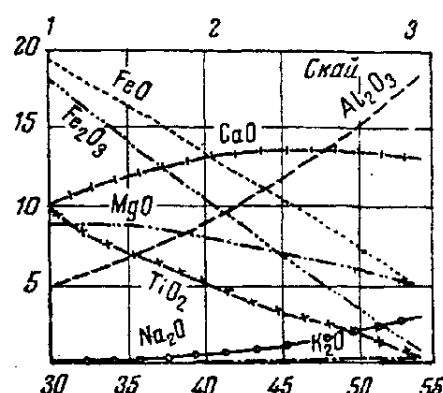
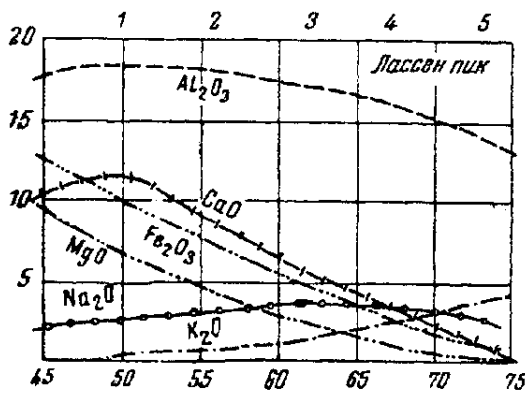
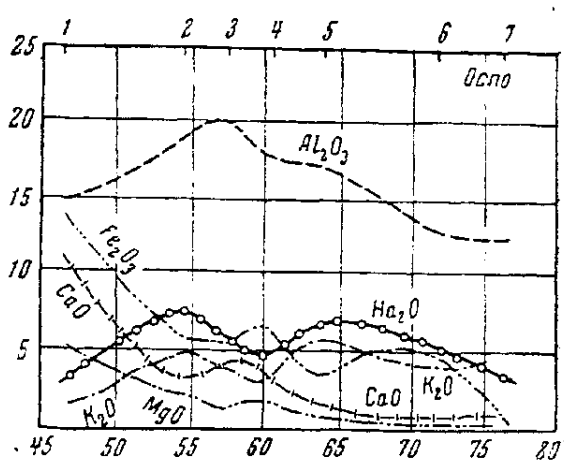
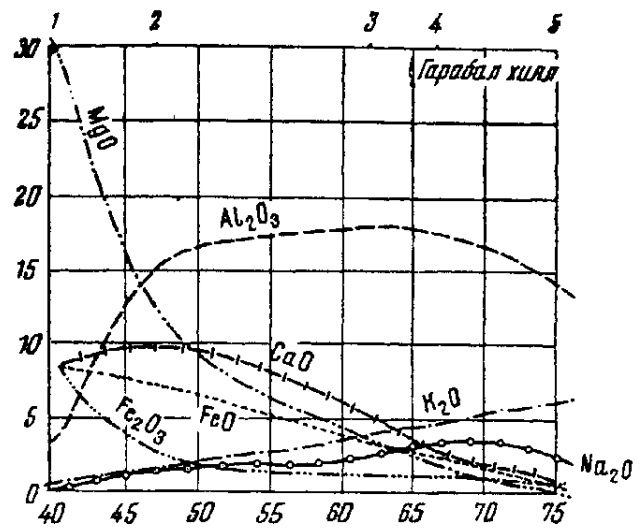
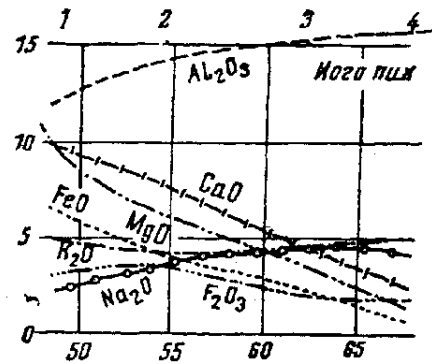
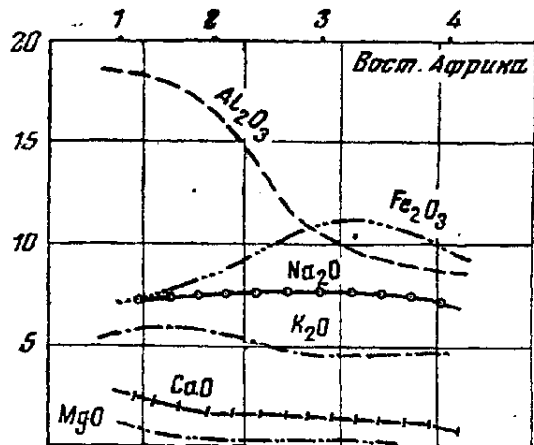
Вариационные диаграммы фиг. 11 строятся таким образом. На оси абсцисс откладывается содержание  $\text{SiO}_2$  для каждой породы и по оси

ординат — содержание других окислов этой породы; точки, отвечающие одним и тем же окислам, соединяются линиями. Сравнение двух каких-нибудь серий сводится к сравнению двух отдельных диаграмм, состоя-



Фиг. 10. Вариационные линии серии горных пород, приведенных на фиг. 11

щих каждая из ряда линий. Уже это сопоставление является мало наглядным, и приходится делать ряд отдельных сравнений линий, взятых попарно и т. д. Если же имеется ряд серий, то задача становится еще



Фиг. 11 Вариационные диаграммы Харкера для различных серий изверженных горных пород для сравнения с диаграммой фиг. 10. Каждой отдельной диаграмме фиг. 11 соответствует одна линия с векторами на диаграмме фиг. 10, представленная там двумя проекциями: 1) на плоскость *ASB* и 2) на плоскость *CSB*, развернутыми на плоскость чертежа

гораздо более сложной, тогда как линии и векторы фиг. 10 дают ясное и отчетливое представление о самых существенных особенностях породы. Совершенно определенно вырисовывается близость серий пород так называемого нормального ряда — габбро-диорит-гранит (или базальт-андезит-риолит), отличие их от щелочных формаций, сходство и различие этих последних между собою и т. д.

В задачу настоящей книги не входит рассмотрение особенностей этих диаграмм. Мы даем здесь только метод их построения. Этот метод представляет один из очень многих возможных других методов, и в отдельных частных случаях он может быть иногда заменен и каким-либо другим, но основной принцип однозначного изображения главных особенностей химического состава вектором трехмерной диаграммы является, очевидно, наиболее простым и наиболее удобным.

---

# ТАБЛИЦЫ

## I. ТАБЛИЦЫ ДЛЯ ВЫЧИСЛЕНИЯ МОЛЕКУЛЯРНЫХ КОЛИЧЕСТВ ОКИСЛОВ И ВЕСОВЫХ ПРОЦЕНТОВ

Таблицы служат для перечисления весового процентного содержания в молекулярные отношения.

Целые проценты соответственного окисла даны в первом столбце, десятые—в верхней строке. Сотые берутся интерполированием. Например, надо найти молекулярное количество, отвечающее 4.36%  $\text{Na}_2\text{O}$ . В соответственной таблице (стр. 48) находим, что искомое число заключено между 069 и 071; с точностью до третьего знака можно принять его равным 070 (или можно писать просто 70).

**Кремнекислота  $\text{SiO}_3$ ; молекулярный вес 60.06**

%	0.0	0.1	0.2	0.3	0.4	0.5	0.6	0.7	0.8	0.9	%
35	583	584	586	588	589	591	593	594	596	598	35
36	599	601	603	604	606	608	609	611	613	614	36
37	616	618	619	621	623	624	626	628	629	631	37
38	633	634	636	638	639	641	643	644	646	648	38
39	649	651	653	654	656	658	659	661	663	664	39
40	666	668	669	671	673	674	676	678	679	681	40
41	683	684	686	688	689	691	693	694	696	698	41
42	699	701	703	704	706	708	709	711	713	714	42
43	716	718	719	721	723	724	726	728	729	731	43
44	733	734	736	738	739	741	743	744	746	748	44
45	749	751	753	754	756	758	759	761	763	764	45
46	766	768	769	771	773	774	776	778	779	781	46
47	783	784	786	788	789	791	793	794	796	798	47
48	799	801	803	804	806	808	809	811	813	814	48
49	816	818	819	821	823	824	826	828	829	831	49
50	833	834	836	838	839	841	843	844	846	848	50
51	849	851	853	854	856	858	859	861	863	864	51
52	866	868	869	871	873	874	876	878	879	881	52
53	883	884	886	888	889	891	892	894	896	897	53
54	899	901	902	904	906	907	909	911	912	914	54
55	916	917	919	921	922	924	926	927	929	931	55
56	932	934	936	937	939	941	942	944	946	947	56
57	949	951	952	954	956	957	959	961	962	964	57
58	966	967	969	971	972	974	976	977	979	981	58
59	982	984	986	987	990	991	992	994	996	997	59
60	999	1.001	1.002	1.004	1.006	1.007	1.009	1.011	1.012	1.014	60
61	1.016	1.017	1.019	1.021	1.022	1.024	1.026	1.027	1.029	1.031	61
62	1.032	1.034	1.036	1.037	1.039	1.041	1.042	1.044	1.046	1.047	62
63	1.049	1.051	1.052	1.054	1.056	1.057	1.059	1.061	1.062	1.064	63
64	1.066	1.067	1.069	1.071	1.072	1.074	1.076	1.077	1.079	1.081	64
65	1.082	1.084	1.086	1.087	1.089	1.091	1.092	1.094	1.096	1.097	65
66	1.099	1.101	1.102	1.104	1.106	1.107	1.109	1.111	1.112	1.114	66
67	1.116	1.117	1.119	1.121	1.122	1.124	1.125	1.127	1.129	1.130	67
68	1.132	1.134	1.135	1.137	1.139	1.140	1.142	1.144	1.145	1.147	68
69	1.149	1.150	1.152	1.154	1.155	1.157	1.159	1.160	1.162	1.164	69
70	1.165	1.167	1.169	1.170	1.172	1.174	1.175	1.177	1.179	1.180	70
71	1.182	1.184	1.185	1.187	1.189	1.190	1.192	1.194	1.195	1.197	71
72	1.199	1.200	1.202	1.204	1.205	1.207	1.209	1.210	1.212	1.214	72
73	1.215	1.217	1.219	1.220	1.222	1.224	1.225	1.227	1.229	1.230	73
74	1.232	1.234	1.235	1.237	1.239	1.240	1.242	1.244	1.245	1.247	74
75	1.249	1.250	1.252	1.254	1.255	1.257	1.259	1.260	1.262	1.264	75
76	1.265	1.267	1.269	1.270	1.272	1.274	1.275	1.277	1.279	1.280	76
77	1.282	1.284	1.285	1.287	1.289	1.290	1.292	1.294	1.295	1.297	77

Глинозем  $\text{Al}_2\text{O}_3$ ; молекулярный вес 101.94

%	0.0	0.1	0.2	0.3	0.4	0.5	0.6	0.7	0.8	0.9	%
0	000	001	002	003	004	005	006	007	008	009	0
1	010	011	012	013	014	015	016	017	018	019	1
2	020	021	022	023	024	025	025	026	027	028	2
3	029	030	031	032	033	034	035	036	037	038	3
4	039	040	041	042	043	044	045	046	047	048	4
5	049	050	051	052	053	054	055	056	057	058	5
6	059	060	061	062	063	064	065	066	067	068	6
7	069	070	071	072	073	074	075	075	076	077	7
8	078	079	080	081	082	083	084	085	086	087	8
9	088	089	090	091	092	093	094	095	096	097	9
10	098	099	100	101	102	103	104	105	106	107	10
11	108	109	110	111	112	113	114	115	116	117	11
12	118	119	120	121	122	123	124	125	125	126	12
13	127	128	129	130	131	132	133	134	135	136	13
14	137	138	139	140	141	142	143	144	145	146	14
15	147	148	149	150	151	152	153	154	155	156	15
16	157	158	159	160	161	162	163	164	165	166	16
17	167	168	169	170	171	172	173	174	175	176	17
18	177	178	178	179	180	181	182	183	184	185	18
19	186	187	188	189	190	191	192	193	194	195	19
20	196	197	198	199	200	201	202	203	204	205	20
21	206	207	208	209	210	211	212	213	214	215	21
22	216	217	218	219	220	221	222	223	224	225	22
23	226	227	228	229	229	230	231	232	233	234	23
24	235	236	237	238	239	240	241	242	243	244	24
25	245	246	247	248	249	250	251	252	253	254	25
26	255	256	257	258	259	260	261	262	263	264	26
27	265	266	267	268	269	270	271	272	273	274	27
28	275	276	277	278	279	280	281	281	282	283	28
29	284	285	286	287	288	289	290	291	292	293	29

Окись железа  $\text{Fe}_2\text{O}_3$ ; молекулярный вес 159.68

%	0.0	0.1	0.2	0.3	0.4	0.5	0.6	0.7	0.8	0.9	%
0	000	001	001	002	003	003	004	004	005	006	0
1	006	007	007	008	009	009	010	011	011	012	1
2	012	013	014	014	015	016	016	017	017	018	2
3	019	019	020	021	021	022	023	023	024	024	3
4	025	026	026	027	028	028	029	029	030	030	4
5	031	032	033	033	034	034	035	036	036	037	5
6	038	038	039	039	040	041	041	042	043	043	6
7	044	044	045	046	046	047	048	048	049	049	7
8	050	051	051	052	053	053	054	054	055	056	8
9	056	057	058	058	059	059	060	061	061	062	9
10	063	063	064	064	065	066	066	067	068	068	10
11	069	069	070	071	071	072	073	073	074	074	11
12	075	076	076	077	078	078	079	079	080	081	12
13	081	082	083	083	084	084	085	086	086	087	13
14	088	088	089	090	090	091	091	092	093	093	14
15	094	095	095	096	096	097	098	098	099	100	15
16	100	101	101	102	103	103	104	105	105	106	16
17	106	107	108	108	109	110	110	111	111	112	17
18	113	113	114	115	115	116	116	117	118	118	18
19	119	120	120	121	121	122	123	123	124	125	19

Закись железа  $\text{FeO}$ ; молекулярный вес 71.94

0	000	001	003	004	006	007	008	010	011	012	0
1	014	015	017	018	019	021	022	024	025	026	1
2	028	029	031	032	033	035	036	038	039	040	2
3	042	043	044	046	047	049	050	051	053	054	3
4	056	057	058	060	061	063	064	065	067	068	4
5	070	071	072	074	075	077	078	079	081	082	5
6	083	085	086	088	089	090	092	093	095	096	6
7	097	099	100	102	103	104	106	107	109	110	7
8	111	113	114	115	117	118	120	121	122	124	8
9	125	127	128	129	131	132	134	135	136	138	9
10	139	141	142	143	145	146	148	149	150	152	10
11	153	154	156	157	159	160	161	163	164	166	11
12	167	168	170	171	173	174	175	177	178	180	12
13	181	182	184	185	186	188	189	191	192	193	13
14	195	196	198	199	200	202	203	205	206	207	14
15	209	210	212	213	214	216	217	218	220	221	15
16	223	224	225	227	228	230	231	232	234	235	16
17	237	238	239	241	242	244	245	246	248	249	17
18	251	252	253	255	256	257	259	260	262	263	18
19	264	266	267	269	270	271	273	274	276	277	19

**Магнезия MgO; молекулярный вес 40.32**

%	0.0	0.1	0.2	0.3	0.4	0.5	0.6	0.7	0.8	0.9	%
0	000	003	005	007	010	012	015	017	020	022	0
1	025	027	030	032	035	037	040	042	045	047	1
2	050	052	055	057	059	062	065	067	069	072	2
3	074	077	079	082	084	087	089	092	094	097	3
4	099	102	104	107	109	112	114	117	119	121	4
5	124	127	129	132	134	136	139	141	144	146	5
6	149	151	154	156	159	161	164	166	169	171	6
7	174	176	179	181	183	186	189	191	194	196	7
8	198	201	203	206	208	211	213	216	218	221	8
9	223	226	228	231	233	236	238	241	243	245	9
10	248	250	253	256	258	260	263	265	268	270	10
11	273	275	278	280	283	285	288	290	293	295	11
12	298	300	303	305	307	310	312	315	317	320	12
13	322	325	327	330	332	335	337	340	342	345	13
14	347	350	352	355	357	360	362	365	367	369	14
15	372	374	377	379	382	384	387	389	392	394	15
16	397	399	402	404	407	409	412	414	417	419	16
17	422	424	427	429	432	434	436	439	441	444	17
18	446	449	451	454	456	459	461	464	466	469	18
19	471	474	476	479	481	484	486	489	491	494	19
20	496	499	501	503	506	508	511	513	516	518	20
21	521	523	526	528	531	533	536	538	541	543	21
22	547	548	551	553	556	558	560	563	566	568	22
23	570	573	575	578	580	583	585	588	590	593	23
24	595	598	600	603	605	608	610	613	615	618	24
25	620	622	625	628	630	632	635	637	640	642	25
26	645	647	650	652	655	657	660	662	665	667	26
27	670	672	675	677	680	682	685	687	690	692	27
28	694	697	699	702	704	707	709	712	714	717	28
29	719	722	724	727	729	732	734	737	739	742	29
30	744	746	749	751	754	756	759	761	764	766	30
31	769	771	774	776	779	781	784	786	789	791	31
32	794	796	799	801	804	806	808	811	814	816	32
33	819	821	823	826	828	831	833	836	838	841	33
34	843	846	848	851	853	856	858	861	863	866	34
35	868	870	873	876	878	881	883	885	888	890	35
36	893	895	898	900	903	905	908	910	913	915	36
37	918	920	923	925	928	930	932	935	937	940	37
38	942	945	947	950	952	955	957	960	962	965	38
39	967	970	972	975	977	980	982	985	987	990	39
40	992	994	997	999	1.002	1.004	1.007	1.009	1.012	1.014	40

**Известь CaO; молекулярный вес 56.08**

%	0.0	0.1	0.2	0.3	0.4	0.5	0.6	0.7	0.8	0.9	%
0	000	002	004	005	007	009	011	013	014	016	0
1	018	020	021	023	025	027	029	030	032	034	1
2	036	038	039	041	043	045	046	048	050	052	2
3	054	055	057	059	061	062	064	066	068	070	3
4	071	073	075	077	079	080	082	084	086	087	4
5	089	091	093	095	096	098	100	102	103	105	5
6	107	109	111	112	114	116	118	120	121	123	6
7	125	127	128	130	132	134	136	137	139	141	7
8	143	144	146	148	150	152	153	155	157	159	8
9	161	162	164	166	168	169	171	173	175	177	9
10	178	180	182	184	185	187	189	191	193	194	10
11	196	198	200	201	203	205	207	209	210	212	11
12	214	216	218	219	221	223	225	227	228	230	12
13	232	234	235	237	239	241	243	244	246	248	13
14	250	251	253	255	257	259	260	262	264	266	14
15	268	269	271	273	275	276	278	280	282	284	15
16	285	287	289	291	292	294	296	298	300	301	16
17	303	305	307	308	310	312	314	316	317	319	17
18	321	323	324	326	328	330	332	334	335	337	18
19	339	341	342	344	346	348	349	351	353	355	19
20	357	358	360	362	364	366	367	369	371	373	20
21	375	376	378	380	382	383	385	387	389	391	21
22	392	394	396	398	399	401	403	405	407	408	22
23	410	412	414	416	417	419	421	423	424	426	23
24	428	430	432	433	435	437	439	440	442	444	24

**Натр Na<sub>2</sub>O; молекулярный вес 61.994**

0	000	002	003	005	006	008	010	011	013	015	0
1	016	018	019	021	023	024	026	027	029	031	1
2	032	034	035	037	039	040	042	044	045	047	2
3	048	050	052	053	055	056	058	060	061	063	3
4	065	066	068	069	071	073	074	076	077	079	4
5	081	082	084	085	087	089	090	092	094	095	5
6	097	098	100	102	103	105	106	108	110	111	6
7	113	115	116	118	119	121	123	124	126	127	7
8	129	131	132	134	135	137	139	140	142	144	8
9	145	147	148	150	152	153	155	156	158	160	9
10	161	163	165	166	168	169	171	173	174	176	10
11	177	179	181	182	184	185	187	189	190	192	11
12	194	195	197	198	200	202	203	205	206	208	12
13	210	211	213	215	216	218	219	221	223	224	13
14	226	227	229	231	232	234	235	237	239	240	14
15	242	244	245	247	248	250	252	253	255	256	15
16	258	260	261	263	265	266	268	269	271	273	16
17	274	276	277	279	281	282	284	285	287	289	17
18	290	292	294	295	297	298	300	302	303	305	18
19	306	308	310	311	313	315	316	318	319	321	19

**Кали K<sub>2</sub>O; молекулярный вес 94.20**

%	0.0	0.1	0.2	0.3	0.4	0.5	0.6	0.7	0.8	0.9	%
0	000	001	002	003	004	005	006	007	009	010	0
1	011	012	013	014	015	016	017	018	019	020	1
2	021	022	023	024	025	027	028	029	030	031	2
3	032	033	034	035	036	037	038	039	040	041	3
4	042	044	045	046	047	048	049	050	051	052	4
5	053	054	055	056	057	058	059	061	062	063	5
6	064	065	066	067	068	069	070	071	072	073	6
7	074	075	076	077	079	080	081	082	083	084	7
8	085	086	087	088	089	090	091	092	093	094	8
9	095	097	098	099	100	101	102	103	104	105	9
10	106	107	108	109	110	111	112	114	115	116	10
11	117	118	119	120	121	122	123	124	125	126	11
12	127	128	129	131	132	133	134	135	136	137	12
13	138	139	140	141	142	143	144	145	146	148	13
14	149	150	151	152	153	154	155	156	157	158	14
15	159	160	161	162	163	165	166	167	168	169	15
16	170	171	172	173	174	175	176	177	178	179	16
17	180	181	183	184	185	186	187	188	189	190	17
18	191	192	193	194	195	196	197	198	200	201	18
19	202	203	204	205	206	207	208	209	210	211	19

**Вода H<sub>2</sub>O; молекулярный вес 18.016**

0	000	006	011	017	022	028	033	039	044	050	0
1	056	061	067	072	078	083	089	094	100	106	1
2	111	117	122	128	133	139	144	150	155	161	2
3	166	172	178	183	189	194	200	205	211	217	3
4	222	228	233	239	244	250	255	261	266	272	4
5	277	283	289	294	300	305	311	316	322	328	5
6	333	339	344	350	355	361	366	372	377	383	6
7	389	394	400	405	411	416	422	427	433	438	7
8	444	450	455	461	466	472	477	483	488	494	8
9	500	505	511	516	522	527	533	538	544	550	9

**Титановая кислота TiO<sub>2</sub>; молекулярный вес 79.90**

0	000	001	003	004	005	006	008	009	010	011	0
1	013	014	015	016	018	019	020	021	023	024	1
2	025	026	028	029	030	031	033	034	035	036	2
3	038	039	040	041	043	044	045	046	048	049	3
4	050	051	053	054	055	056	058	059	060	061	4
5	063	064	065	066	068	069	070	071	073	074	5
6	075	076	078	079	080	081	083	084	085	086	6
7	088	089	090	091	093	094	095	096	098	099	7
8	100	101	103	104	105	106	108	109	110	111	8
9	113	114	115	116	118	119	120	121	123	124	9

**Пятиокись фосфора P<sub>2</sub>O<sub>5</sub>; молекулярный вес 142.04**

0	000	001	001	002	003	004	004	005	006	006	0
1	007	008	008	009	010	011	011	012	013	013	1
2	014	015	015	016	017	018	018	019	020	020	2
3	021	022	023	023	024	025	025	026	027	027	3
4	028	029	030	030	031	032	032	033	034	035	4
5	035	036	037	037	038	039	039	040	041	042	5

**Окись циркония  $ZrO_2$ ; молекулярный вес 123.22**

%	0.0	0.1	0.2	0.3	0.4	0.5	0.6	0.7	0.8	0.9	%
0	000	001	002	002	003	004	005	006	007	007	0
1	008	009	010	011	011	012	013	014	015	015	1
2	016	017	018	019	020	020	021	022	023	024	2
3	024	025	026	027	028	028	029	030	031	032	3
4	033	033	034	035	036	037	037	038	039	040	4
5	041	041	042	043	044	045	046	046	047	048	5

**Углекислота  $CO_2$ ; молекулярный вес 44.00**

0	000	002	005	007	009	011	014	016	018	020	0
1	023	025	027	030	032	034	036	039	041	043	1
2	045	048	050	052	055	057	059	061	064	066	2
3	068	070	073	075	077	080	082	084	086	089	3
4	091	093	095	098	100	102	105	107	109	111	4
5	114	116	118	120	123	125	127	130	132	134	5
6	136	139	141	143	145	148	150	152	155	157	6
7	159	161	164	166	168	170	173	175	177	180	7
8	182	184	186	189	191	193	195	198	200	202	8
9	205	207	209	211	214	216	218	220	223	225	9

**Серный ангидрид  $SO_3$ ; молекулярный вес 80.06**

0	000	001	003	004	005	006	008	009	010	011	0
1	013	014	015	016	018	019	020	021	023	024	1
2	025	026	028	029	030	031	033	034	035	036	2
3	038	039	040	041	043	044	045	046	048	049	3
4	050	051	053	054	055	056	058	059	060	061	4

**Хлор  $Cl$ ; молекулярный вес 35.457**

0	000	003	006	009	011	014	017	020	023	025	0
1	028	031	034	037	039	042	045	048	051	054	1
2	056	059	062	065	068	070	073	076	079	082	2
3	085	087	090	093	096	099	101	104	107	110	3

**Закись марганца  $MnO$ ; молекулярный вес 70.93**

0	000	001	003	004	006	007	008	010	011	013	0
1	014	015	017	018	020	021	023	024	025	027	1
2	028	030	031	032	034	035	037	038	039	041	2
3	042	044	045	046	048	049	051	052	054	055	3

**Фтор  $F$ ; атомный вес 19.00**

0	000	005	011	016	021	026	032	037	042	047	0
1	053	058	063	068	074	079	084	089	095	100	1

**Окись бария  $BaO$ ; молекулярный вес 153.36**

0	000	001	001	002	003	003	004	005	005	006	0
1	007	007	008	009	009	010	010	011	012	012	1
2	013	014	014	015	016	016	017	018	018	019	2
3	020	020	021	022	022	023	024	024	025	025	3

**Окись стронция  $SrO$ ; молекулярный вес 103.63**

0	000	001	002	003	004	005	006	007	008	009	0
1	010	011	012	013	014	014	015	016	017	018	1

**II. ТАБЛИЦЫ ДЛЯ ПЕРЕХОДА ОТ СУММЫ  $A+C+B+S$ , РАВНОЙ ОТ 1000 ДО 2000, К СУММЕ  $a+c+b+s$ , РАВНОЙ 100**

Таблицы служат для приведения к 100 (т. е. перечисления в проценты) суммы  $A+C+B+S$ , когда числа эти даны в тысячных долях. В верхних, обведенных чертами строках находится сумма  $A+C+B+S$  в тысячных через каждые 5 единиц (тысячных), что достаточно для вычисления  $a, c, b$  и  $s$  с точностью до одной десятой. В случае надобности при вычислении можно интерполировать. В вертикальных крайних столбцах находятся цифры от 1 до 9 и под соответствующей величиной суммы в каждой из 9 строк — цифры, выражющие проценты, отвечающие сотням чисел 1 до 9 (единицам первого знака молекулярных чисел); для десятков и единиц (следующих знаков) надо перемещать точку влево, а для тысяч (целых молекулярных чисел) вправо. Таблица позволяет заменить деление сложением. Пользование ею лучше всего видно из двух примеров.

Для андезита Мон-Пеле мы нашли (стр. 26)

$$A+C+B+S=1428;$$

ближайшее по таблице число для суммы 1430:

$A = 112$	$C = 116$	$B = 182$	$S = 1018$
100 . . . . . 6.99	100 . . . . . 6.99	100 . . . . . 6.99	1000 . . . . 69.9
10 . . . . . 0.699	10 . . . . . 0.699	80 . . . . . 5.59	0 . . . . . 0
2 . . . . . 0.14	6 . . . . . 0.42	2 . . . . . 0.14	10 . . . . . 0.699
<hr/> $a = 7.8$	<hr/> $c = 8.1$	<hr/> $b = 12.7$	<hr/> $s = 71.2$

$$a+c+b+s=99.8$$

вместо 100, вследствие округления цифр до 0.1; разницу, равную 0.2, следует, очевидно, прибавить к величине  $s$ , значительно превышающей  $a, c$  и  $b$ .

Для пантеллерита (стр. 27) имеем

$$A+C+B+S=1453,$$

по таблице ближайшие числа 1450 и 1455; можно интерполировать, беря среднее

$A = 223$	$C = 50$	$B = 91$	$S = 1086$
200 . . . . . 13.7	50 . . . 3.45	90 . . . . . 6.21	1000 . . . . 68.8
20 . . . . . 1.37	0 . . . 0	1 . . . . . 0.07	0 . . . . . 0
6 . . . . . 0.41	<hr/> $b = 3.4$	<hr/> $b = 6.3$	<hr/> $s = 74.7$
<hr/> $a = 15.5$			

Таблицами можно пользоваться для пересчета на 100 (в процентах) и в том случае, когда сумма чисел не заключена между 1000 и 2000; для этого нужно все числа умножить или, все равно, разделить на какое-нибудь простое число, например на 2, чтобы сумма после этого оказалась в пределах 1000—2000. Например, пусть в анализе андезитобазальта вулкана Авача надо найти отношение числа атомов  $\text{Fe}(+\text{Mn}) : \text{Mg} : \text{Ca}$ , входящих в группу  $B$  (стр. 25).

Общая сумма их  $B=299$ ; чтобы привести ее к числу, заключающемуся между 1000 и 2000, умножим эту сумму на  $\frac{10}{2}$ , т. е. приписав 0, разделим на 2, получим

$$B' = 1495.$$

Умножим на то же число соответственно числа атомов  $\text{Fe}(+\text{Mn})$ ,  $\text{Mg}$  и  $\text{Ca}$ , получим

$$111 \times \frac{10}{2} = 555; 141 \times \frac{10}{2} = 705; 47 \times \frac{10}{2} = 235$$

и по таблицам найдем:

$F' = 555$	$M' = 705$	$C' = 235$
500 . . . . . 33.4	700 . . . . . 46.8	200 . . . . . 13.4
50 . . . . . 3.34	0 . . . . . 0	30 . . . . . 2.01
5 . . . . . 0.33	5 . . . . . 0.33	5 . . . . . 0.33
$f' = 37.1$	$m' = 47.1$	$c' = 15.7$

Округляя до целых чисел, получим

$$f' = 37, m' = 47, c' = 16.$$

	1000	1005	1010	1015	1020	1025	1030	1035	1040	1045
1	10.0	9.95	9.90	9.85	9.80	9.76	9.71	9.66	9.62	9.57
2	20.0	19.9	19.8	19.7	19.6	19.5	19.4	19.3	19.2	19.1
3	30.0	29.9	29.7	29.6	29.4	29.3	29.1	29.0	28.8	28.7
4	40.0	39.8	39.6	39.4	39.2	39.0	38.8	38.6	38.5	38.3
5	50.0	49.8	49.5	49.3	49.0	48.8	48.5	48.3	48.1	47.8
6	60.0	59.7	59.4	59.1	58.8	58.5	58.3	58.0	57.7	57.4
7	70.0	69.7	69.3	69.0	68.6	68.3	68.0	67.6	67.3	67.0
8	80.0	79.6	79.2	78.8	78.4	78.0	77.7	77.3	76.9	76.6
9	90.0	89.6	89.1	88.7	88.2	87.8	87.4	87.0	86.5	86.1
	1050	1055	1060	1065	1070	1075	1080	1085	1090	1095
1	9.52	9.48	9.43	9.39	9.35	9.30	9.26	9.22	9.17	9.13
2	19.0	19.0	18.9	18.8	18.7	18.6	18.5	18.4	18.3	18.3
3	28.6	28.4	28.3	28.2	28.0	27.9	27.8	27.6	27.5	27.4
4	38.1	37.9	37.7	37.6	37.4	37.2	37.0	36.9	36.7	36.5
5	47.6	47.4	47.2	46.9	46.7	46.5	46.3	46.1	45.9	45.7
6	57.1	56.9	56.6	56.3	56.1	55.8	55.6	55.3	55.0	54.8
7	66.7	66.4	66.0	65.7	65.4	65.1	64.8	64.5	64.2	63.9
8	76.2	75.8	75.5	75.1	74.8	74.4	74.1	73.7	73.4	73.1
9	85.7	85.3	84.9	84.5	84.1	83.7	83.3	82.9	82.6	82.2

	1100	1105	1110	1115	1120	1125	1130	1135	1140	1145
1	9.09	9.05	9.01	8.97	8.93	8.89	8.85	8.81	8.77	8.73
2	18.2	18.1	18.0	17.9	17.9	17.8	17.7	17.6	17.5	17.5
3	27.3	27.1	27.0	26.9	26.8	26.7	26.5	26.4	26.3	26.2
4	36.4	36.2	36.0	35.9	35.7	35.6	35.4	35.2	35.1	34.9
5	45.5	45.2	45.0	44.8	44.6	44.4	44.2	44.1	43.9	43.7
6	54.5	54.3	54.1	53.8	53.6	53.3	53.1	52.9	52.6	52.4
7	63.6	63.3	63.1	62.8	62.5	62.2	61.9	61.7	61.4	61.1
8	72.7	72.4	72.1	71.7	71.4	71.1	70.8	70.5	70.2	69.9
9	81.8	81.4	81.1	80.7	80.4	80.0	79.6	79.3	78.9	78.6
	1150	1155	1160	1165	1170	1175	1180	1185	1190	1195
1	8.70	8.66	8.62	8.58	8.55	8.51	8.47	8.44	8.40	8.37
2	17.4	17.3	17.2	17.2	17.1	17.0	16.9	16.9	16.8	16.7
3	26.1	26.0	25.9	25.8	25.6	25.5	25.4	25.3	25.2	25.1
4	34.8	34.6	34.5	34.3	34.2	34.0	33.9	33.8	33.6	33.5
5	43.5	43.3	43.1	42.9	42.7	42.6	42.4	42.2	42.0	41.8
6	52.2	51.9	51.7	51.5	51.3	51.1	50.8	50.6	50.4	50.2
7	60.9	60.6	60.3	60.1	59.8	59.6	59.3	59.1	58.8	58.6
8	69.6	69.3	69.0	68.7	68.4	68.1	67.8	67.5	67.2	66.9
9	78.3	77.9	77.6	77.3	76.9	76.6	76.3	75.9	75.6	75.3
	1200	1205	1210	1215	1220	1225	1230	1235	1240	1245
1	8.33	8.30	8.26	8.23	8.20	8.16	8.13	8.10	8.06	8.03
2	16.7	16.6	16.5	16.5	16.4	16.3	16.3	16.2	16.1	16.1
3	25.0	24.9	24.8	24.7	24.6	24.5	24.4	24.3	24.2	24.1
4	33.3	33.2	33.1	32.9	32.8	32.7	32.5	32.4	32.3	32.1
5	41.7	41.5	41.3	41.2	41.0	40.8	40.7	40.5	40.3	40.2
6	50.0	49.8	49.6	49.4	49.2	49.0	48.8	48.6	48.4	48.2
7	58.3	58.1	57.9	57.6	57.4	57.1	56.9	56.7	56.5	56.2
8	66.7	66.4	66.1	65.8	65.6	65.3	65.0	64.8	64.5	64.3
9	75.0	74.7	74.4	74.1	73.8	73.5	73.2	72.9	72.6	72.3
	1250	1255	1260	1265	1270	1275	1280	1285	1290	1295
1	8.00	7.97	7.94	7.91	7.87	7.84	7.81	7.78	7.75	7.72
2	16.0	15.9	15.9	15.8	15.7	15.7	15.6	15.6	15.5	15.4
3	24.0	23.9	23.8	23.7	23.6	23.5	23.4	23.3	23.3	23.2
4	32.0	31.9	31.7	31.6	31.5	31.4	31.3	31.1	31.0	30.9
5	40.0	39.8	39.7	39.5	39.4	39.2	39.1	38.9	38.8	38.6
6	48.0	47.8	47.6	47.4	47.2	47.1	46.9	46.7	46.5	46.3
7	56.0	55.8	55.6	55.3	55.1	54.9	54.7	54.5	54.3	54.1
8	64.0	63.7	63.5	63.2	63.0	62.7	62.5	62.3	62.0	61.8
9	72.0	71.7	71.4	71.1	70.9	70.6	70.3	70.0	69.8	69.5
	1300	1305	1310	1315	1320	1325	1330	1335	1340	1345
1	7.69	7.66	7.63	7.60	7.58	7.55	7.52	7.49	7.46	7.43
2	15.4	15.3	15.3	15.2	15.2	15.1	15.0	15.0	14.9	14.8
3	23.1	23.0	22.9	22.8	22.7	22.6	22.6	22.5	22.4	22.3
4	30.8	30.7	30.5	30.4	30.3	30.2	30.1	30.0	29.9	29.7
5	38.5	38.3	38.2	38.0	37.9	37.7	37.6	37.5	37.3	37.2
6	46.2	46.0	45.8	45.6	45.5	45.3	45.1	44.9	44.8	44.6
7	53.8	53.6	53.4	53.2	53.0	52.8	52.6	52.4	52.2	52.0
8	61.5	61.3	61.1	60.8	60.6	60.4	60.2	59.9	59.7	59.5
9	69.2	69.0	68.7	68.4	68.2	67.9	67.7	67.4	67.2	66.9

	1350	1355	1360	1365	1370	1375	1380	1385	1390	1395
1	7.41	7.38	7.35	7.33	7.30	7.27	7.25	7.22	7.19	7.17
2	14.8	14.8	14.7	14.7	14.6	14.5	14.5	14.4	14.4	14.3
3	22.2	22.1	22.1	22.0	21.9	21.8	21.7	21.7	21.6	21.5
4	29.6	29.5	29.4	29.3	29.2	29.1	29.0	28.9	28.8	28.7
5	37.0	36.9	36.8	36.6	36.5	36.4	36.2	36.1	36.0	35.8
6	44.4	44.3	44.1	44.0	43.8	43.6	43.5	43.3	43.2	43.0
7	51.9	51.7	51.5	51.3	51.1	50.9	50.7	50.5	50.4	50.2
8	59.3	59.0	58.8	58.6	58.4	58.2	58.0	57.8	57.6	57.3
9	66.7	66.4	66.2	65.9	65.7	65.5	65.2	65.0	64.7	64.5
	1400	1405	1410	1415	1420	1425	1430	1435	1440	1445
1	7.14	7.12	7.09	7.07	7.04	7.02	6.99	6.97	6.94	6.92
2	14.3	14.2	14.2	14.1	14.1	14.0	14.0	13.9	13.9	13.8
3	21.4	21.4	21.3	21.2	21.1	21.1	21.0	20.9	20.8	20.8
4	28.6	28.5	28.4	28.3	28.2	28.1	28.0	27.9	27.8	27.7
5	35.7	35.6	35.5	35.3	35.2	35.1	35.0	34.8	34.7	34.6
6	42.9	42.7	42.6	42.4	42.3	42.1	42.0	41.8	41.7	41.5
7	50.0	49.8	49.6	49.5	49.3	49.1	49.1	48.8	48.6	48.4
8	57.1	56.9	56.7	56.5	56.3	56.1	55.9	55.7	55.6	55.4
9	64.3	64.1	63.8	63.6	63.4	63.2	62.9	62.7	62.5	62.3
	1450	1455	1460	1465	1470	1475	1480	1485	1490	1495
1	6.90	6.87	6.85	6.83	6.80	6.78	6.76	6.73	6.71	6.69
2	13.8	13.7	13.7	13.7	13.6	13.6	13.5	13.5	13.4	13.4
3	20.7	20.6	20.5	20.5	20.4	20.3	20.3	20.2	20.1	20.1
4	27.6	27.5	27.4	27.3	27.2	27.1	27.0	26.9	26.8	26.8
5	34.5	34.4	34.2	34.1	34.0	33.9	33.8	33.7	33.6	33.4
6	41.4	41.2	41.1	41.0	40.8	40.7	40.5	40.4	40.3	40.1
7	48.3	48.1	47.9	47.8	47.6	47.5	47.3	47.1	47.0	46.8
8	55.2	55.0	54.8	54.6	54.4	54.2	54.1	53.9	53.7	53.5
9	62.1	61.9	61.6	61.4	61.2	61.0	60.8	60.6	60.4	60.2
	1500	1505	1510	1515	1520	1525	1530	1535	1540	1545
1	6.67	6.64	6.62	6.60	6.58	6.56	6.54	6.51	6.49	6.47
2	13.3	13.3	13.2	13.2	13.2	13.1	13.1	13.0	13.0	12.9
3	20.0	19.9	19.9	19.8	19.7	19.7	19.6	19.5	19.5	19.4
4	26.7	26.6	26.5	26.4	26.3	26.2	26.1	26.1	26.0	25.9
5	33.3	33.2	33.1	33.0	32.9	32.8	32.7	32.6	32.5	32.4
8	40.0	39.9	39.7	39.6	39.5	39.3	39.2	39.1	39.0	38.8
7	46.7	46.5	46.4	46.2	46.1	45.9	45.8	45.6	45.5	45.3
6	53.3	53.2	53.0	52.8	52.6	52.5	52.3	52.2	51.9	51.8
9	60.0	59.8	59.6	59.4	59.2	59.0	58.8	58.6	58.4	58.3
	1550	1555	1560	1565	1570	1575	1580	1585	1590	1595
1	6.45	6.43	6.41	6.39	6.37	6.35	6.33	6.31	6.29	6.27
2	12.9	12.9	12.8	12.8	12.7	12.7	12.7	12.6	12.6	12.5
3	19.4	19.3	19.2	19.2	19.1	19.0	19.0	18.9	18.9	18.8
4	25.8	25.7	25.6	25.6	25.5	25.4	25.3	25.2	25.2	25.1
5	32.3	32.2	32.1	31.9	31.8	31.7	31.6	31.5	31.4	31.3
6	38.7	38.6	38.5	38.3	38.2	38.1	38.0	37.9	37.7	37.6
7	45.2	45.0	44.9	44.7	44.6	44.4	44.3	44.2	44.0	43.9
8	51.6	51.4	51.3	51.1	51.0	50.8	50.6	50.5	50.3	50.2
9	58.1	57.9	57.7	57.5	57.3	57.1	57.0	56.8	56.6	56.4

	1600	1605	1610	1615	1620	1625	1630	1635	1640	1645
1	6.25	6.23	6.21	6.19	6.17	6.15	6.13	6.12	6.10	6.08
2	12.5	12.5	12.4	12.4	12.3	12.3	12.3	12.2	12.2	12.2
3	18.8	18.7	18.6	18.6	18.5	18.5	18.4	18.3	18.3	18.2
4	25.0	24.9	24.8	24.8	24.7	24.6	24.5	24.5	24.4	24.3
5	31.3	31.2	31.1	31.0	30.9	30.8	30.7	30.6	30.5	30.4
6	37.5	37.4	37.3	37.2	37.0	36.9	36.8	36.7	36.6	36.5
7	43.8	43.6	43.5	43.3	43.2	43.1	42.9	42.8	42.7	42.6
8	50.0	49.8	49.7	49.5	49.4	49.2	49.1	48.9	48.8	48.6
9	56.3	56.1	55.9	55.7	55.6	55.4	55.2	55.0	54.9	54.7
	1650	1655	1660	1665	1670	1675	1680	1685	1690	1695
1	6.06	6.04	6.02	6.01	5.99	5.97	5.95	5.93	5.92	5.90
2	12.1	12.1	12.0	12.0	12.0	11.9	11.9	11.9	11.8	11.8
3	18.2	18.1	18.1	18.0	18.0	17.9	17.9	17.8	17.8	17.7
4	24.2	24.2	24.1	24.0	24.0	23.9	23.8	23.7	23.7	23.6
5	30.3	30.2	30.1	30.0	29.9	29.9	29.8	29.7	29.6	29.5
6	36.4	36.3	36.1	36.0	35.9	35.8	35.7	35.6	35.5	35.4
7	42.4	42.3	42.2	42.0	41.9	41.8	41.7	41.5	41.4	41.3
8	48.5	48.3	48.2	48.0	47.9	47.8	47.6	47.5	47.3	47.2
9	54.5	54.4	54.2	54.1	53.9	53.7	53.6	53.4	53.3	53.1
	1700	1705	1710	1715	1720	1725	1730	1735	1740	1745
1	5.88	5.87	5.85	5.83	5.81	5.80	5.78	5.76	5.75	5.73
2	11.8	11.7	11.7	11.7	11.6	11.6	11.6	11.5	11.5	11.5
3	17.6	17.6	17.5	17.5	17.4	17.4	17.3	17.3	17.2	17.2
4	23.5	23.5	23.4	23.3	23.3	23.2	23.1	23.1	23.0	22.9
5	29.4	29.3	29.2	29.2	29.1	29.0	28.9	28.8	28.7	28.7
6	35.3	35.2	35.1	35.0	34.9	34.8	34.7	34.6	34.5	34.4
7	41.2	41.1	40.9	40.8	40.7	40.6	40.5	40.3	40.2	40.1
8	47.1	46.9	46.8	46.6	46.5	46.4	46.2	46.2	46.0	45.8
9	52.9	52.8	52.6	52.5	52.3	52.2	52.0	51.9	51.7	51.6
	1750	1755	1760	1765	1770	1775	1780	1785	1790	1795
1	5.71	5.70	5.68	5.67	5.65	5.63	5.62	5.60	5.59	5.57
2	11.4	11.4	11.4	11.3	11.3	11.3	11.2	11.2	11.2	11.1
3	17.1	17.1	17.0	17.0	16.9	16.9	16.9	16.8	16.8	16.7
4	22.9	22.8	22.7	22.7	22.6	22.5	22.5	22.4	22.3	22.3
5	28.6	28.5	28.4	28.3	28.2	28.2	28.1	28.0	27.9	27.9
6	34.3	34.2	34.1	34.0	33.9	33.8	33.7	33.6	33.5	33.4
7	40.0	39.9	39.8	39.7	39.5	39.4	39.3	39.2	39.1	39.0
8	45.7	45.6	45.5	45.3	45.2	45.1	44.9	44.8	44.7	44.6
9	51.4	51.3	51.1	51.0	50.8	50.7	50.6	50.4	50.3	50.1
	1800	1805	1810	1815	1820	1825	1830	1835	1840	1845
1	5.56	5.54	5.52	5.51	5.49	5.48	5.46	5.45	5.43	5.42
2	11.1	11.1	11.0	11.0	11.0	11.0	10.9	10.9	10.9	10.8
3	16.7	16.6	16.6	16.5	16.5	16.4	16.4	16.3	16.3	16.3
4	22.2	22.2	22.1	22.0	22.0	21.9	21.9	21.8	21.7	21.7
5	27.8	27.7	27.6	27.5	27.5	27.4	27.3	27.2	27.2	27.1
6	33.3	33.2	33.1	33.1	33.0	32.9	32.8	32.7	32.6	32.5
7	38.9	38.8	38.7	38.6	38.5	38.4	38.3	38.1	38.0	37.9
8	44.4	44.3	44.2	44.1	44.0	43.8	43.7	43.6	43.5	43.4
9	50.0	49.9	49.7	49.6	49.5	49.3	49.2	49.0	48.9	48.8

	1850	1855	1860	1865	1870	1875	1880	1885	1890	1895
1	5.41	5.39	5.38	5.36	5.35	5.33	5.32	5.31	5.29	5.28
2	10.8	10.8	10.8	10.7	10.7	10.7	10.6	10.6	10.6	10.6
3	16.2	16.2	16.1	16.1	16.0	16.0	16.0	15.9	15.9	15.8
4	21.6	21.6	21.5	21.4	21.4	21.3	21.3	21.2	21.2	21.1
5	27.0	27.0	26.9	26.8	26.7	26.7	26.6	26.5	26.5	26.4
6	32.4	32.3	32.3	32.2	32.1	32.0	31.9	31.8	31.7	31.7
7	37.8	37.7	37.6	37.5	37.4	37.3	37.2	37.1	37.0	36.9
8	43.2	43.1	43.0	42.9	42.8	42.7	42.6	42.4	42.3	42.2
9	48.6	48.5	48.4	48.3	48.1	48.0	47.9	47.7	47.6	47.5
	1900	1905	1910	1915	1920	1925	1930	1935	1940	1945
1	5.26	5.25	5.24	5.22	5.21	5.19	5.18	5.17	5.15	5.14
2	10.5	10.5	10.5	10.4	10.4	10.4	10.3	10.3	10.3	10.3
3	15.8	15.7	15.7	15.7	15.6	15.6	15.5	15.5	15.5	15.4
4	21.1	21.0	20.9	20.9	20.8	20.8	20.7	20.7	20.6	20.6
5	26.3	26.2	26.2	26.1	26.0	26.0	25.9	25.8	25.8	25.7
6	31.6	31.5	31.4	31.3	31.2	31.2	31.1	31.0	30.9	30.8
7	36.8	36.7	36.6	36.6	36.5	36.4	36.3	36.2	36.1	36.0
8	42.1	42.0	41.9	41.8	41.7	41.6	41.5	41.3	41.2	40.1
9	47.3	47.2	47.1	47.0	46.9	46.8	46.6	46.5	46.4	46.3
	1950	1955	1960	1965	1970	1975	1980	1985	1990	1995
1	5.13	5.12	5.10	5.09	5.08	5.06	5.05	5.04	5.03	5.01
2	10.3	10.2	10.2	10.2	10.2	10.1	10.1	10.1	10.1	10.0
3	15.4	15.3	15.3	15.3	15.2	15.2	15.2	15.1	15.1	15.0
4	20.5	20.5	20.4	20.4	20.3	20.3	20.2	20.2	20.1	20.1
5	25.6	25.6	25.5	25.4	25.4	25.3	25.3	25.2	25.1	25.1
6	30.8	30.7	30.6	30.5	30.5	30.4	30.3	30.2	30.2	30.1
7	35.9	35.8	35.7	35.6	35.5	35.4	35.4	35.3	35.2	35.1
8	41.0	40.9	40.8	40.7	40.6	40.5	40.4	40.3	40.2	40.1
9	46.2	46.0	45.9	45.8	45.7	45.6	45.5	45.3	45.2	45.1
	2000	2005	2010	2015	2020	2025	2030	2035	2040	2045
1	5.00	4.99	4.98	4.96	4.95	4.94	4.93	4.91	4.90	4.89
2	10.0	10.0	9.9	9.9	9.9	9.9	9.8	9.8	9.8	9.8
3	15.0	15.0	14.9	14.9	14.8	14.8	14.8	14.7	14.7	14.7
4	20.0	19.9	19.9	19.8	19.8	19.8	19.7	19.7	19.6	19.6
5	25.0	24.9	24.9	24.8	24.7	24.7	24.6	24.6	24.5	24.4
6	30.0	29.9	29.8	29.8	29.7	29.6	29.6	29.5	29.4	29.3
7	35.0	34.9	34.8	34.7	34.6	34.6	34.5	34.4	34.3	34.2
8	40.0	39.9	39.8	39.7	39.6	39.5	39.4	39.3	39.2	39.1
9	45.0	44.9	44.8	44.7	44.6	44.5	44.3	44.2	44.1	44.0

### **III. ТАБЛИЦЫ ДЛЯ ВЫЧИСЛЕНИЯ ВЕСОВЫХ ПРОЦЕНТОВ СОДЕРЖАНИЯ РАЗНЫХ МИНЕРАЛЬНЫХ МОЛЕКУЛ ПО ИХ МОЛЕКУЛЯРНЫМ КОЛИЧЕСТВАМ**

Таблицы эти служат для получения весового содержания виртуальных минералов по найденным для них молекулярным количествам. Пользование таблицами сходно с пользованием таблиц стр. 44—50. Первые два десятичных знака молекулярного количества даны в первой вертикальной колонке, третий знак — в горизонтальной верхней строке. Например, при расчете состава диорита на стр. 15 для виртуального альбита молекулярное количество получено 065, из таблицы (стр. 59) непосредственно найдем весовое количество его 34.08 или, округляя, 34.1%.

Кварц  $\text{SiO}_2$ ; молекулярный вес 60.06

Мол. кол.	000	001	002	003	004	005	006	007	008	009	Мол. кол.
0.00	0.00	0.06	0.12	0.18	0.24	0.30	0.36	0.42	0.48	0.54	0.00
01	0.60	0.66	0.72	0.78	0.84	0.90	0.96	1.02	1.08	1.14	01
02	1.20	1.26	1.32	1.38	1.44	1.50	1.56	1.62	1.68	1.74	02
03	1.80	1.86	1.92	1.98	2.04	2.10	2.16	2.22	2.28	2.34	03
04	2.40	2.46	2.52	2.58	2.64	2.70	2.76	2.82	2.88	2.94	04
05	3.00	3.06	3.12	3.18	3.24	3.30	3.36	3.42	3.48	3.54	05
06	3.60	3.66	3.72	3.78	3.84	3.90	3.96	4.02	4.08	4.14	06
07	4.20	4.26	4.32	4.38	4.44	4.51	4.57	4.63	4.69	4.75	07
08	4.81	4.87	4.93	4.99	5.05	5.11	5.17	5.23	5.29	5.35	08
09	5.41	5.47	5.53	5.59	5.65	5.71	5.77	5.83	5.89	5.95	09
10	6.01	6.07	6.13	6.19	6.25	6.31	6.37	6.43	6.49	6.55	10
11	6.61	6.67	6.73	6.79	6.85	6.91	6.97	7.03	7.09	7.15	11
12	7.21	7.27	7.33	7.39	7.45	7.51	7.57	7.63	7.69	7.75	12
13	7.81	7.87	7.93	7.99	8.05	8.11	8.17	8.23	8.29	8.35	13
14	8.41	8.47	8.53	8.59	8.65	8.71	8.77	8.83	8.89	8.95	14
15	9.01	9.07	9.13	9.19	9.25	9.31	9.37	9.43	9.49	9.55	15
16	9.61	9.67	9.73	9.79	9.85	9.91	9.97	10.03	10.09	10.15	16
17	10.21	10.27	10.33	10.39	10.45	10.51	10.57	10.63	10.69	10.75	17
18	10.81	10.87	10.93	10.99	11.05	11.11	11.17	11.23	11.29	11.35	18
19	11.41	11.47	11.53	11.59	11.65	11.71	11.77	11.83	11.89	11.95	19
20	12.01	12.07	12.13	12.19	12.25	12.31	12.37	12.43	12.49	12.55	20
21	12.61	12.67	13.73	12.79	12.85	12.91	12.97	13.03	13.09	13.15	21
22	13.21	13.27	13.33	13.39	13.45	13.51	13.57	13.63	13.69	13.75	22
23	13.81	13.87	13.93	13.99	14.05	14.11	14.17	14.23	14.29	14.35	23
24	14.41	14.48	14.54	14.60	14.66	14.72	14.78	14.84	14.90	14.96	24
25	15.02	15.08	15.14	15.20	15.26	15.32	15.38	15.44	15.50	15.56	25

Ортоклаз  $\text{K}_2\text{O} \cdot \text{Al}_2\text{O}_3 \cdot 6\text{SiO}_2$ ; молекулярный вес 556.50

0.00	0.00	0.56	1.11	1.67	2.23	2.78	3.34	3.90	4.45	5.00	0.00
01	5.57	6.12	6.68	7.24	7.79	8.35	8.90	9.46	10.02	10.57	01
02	11.13	11.69	12.24	12.80	13.36	13.91	14.47	15.03	15.58	16.14	02
03	16.70	17.25	17.81	18.37	18.92	19.48	20.03	20.59	21.15	21.70	03
04	22.26	22.82	23.37	23.93	24.49	25.04	25.60	26.16	26.71	27.27	04
05	27.83	28.38	28.94	29.50	30.05	30.61	31.16	31.72	32.28	32.83	05
06	33.39	33.95	34.50	35.06	35.62	36.17	36.73	37.29	37.84	38.40	06
07	38.96	39.51	40.07	40.63	41.18	41.74	42.29	42.85	43.41	43.96	07
08	44.52	45.08	45.63	46.19	46.75	47.30	47.86	48.42	48.97	49.53	08
09	50.09	50.64	51.20	51.76	52.31	52.87	53.42	53.98	54.54	55.09	09
10	55.65	56.21	56.76	57.32	57.88	58.43	58.99	59.55	60.10	60.66	10
11	61.22	61.77	62.33	62.89	63.44	64.00	64.55	65.11	65.67	66.22	11
12	66.78	67.34	67.89	68.45	69.01	69.56	70.12	70.68	71.23	71.79	12
13	72.35	72.90	73.46	74.02	74.57	75.13	75.68	76.24	76.80	77.35	13
14	77.91	78.47	79.02	79.58	80.14	80.69	81.25	81.81	82.36	82.92	14
15	83.48	84.03	84.59	85.15	85.70	86.26	86.81	87.37	87.93	88.48	15
16	89.04	89.60	90.15	90.71	91.27	91.82	92.38	92.94	93.49	94.05	16
17	94.61	95.16	95.72	96.28	96.83	97.39	97.94	98.50	99.06	99.61	17
18	100.08	—	—	—	—	—	—	—	—	—	18

**Альбит  $\text{Na}_2\text{O} \cdot \text{Al}_2\text{O}_3 \cdot 6\text{SiO}_2$ ; молекулярный вес 524.29**

Мол. кол.	000	001	002	003	004	005	006	007	008	009	Мол. кол.
0.00	0.00	0.52	1.05	1.57	2.10	2.62	3.15	3.67	4.19	4.72	0.00
01	5.24	5.77	6.29	6.82	7.34	7.86	8.39	8.91	9.44	9.96	01
02	10.49	11.01	11.53	12.06	12.58	13.11	13.63	14.16	14.68	15.20	02
03	15.73	16.25	16.78	17.30	17.83	18.35	18.87	19.40	19.92	20.45	03
04	20.97	21.50	22.02	22.55	23.07	23.59	24.12	24.64	25.17	25.69	04
05	26.22	26.74	27.26	27.79	28.31	28.84	29.36	29.89	30.41	30.93	05
06	31.46	31.98	32.51	33.03	33.56	34.08	34.60	35.13	35.65	36.18	06
07	36.70	37.23	37.75	38.27	38.80	39.32	39.85	40.37	40.90	41.42	07
08	41.94	42.47	42.99	43.52	44.04	44.57	45.09	45.61	46.14	46.66	08
09	47.19	47.71	48.24	48.76	49.28	49.81	50.33	50.86	51.38	51.91	09
10	52.43	52.95	53.48	54.00	54.53	55.05	55.58	56.10	56.62	57.15	10
11	57.67	58.20	58.72	59.25	59.77	60.29	60.82	61.34	61.87	62.39	11
12	62.92	63.44	63.96	64.49	65.01	65.54	66.06	66.59	67.11	67.63	12
13	68.16	68.68	69.21	69.73	70.26	70.78	71.30	71.83	72.35	72.88	13
14	73.40	73.93	74.45	74.97	75.50	76.02	76.55	77.07	77.60	78.12	14
15	78.64	79.17	79.69	80.22	80.74	81.27	81.79	82.31	82.84	83.36	15
16	83.89	84.41	84.94	85.46	85.98	86.51	87.03	87.56	88.08	88.61	16
17	89.13	89.65	90.18	90.70	91.23	91.75	92.28	92.80	93.32	93.85	17
18	94.37	94.90	95.42	95.95	96.47	96.99	97.52	98.04	98.57	99.09	18
19	99.62	100.08	—	—	—	—	—	—	—	—	—

**Анортит  $\text{CaO} \cdot \text{Al}_2\text{O}_3 \cdot 2\text{SiO}_2$ ; молекулярный вес 278.14**

0.00	0.00	0.28	0.56	0.83	1.11	1.39	1.67	1.95	2.23	2.50	0.00
01	2.78	3.06	3.34	3.62	3.89	4.17	4.45	4.73	5.01	5.29	01
02	5.56	5.84	6.12	6.40	6.68	6.95	7.23	7.51	7.79	8.07	02
03	8.34	8.62	8.90	9.18	9.45	9.74	10.01	10.29	10.57	10.85	03
04	11.13	11.40	11.68	11.96	12.24	12.52	12.79	13.07	13.35	13.63	04
05	13.91	14.19	14.46	14.74	15.02	15.30	15.58	15.85	16.13	16.41	05
06	16.69	16.97	17.25	17.52	17.80	18.08	18.36	18.64	18.91	19.19	06
07	19.47	19.75	20.03	20.30	20.58	20.86	21.14	21.42	21.70	21.97	07
08	22.25	22.53	22.81	23.09	23.36	23.64	23.92	24.20	24.48	24.76	08
09	25.03	25.31	25.59	25.87	26.15	26.42	26.70	26.98	27.26	27.54	09
10	27.81	28.09	28.37	28.65	28.93	29.21	29.48	29.76	30.04	30.32	10
11	30.60	30.87	31.15	31.43	31.71	31.99	32.26	32.54	32.82	33.10	11
12	33.38	33.66	33.93	34.21	34.49	34.77	35.05	35.32	35.60	35.88	12
13	36.16	36.44	36.72	36.99	37.27	37.55	37.83	38.11	38.38	38.66	13
14	38.94	39.22	39.50	39.77	40.05	40.33	40.61	40.89	41.17	41.44	14
15	41.72	42.00	42.28	42.56	42.83	43.11	43.39	43.67	43.95	44.22	15
16	44.50	44.78	45.06	45.34	45.62	45.89	46.17	46.45	46.73	47.01	16
17	47.28	47.56	47.84	48.12	48.40	48.68	48.95	49.23	49.51	49.79	17
18	50.07	50.34	50.62	50.90	51.18	51.46	51.73	52.01	52.29	52.57	18
19	52.85	53.13	53.40	53.68	53.96	54.24	54.52	54.79	55.07	55.35	19
20	55.63	55.91	56.18	56.46	56.74	57.02	57.30	57.58	57.85	58.13	20
21	58.41	58.69	58.97	59.24	59.52	59.80	60.08	60.36	60.64	60.91	21
22	61.19	61.47	61.75	62.03	62.30	62.58	62.86	63.14	63.42	63.69	22
23	63.97	64.25	64.53	64.81	65.09	65.36	65.64	65.92	66.20	66.48	23
24	66.75	67.03	67.31	67.59	67.87	68.14	68.42	68.70	68.98	69.26	24

**Нефелин  $\text{Na}_2\text{O} \cdot \text{Al}_2\text{O}_3 \cdot 2\text{SiO}_2$ : молекулярный вес 284.05**

Мол. кол.	000	001	002	003	004	005	006	007	008	009	Мол. кол.
00	0.00	0.28	0.57	0.85	1.14	1.42	1.70	1.99	2.27	2.56	00
01	2.84	3.13	3.41	3.69	3.98	4.26	4.55	4.83	5.11	5.40	01
02	5.68	5.97	6.25	6.53	6.82	7.10	7.39	7.67	7.95	8.24	02
03	8.52	8.81	9.09	9.37	9.66	9.94	10.23	10.51	10.79	11.08	03
04	11.36	11.65	11.93	12.21	12.50	12.78	13.07	13.35	13.63	13.92	04
05	14.20	14.49	14.77	15.06	15.34	15.62	15.91	16.19	16.48	16.76	05
06	17.04	17.33	17.61	17.90	18.18	18.46	18.75	19.03	19.32	19.60	06
07	19.88	20.17	20.45	20.74	21.02	21.30	21.59	21.87	22.16	22.44	07
08	22.72	23.01	23.29	23.58	23.86	24.14	24.43	24.71	25.00	25.28	08
09	25.57	25.85	26.13	26.42	26.70	26.99	27.27	27.55	27.84	28.12	09
10	28.41	28.69	28.97	29.26	29.54	29.83	30.11	30.39	30.68	30.96	10
11	31.25	31.53	31.81	32.10	32.38	32.67	32.95	33.23	33.52	33.80	11
12	34.09	34.37	34.65	34.94	35.22	35.51	35.79	36.07	36.36	36.64	12
13	36.93	37.21	37.50	37.78	38.06	38.35	38.63	38.92	39.20	39.48	13
14	39.77	40.05	40.34	40.62	40.90	41.19	41.47	41.76	42.04	42.32	14
15	42.61	42.89	43.18	43.46	43.74	44.03	44.31	44.60	44.88	45.16	15
16	45.45	45.73	46.02	46.30	46.58	46.87	47.15	47.44	47.72	48.01	16
17	48.29	48.57	48.86	49.14	49.43	49.71	49.99	50.28	50.56	50.85	17
18	51.13	51.41	51.70	51.98	52.27	52.55	52.83	53.12	53.40	53.69	18
19	53.97	54.25	54.54	54.82	55.11	55.39	55.67	55.96	56.24	56.53	19
20	56.81	—	—	—	—	—	—	—	—	—	—

**Лейцит  $\text{K}_2\text{O} \cdot \text{Al}_2\text{O}_3 \cdot 4\text{SiO}_2$ : молекулярный вес 436.38**

0.00	0.00	0.44	0.87	1.31	1.75	2.18	2.62	3.06	3.49	3.93	0.00
01	4.36	4.80	5.24	5.67	6.11	6.55	6.98	7.42	7.86	8.29	01
02	8.73	9.16	9.60	10.04	10.47	10.91	11.35	11.78	12.22	12.66	02
03	13.09	13.53	13.96	14.40	14.84	15.27	15.71	16.15	16.58	17.02	03
04	17.46	17.89	18.33	18.76	19.20	19.64	20.07	20.51	20.95	21.38	04
05	21.82	22.26	22.69	23.13	23.57	24.00	24.44	24.87	25.31	25.75	05
06	26.18	26.62	27.06	27.49	27.93	28.37	28.80	29.24	29.67	30.11	06
07	30.55	30.98	31.42	31.86	32.29	32.73	33.17	33.60	34.04	34.47	07
08	34.91	35.35	35.78	36.22	36.66	37.09	37.53	37.97	38.40	38.84	08
09	39.27	39.71	40.15	40.58	41.02	41.46	41.89	42.33	42.77	43.20	09
10	43.64	44.07	44.51	44.95	45.38	45.82	46.26	46.69	47.13	47.57	10
11	48.00	48.44	48.88	49.31	49.75	50.18	50.62	51.06	51.49	51.93	11
12	52.37	52.80	53.24	53.68	54.11	54.55	54.98	55.42	55.86	56.29	12
13	56.73	57.17	57.60	58.04	58.48	58.91	59.35	59.78	60.22	60.66	13
14	61.09	61.53	61.97	62.40	62.84	63.28	63.71	64.15	64.58	65.02	14

**Хлористый натр  $\text{Na}_2\text{Cl}_2$ : молекулярный вес 116.91**

0.00	0.00	0.12	0.23	0.35	0.47	0.59	0.70	0.82	0.94	1.05	0.00
01	1.17	1.29	1.40	1.52	1.64	1.75	1.87	1.99	2.10	2.22	01
02	2.34	2.46	2.57	2.69	2.81	2.92	3.04	3.16	3.27	3.39	02
03	3.51	3.62	3.74	3.86	3.98	4.09	4.21	4.33	4.44	4.56	03
04	4.68	4.79	4.91	5.03	5.14	5.26	5.38	5.50	5.61	5.73	04

**Сернокислый натр  $\text{Na}_2\text{SO}_4$ : молекулярный вес 142.05**

0.00	0.00	0.14	0.28	0.43	0.57	0.71	0.85	0.99	1.14	1.28	0.00
01	1.42	1.56	1.71	1.85	1.99	2.13	2.27	2.42	2.56	2.70	01
02	2.84	2.98	3.13	3.27	3.41	3.55	3.69	3.84	3.98	4.12	02
03	4.26	4.40	4.55	4.69	4.83	4.97	5.11	5.26	5.40	5.54	03
04	5.68	5.82	5.97	6.11	6.25	6.39	6.53	6.68	6.82	6.96	04

Корунд  $\text{Al}_2\text{O}_3$ ; молекулярный вес 101.94

Мол. кол.	000	001	002	003	004	005	006	007	008	009	Мол. кол.
0.00	0.00	0.10	0.20	0.31	0.41	0.51	0.61	0.71	0.82	0.92	0.00
01	1.02	1.12	1.22	1.33	1.43	1.53	1.63	1.73	1.84	1.94	01
02	2.04	2.14	2.24	2.35	2.45	2.55	2.65	2.75	2.85	2.96	02
03	3.06	3.16	3.26	3.36	3.47	3.57	3.67	3.77	3.87	3.98	03
04	4.08	4.18	4.28	4.38	4.49	4.59	4.69	4.79	4.89	5.00	04
05	5.10	5.20	5.30	5.40	5.51	5.61	5.71	5.81	5.91	6.02	05
06	6.12	6.22	6.32	6.42	6.52	6.63	6.73	6.83	6.93	7.03	06
07	7.14	7.24	7.34	7.44	7.54	7.65	7.75	7.85	7.95	8.05	07
08	8.16	8.26	8.36	8.46	8.56	8.67	8.77	8.87	8.97	9.07	08
09	9.18	9.28	9.38	9.48	9.58	9.68	9.79	9.89	9.99	10.09	09

Циркон  $\text{ZrO}_2 \cdot \text{SiO}_2$ ; молекулярный вес 183.28

0.00	0.00	0.18	0.37	0.55	0.73	0.92	1.10	1.28	1.47	1.65	0.00
01	1.83	2.02	2.20	2.38	2.57	2.75	2.93	3.12	3.30	3.48	01
02	3.67	3.85	4.03	4.22	4.40	4.58	4.77	4.95	5.13	5.32	02
03	5.50	5.68	5.87	6.05	6.23	6.42	6.60	6.78	6.97	7.15	03
04	7.33	7.52	7.70	7.88	8.06	8.25	8.43	8.61	8.80	8.98	04

Метасиликат кальция (волластонит)  $\text{CaO} \cdot \text{SiO}_2$ ; молекулярный вес 116.14

0.00	0.00	0.12	0.23	0.35	0.47	0.58	0.70	0.81	0.93	1.05	0.00
01	1.16	1.28	1.39	1.51	1.63	1.74	1.86	1.97	2.09	2.21	01
02	2.32	2.44	2.56	2.67	2.79	2.90	3.02	3.14	3.25	3.37	02
03	3.48	3.60	3.72	3.83	3.95	4.07	4.18	4.30	4.41	4.53	03
04	4.65	4.76	4.88	4.99	5.11	5.23	5.34	5.46	5.58	5.69	04
05	5.81	5.92	6.04	6.16	6.27	6.39	6.50	6.62	6.74	6.85	05
06	6.97	7.09	7.20	7.32	7.43	7.55	7.67	7.78	7.90	8.01	06
07	8.13	8.25	8.36	8.48	8.59	8.71	8.83	8.94	9.06	9.18	07
08	9.29	9.41	9.52	9.64	9.76	9.87	9.99	10.10	10.22	10.34	08
09	10.45	10.57	10.69	10.80	10.92	11.03	11.15	11.27	11.38	11.50	09
10	11.61	11.73	11.85	11.96	12.08	12.20	12.31	12.43	12.54	12.66	10
11	12.78	12.89	13.01	13.12	13.24	13.36	13.47	13.59	13.71	13.82	11
12	13.94	14.05	14.17	14.29	14.40	14.52	14.63	14.75	14.87	15.98	12
13	15.10	15.21	15.33	15.45	15.56	15.68	15.80	15.91	16.03	16.14	13
14	16.26	16.38	16.49	16.61	16.72	16.84	16.96	17.07	17.19	17.31	14
15	17.42	17.54	17.65	17.77	17.89	18.00	18.12	18.23	18.35	18.47	15
16	18.58	18.70	18.82	18.93	19.05	19.16	19.28	19.40	19.51	19.63	16
17	19.74	19.86	19.98	20.09	20.21	20.33	20.44	20.56	20.67	20.79	17
18	20.91	21.02	21.14	21.25	21.37	21.49	21.60	21.72	21.83	21.95	18
19	22.07	22.18	22.30	22.42	22.53	22.65	22.76	22.88	23.00	23.11	19
20	23.23	23.34	23.46	23.58	23.69	23.81	23.93	24.04	24.16	24.27	20
21	24.39	24.51	24.62	24.74	24.85	24.97	25.09	25.20	25.32	25.44	21
22	25.55	25.67	25.78	25.90	26.02	26.13	26.25	26.36	26.48	26.60	22
23	26.71	26.83	26.95	27.06	27.18	27.29	27.41	27.53	27.64	27.76	23
24	27.87	27.99	28.11	28.22	28.34	28.45	28.57	28.69	28.80	28.92	24
25	29.04	29.15	29.27	29.38	29.50	29.62	29.73	29.85	29.96	30.08	25
26	30.20	30.31	30.43	30.55	30.66	30.78	30.89	31.01	31.13	31.24	26
27	31.36	31.47	31.59	31.71	31.82	31.94	32.06	32.17	32.29	32.40	27
28	32.52	32.64	32.75	32.87	32.98	33.10	33.22	33.33	33.45	33.57	28
29	33.68	33.80	33.91	34.03	34.15	34.26	34.38	34.49	34.61	34.73	29
30	34.84	34.96	35.07	35.19	35.31	35.42	35.54	35.66	35.77	35.89	30
31	36.00	36.12	36.24	36.35	36.47	36.58	36.70	36.82	36.93	37.05	31
32	37.17	37.28	37.40	37.51	37.63	37.75	37.86	37.98	38.08	38.21	32
33	38.33	38.44	38.56	38.68	38.79	38.91	39.02	39.14	39.26	39.37	33
34	39.49	39.60	39.72	39.84	39.95	40.07	40.18	40.30	40.42	40.53	34
35	40.65	40.77	40.88	41.00	41.11	41.23	41.35	41.46	41.58	41.69	35
36	41.81	41.93	42.04	42.16	42.28	42.39	42.51	42.62	42.74	42.86	36
37	42.97	43.09	43.20	43.32	43.44	43.55	43.67	43.79	43.90	44.02	37
38	44.13	44.25	44.37	44.48	44.60	44.71	44.83	44.95	45.06	45.18	38
39	45.30	45.41	45.53	45.64	45.76	45.88	45.99	46.11	46.22	46.34	39

**Метасиликат магния  $MgO \cdot SiO_2$ ; молекулярный вес 100.38**

Мол. кол.	000	001	002	003	004	005	006	007	008	009	Мол. кол.
0.00	0.00	0.10	0.20	0.30	0.40	0.50	0.60	0.70	0.80	0.90	0.00
01	1.00	1.10	1.21	1.31	1.41	1.51	1.61	1.71	1.81	1.91	01
02	2.01	2.11	2.21	2.31	2.41	2.51	2.61	2.71	2.81	2.91	02
03	3.01	3.11	3.21	3.31	3.41	3.51	3.61	3.71	3.81	3.92	03
04	4.02	4.12	4.22	4.32	4.42	4.52	4.62	4.72	4.82	4.92	04
05	5.02	5.12	5.22	5.32	5.42	5.52	5.62	5.72	5.82	5.92	05
06	6.02	6.12	6.22	6.32	6.42	6.53	6.63	6.73	6.83	6.93	06
07	7.03	7.13	7.23	7.33	7.43	7.53	7.63	7.73	7.83	7.93	07
08	8.03	8.13	8.23	8.33	8.43	8.53	8.63	8.73	8.83	8.93	08
09	9.03	9.14	9.24	9.34	9.44	9.54	9.64	9.74	9.84	9.94	09
10	10.04	10.14	10.24	10.34	10.44	10.54	10.64	10.74	10.84	10.94	10
11	11.04	11.14	11.24	11.34	11.44	11.54	11.64	11.75	11.85	11.95	11
12	12.05	12.15	12.25	12.35	12.45	12.55	12.65	12.75	12.85	12.95	12
13	13.05	13.15	13.25	13.35	13.45	13.55	13.65	13.75	13.85	13.95	13
14	14.05	14.15	14.25	14.35	14.46	14.56	14.66	14.76	14.86	14.96	14
15	15.06	15.16	15.26	15.36	15.46	15.56	15.66	15.76	15.86	15.96	15
16	16.06	16.16	16.26	16.36	16.46	16.56	16.66	16.76	16.86	16.96	16
17	17.07	17.17	17.27	17.37	17.47	17.57	17.67	17.77	17.87	17.97	17
18	18.07	18.17	18.27	18.37	18.47	18.57	18.67	18.77	18.87	18.97	18
19	19.07	19.17	19.27	19.37	19.47	19.57	19.68	19.78	19.88	19.98	19
20	20.08	20.18	20.28	20.38	20.48	20.58	20.68	20.78	20.88	20.98	20
21	21.08	21.18	21.28	21.38	21.48	21.58	21.68	21.78	21.88	21.98	21
22	22.08	22.18	22.28	22.39	22.49	22.59	22.69	22.79	22.89	22.99	22
23	23.09	23.19	23.29	23.39	23.49	23.59	23.69	23.79	23.89	23.99	23
24	24.09	24.19	24.29	24.39	24.49	24.59	24.69	24.79	24.89	25.00	24
25	25.10	25.20	25.30	25.40	25.50	25.60	25.70	25.80	25.90	26.00	25
26	26.10	26.20	26.30	26.40	26.50	26.60	26.70	26.80	26.90	27.00	26
27	27.10	27.20	27.30	27.40	27.50	27.61	27.71	27.81	27.91	28.01	27
28	28.11	28.21	28.31	28.41	28.51	28.61	28.71	28.81	28.91	29.01	28
29	29.11	29.21	29.31	29.41	29.51	29.61	29.71	29.81	29.91	30.01	29
30	30.11	30.21	30.32	30.42	30.52	30.62	30.72	30.82	30.92	31.02	30
31	31.12	31.22	31.32	31.42	31.52	31.62	31.72	31.82	31.92	32.02	31
32	32.12	32.22	32.32	32.42	32.52	32.62	32.72	32.82	32.92	33.03	32
33	33.13	33.23	33.33	33.43	33.53	33.63	33.73	33.83	33.93	34.03	33
34	34.13	34.23	34.33	34.43	34.53	34.63	34.73	34.83	34.93	35.03	34
35	35.13	35.23	35.33	35.43	35.54	35.64	35.74	35.84	35.94	36.04	35
36	36.14	36.24	36.34	36.44	36.54	36.64	36.74	36.84	36.94	37.04	36
37	37.14	37.24	37.34	37.44	37.54	37.64	37.74	37.84	37.94	38.04	37
38	38.14	38.25	38.35	38.45	38.55	38.65	38.75	38.85	38.95	39.05	38
39	39.15	39.25	39.35	39.45	39.55	39.65	39.75	39.85	39.95	40.05	39
40	40.15	40.25	40.35	40.45	40.55	40.65	40.75	40.86	40.96	41.06	40
41	40.16	41.26	41.36	41.46	41.56	41.66	41.76	41.86	41.96	42.06	41
42	42.16	42.26	42.36	42.46	42.56	42.66	42.76	42.86	42.96	43.06	42
43	43.16	43.26	43.36	43.47	43.57	43.67	43.77	43.87	43.97	44.07	43
44	44.17	44.27	44.37	44.47	44.57	44.67	44.77	44.87	44.97	45.07	44
45	45.17	45.27	45.37	45.47	45.57	45.67	45.77	45.87	45.97	46.07	45
46	46.18	46.28	46.38	46.48	46.58	46.68	46.78	46.88	46.98	47.08	46
47	47.18	47.28	47.38	47.48	47.58	47.68	47.78	47.88	47.98	48.08	47
48	48.18	48.28	48.38	48.48	48.58	48.68	48.79	48.89	48.99	49.09	48
49	49.19	49.29	49.39	49.49	49.59	49.69	49.79	49.89	49.99	50.09	49
50	50.19	50.29	50.39	50.49	50.59	50.69	50.79	50.89	50.99	51.09	50

Метасиликат железа  $\text{FeO} \cdot \text{SiO}_2$ ; молекулярный вес 131.90

Мол. кол.	000	001	002	003	004	005	006	007	008	009	Мол. кол.
0.00	0.00	0.13	0.26	0.40	0.53	0.66	0.79	0.92	1.06	1.19	0.00
01	1.32	1.45	1.58	1.72	1.85	1.98	2.11	2.24	2.37	2.51	01
02	2.64	2.77	2.90	3.03	3.17	3.30	3.43	3.56	3.69	3.83	02
03	3.96	4.09	4.22	4.35	4.49	4.62	4.75	4.88	5.01	5.14	03
04	5.28	5.41	5.54	5.67	5.80	5.94	6.07	6.20	6.33	6.46	04
05	6.60	6.73	6.86	6.99	7.12	7.26	7.39	7.52	7.65	7.78	05
06	7.91	8.05	8.18	8.31	8.44	8.57	8.71	8.84	8.97	9.11	06
07	9.23	9.37	9.50	9.63	9.76	9.89	10.02	10.16	10.29	10.42	07
08	10.55	10.68	10.82	10.95	11.08	11.21	11.34	11.48	11.61	11.74	08
09	11.87	12.00	12.14	12.27	12.40	12.53	12.66	12.79	12.93	13.06	09
10	13.19	13.32	13.45	13.59	13.72	13.85	13.98	14.11	14.25	14.38	10
11	14.51	14.64	14.77	14.91	15.04	15.17	15.30	15.43	15.56	15.70	11
12	15.83	15.96	16.09	16.22	16.36	16.49	16.62	16.75	16.88	17.02	12
13	17.15	17.28	17.41	17.54	17.68	17.81	17.94	18.07	18.20	18.33	13
14	18.47	18.60	18.73	18.86	18.99	19.13	19.26	19.39	19.52	19.65	14
15	19.79	19.92	20.05	20.18	20.31	20.45	20.58	20.71	20.84	20.97	15
16	21.10	21.24	21.37	21.50	21.63	21.76	21.90	22.03	22.16	22.29	16
17	22.42	22.56	22.69	22.82	22.95	23.08	23.21	23.35	23.48	23.61	17
18	23.74	23.87	24.01	24.14	24.27	24.40	24.53	24.67	24.80	27.93	18
19	25.06	25.19	25.33	25.46	25.59	25.72	25.85	25.98	26.12	26.25	19
20	26.38	26.51	26.64	26.78	26.91	27.04	27.17	27.30	27.44	27.57	20
21	27.70	27.83	27.96	28.10	28.23	28.36	28.42	28.62	28.75	28.89	21
22	29.02	29.15	29.28	29.41	29.55	29.68	29.81	29.94	30.07	30.21	22
23	30.34	30.47	30.60	30.73	30.87	31.00	31.13	31.26	31.39	31.52	23
24	31.66	31.79	31.92	32.05	32.18	32.32	32.45	32.58	32.71	32.84	24
25	32.98	33.11	33.24	33.37	33.50	33.64	33.77	33.90	34.03	34.16	25
26	34.29	34.43	34.56	34.69	34.82	34.95	35.09	35.22	35.35	35.48	26
27	35.61	35.75	35.88	36.01	36.14	36.27	36.40	36.54	36.67	36.80	27
28	36.93	37.06	37.20	37.33	37.46	37.59	37.72	37.86	37.99	38.12	28
29	38.25	38.38	38.52	38.65	38.78	38.91	39.04	39.17	39.31	39.45	29
30	39.57	39.70	39.83	39.97	40.10	40.23	40.36	40.49	40.63	40.76	30
31	40.89	41.02	41.15	41.29	41.42	41.55	41.68	41.81	41.94	42.08	31
32	42.21	42.34	42.47	42.60	42.74	42.87	43.00	43.13	43.26	43.40	32
33	43.53	43.66	43.79	43.92	44.06	44.19	44.32	44.45	44.58	44.71	33
34	44.85	44.99	45.11	45.24	45.37	45.51	45.64	45.77	45.90	46.03	34
35	46.17	46.30	46.43	46.56	46.69	46.83	46.96	47.09	47.22	47.35	35
36	47.48	47.62	47.75	47.88	48.01	48.14	48.28	48.41	48.54	48.67	36
37	48.80	48.94	49.07	49.20	49.33	49.46	49.59	49.73	49.86	49.99	37
38	50.12	50.25	50.39	50.52	50.65	50.78	50.91	51.05	51.18	51.31	38
39	51.44	51.57	51.71	51.84	51.97	52.10	52.23	52.36	52.50	52.63	39

Ортосиликат магния (форстерит)  $2 \text{MgO} \cdot \text{SiO}_2$ ; молекулярный вес 140.70

(Единица для расчета — половина молекулярного количества MgO)

Мол. кол.	000	001	002	003	004	005	006	007	008	009	Мол. кол.
0.00	0.00	0.14	0.28	0.42	0.56	0.70	0.84	0.99	1.13	1.27	0.00
01	1.41	1.55	1.69	1.83	1.97	2.11	2.25	2.39	2.53	2.67	01
02	2.81	2.96	3.10	3.24	3.38	3.52	3.66	3.80	3.94	4.08	02
03	4.22	4.36	4.50	4.64	4.78	4.93	5.07	5.21	5.35	5.49	03
04	5.63	5.77	5.91	6.05	6.19	6.33	6.47	6.61	6.75	6.89	04
05	7.04	7.18	7.32	7.46	7.60	7.74	7.88	8.02	8.16	8.30	05
06	8.44	8.58	8.72	8.86	9.01	9.15	9.29	9.43	9.57	9.71	06
07	9.85	9.99	10.13	10.27	10.41	10.55	10.69	10.83	10.98	11.12	07
08	11.26	11.40	11.54	11.68	11.82	11.96	12.10	12.24	12.38	12.52	08
09	12.66	12.80	12.94	13.09	13.23	13.37	13.51	13.65	13.79	13.93	09
10	14.07	14.21	14.35	14.49	14.63	14.77	14.91	15.06	15.20	15.34	10
11	15.48	15.62	15.76	15.90	16.04	16.18	16.32	16.46	16.60	16.74	11
12	16.88	17.03	17.17	17.31	17.45	17.59	17.73	17.87	18.01	18.15	12
13	18.29	18.43	18.57	18.71	18.85	19.00	19.14	19.28	19.42	19.56	13
14	19.70	19.84	19.98	20.12	20.26	20.40	20.54	20.68	20.82	20.96	14
15	21.11	21.25	21.39	21.53	21.67	21.81	21.95	22.09	22.23	22.37	15
16	22.51	22.65	22.79	22.93	23.08	23.22	23.36	23.50	23.64	23.78	16
17	23.92	24.06	24.20	24.34	24.48	24.62	24.76	24.90	25.05	25.19	17
18	25.33	25.47	25.61	25.75	25.89	26.03	26.17	26.31	26.45	26.59	18
19	26.73	26.87	27.01	27.16	27.30	27.44	27.58	27.72	27.86	28.00	19
20	28.14	28.28	28.42	28.56	28.70	28.84	28.98	29.13	29.27	29.41	20
21	29.55	29.69	29.83	29.97	30.11	30.25	30.39	30.53	30.67	30.81	21
22	30.95	31.10	31.24	31.38	31.52	31.66	31.80	31.94	32.08	32.22	22
23	32.36	32.50	32.64	32.78	32.92	33.07	33.21	33.35	33.49	33.63	23
24	33.77	33.91	34.05	34.19	34.33	34.47	34.61	34.75	34.89	35.03	24
25	35.18	35.32	35.46	35.60	35.74	35.88	36.02	36.16	36.30	36.44	25
26	36.58	36.72	36.86	37.00	37.15	37.29	37.43	37.57	37.71	37.85	26
27	37.99	38.13	38.27	38.41	38.55	38.69	38.83	38.97	39.12	39.26	27
28	39.40	39.54	39.68	39.82	39.96	40.10	40.24	40.38	40.52	40.66	28
29	40.80	40.94	41.08	41.23	41.37	41.51	41.65	41.79	41.93	41.07	29
30	42.21	42.35	42.49	42.63	42.77	42.91	43.05	43.20	43.34	43.48	30
31	43.62	43.76	43.90	44.04	44.18	44.32	44.46	44.60	44.74	44.88	31
32	45.02	45.17	45.31	45.45	45.59	45.73	45.87	46.01	46.15	46.29	32
33	46.43	46.57	46.71	46.85	46.99	47.14	47.28	47.42	47.56	47.70	33
34	47.84	47.98	48.12	48.26	48.40	48.54	48.68	48.82	48.96	49.10	34
35	49.25	49.39	49.53	49.67	49.81	49.95	50.09	50.23	50.37	50.51	35
36	50.65	50.79	50.93	51.07	51.22	51.36	51.50	51.64	51.78	51.92	36
37	52.06	52.20	52.34	52.48	52.62	52.76	52.90	53.04	53.19	53.33	37
38	53.47	53.61	53.75	53.89	54.03	54.17	54.31	54.45	54.59	54.73	38
39	54.87	55.01	55.15	55.30	55.44	55.58	55.72	55.86	56.00	56.14	39

**Ортосиликат железа (фаялит)  $2\text{FeO} \cdot \text{SiO}_2$ ; молекулярный вес 203.74**

(Единица для расчета — половина молекулярного количества  $\text{FeO}$ )

Мол. кол.	000	001	002	003	004	005	006	007	008	009	Мол. кол.
0.00	0.00	0.20	0.41	0.61	0.82	1.02	1.22	1.43	1.63	1.83	0.00
01	2.04	2.24	2.45	2.65	2.85	3.06	3.26	3.46	3.67	3.87	01
02	4.08	4.28	4.48	4.69	4.89	5.09	5.30	5.50	5.71	5.91	02
03	6.11	6.32	6.52	6.72	6.93	7.13	7.34	7.54	7.74	7.95	03
04	8.15	8.35	8.56	8.76	8.97	9.17	9.37	9.58	9.78	9.98	04
05	10.19	10.39	10.60	10.80	11.00	11.21	11.41	11.61	11.82	12.02	05
06	12.22	12.43	12.63	12.84	13.04	13.24	13.45	13.65	13.85	14.06	06
07	14.26	14.47	14.67	14.87	15.08	15.28	15.48	15.69	15.89	16.10	07
08	16.30	16.50	16.71	16.91	17.11	17.32	17.52	17.73	17.93	18.13	08
09	18.34	18.54	18.74	18.95	19.15	19.36	19.56	19.76	19.97	20.17	09
10	20.37	20.58	20.78	20.99	21.19	21.39	21.60	21.80	22.00	22.21	10
11	22.41	22.62	22.82	23.02	23.23	23.43	23.63	23.84	24.04	24.25	11
12	24.45	24.65	24.86	25.06	25.26	25.47	25.67	25.88	26.08	26.28	12
13	26.49	26.69	26.89	27.10	27.30	27.51	27.71	27.91	28.12	28.32	13
14	28.52	28.73	28.93	29.14	29.34	29.54	29.75	29.95	30.15	30.36	14
15	30.56	30.77	30.97	31.17	31.38	31.58	31.78	31.99	32.19	32.40	15
16	32.60	32.80	33.01	33.21	33.41	33.62	33.82	34.03	34.23	34.43	16
17	34.64	34.84	35.04	35.25	35.45	35.66	35.86	36.06	36.27	36.47	17
18	36.67	36.88	37.08	37.28	37.49	37.69	37.90	38.10	38.30	38.51	18
19	38.71	38.91	39.12	39.32	39.53	39.73	39.93	40.14	40.34	40.54	19

**Ортосиликат кальция  $2\text{CaO} \cdot \text{SiO}_2$ ; молекулярный вес 172.22**

(Единица для расчета — половина молекулярного количества  $\text{CaO}$ )

0.00	0.00	0.17	0.34	0.52	0.69	0.86	1.03	1.20	1.38	1.55	0.00
01	1.72	1.89	2.07	2.24	2.41	2.58	2.76	2.93	3.10	3.27	01
02	3.44	3.62	3.79	3.96	4.13	4.31	4.48	4.65	4.82	4.99	02
03	5.17	5.34	5.51	5.68	5.86	6.03	6.20	6.37	6.54	6.72	03
04	6.89	7.06	7.23	7.41	7.58	7.75	7.92	8.09	8.27	8.44	04
05	8.61	8.78	8.96	9.13	9.30	9.47	9.64	9.82	9.99	10.16	05
06	10.33	10.51	10.68	10.85	11.02	11.19	11.37	11.54	11.71	11.88	06
07	12.06	12.23	12.40	12.57	12.74	12.92	13.09	13.26	13.43	13.61	07
08	13.78	13.95	14.12	14.29	14.47	14.64	14.81	14.98	15.16	15.33	08
09	15.50	15.67	15.84	16.02	16.19	16.36	16.53	16.71	16.88	17.05	09

**Магнетит  $\text{FeO} \cdot \text{Fe}_2\text{O}_3$ ; молекулярный вес 231.52**

0.00	0.00	0.23	0.46	0.70	0.93	1.16	1.39	1.62	1.86	2.08	0.00
01	2.32	2.55	2.78	3.01	3.24	3.47	3.70	3.94	4.17	4.40	01
02	4.63	4.86	5.09	5.33	5.56	5.79	6.02	6.25	6.48	6.71	02
03	6.95	7.18	7.41	7.64	7.87	8.10	8.34	8.57	8.80	9.03	03
04	9.26	9.49	9.72	9.96	10.19	10.42	10.65	10.88	11.11	11.35	04
05	11.58	11.81	12.04	12.27	12.50	12.73	12.97	13.20	13.43	13.66	05
06	13.89	14.12	14.35	14.59	14.82	15.05	15.28	15.51	15.74	15.98	06
07	16.21	16.44	16.67	16.90	17.13	17.36	17.60	17.83	18.06	18.29	07
08	18.52	18.75	18.99	19.22	19.45	19.68	19.91	20.14	20.37	20.61	08
09	20.84	21.07	21.30	21.53	21.76	21.99	22.23	22.46	22.69	22.92	09

**Ильменит  $\text{FeO} \cdot \text{TiO}_2$ ; молекулярный вес 151.74**

Мол. кол.	000	001	002	003	004	005	006	007	008	009	Мол. кол.
0.00	0.00	0.15	0.30	0.46	0.61	0.76	0.91	1.06	1.21	1.37	0.00
01	1.52	1.67	1.82	1.97	2.12	2.28	2.43	2.58	2.73	2.88	01
02	3.04	3.19	3.34	3.49	3.64	3.79	3.95	4.10	4.25	4.40	02
03	4.55	4.70	4.86	5.01	5.16	5.31	5.46	5.61	5.77	5.92	03
04	6.07	6.22	6.37	6.53	6.68	6.83	6.98	7.13	7.28	7.44	04
05	7.59	7.74	7.89	8.04	8.19	8.35	8.50	8.65	8.80	8.95	05
06	9.10	9.26	9.41	9.56	9.71	9.86	10.02	10.17	10.32	10.47	06
07	10.62	10.77	10.93	11.08	11.23	11.38	11.53	11.68	11.84	11.99	07
08	12.14	12.29	12.44	12.59	12.75	12.90	13.05	13.20	13.35	13.51	08
09	13.66	13.81	13.96	14.11	14.26	14.42	14.57	14.72	14.87	15.02	09

**Гематит  $\text{Fe}_2\text{O}_3$ ; молекулярный вес 159.68**

0.00	0.00	0.16	0.32	0.48	0.64	0.80	0.96	1.12	1.28	1.44	0.00
01	1.60	1.76	1.92	2.08	2.24	2.40	2.56	2.72	2.87	3.03	01
02	3.19	3.35	3.51	3.67	3.83	3.99	4.15	4.31	4.47	4.63	02
03	4.79	4.95	5.11	5.27	5.43	5.59	5.75	5.91	6.07	6.23	03
04	6.39	6.55	6.71	6.87	7.03	7.19	7.35	7.51	7.67	7.82	04

**Апатит  $3\text{CaO} \cdot \text{P}_2\text{O}_5 + \frac{\text{CaF}_2}{3}$ ; молекулярный вес 336.31**

0.00	0.00	0.34	0.67	1.01	1.35	1.68	2.02	2.35	2.69	3.03	0.00
01	3.36	3.70	4.04	4.37	4.71	5.05	5.38	5.72	6.05	6.39	01
02	6.73	7.06	7.40	7.74	8.07	8.41	8.74	9.08	9.42	9.75	02
03	10.09	10.43	10.76	11.10	11.44	11.77	12.11	12.44	12.78	13.12	03
04	13.45	13.79	14.13	14.46	14.80	15.13	15.47	16.81	16.14	16.48	04

**Акмит  $\text{Na}_2\text{O} \cdot \text{Fe}_2\text{O}_3 \cdot 4\text{SiO}_4$ ; молекулярный вес 461.91**

0.00	0.00	0.46	0.92	1.32	1.85	2.31	2.77	3.23	3.70	4.16	0.00
01	4.62	5.08	5.54	6.01	6.47	6.93	7.39	7.85	8.31	8.78	01
02	9.24	9.70	10.16	10.62	11.09	11.55	12.01	12.47	12.93	13.40	02
03	13.86	14.32	14.78	15.24	15.71	16.17	16.63	17.09	17.55	18.02	03
04	18.48	18.94	19.40	19.86	20.32	20.79	21.25	21.71	22.17	22.63	04
05	23.10	23.56	24.02	24.48	24.94	25.41	25.87	26.33	26.79	27.25	05
06	27.72	28.18	28.64	29.10	29.56	30.02	30.49	30.95	31.41	31.87	06
07	32.33	32.80	33.26	33.72	34.18	34.64	35.11	35.57	36.03	36.49	07
08	36.95	37.42	37.88	38.34	38.80	39.26	39.72	40.19	40.65	41.11	08
09	41.57	42.03	42.50	42.96	43.42	43.88	44.34	44.81	45.27	45.73	09

**Метасиликат натрия  $\text{Na}_2\text{O} \cdot \text{SiO}_4$ ; молекулярный вес 122.05**

0.00	0.00	0.12	0.24	0.37	0.49	0.61	0.73	0.85	0.98	1.10	0.00
01	1.22	1.34	1.47	1.59	1.71	1.83	1.95	2.08	2.20	2.32	01
02	2.44	2.56	2.69	2.81	2.93	3.05	3.17	3.30	3.42	3.54	02
03	3.66	3.78	3.91	4.03	4.15	4.27	4.39	4.52	4.64	4.76	03
04	4.88	5.00	5.13	5.25	5.37	5.49	5.61	5.74	5.86	5.98	04
05	6.10	6.23	6.35	6.47	6.59	6.71	6.84	6.96	7.08	7.20	05
06	7.32	7.45	7.57	7.69	7.81	7.93	8.06	8.18	8.30	8.42	06
07	8.54	8.67	8.79	8.91	9.03	9.15	9.28	9.40	9.52	9.64	07
08	9.76	9.89	10.01	11.13	10.25	10.37	10.50	10.62	10.74	10.86	08
09	10.99	11.11	11.23	11.35	11.47	11.60	11.72	11.84	11.96	12.08	09

**Перовскит CaO·TiO<sub>2</sub>; молекулярный вес 135.98**

Мол. кол.	000	001	002	003	004	005	006	007	008	009	Мол. кол.
0.00	0.00	0.14	0.27	0.41	0.54	0.68	0.82	0.95	1.09	1.22	0.00
01	1.36	1.50	1.63	1.77	1.90	2.04	2.18	2.31	2.45	2.58	01
02	2.72	2.86	2.99	3.13	3.26	3.40	3.54	3.67	3.81	3.94	02
03	4.08	4.22	4.35	4.49	4.62	4.76	4.90	5.03	5.17	5.30	03
04	5.44	5.58	5.71	5.85	5.98	6.12	6.26	6.39	6.53	6.66	04
05	6.80	6.94	7.07	7.21	7.34	7.48	7.62	7.75	7.89	8.02	05
06	8.16	8.30	8.43	8.57	8.70	8.84	8.98	9.11	9.25	9.38	06
07	9.52	9.66	9.79	9.93	10.06	10.20	10.34	10.47	10.61	10.74	07
08	10.88	11.02	11.15	11.29	11.42	11.56	11.70	11.83	11.97	12.10	08
09	12.24	12.38	12.51	12.65	12.78	12.92	13.06	13.19	13.33	13.46	09

**Титанит CaO·TiO<sub>2</sub>·SiO<sub>2</sub>; молекулярный вес 196.04**

0.00	0.00	0.20	0.39	0.59	0.78	0.98	1.18	1.37	1.57	1.76	0.00
01	1.96	2.16	2.35	2.55	2.75	2.94	3.14	3.33	3.53	3.73	01
02	3.92	4.12	4.31	4.51	4.71	4.90	5.10	5.29	5.49	5.69	02
03	5.88	6.08	6.27	6.47	6.67	6.86	7.06	7.25	7.45	7.65	03
04	7.84	8.04	8.23	8.43	8.63	8.82	9.02	9.21	9.41	9.61	04
05	9.80	10.00	10.19	10.39	10.59	10.78	10.98	11.17	11.37	11.57	05
06	11.76	11.96	12.15	12.35	12.54	12.74	12.94	13.13	13.33	13.52	06
07	13.72	13.92	14.11	14.31	14.50	14.70	14.90	15.09	15.29	15.48	07
08	15.68	15.88	16.07	16.27	16.46	16.66	16.86	17.05	17.25	17.44	08
09	17.64	17.84	18.03	18.23	18.42	18.62	18.82	19.01	19.21	19.40	09

**Хромит FeO·Cr<sub>2</sub>O<sub>3</sub>; молекулярный вес 223.86**

0.00	0.00	0.22	0.45	0.67	0.90	1.12	1.34	1.57	1.79	2.02	0.00
01	2.24	2.46	2.69	2.91	3.13	3.36	3.58	3.81	4.03	4.25	01
02	4.48	4.70	4.93	5.15	5.37	5.60	5.82	6.04	6.27	6.49	02
03	6.72	6.94	7.16	7.39	7.61	7.84	8.06	8.28	8.51	8.73	03
04	8.95	9.18	9.40	9.63	9.85	10.07	10.30	10.52	10.75	10.97	04
05	11.19	11.42	11.64	11.87	12.09	12.31	12.54	12.76	12.98	13.21	05

**Флюорит CaF<sub>2</sub>; молекулярный вес 78.08**

0.00	0.00	0.08	0.16	0.23	0.31	0.39	0.47	0.55	0.63	0.70	0.00
01	0.78	0.86	0.94	1.02	1.09	1.17	1.25	1.33	1.41	1.48	01
02	1.56	1.64	1.72	1.80	1.87	1.95	2.03	2.11	2.19	2.26	02
03	2.34	2.42	2.50	2.58	2.66	2.73	2.81	2.89	2.97	3.05	03
04	3.12	3.20	3.28	3.36	3.44	3.51	3.59	3.67	3.75	3.83	04
05	3.90	3.98	4.06	4.14	4.22	4.29	4.37	4.45	4.53	4.61	05
06	4.69	4.76	4.84	4.92	5.00	5.08	5.16	5.23	5.31	5.39	06
07	5.47	5.54	5.62	5.70	5.78	5.86	5.93	6.01	6.09	6.17	07
08	6.25	6.33	6.40	6.48	6.56	6.64	6.72	6.79	6.87	6.95	08
09	7.03	7.11	7.18	7.26	7.34	7.42	7.50	7.57	7.65	7.73	09

#### IV. ЧИСЛОВЫЕ ХАРАКТЕРИСТИКИ ХИМИЧЕСКИХ СОСТАВОВ РАЗНЫХ ТИПОВ ИЗВЕРЖЕННЫХ ГОРНЫХ ПОРОД

В этой части книги даны числовые характеристики химических составов изверженных горных пород, вычисленные по изложенному выше способу для:

1) средних типов изверженных горных пород так, как они были подсчитаны Дэли (Daly) и даны в его известной книге «Igneous Rocks and the Depths of the Earth»; при этом даются как числовые характеристики, так и сами средние химические составы, подсчитанные Дэли;

2) всех изверженных горных пород, получивших особое название от описавших их авторов; в основу была положена книга Трёгера (E. Tröger. Spezielle Petrographie der Eruptivgesteine) и его дополнение к ней, причем были сделаны некоторые исправления и дополнения.

Кроме числовых характеристик, основной и дополнительных, приведены также имеющие существенное классификационное значение величины  $Q$  и  $a:c$ . Анализы по Дэли и их числовые характеристики расположены в том же порядке, как они даны Дэли; для составов горных пород с особыми названиями порядок изменен по сравнению с Трёгером; именно, они расположены по признакам их химического состава, определяемым из числовой характеристики. Этот порядок вытекает из классификации химических составов, схема которой представлена на стр. 80—81.

Кроме числовых характеристик для пород, известных под особыми названиями, приводятся данные о их количественном минералогическом составе, причем для сокращения места минералы условно обозначаются несколькими латинскими буквами. Ключ к этим условным обозначениям дан впереди таблицы. В виду большого числа пород с особыми названиями (711) анализы их не приводятся; их можно найти у Трёгера под номерами, приведенными в наших таблицах. Кроме того даны литературные ссылки, по которым, в случае особой надобности, анализы и описание пород легко найти в оригинальных работах. Эти ссылки даны в таком виде: автор, год, в квадратных скобках — издание, помещенное в списке литературы (см. стр. 155—156), цифра в круглых скобках — серия, жирная цифра — том, и, наконец, страницы; подстрочная цифра при году или томе обозначает номер выпуска.

Табл. А, дающая числовые характеристики средних составов горных пород по Дэли, выражает особенности химических составов главнейших, хотя до известной степени условных, типичных представителей горных пород. Совокупность этих числовых характеристик в целом отражает главнейшие закономерности в изменении химического состава изверженных горных пород.

\* Табл. В прежде всего отражает все разнообразие изверженных горных пород. В самом деле, она обнимает составы всех пород, получив-

ших особое название. Естественно предположить, что такие названия, которые давались авторами каждый раз, когда встречалась порода, достаточно отличающаяся от ранее изученных, охватывают достаточно полно породы, настолько разнообразные, что это разнообразие не прошло незамеченным. Конечно, в этой таблице не отражена совсем относительная распространенность пород разного состава. В таблицу не вошли несиликатовые горные породы (руды, апатитовые породы, карбонатовые), которым также приписываются изверженное происхождение.

Данные в таблице А и В две совокупности числовых характеристик являются необходимым для решения двух основных задач определения химического типа каждой вновь исследуемой породы, а именно: 1) систематического положения ее среди главнейших представителей горных пород, принимаемых за типичные; 2) положения ее среди всего разнообразия горных пород.

Числовые характеристики химических составов горных пород, сведенные в табл. А и В, представлены затем на диаграммах, приложенных к этой книге. Эти диаграммы могут служить для быстрого и объективного нахождения систематического положения состава вновь исследуемой породы.

Масштаб диаграмм для основной числовой характеристики ( $acbs$ ) или ( $acbs'$ ) (положение начальной точки вектора) — единица = 1 см; для дополнительных характеристик ( $f'm'c'$  и т. д.) в десять раз мельче (т. е. единица = 1 мм).

Такой масштаб принят для того, чтобы сделать наиболее удобным практическое пользование диаграммами, которое лучше всего достигается следующим приемом.

На кальке или восковке проводятся координатные оси  $SB$  и  $SA$  ( $SC$ ). Наложив восковку на миллиметровую сетчатую бумагу и пользуясь видимыми через восковку делениями этой миллиметровки, строим по числовой характеристике на восковке векторы химического состава, как это было изложено выше и в только что указанном масштабе (единица = 1 см для основной характеристики).

Затем восковка с нанесенными на ней векторами накладывается на диаграммы; совмещая координатные оси, через восковку можно видеть, какие из векторов, помещенных на диаграмме, всего ближе подходят к каждому вектору на восковке. Дальнейшие числовые расчеты величин, характеризующих степень близости и характер отклонения исследуемого состава от найденных указанным приемом ближайших составов, изображенных на диаграммах, могут быть сделаны при помощи числовых характеристик, помещенных в табл. А и В.

*Примечание.* На наших диаграммах к табл. А и В проекции начальных точек векторов на плоскость  $SCB$  у пересыщенных щелочами пород (ряд 3 стр. 25) обведены кружками; векторы сильно пересыщенных щелочами пород (ряд 3а стр. 25) показаны прерывистыми линиями.

Таблица А

ХИМИЧЕСКИЕ СОСТАВЫ И ЧИСЛОВЫЕ  
ХАРАКТЕРИСТИКИ СРЕДНИХ ТИПОВ ИЗВЕРЖЕННЫХ  
ГОРНЫХ ПОРОД ПО ДЭЛИ

**Химические составы и числовые характеристики средних типов**

№/п. р.	Название	SiO <sub>2</sub>	TiO <sub>2</sub>	Al <sub>2</sub> O <sub>3</sub>	Fe <sub>2</sub> O <sub>3</sub>	FeO	MnO	MgO	CaO	Na <sub>2</sub> O	K <sub>2</sub> O
1	Докембрийский гранит .	71.06	0.48	14.10	1.46	1.63	0.18	0.59	1.97 <sup>1</sup>	3.24	4.50
2	Докембрийский гранит Швеции . . . . .	69.81	0.54	13.76	2.17	1.87	0.26	0.84	2.20	3.17	4.38
3	Последнембрийский гра- нит . . . . .	69.73	0.34	14.98	1.62	1.66	0.11	1.08	2.20 <sup>2</sup>	3.28	3.95
4	Гранит всех периодов .	70.18	0.39	14.47	1.57	1.78	0.12	0.88	1.99	3.48	4.11
5	Риолиты, включая 24 ли- парита . . . . .	72.80	0.33	13.49	1.45	0.88	0.08	0.38	1.20	3.38	4.46
6	Липарит (по авторам) .	72.90	0.48	14.18	1.65	0.31	0.13	0.40	1.13	3.54	3.94
7	Риолит (по авторам) .	72.77	0.29	13.33	1.40	1.02	0.07	0.38	1.22	3.34	4.58
8	Кварцевый порфир .	72.36	0.33	14.17	1.55	1.01	0.09	0.52	1.38	2.85	4.56
9	Щелочноземельный гра- нит . . . . .	69.21	0.41	14.41	1.98	1.67	0.12	1.15	2.19	3.48	4.23
10	Щелочной гранит . . .	73.30	0.11	12.33	2.58	1.28	0.02	0.26	0.46	4.55	4.20
11	Комендит . . . . .	73.51	0.29	11.43	2.97	1.08	0.04	0.16	0.28	4.65	4.53
12	Кварцевый кератофир .	75.45	0.17	13.11	1.14	0.66	0.29	0.34	0.83	5.88	1.26
13	Пантеллерит . . . . .	68.63	0.35	10.30	5.60	2.61	0.21	0.37	1.07	6.14	4.17
14	Щелочноземельный рого- вообманковый сиенит	60.79	0.80	16.10	3.21	2.92	0.11	2.20	3.87	3.37	5.43
15	Щелочноземельный слю- дяной сиенит . . . .	59.25	0.79	15.28	2.59	3.47	—	5.07	3.68	3.10	4.41
16	Щелочноземельный авги- товый сиенит . . . .	51.59	0.61	18.77	6.11	3.26	0.24	4.11	7.35	4.35	2.99
17	Щелочноземельные си- ениты всех типов . . .	58.65	0.86	16.38	3.65	3.09	0.15	3.06	4.45	3.48	4.79
18	Сиениты (включая 5 ще- лочных типов) . . . .	60.19	0.67	16.28	2.74	3.28	0.14	2.49	4.30	3.98	4.49
19	Трахиты (по авторам) .	60.68	0.38	17.74	2.64	2.62	0.06	1.12	3.09	4.43	5.74
20	Щелочноземельные тра- хиты . . . . .	63.91	0.59	15.88	3.22	2.23	0.01	1.14	2.81	3.08	5.80
21	Нордмаркит . . . . .	64.36	0.45	16.81	1.08	2.71	0.15	0.72	1.55	5.76	5.62
22	Пуласкит . . . . .	61.58	0.33	18.37	2.28	1.71	0.11	0.69	1.77	6.45	5.70
23	Акерит . . . . .	61.96	0.99	17.07	2.35	3.37	0.09	1.38	3.41	4.65	3.80
24	Умтексит . . . . .	60.01	0.64	16.65	2.41	3.85	0.18	0.97	2.62	6.53	5.47
25	Щелочной сиенит (сред- нее, включая № 21—24)	62.0	0.57	17.44	2.06	2.68	0.12	0.91	2.26	5.86	5.17
26	Щелочной трахит . . .	62.63	0.62	17.06	3.01	1.98	0.13	0.63	1.51	6.26	5.37
27	Кератофир . . . . .	61.51	0.45	17.37	1.92	3.35	0.01	1.26	1.08	5.23	5.29
28	Лаурвикит . . . . .	57.45	—	21.11	2.89	2.39	—	1.06	4.10	5.89	3.87
29	Ромбен-порфир . . . .	56.36	0.48	20.10	2.86	2.01	0.01	1.15	2.73	7.65	4.97
30	Монцонит . . . . .	56.12	1.10	16.96	2.93	4.01	0.16	3.27 <sup>3</sup>	6.50	3.67	3.76
31	Латит . . . . .	57.65	1.00	16.68	2.29	4.07	0.10	3.22	5.74	3.59	4.39
32	Трахиандезит . . . .	57.84	1.11	17.24	3.97	3.18	0.05	1.25	4.20	5.67	3.62
33	Кварцевый латит . . .	62.43	0.85	16.15	4.04	1.20	0.09	1.74	4.24	3.34	3.75
34	Канадит . . . . .	49.07	0.63	21.71	2.88	5.90	0.17	1.51	4.80	8.46	2.98
35	Уртит . . . . .	45.61	—	27.76	3.67	0.50	0.15	0.19	1.73	16.25	3.72
36	Малиньит . . . . .	50.34	0.34	14.75	4.18	2.75	0.11	4.23	10.43	5.27	5.21
37	Фойяйт . . . . .	56.11	0.45	21.33	1.87	1.47	0.05	0.55	1.72	8.48	6.46
38	Луяврит . . . . .	53.78	1.02	16.33	6.95	3.01	0.55	0.62	1.70	10.45	3.78
39	Лаурдалит . . . . .	54.36	1.30	19.99	2.79	2.58	0.18	1.72	2.96	8.28	4.98
40	Нефелиновый сиенит .	54.63	0.86	19.89	3.37	2.20	0.35	0.87	2.51	8.26	5.46
41	Фонолит . . . . .	57.45	0.41	20.60	2.35	1.03	0.13	0.30	1.50	8.84	5.23

<sup>1</sup> Включая 0.08% BaO и 0.01% SrO.

<sup>2</sup> Включая 0.06% BaO и 0.02% SrO.

<sup>3</sup> Включая 0.06% BaO и 0.07% SrO.

Таблица А

изверженных горных пород по Дэли

$H_2O$	$P_2O_5$	$a$	$c$	$b$	$s$	$a'$	$f'$	$m'$	$c'$	$n$	$\Phi$	$t$	$Q^1$	$\frac{a}{c}$	№
0.69	0.10	13.4	2.4	4.4	79.8	9.2	67.7	23.1	—	52.0	27.7	0.5	30.4	5.6	1
0.74	0.26	13.2	2.5	5.4	78.9	—	71.6	25.9	2.5	52.0	34.6	0.6	28.9	5.3	2
0.78	0.27	12.7	2.6	6.5	78.2	26.8	45.4	27.8	—	55.8	20.6	0.3	28.4	4.9	3
0.84	0.19	13.4	2.4	5.4	78.8	15.0	57.5	27.5	—	56.0	25.0	0.4	28.4	5.6	4
1.47	0.08	13.8	1.4	3.8	81.0	27.6	55.2	17.2	—	53.4	31.0	0.3	33.0	9.8	5
1.33	0.01	12.9	1.3	5.3	80.5	52.5	35.0	12.5	—	58.2	27.5	0.5	33.9	9.9	6
1.50	0.10	13.7	1.4	3.7	81.2	21.8	60.0	18.2	—	52.4	32.7	0.3	33.6	9.8	7
1.09	0.09	12.6	1.6	5.7	80.1	44.2	40.7	15.1	—	48.4	23.5	0.3	33.4	7.9	8
0.85	0.30	13.7	2.6	5.5	78.2	2.5	61.7	35.8	—	55.4	32.1	0.5	26.4	5.3	9
0.86	0.05	15.6	0.1	4.1	80.2	—	79.4	11.1	9.5	62.2	50.8	0.1	39.1	156.0	10
1.02	0.04	14.8	1.4	2.6	81.2	—	77.5	10	12.5	56.2	40.0	0.3	31.4	10.6	11
0.69	0.18	14.2	1.0	2.8	82.0	18.2	61.4	20.4	—	87.1	31.8	0.2	34.6	14.2	12
0.53	0.02	13.4	5.8	3.4	77.4	—	45.1	17.7	37.2	55.4	0	0.45	22.2	2.3	13
0.90	0.30	15.4	3.2	10.9	70.5	—	50.9	34.6	14.5	48.2	25.2	1.0	7.0	4.8	14
2.06	0.30	13.3	3.6	15.0	68.1	—	36.4	57.7	5.9	51.5	15.2	1.0	6.7	3.6	15
0.26	0.36	14.3	5.7	19.3	60.7	—	45.0	37.3	17.7	69.4	27.5	1.0	12.9	2.5	16
1.13	0.31	14.8	3.7	13.3	68.2	—	47.1	39.4	13.5	52.3	23.8	1.1	3.1	4.0	17
1.16	0.28	15.5	3.2	11.9	69.4	—	47.1	35.6	17.3	57.5	19.5	0.9	4.6	4.9	18
1.26	0.24	18.6	2.9	7.7	70.8	—	62.1	25.3	12.6	54.1	28.8	0.5	1.5	6.4	19
1.28	0.05	15.5	3.0	7.3	74.2	—	67.6	26.7	5.7	44.6	38.1	0.8	14.4	5.1	20
0.70	0.09	20.6	0.8	5.9	72.7	—	61.4	20.4	18.2	60.8	15.9	0.6	3.4	25.8	21
0.80	0.21	22.6	1.0	5.9	70.5	—	61.6	19.8	18.6	63.0	32.6	0.4	5.2	22.6	22
0.93	—	16.0	3.6	8.2	72.2	—	63.9	29.4	6.7	65.2	23.5	1.2	8.8	4.5	23
0.50	0.17	21.9	0.1	10.3	67.7	—	55.2	15.6	29.2	64.4	19.5	0.8	8.5	219.0	24
0.76	0.17	20.4	1.4	7.3	70.9	—	60.7	21.5	17.8	63.3	24.3	0.7	0.4	14.7	25
0.71	0.09	21.4	0.7	6.8	71.1	—	67.3	15.9	16.8	63.9	37.6	0.8	1.3	30.6	26
2.45	0.08	19.2	1.4	8.5	70.9	17.9	56.9	25.2	—	60.0	19.5	0.6	2.0	13.8	27
0.70	0.54	19.5	5.0	7.0	68.5	—	71.1	26.8	2.1	69.9	37.1	0	7.0	3.9	28
1.20	0.48	24.6	1.4	8.5	65.5	—	52.4	23.8	23.8	70.1	29.5	0.6	19.6	17.5	29
1.05	0.47	13.8	4.7	15.6	65.9	—	42.0	36.6	21.4	59.6	16.1	1.5	1.5	3.0	30
0.91	0.36	14.4	4.1	14.5	67.0	—	40.8	38.4	20.8	55.2	13.3	1.3	1.1	3.5	31
1.30	0.57	18.0	2.8	11.2	68.0	—	59.0	19.3	21.7	70.6	31.6	1.4	1.8	6.4	32
1.90	0.27	13.2	4.5	8.6	73.7	—	54.5	35.8	9.7	57.4	40.6	1.0	16.5	2.94	33
1.50	0.39	23.9	3.2	14.1	58.8	—	60.3	19.1	20.6	81.0	18.1	1.0	33.4	7.5	34
0.42	—	39.1	3.9	2.7	54.3	—2.7	0	13.5	83.8	85.7	0	0	73.5	10.0	35
1.20	1.19	18.6	0.25	25.25	55.9	—	24.2	27.8	48.0	60.7	13.7	0.5	25.6	74.4	36
1.50	0.01	28.55	0.2	6.0	65.25	—	52.3	16.3	31.4	66.5	27.9	0.6	26.6	143.0	37
1.80	0.01	22.7	7.0	6.1	64.2	—	46.5	18.6	34.9	75.0	0	1.4	24.0	3.24	38
0.22	0.64	25.5	0.6	11.0	62.9	—	46.3	26.5	27.2	71.7	22.2	1.7	25.8	42.5	39
1.35	0.25	26.4	0.3	9.7	63.6	—	55.3	15.6	29.1	69.7	29.8	1.2	25.9	89.0	40
2.04	0.12	27.5	0.3	5.3	66.9	—	59.7	10.4	29.9	72.2	39.0	0.5	11.5	91.5	41

<sup>1</sup> Для удобства написания в таблице знак — (минус) при  $Q$  поставлен над цифрой а не перед ней.

№ № п/п	Название	SiO <sub>2</sub>	TiO <sub>2</sub>	Al <sub>2</sub> O <sub>3</sub>	Fe <sub>2</sub> O <sub>3</sub>	FeO	MnO	MgO	CaO	Na <sub>2</sub> O	K <sub>2</sub> O
42	Кварцевый диорит . . .	61.59	0.66	16.21	2.54	3.77	0.10	2.80	5.38	3.37	2.10
43	Тоналит . . . . .	61.32	0.23	16.95	2.39	4.29	0.05	2.84	5.56	2.62	2.20
44	Кварцевый монцонит . .	66.64	0.50	15.57	1.91	1.94	0.06	1.41	3.50	3.41	3.72
45	Гранодиорит . . . . .	65.01	0.57	15.94	1.74	2.65	0.07	1.91	4.42	3.70	2.75
46	Дацит . . . . .	65.68	0.57	16.25	2.38	1.90	0.06	1.41	3.46	3.97	2.67
47	Диорит (включая кварцевые диориты) . . . .	58.90	0.76	16.47	2.89	4.04	0.12	3.57	6.14	3.46	2.11
48	Диориты (без кварцевых диоритов) . . . . .	56.77	0.84	16.67	3.16	4.40	0.13	4.17	6.74	3.39	2.12
49	Андезиты . . . . .	59.59	0.77	17.31	3.33	3.13	0.18	2.75	5.80	3.58	2.04
50	Авгитовый андезит . .	57.50	0.79	17.33	3.78	3.62	0.22	2.86	5.83	3.53	2.36
51	Гиперстеновый андезит .	59.48	0.48	17.38	2.96	3.67	0.15	3.28	6.61	3.41	1.64
52	Роговообманковый андезит . . . . .	61.12	0.42	17.65	2.89	2.40	0.15	2.44	5.80	3.83	1.72
53	Слюдяной андезит . . .	62.25	1.65	16.10	3.62	2.20	0.21	2.03	4.05	3.55	2.44
54	Нориты (исключая оливиновые нориты) . . . .	50.39	1.13	16.06	2.43	7.86	0.17	8.37	9.20	2.61	0.79
55	Габбро (исключая оливиновое габбро) . . . .	49.50	0.84	18.00	2.80	5.80	0.12	6.62	10.64	2.82	0.98
56	Оливиновое габбро . . .	46.49	1.17	17.73	3.66	6.17	0.17	8.86	11.48	2.16	0.78
57	Габбро (все) . . . . .	48.24	0.97	17.88	3.16	5.95	0.13	7.51	10.99	2.55	0.89
58	Базальты (все) . . . . .	49.06	1.36	15.70	5.38	6.37	0.31	6.17	8.95	3.11	1.52
59	Базальты (по авторам, включая анамезиты и др.)	48.78	1.39	15.85	5.37	6.34	0.29	6.03	8.91	3.18	1.63
60	Плато-базальт . . . . .	48.80	2.19	13.98	3.59	9.78	0.17	6.70	9.38	2.59	0.69
61	Мелафир . . . . .	50.60	0.68	17.40	4.57	6.29	0.46	4.89	8.09	3.23	1.76
62	Оливиновый норит . . .	48.78	1.48	18.04	1.16	8.94	0.20	8.07	8.92	2.56	0.91
63	Кварцевое габбро . . .	54.39	1.29	16.72	2.49	7.15	0.20	4.15	6.68	3.15	1.58
64	Анортозит . . . . .	50.40	0.15	28.30	1.06	1.12	0.05	1.25	12.46	3.67	0.74
65	Оливиновый диабаз . .	48.54	1.31	15.24	3.06	8.88	0.21	8.08	9.38	2.69	0.98
66	Диабаз . . . . .	50.48	1.45	15.34	3.84	7.78	0.20	5.79	8.94	3.07	0.97
67	Долерит . . . . .	49.94	1.57	14.50	3.74	8.01	0.33	6.93	9.71	2.65	0.97
68	Кварцевый диабаз . . .	52.34	1.82	13.70	5.05	8.78	0.23	4.72	8.03	2.60	1.17
69	Кварцевый базальт . . .	55.46	0.88	16.85	2.13	4.86	0.22	6.31	7.86	3.30	1.40
70	Пикрит . . . . .	41.30	0.81	9.43	5.30	8.86	0.29	19.94	8.01	1.20	0.39
71	Океанит . . . . .	45.6	1.7	8.3	2.3	10.2	0.1	21.7	7.5	1.3	0.4
72	Анкарамит . . . . .	43.82	3.32	8.81	3.08	8.01	—	15.50	13.50	1.51	0.87
73	Анкарратрит . . . . .	39.49	3.23	9.71	4.53	7.74	—	14.85	14.17	2.31	1.34
74	Кортландит . . . . .	44.45	1.21	6.40	2.91	7.89	0.17	25.05	8.52	0.92	0.54
75	Амфиболовый перидотит	40.91	0.65	5.0	4.64	7.97	0.07	30.82	4.41	0.58	0.36
76	Верлит . . . . .	45.07	0.64	5.75	3.43	9.53	0.26	22.88	7.48	1.14	0.57
77	Гарцбургит (саксонит)	40.65	0.11	1.25	2.53	6.15	0.18	42.36	1.29	0.29	0.13
78	Лерцолит . . . . .	43.95	0.10	4.82	2.20	6.34	0.19	36.81	3.57	0.68	0.21
79	Дунит . . . . .	40.49	0.02	0.86	2.84	5.54	0.16	46.32	0.70	0.10	0.04
80	Слюдяной перидотит . .	33.94	4.95	10.28	4.59	11.12	0.16	20.45	5.35	0.48	4.90
81	Кимберлит . . . . .	34.73	1.62	2.88	6.10	3.13	—	31.41	5.79	0.33	1.17
82	Горнблендит . . . . .	42.80	1.62	10.55	6.62	9.16	0.24	12.48	11.67	1.89	1.00
83	Вебстерит . . . . .	52.33	0.10	3.54	2.61	5.19	0.15	23.92	10.29	0.43	0.35
84	Бронзитит . . . . .	54.63	0.36	2.39	1.71	7.07	0.14	30.30	2.20	0.45	0.11
85	Диаллагит . . . . .	46.93	0.97	6.37	4.08	10.85	0.20	12.13	16.03	0.82	0.49
86	Авгитит . . . . .	42.25	2.52	16.26	8.43	5.46	—	5.49	9.75	4.45	1.92
87	Лимбургит . . . . .	41.25	1.59	12.03	5.65	7.29	0.54	11.22	11.88	3.40	1.30
88	Бекинкинит . . . . .	41.70	2.70	14.50	5.13	7.09	—	9.26	12.20	3.59	1.18
89	Ийолит . . . . .	42.81	1.56	18.95	3.86	4.84	0.19	3.16	10.47	9.63	2.26

Продолжение табл. А

H <sub>2</sub> O	P <sub>2</sub> O <sub>5</sub>	<i>a</i>	<i>c</i>	<i>b</i>	<i>s</i>	<i>a'</i>	<i>f'</i>	<i>m'</i>	<i>c'</i>	<i>n</i>	<i>φ</i>	<i>t</i>	<i>Q</i>	$\frac{a}{c}$	N <sup>o</sup>
1.22	0.26	10.6	5.7	11.7	72.0	—	50.6	41.7	7.7	71.1	19.0	0.9	17.1	1.8	42
1.22	0.33	9.1	7.0	11.7	72.2	2.4	54.8	42.8	—	64.6	18.1	0.3	19.2	1.3	43
1.15	0.19	12.9	4.1	6.2	76.8	—	57.1	38.5	4.4	58.5	26.4	0.5	23.7	3.15	44
1.04	0.20	12.4	4.5	8.3	74.8	—	49.6	39.7	10.7	66.7	18.2	0.7	20.3	2.8	45
1.50	0.15	12.8	4.3	7.0	75.9	9.8	55.9	34.3	—	68.9	29.4	0.6	21.9	3.0	46
1.27	0.27	10.8	5.8	14.5	68.9	—	44.7	42.8	12.5	71.8	17.3	1.0	10.4	2.25	47
1.36	0.25	10.7	6.1	16.7	66.5	—	42.9	43.3	13.8	71.4	16.7	1.0	5.5	1.75	48
1.26	0.26	11.1	6.4	12.0	70.5	—	51.8	40.6	7.6	75.3	24.7	1.0	12.4	1.75	49
1.88	0.30	11.6	6.3	13.4	68.7	—	53.4	38.1	8.5	69.5	25.4	1.0	7.9	1.85	50
0.74	0.20	10.1	6.9	13.4	69.6	—	47.4	42.7	9.9	76.4	19.8	0.6	12.1	1.47	51
1.43	0.15	11.3	6.6	10.0	72.1	—	50.0	43.0	7.0	77.5	25.4	0.5	15.0	1.70	52
1.50	0.40	11.6	5.0	9.6	73.8	4.4	58.4	37.2	—	68.7	33.6	2.0	19.4	2.3	53
0.79	0.20	6.9	7.3	27.7	58.1	—	34.7	51.3	14.0	82.4	7.4	1.6	—	0.95	54
1.60	0.28	7.9	8.4	24.9	58.8	—	33.3	46.9	19.8	80.4	10.2	1.2	—	0.94	55
1.04	0.29	6.1	9.0	29.9	55.0	—	31.2	51.4	17.4	79.4	10.7	1.9	—	0.68	56
1.45	0.28	7.1	8.7	27.0	57.2	—	32.5	48.8	18.7	80.4	10.4	1.5	—	0.82	57
1.62	0.45	9.2	6.1	26.8	57.9	—	41.6	39.8	18.6	75.8	17.6	2.0	—	1.5	58
1.76	0.47	9.6	6.0	26.6	57.8	—	41.8	39.4	18.8	75.4	17.8	2.2	—	1.6	59
1.80	0.33	6.8 <sup>4</sup>	6.14	30.08	56.94	—	42.7	38.7	18.6	85.7	16.7	0.4	—	0.94	60
1.83	0.20	10.0	7.1	22.6	60.3	—	47.8	38.1	14.1	73.2	18.1	1.0	—	1.4	61
0.69	0.25	7.1	8.7	26.4	57.8	—	37.7	53.3	9.0	80.4	4.2	2.3	—	0.81	62
1.85	0.35	9.6	6.8	18.5	65.1	—	51.3	39.6	9.1	75.0	12.2	1.7	—	1.4	63
0.75	0.05	10.6	16.7	5.8	66.9	—	41.1	42.5	16.4	88.1	19.2	0.2	—	0.71	64
1.35	0.28	7.5	6.4	30.0	56.1	—	37.4	45.8	16.8	80.0	8.6	2.0	—	1.17	65
1.89	0.25	8.3	6.2	25.9	59.6	—	42.5	38.8	18.7	81.7	12.8	2.2	—	1.34	66
1.28	0.37	7.4	6.0	28.6	58.0	—	38.6	41.2	20.2	79.6	11.0	2.3	—	1.23	67
1.56	—	7.6	5.4	25.5	61.5	—	50.8	31.7	17.5	76.4	17.2	2.6	—	1.4	68
0.58	0.15	9.8	6.7	20.2	63.8	—	32.7	53.2	14.1	78.0	8.6	1.2	—	1.4	69
4.27	0.20	2.9	4.4	48.5	44.2	—	25.2	65.1	9.7	82.6	8.6	1.4	—	0.66	70
0.6	0.3	3.0	3.35	47.1	46.5	—	21.6	68.4	10.0	84.0	3.5	2.7	—	0.9	71
1.17	0.41	4.2	3.2	44.95	47.7	—	20.5	53.4	26.1	70.6	5.2	5.3	—	1.3	72
1.99	0.64	6.4	2.8	46.8	44.0	—	21.9	50.0	28.1	72.6	7.5	5.7	—	2.3	73
1.83	0.11	2.3	2.5	51.3	43.9	—	16.8	70.9	12.3	75.0	4.1	2.0	—	0.92	74
4.56	0.03	1.6	2.0	56.7	39.7	—	17.3	78.2	4.5	71.5	5.9	1.2	—	0.8	75
3.10	0.15	2.8	1.9	50.4	44.93	—	20.9	67.1	12.0	75.0	4.9	1.0	—	1.47	76
5.02	0.04	0.6	0.32	63.22	35.8	—	10.0	88.6	1.4	83.3	2.7	0.15	—	2.0	77
1.08	0.10	1.33	1.9	57.4	39.4	—	11.15	86.15	2.7	83.3	2.6	0.1	—	0.7	78
2.88	0.05	0.2	0.4	65.1	34.3	—	9.0	90.5	0.5	100.0	2.8	0	—	0.5	79
2.96	0.82	7.7	2.6	49.7	40.0	—	27.5	65.6	6.9	13.3	7.4	9.9	—	2.9	80
9.20	3.64*	2.2	0.6	60.8	36.4	—	11.9	78.7	9.4	27.8	7.6	3.3	—	3.7	81
1.73	0.24	5.4	4.0	43.3	47.3	—	31.6	46.5	21.9	73.8	12.2	2.7	—	1.35	82
1.03	0.06	1.1	1.4	48.5	49.0	—	12.3	69.2	18.5	70.0	3.7	0.1	—	0.8	83
0.52	0.12	0.85	0.85	48.8	49.5	—	13.5	83.9	2.6	87.5	2.4	0.5	—	1.0	84
1.01	0.12	2.2	2.8	46.1	48.9	—	27.3	40.4	32.3	72.2	6.9	1.5	—	0.79	85
2.43	1.04	13.0	4.8	30.1	52.1	—	42.8	32.2	25.0	78.2	25.0	4.2	—	2.7	86
3.20	0.65	9.1	3.2	41.0	46.7	—	28.6	45.0	26.4	79.7	11.2	2.8	—	2.8	87
1.80	0.85	9.6	4.8	36.4	49.2	—	30.1	42.7	27.2	81.7	11.8	4.7	—	2.0	88
0.85	1.42	24.3	0.4	25.6	49.7	—	31.2	20.9	47.9	86.6	12.7	2.7	—	61.0	89

\* Включая 1,06% P<sub>2</sub>O<sub>5</sub> и 2,58% CO<sub>2</sub>.

№ № п/п.	Название	SiO <sub>2</sub>	TiO <sub>2</sub>	Al <sub>2</sub> O <sub>3</sub>	Fe <sub>2</sub> O <sub>3</sub>	FeO	MnO	MgO	CaO	Na <sub>2</sub> O	K <sub>2</sub> O
90	Тешениит . . . . .	45.52	2.07	16.08	4.18	6.37	0.27	4.85	8.34	4.63	2.09
91	Тералит . . . . .	45.61	1.96	14.35	6.17	4.03	0.19	6.05	9.49	5.12	3.69
92	Эссеекситовое габбро . .	46.79	2.94	16.77	3.21	7.24	—	5.83	10.17	3.52	1.89
93	Эссеексит . . . . .	48.64	1.86	17.96	4.31	5.58	0.19	4.00	8.89	4.30	2.28
94	Трахидолерит . . . . .	49.20	1.68	16.65	4.76	5.36	0.55	4.43	7.74	4.54	3.19
95	Кринанит . . . . .	44.38	1.98	15.46	3.27	10.17	0.26	7.27	9.24	3.31	0.90
96	Анальцимовый базальт .	44.84	2.56	14.04	3.95	6.69	0.15	8.96	9.18	3.73	1.76
97	Муджнэрит . . . . .	49.86	2.12	14.42	5.65	7.49	0.39	3.43	6.80	4.21	1.67
98	Шонкинит . . . . .	48.66	0.97	12.36	3.08	5.86	0.13	8.09	10.46 <sup>1</sup>	2.71	5.15
99	Тефриты (все) . . . . .	49.14	1.00	16.57	3.65	6.68	0.30	3.98	9.88	2.57	3.39
100	Базаниты (все) . . . . .	44.64	1.95	15.35	4.51	6.33	0.46	7.92	9.88	3.54	2.67
101	Нефелиновый тефрит .	46.91	1.81	15.25	7.70	4.06	1.43	2.95	9.36	4.25	2.63
102	Лейцитовый тефрит .	49.90	0.16	16.94	3.02	7.15	0.23	4.22	10.04	2.24	3.57
103	Нефелиновый базанит .	44.20	1.64	15.64	4.35	6.14	0.19	8.89	9.74	4.03	1.83
104	Лейцитовый базанит .	45.55	2.83	14.97	4.77	6.64	0.61	6.41	10.16	2.76	4.04
105	Фергусит . . . . .	48.97	0.81	17.48	3.61	3.43	0.10	5.43	7.77	2.50	7.18
106	Миссурит . . . . .	44.27	1.37	10.73	3.63	5.87	0.06	13.05	11.46 <sup>2</sup>	1.07	4.43
107	Лейцитовый базальт .	46.18	2.13	12.74	5.27	5.06	0.19	8.36	8.16	2.36	6.18
108	Лейцитит . . . . .	46.90	1.22	16.33	4.22	4.14	0.11	5.03	9.72	2.75	7.58
109	Лейцитовый фонолит .	54.89	—	21.28	3.04	1.49	0.01	0.66	2.31	5.62	8.39
110	Лейцитофир . . . . .	49.83	0.71	19.00	3.17	3.59	0.17	1.79	5.69	7.19	6.15
111	Нефелинит . . . . .	41.17	1.35	16.83	7.61	6.64	0.16	3.72	10.12	6.45	2.49
112	Нефелиновый базальт .	39.87	1.50	13.58	6.71	6.43	0.21	10.46	12.36	3.85	1.87
113	Мелилито-нефелиновый базальт . . . . .	37.56	2.66	10.08	6.82	5.94	0.06	15.32	13.82	3.11	1.53
114	Мелилитовый базальт .	35.72	4.78	9.56	5.41	6.55	—	15.46	14.20	3.35	1.67
115	Гаюинофир . . . . .	43.91	2.74	17.17	4.15	5.12	0.11	3.33	8.83	6.17	3.52
116	Алинскит . . . . .	76.47	0.07	13.03	. .	1.04	0.01	0.06	0.45	3.53	4.81
117	Диорит Электрик Пик .	62.21	0.60	16.45	2.53	2.89	0.02	3.32	4.96	3.88 <sup>3</sup>	2.21
118	Риолит Иеллоустонского парка . . . . .	74.04	0.18	13.19	1.35	1.01	0.04	0.32	1.19	3.88	3.75
119	Банакит . . . . .	52.04	0.76	17.65	4.66	2.75	0.13	3.33	5.11	4.10	5.03
120	Шошонит . . . . .	53.56	0.82	17.88	4.51	3.05	0.07	3.62	6.45	3.41	3.76
121	Абсарокит . . . . .	50.11	0.96	13.04	4.58	3.94	0.11	9.27	7.63	1.94	4.15
122	Лейцитовый абсарокит .	47.45	0.81	11.43	3.22	5.78	0.12	14.60	8.18	2.32	2.99
123	Гранитовый-аплит . .	75.00	0.30	13.14	0.58	0.40	0.07	0.30	1.13	3.54	4.80
124	Пэзаниит . . . . .	73.32	0.20	12.36	1.80	1.66	0.08	0.14	0.42	4.70	4.71
125	Грорудит . . . . .	70.91	0.48	11.50	4.58	1.88	0.39	0.11	0.39	5.43	4.08
126	Бостонит . . . . .	61.32	0.89	18.43	3.84	1.60	0.01	0.46	1.45	5.75	4.94
127	Сельвсбергит . . . . .	62.16	0.31	17.58	3.05	1.80	0.18	0.48	1.11	7.30	4.95
128	Тингуаит . . . . .	55.02	0.36	20.42	3.06	1.82	0.22	0.59	1.67	8.63	5.38
129	Спессартит . . . . .	53.52	1.24	14.57	3.52	5.29	0.38	6.60	7.03	3.48	2.28
130	Минетта . . . . .	49.45	1.23	14.41	3.39	5.01	0.13	8.26	6.73	2.54	4.69
131	Керсантит . . . . .	50.79	1.02	15.26	3.29	5.54	0.07	6.88	5.73	3.12	2.79
132	Вогезит . . . . .	52.62	0.54	14.86	3.60	4.18	0.84	8.55	5.86	3.21	2.83
133	Камптонит . . . . .	40.70	3.86	16.02	5.43	7.84	0.16	5.43	9.36	3.23	1.76
134	Мончикит . . . . .	45.17	1.90	14.78	5.10	5.05	0.35	6.26	11.06	3.69	2.73
135	Альнёйт . . . . .	32.31	1.41	9.50	5.42	6.34	0.01	17.43	13.58	1.42	2.70

<sup>1</sup> Включая 0,40% BaO и 0,09% SrO.

<sup>2</sup> Включая 0,48 BaO и 0,18% SrO.

<sup>3</sup> Включая 0,07% ZnO<sub>2</sub>.

Продолжение табл. А

H <sub>2</sub> O	P <sub>2</sub> O <sub>5</sub>	<i>a</i>	<i>c</i>	<i>b</i>	<i>s</i>	<i>a'</i>	<i>f'</i>	<i>m'</i>	<i>c'</i>	<i>n</i>	<i>φ</i>	<i>t</i>	<i>Q</i>	$\frac{a}{c}$	Nº
4.92	0.68	13.9	4.4	25.4	56.3	—	40.9	34.2	24.9	77.3	14.7	3.3	19.6	3.2	90
2.60	0.74	16.3	1.3	29.6	52.8	—	31.2	34.4	34.4	67.8	17.8	3.2	28.3	12.5	91
1.32	0.32	10.6	6.2	26.3	56.9	—	37.0	38.6	24.4	73.7	10.6	4.5	13.6	1.7	92
1.34	0.65	13.1	5.9	22.0	59.0	—	43.4	32.2	24.4	74.2	17.4	2.9	14.1	2.2	93
1.30	0.60	14.8	3.9	23.15	58.15	—	42.4	33.1	24.5	68.2	18.0	2.5	17.2	3.8	94
3.48	0.28	8.8	6.3	31.2	53.7	—	42.0	40.9	17.1	84.1	9.4	3.3	16.5	1.4	95
3.44	0.70	10.7	4.0	32.3	53.0	—	30.5	47.2	22.3	76.0	10.5	4.1	19.4	2.7	96
3.09	0.87	12.1	3.9	23.5	60.5	—	54.2	25.9	19.9	79.1	21.1	3.0	7.1	3.1	97
1.46	1.07	12.8	1.6	31.8	53.8	—	25.0	41.5	33.5	44.9	7.8	1.5	19.6	8.0	98
2.00	0.84	11.0	6.1	23.7	59.2	—	42.8	30.0	27.2	53.2	13.8	1.6	9.7	1.8	99
2.18	0.57	11.7	4.4	31.5	52.4	—	32.7	42.9	24.4	66.3	12.1	3.1	23.0	2.7	100
2.51	1.14	14.2	4.0	26.8	55.0	—	47.9	20.5	31.6	70.8	26.6	1.3	22.4	3.55	101
1.74	0.79	10.5	6.6	23.6	59.3	—	42.2	31.6	26.2	48.6	11.4	0.2	9.0	1.6	102
2.67	0.68	11.5	4.7	32.1	51.7	—	30.3	47.3	22.4	77.4	11.5	2.6	24.3	2.45	103
1.61	0.15	12.0	4.0	30.2	53.8	—	36.2	36.2	27.6	51.1	13.6	3.7	20.4	3.0	104
2.04	0.68	16.4	3.8	22.0	57.8	—	30.1	43.2	26.7	34.2	14.6	1.2	21.0	4.3	105
3.23	0.83	8.3	2.7	40.1	48.9	—	20.8	52.7	26.5	26.6	7.4	2.3	21.5	3.05	106
2.60	0.77	13.9	1.4	31.5	53.2	—	29.4	44.2	26.4	36.5	14.0	3.4	22.8	10.0	107
1.50	0.50	18.4	2.6	20.2	58.8	—	40.1	46.0	13.9	35.2	19.0	1.9	21.8	7.1	108
2.31	—	25.8	2.1	6.2	65.9	—	68.6	18.6	12.8	50.3	44.2	0	21.9	12.3	109
1.93	0.78	25.1	0.3	16.3	58.3	—	39.3	19.2	41.5	64.1	17.1	1.0	33.9	84.0	110
2.42	1.04	18.5	2.4	29.4	49.7	—	42.4	22.4	35.2	79.4	23.1	2.4	40.0	7.7	111
2.22	0.94	10.9	3.4	40.3	45.4	—	29.0	43.0	28.0	75.6	13.8	2.8	34.4	3.2	112
2.52	0.58	8.3	2.1	48.1	41.5	—	22.1	50.1	27.8	75.8	11.2	5.0	35.7	4.0	113
2.67	0.63	9.0	1.4	48.6	41.0	—	20.5	49.7	29.8	75.0	8.8	9.2	37.4	6.4	114
4.25	0.70	19.4	2.3	23.7	54.6	—	37.4	25.0	37.6	72.8	15.7	4.4	31.9	8.4	115
0.52	0.01	14.1	0.5	2.4	83.0	59.5	35.1	5.4	—	52.8	16.2	0.8	37.3	28.2	116
0.80	0.13	11.8	5.1	11.6	71.5	—	42.6	49.1	8.3	73.3	19.0	0.8	14.3	2.3	117
1.02	0.03	13.5	1.4	3.3	81.8	24.0	60.0	16.0	—	61.8	32.0	0.2	35.2	9.6	118
3.74	0.70	17.2	3.9	15.7	68.2	—	44.9	38.1	17.0	55.5	26.6	1.1	11.9	4.4	119
2.32	0.55	13.6	5.75	16.0	64.65	—	44.2	40.2	15.6	50.8	25.0	1.1	3.7	2.4	120
3.58	0.69	10.15	3.5	29.1	57.25	—	26.5	53.8	19.7	41.3	13.5	1.4	9.3	2.9	121
2.50	0.60	8.8	2.8	37.5	50.9	—	20.7	61.9	17.4	53.6	6.8	1.2	18.6	3.1	122
0.71	0.03	14.3	1.3	1.5	82.9	—	65.2	34.8	0	52.8	34.8	0.3	36.3	11.0	123
0.58	0.03	16.0	0.5	3.2	80.3	—	77.7	8.1	14.2	59.0	28.4	0.2	28.1	32.0	124
0.25	—	14.8	2.5	4.1	78.6	—	83.9	4.8	11.3	61.6	32.2	0.5	25.1	5.92	125
1.31	—	20.0	1.8	6.9	71.3	—	70.0	12.0	18.0	64.1	48.0	1.0	0.8	11.1	126
1.04	0.04	23.0	0.2	6.4	70.4	—	69.5	12.6	17.9	69.4	40.0	0.4	5.4	115.0	127
2.77	0.06	27.5	0.3	7.5	64.7	—	61.7	14.0	24.3	70.9	35.5	0.5	25.9	91.5	128
1.75	0.34	10.8	4.25	23.75	51.2	—	35.2	46.9	17.9	70.0	12.5	1.7	3.4	2.54	129
3.04	1.12	12.5	3.4	26.6	57.5	—	29.0	53.0	18.0	45.1	10.8	1.8	13.4	3.8	130
5.71	0.35	11.4	5.0	22.2	61.4	—	38.6	50.8	10.6	62.5	13.5	1.5	5.0	2.3	131
2.70	0.21	11.1	4.3	25.1	59.5	—	31.1	57.9	11.0	63.4	12.3	0.8	7.5	2.6	132
5.59	0.62	10.5	6.4	29.3	53.8	—	45.2	34.3	20.5	73.2	17.2	6.7	19.8	1.67	133
3.40	0.51	12.3	3.9	30.1	53.7	—	31.9	35.8	32.3	67.4	14.7	3.1	21.1	3.15	134
7.50	2.38	7.0	2.7	53.1	37.2	—	19.65	54.9	25.45	44.2	8.5	3.2	42.3	2.6	135

Таблица В

ЧИСЛОВЫЕ ХАРАКТЕРИСТИКИ ГОРНЫХ  
ПОРОД, ПОЛУЧИВШИХ ОСОБОЕ НАЗВАНИЕ  
ОТ ОПИСАВШИХ ИХ АВТОРОВ

## СХЕМА КЛАССИФИКАЦИИ ХИМИЧЕСКИХ СОСТАВОВ ПО ПРИЗНАКАМ, ОПРЕДЕЛЯЕМЫМ ИЗ ЧИСЛОВОЙ ХАРАКТЕРИСТИКИ

(Числа в скобках указывают номера горных пород в табл. В)

**Класс 1.**  $Q > 45$ . Сильно пересыщенные  $\text{SiO}_2$  породы.

Группа 1. (1—12). В порядке убывания  $Q$ .

**Класс 2.**  $45 > Q > 15$ . Пересыщенные  $\text{SiO}_2$  породы.

Группа 2.  $c = 0$  или  $\bar{c}$ . Пересыщенные щелочами (13—29). В пор. убыв.  $Q$ .

„ 3.  $a : c > 8$ . Богатые щелочами (30—69). В пор. убыв.  $Q$ .

„ 4.  $8 > a : c > 4$ . Умеренно богатые щелочами (70—85). В пор. убыв.  $Q$ .

„ 5.  $4 > a : c > \frac{5}{2}$ . Бедные щелочами (86—101). В пор. убыв.  $Q$ .

„ 6.  $\frac{5}{2} > a : c$ . Очень бедные щелочами (102—117). В пор. убыв.  $Q$ .

**Класс 3.**  $15 > Q > 6$ . Слабо пересыщенные  $\text{SiO}_2$  породы.

Группа 7.  $c = 0$  или  $\bar{c}$ . Пересыщенные щелочами (118—120). В пор. убыв.  $Q$ .

„ 8.  $a : c > 3$ . Богатые щелочами (121—136). В пор. убыв.  $Q$ .

„ 9.  $3 > a : c > \frac{3}{2}$ . Бедные щелочами (137—143). В пор. убыв.  $Q$ .

„ 10.  $\frac{3}{2} > a : c$ . Очень бедные щелочами (144—153). В пор. убыв.  $Q$ .

**Класс 4.**  $6 > Q > -6$ . Насыщенные  $\text{SiO}_2$  породы.

Группа 11.  $c = 0$  или  $\bar{c}$ . Пересыщенные щелочами (154—168). В пор. убыв.  $Q$ .

Группа 12.  $a : c > 7$ . Богатые щелочами.

Подгруппа а)  $b < 15$ . Лейкократовые (169—191). В пор. убыв.  $\frac{a}{c}$ .

„ б)  $b > 15$ . Мезократовые (192—195). В пор. убыв.  $\frac{a}{c}$ .

Группа 13.  $7 > a : c > \frac{5}{2}$ . Умеренно богатые щелочами.

Подгруппа а)  $b < 20$ . Лейкократовые (196—217). В пор. убыв.  $\frac{a}{c}$ .

„ б)  $45 > b > 20$ . Меланократовые (218—220). В пор. убыв.  $\frac{a}{c}$ .

Группа 14.  $\frac{5}{2} > a : c > \frac{3}{2}$ . Бедные щелочами.

Подгруппа а)  $b < 20$ . Лейкократовые (221—230). В пор. убыв.  $\frac{a}{c}$ .

„ б)  $b > 20$ . Меланократовые (231—236). В пор. убыв.  $\frac{a}{c}$ .

Группа 15.  $\frac{3}{2} > a : c$ . Очень бедные щелочами.

Подгруппа а)  $b < 45$ . Лейко-меланократовые (237—271). В пор. убыв.  $\frac{a}{c}$ .

„ б)  $b > 45$ . Голомеланократовые (272—275). В пор. убыв.  $\frac{a}{c}$ .

Класс 5.—6>Q>—15. Слабо недосыщенные  $\text{SiO}_2$  породы.

Группа 16.  $c=0$  или  $\bar{c}$ . Пересыщенные щелочами (276—287). В пор. убыв. Q.

Группа 17.  $a:c>7$ . Богатые щелочами.

Подгруппа а)  $b<20$ . Лейкократовые (288—305). В пор. убыв.  $\frac{a}{c}$ .

„ б)  $b>20$ . Меланократовые (306—308). В пор. убыв.  $\frac{a}{c}$ .

Группа 18.  $7>a:c>2$ . Умеренно богатые щелочами.

Подгруппа а)  $b<20$  (309—321). В пор. убыв.  $\frac{a}{c}$ .

„ б)  $b>20$  (322—340). В пор. убыв.  $\frac{a}{c}$ .

Группа 19.  $2>a:c$ . Бедные щелочами.

Подгруппа а)  $b>20$ . Лейкократовые. (341—343). В пор. убыв.  $\frac{a}{c}$ .

„ б)  $45>b>20$ . Меланократовые (344—377). В пор. убыв.  $\frac{a}{c}$ .

„ в)  $b>45$ . Голомеланократовые (378—387). В пор. убыв.  $\frac{a}{c}$ .

Класс 6.  $Q<-15$ . Ненасыщенные  $\text{SiO}_2$  породы.

Группа 20.  $c=0$  или  $\bar{c}$ . Пересыщенные щелочами.

Подгруппа а)  $b<25$ . Лейкократовые (388—421). В пор. убыв. Q.

„ б)  $25<b<45$ . Меланократовые (422—430). В пор. убыв. Q.

„ в)  $b>45$ . Голомеланократовые (431—438). В пор. убыв. Q.

Группа 21.  $a:c>7$ . Богатые щелочами.

Подгруппа а)  $b<25$ . Лейкократовые (439—490). В пор. убыв. Q.

„ б)  $25<b<45$ . Меланократовые (491—515). В пор. убыв. Q.

„ в)  $b>45$ . Голомеланократовые. В пор. убыв. Q.

в<sub>1</sub>)  $(a+c)>5$  (516—522).

в<sub>2</sub>)  $(a+c)<5$  (523—524).

Группа 22.  $7>a:c>2$ . Щелочные породы.

Подгруппа а)  $b\leqslant 25$ . Лейкократовые (525—554). В пор. убыв. Q.

„ б)  $25<b<45$ . Меланократовые (555—605). В пор. убыв. Q.

„ в)  $b>45$ . Голомеланократовые. В пор. убыв. Q.

в<sub>1</sub>)  $(a+c)>5$  (606—615).

в<sub>2</sub>)  $(a+c)<5$  (616—619).

Группа 23.  $2>a:c$ . Бедные щелочами.

Подгруппа а)  $b<25$ . Лейкократовые (620—625). В пор. убыв. Q.

„ б)  $25<b<45$ . Меланократовые (625—643). В пор. убыв. Q.

„ в)  $b>45$ . Голомеланократовые. В пор. убыв. Q.

в<sub>1</sub>)  $(a+c)>5$  (669—690).

в<sub>2</sub>)  $(a+c)<5$  (691—711).

# УСЛОВНЫЕ ОБОЗНАЧЕНИЯ МИНЕРАЛОВ

## Главные минералы

### Салические

Q	—кварц
Tr	—тридимит
Cor	—корунд
Kfd	—калиевый полевой шпат
KNafd	—щелочной полевой шпат
Or <sub>2</sub>	—ортоклаз
Or <sub>10</sub>	—ортоклаз 10% Ab и 2% An
pOr	—пертит-ортоклаз
Mr	—микроклин
pMr <sup>3</sup> <sub>10</sub>	—микроклин-пертит 10% Ab и 3% An
San	—санидин
San <sup>3</sup> <sub>10</sub>	—санидин 10% Ab, 3% An
anOr	—анортоклаз
pMi	—микропертит
Pi	—плагиоклаз
An	—анортит

п—перед обозначением минерала значит „натровый“, например nSan—натровый санидин

### Фемические

Mel	—мелилит
Forst	—форстерит
Fa	—фаялит
Mont	—монтичеллит
Ol <sub>15</sub>	—оливин 15% Fa
Hy	—гиперстен
Hy <sub>20</sub>	—гиперстен с 20% FeSiO <sub>3</sub>
En	—энstatит
Br	—бронзит
Pig	—пижонит
Au	—авгит
ti-Au	—титан-авгит
Di	—диопсид
Py	—пироксен

kI—обозначает „клино“, например kIHy—клиногиперстен.

### Второстепенные и вторичные минералы

anal	—анальцим
natr	—натролит
thom	—томсонит
cancr	—канкринит
ep	—эпидот
zs	—зоизит
prn	—пренит
pec	—пектолит

carb	—карбонаты
calc	—кальцит
kaol	—каолин
chl	—хлорит
serp	—серпентин
act	—актинолит
leuc	—лейкооксит
lim	—лимонит

## Аксессорные и случайные минералы

cord	кордиерит	chr	хромит
gr	гранат	ort	ортит
sp	шпинель	ant	анатаз
str	ставролит	to	топаз
sil	силиманит	fl	флюорит
mt	магнетит (рудный минерал)	tu	турмалин
il	ильменит	br	брекит
ti	титанит	asph	астрофиллит
ap	апатит	rnk	ринкит
zr	циркон	rsb	розенбушит
ru	рутил	eud	эвдиалит
pr	пирит	euk	эйколит
per	перовскит	wor	вёлерит
hm	гематит	lv	лавенит

стекло (San+Q) — стекло, потенциально санидин и кварц

Количественный минералогический состав дан для большинства пород в весовых процентах. Для некоторых — в объемных. В таблице их названия отмечены звездочкой. Norm — нормативный или виртуальный состав по системе CIPW.

**Числовые характеристики всех горных пород, получившие**

N <sup>o</sup> п.п.	N <sup>o</sup> Тр. груп.	Название	Минералогический состав	a	c	b	s
<i>Класс 1, группа 1:</i>							
1	3	Пиритосалит . . .	86Q, 7pr, 4Mu, 3(il, ap, ru, carb)	0.5	0.1	2.3	97.1
2	4	Норсфильдит . . .	88Q, 9Mu, 3(Bi, ap, tu, act, mt)	2.7	0.4	1.4	95.5
3	7	Аризонит . . . .	80Q, 18Or <sup>2</sup> <sub>22</sub> , 2(Bi, Mu, ap)	3.9	0.1	0.7	95.3
4	9	Березит . . . . .	61Q, 25Pl <sup>6</sup> <sub>10</sub> , 13Mu, 1(ap, zr, calc, pr, ru)	7.6	0.6	3.6	88.2
5	11	Ленинпорфир . . .	56Q, 41Pl <sup>2</sup> <sub>3</sub> , 3(chl, mt, ap)	9.5	0.2	2.0	88.3
6	63	Карит . . . . .	52Q, 20Or, 20Aeg, 7Ab, 1(pr, hm)	6.4	—	1.5	86.9
7	10	Альбитовый грано- фир . . . . .	54Q, 29Pl <sub>5</sub> , 12Mu, 5(Py→chl, caol, mt, pr, zr)	9.0	1.2	3.6	86.2
8*	—	Кварцевый эврит .	Norm: Q — 57·3; or — 18·9; ab — 18·34; an — 1·11; en — 0·36; C — 5·9; mt — 1,2	7.9	0.2	8.3	83.6
9	6	Грейзен * . . . .	58Q, 31 циннвалльдит, 9to, 2(fl, tu)	7.0	0.8	10.6	81.6
10	878 <sup>1/2</sup>	Канцибит (темная разность) . . . .	Norm: Q — 46·3; or — 45·3; ab — 2·7; an — 1·7; C — 1·6; fs — 1·7; il — 0·2; mt — 0·5	11.1	0.4	3.4	85.1
11	5	Эсмеральдит . . . .	61Q, 38Mu, 1(mt, pr, gr)	6.8	0.4	12.1	80.7
12	40 <sup>1/2</sup>	Керамикит . . . .	5Pl <sub>90</sub> , 5cord, 90 основная масса (Q+Or+Pl)	8.6	1.0	8.2	82.2
<i>Класс 2, группа 2: 45&gt;Q&gt;15;</i>							
13	17	Аплитовый гранит щелочной* . . . .	57npKfd <sub>56</sub> , 39Q, 4nHb	12.6	—	2.8	84.3
14	62	Грорудит . . . . .	53pMr <sup>1</sup> <sub>60</sub> , 24Q, 22Aeg, 1nHb	11.3	—	2.6	82.2
15	56 <sub>1</sub>	Щелочной гранит*	38Q, 22Or, 21anOr, 19nHb	12.6	—	2.4	81.9
16	18	Экерит . . . . .	62 (anOr, pMi), 31Q, 6(nHb, Aeg), 1(mt, ap, zr)	14.5	—	0.7	82.9
17	58	Рокаллит* . . . . .	43Aeg, 30Q, 26(Ab, Mr), 1(ap, mt)	6.9	—	2.1	79.7
18	61	Рибекитовый гра- нофир . . . . .	32Q, 29Or, 28Pl <sub>5</sub> , 9nHb, 2(ep, mt)	14.1	—	2.4	81.9
19	48	Комендит . . . . .	60 (nSan, pMi), 31Q, 9(nHb, Bi, Aeg)	14.9	—	2.3	81.7
20	74	Таврит . . . . .	40anOr <sub>90</sub> , 29Q, 15Or, 15(Aeg-Au, nHb), 1(mt, ap)	13.3	—	6.6	79.0
21	28	Этириновый фель- зит . . . . .	66nOr <sub>55</sub> , 27Q, 7Aeg	16.1	—	1.1	81.4
22	49	Канталит . . . . .	Norm: Q — 27·7; or — 24·5; ab — 34·6; an — 2·2; h1 — 1·4; hy — 3·2, mt — 0·5	16.4	—	2.7	80.6
23	64	Фазибитикит . . . .	33Aeg, 27Ab <sup>6</sup> , 25Q, 10pMiNa — Or <sub>67</sub> , 5(zr, euk)	10.3	—	4.3	77.9

\* Химические анализы №№ 8, 34, 150, 226, 233, 236, 254, 454, 473, 505, 558, 565, 628 и 644.

$a'$	$f'$	$m'$	$c'$	$n$	$\varphi$	$t$	$Q$	$\frac{a}{c}$	н. №	Источник
<i>Q&gt;45:</i>										
51.4	40.0	8.6	—	25.0	0	1.1	93.1	5.0	1	Brögger, 1930, [161], 126, 124, 191.
17.4	34.8	47.8	—	36.4	34.8	0.1	85.2	6.55	2	Emerson, 1915, [7], (4), 40, 212, 215,
16.7	50.0	33.3	—	12.5	33.3	0.2	82.7	39.0	3	Spurr, 1923, [169], 310; [146]. 99, 51.
86.2	12.1	1.7	—	71.7	10.3	0	60.6	12.65	4	Rose, 1837, [120], 1, 186; [7], (4), 10, 358.
0	81.3	0	18.7	97.3	81.3	0	57.4	47.5	5	Dechen, 1845, [96], 19, 376; Mügge, 1893; [126]; Beil, 8, 554, 616.
	20.8	41.7	37.5	24.5	16.7	0	55.8	1.23	6	Карпинский, 1903, [197], (5), 19, 1.
59.6	12.3	28.1	—	78.6	0	0.1	53.2	7.5	7	Holmes, 1917, [75], (6), 4, 404, 406; Bowen, 1910, [91], 18, 667.
87.2	11.3	1.5	—	46.0	7.5	0	51.2	39.5	8	Dumont, 1849, [3], Mem. 22, 487.
65.0	34.4	0.6	—	30.1	0	0	48.4	8.75	9	Старое саксонское название. Tröger, 1935, [162], [188], 43, 155.
61.5	38.5	0	—	4.4	7.7	0.1	47.6	27.75	10	Sorotchinsky, 1934, [3], 20, 189.
86.2	10.1	3.7	—	5.7	7.4	0	47.4	17.0	11	Spurr, 1906, [56]1, 382, 375.
55.8	20.2	24.0	—	57.4	7.8	0.2	46.2	8.6	12	Kotô, 1916, [90], 38 <sub>3</sub> , 197.

*пересыщенные щелочами*

—	83.7	4.7	11.6	59.2	46.5	—	43.1	42.0	13	Tröger, 1935, [162], 21; [50], 71, 67.
—	74.4	5.1	20.5	50.6	30.8	—	37.9	2.89	14	Brögger, 1890, [193], 16, 66; 1894 <sub>4</sub> , [161], 5.
—	38.9	5.55	55.55	55.6	0	0.2	35.5	4.06	15	Rosenbusch, 1896, [118], 56; Vogt, 1930 <sub>3</sub> , [161], 27; [75a], 1926, 547.
—	27.3	0	72.7	55.9	0	0.2	34.9	7.6	16	Brögger, 1906, [133], 44, 136; [161], 1932 <sub>7</sub> , 37.
—	48.4	9.7	41.9	96.0	6.4	0.3	34.8	0.61	17	Judd, 1897, [182], 31 <sub>2</sub> , 48; Ty- rell, 1924, [75], 61, 19; [147], 70, 297.
—	73.0	2.7	24.3	52.3	10.8	0.3	34.0	8.8	18	Phillips, 1926, [75], 63, 72, 75.
—	86.1	11.1	2.8	54.4	78.0	0	32.5	13.53	19	Bertolio, 1895, [153], (5), 4, 48; [57], 257,
—	66.0	23.0	11.0	77.0	66.0	0	31.3	12.1	20	Lagorio, 1897, [81], 33, 5, 27.
—	5.6	33.3	61.1	64.5	0	0.1	29.2	11.5	21	Shand, 1906, [126]; Beil, 22, 449; [112], 1907, 449.
—	28.2	51.3	20.5	63.0	0	0.1	28.1	54.6	22	Leonhard, 1821, [82], 122; [44] 163, 408.
—	9.5	36.5	54.0	86.7	0	0.4	27.7	1.37	23	Lacroix, 1915, [44], 161, 257; [119], 2, 593.

отмеченные звездочкой, взяты не у Трёгера. (См. „источник“).

№ п.п.	№ Трёхгора	Название	Минералогический состав	a	c	b	s
24	56 <sup>1/2</sup>	Карлштейнит . . .	50nMr, 25Q, 20nHb, 5(ti, ap, mt, ru, zr)	12.6	—	6.7	77.2
25	59	Линдинозит . . .	59nHb, 21KNaf <sub>d35</sub> , 20Q;	5.6	9.1	13.6	71.7
26	72	Пантеллерит . . .	63anOr <sub>57</sub> , 20Q, 14AegDi, 3nHb;	15.4	3.1	3.5	78.0
27	50	Кварцевый трахит	70(nOr, anOr), 7Pl <sub>16</sub> , 19Q, 4(Bi, ti, mt, ap)	18.5	0.1	2.8	78.6
28	32	Эльсит * . . . .	77nOr <sub>69</sub> , 17Q, 6nHb	18.3	1.2	2.0	78.5
29	56 <sub>2</sub>	Щелочной гранит	38Q, 22Or, 21anOr, 19nHb	16.6	0.7	6.7	76.0

Класс 2, группа 3:

30	16	Чарноокит . . . .	48Mr <sub>50</sub> , 40Q, 6Pl <sub>17</sub> , 3Hy, 3(mt, Bi, ap)	11.7	1.1	3.3	83.9
31	136	Юконит . . . . .	56Pl <sub>19</sub> , 38Q, 6(Bi, mt, calc, ap)	11.2	2.6	3.2	83.0
32	20	Альбитовый гранит	59Pl <sup>6</sup> <sub>4</sub> , 38Q, 3(Hb, mt, zr)	13.6	0.6	1.4	84.4
33	79	Питерлит . . . .	40pMr <sup>2</sup> <sub>25</sub> , 38Q, 14Pl <sub>25</sub> , 6Lep, 2(mt, ap, zr)	12.4	1.0	3.5	83.1
34*		Канцибит (светлая разность) . . .	Norm: Q — 37.9; or — 40.7; ab — 16.3; an — 1.7; wo — 0.2; fs — 1.9; il — 0.2; mt — 1.0	13.7	0.4	1.8	84.1
35	53	Калиевый гранит	53Mr, 33Q, 11Bi, 3Pl	13.6	0.9	1.5	84.0
36	122	Унгайт . . . . .	Norm: Q — 35.8; or — 15.6; ab — 38.8; an — 7.8; hy — 0.9; C — 0.5;	13.5	1.5	1.1	83.9
37	102	Пехштейн * . . .	Norm: Q — 35.7; or — 18.9; ab — 32.6; an — 5.1; C — 0.8; hy — 0.7; mt — 0.6	13.2	1.2	2.3	83.3
38	45	Пиромерид . . .	60Or <sub>37</sub> , 37Q, 3(mt, ap, zr, Mu, chl, he)	14.2	0.3	2.1	83.4
39	43	Плагиолипарит . .	Norm: Q — 35.0; or — 33.9; ab — 24.1; an — 4.2; di — 2.2; hy — 0.8;	14.0	1.0	1.5	83.5
40	60	Лланит . . . . .	41pMr <sub>45</sub> , 35Q, 14Pl <sub>10</sub> , 9Bi, 1(fl, ap, mt, zr)	13.8	0.8	2.5	82.9
41	113	Эльван . . . . .	40Q, 32Pl <sub>22</sub> , 15Or, 8Mu, 4Bi, 1(ap, mt)	10.6	0.6	9.4	79.4
42	44	Тордриллит . . .	63Or, 35Q, 2(Hb, mt)	13.4	0.1	4.7	81.8
43	12	Аплитовый гранит*	42pMi <sup>4</sup> <sub>34</sub> , 33Q, 22Pl <sub>12</sub> , 3(ap, zr, mt, fl, Mu)	14.3	1.1	1.8	82.8
44	27	Брандбергит . . .	54nOr <sub>55</sub> , 37Q, 8Bi, 1(mt, zr)	14.1	0.2	3.7	82.0
45	14	Алискит . . . . .	64Kfd <sup>8</sup> <sub>51</sub> , 34Q, 2(mt, ap, Bi)	14.3	1.2	1.9	82.6
46	23	Рапакиви-аплит*	58pMr <sup>3</sup> <sub>37</sub> , 29Q, 7Pl <sub>6</sub> , 5Bi, 1(ap, mt, fl)	14.3	0.9	2.4	82.4
47	41	Кварцевый порфир	47Or <sup>2</sup> <sub>28</sub> , 34Q, 15Pl <sup>5</sup> <sub>15</sub> , 4(Bi, he, mt, ap)	14.9	0.1	2.5	82.5
48	40-в	Липарит . . . . .	42Sан <sub>33</sub> , 33Q, 23Pl <sub>15</sub> , 2(Di, Bi, ap, mt)	15.3	0.6	1.4	82.7
49	40-а	Риолит . . . . .	64(nSan, Ab), 30Q, 4Pl <sub>20</sub> , 1Bi, 1(ap, mt)	15.9	0.7	0.9	82.5

$a'$	$f'$	$m'$	$c'$	$n$	$\varphi$	$t$	$Q$	$\frac{a}{c}$	$\frac{n}{n_c}$	Источник
$n' = 1.98$	0	77.2	20.8	1.1	0	2.4	25.7	3.6	24	Waldmann, 1935, [85], 85, 263, 276.
—	92.0	3.5	4.5	17.0	21.2	0.9	23.1	—	25	Lacroix, 1922, [119], 2, 580, 583.
—	81.1	11.3	7.5	58.1	37.7	1.0	22.1	5.0	26	Forstner, 1881, [24], (2), 12, 537; [91], 21, 703.
—	68.3	0.	31.7	56.8	44.0	0.3	20.1	185.0	27	Stache, 1863; Hauer и Stache [76], 44; [64a], 171, 10.
—	60.0	16.6	23.4	69.3	0	0.3	19.2	15.10	28	Hedde, 1897, [177], 7, 266; [44], 177, 40.
—	66.4	15.3	18.3	56.0	25.0	0.6	18.1	23.61	29	Rosenbusch, 1896. См. № 15; [119], 2, 583.
$Q > 15; \frac{a}{c} > 8$										
—	78.4	21.6	0	51.1	23.5	0.2	43.3	10.62	30	Holland, 1900, [108], 28, 131; [7], (4), 41, 325.
—	33.3	16.7	50.0	97.6	33.3	0.2	41.0	43.1	31	Spurr, 1904, [37], 228, 270; [37], 168, 229.
18.2	63.6	18.2	—	94.3	18.2	0.1	41.0	22.6	32	Shand, 1917, [75], (6), 4, 466; [17], 21 <sub>5</sub> , 145.
—	71.7	15.1	13.2	37.9	22.6	0.3	40.4	12.4	33	Wahl, 1925, [61], 45 <sub>20</sub> , 60; [25], 15, 18.
—	96.4	0	3.6	29.8	28.6	0.1	40.4	34.25	34	Sorotchinsky, 1934, [3], 20, [113], 9 <sub>6</sub> , 50.
—	95.7	4.3	0	50.0	43.5	0.2	39.9	15.1	35	Haughton, 1856, [147] 12, 171; Vogt, 1930, [161], 27; [91], 8, 237.
63.0	37.0	0	—	72.5	37.0	0	39.3	9.0	36	Iddings, 1913, [83], 2, 107; [162], 63.
52.9	29.4	17.7	—	64.1	17.7	0	39.0	11.0	37	Schulze, 1759, [125], 2, 267; [59], 48, 61.
—	81.2	18.8	0	37.0	68.8	0.1	38.1	47.4	38	Hauy, 1814, [93], 35, 347; [32], 21, № 130, 40.
—	60.9	4.3	34.8	43.0	60.9	0	38.0	14.0	39	Duparc и Pearce, 1900, [44], 130, 56, 58.
5.1	82.1	12.8	—	47.2	30.8	0.4	37.4	17.25	40	Iddings, 1904, [91], 12, 225, 228.
81.6	13.0	5.4	—	73.5	10.9	0	37.0	17.35	41	Старое галльское название. Ganybeare, 1817, [179], 4, 401, [143], 6, 126.
72.2	25.0	2.8	—	51.9	25.0	0.1	36.7	134.0	42	Spurr, 1900, [6], 25, 23.
28.6	57.1	44.3	—	53.2	21.4	0.1	35.9	13.0	43	Niggli, 1923, [77], 1, 108; Tröger, [162], 22.
—	96.4	3.6	—	52.8	28.6	0.2	35.6	70.5	44	Chudoba, 1930, [40], 389, 393.
66.7	26.7	6.6	—	51.9	26.7	0.1	35.4	11.9	45	Spurr, 1900, [6], 25, 229, 231.
—	86.1	5.6	8.3	40.7	22.2	0.2	35.3	15.9	46	Brögger, 1906, [133], 44, 143; [61], 50 <sub>27</sub> , 22.
—	66.7	17.9	15.4	47.4	66.7	0	35.1	149.0	47	Zirkel, 1873, [117], 290; [122], 2, 58.
—	90.5	9.5	0	54.8	66.7	0.1	34.2	25.5	48	Roth, 1861, [54], 34; [7], (4), 50, 452.
—	92.3	7.7	0	57.1	61.5	0	32.5	22.7	49	Richthofen, 1860, [87], 11, 153; [146], 76, 104.

№ п.п.	№ Трёга	Название	Минералогический состав	<i>a</i>	<i>c</i>	<i>b</i>	<i>s</i>
50	46	Альбитовый фельзит-порфир . . .	53Or <sup>3</sup> <sub>30</sub> , 30Q, 9Pl <sup>8</sup> <sub>5</sub> , 8(ep, chl, mt, ap, zr) Norm: Q — 28·9; or — 6·7; ab — 58·2; an — 1·7; di — 2·7; hy — 0·5	14.7	0.9	3.2	81.2
51	47	Натровый риолит . . . . .	39Mr, 31Q, 21Pl <sub>6</sub> , 4Mu, 5(gr,ap, sil)	16.0	0.4	1.6	82.0
52	65	Пегматит . . . . .	44San <sup>4</sup> <sub>36</sub> , 25Pl <sup>5</sup> <sub>15</sub> , 27Q, 4(Bi, ap)	14.8	0.8	3.4	81.0
53	42	Невадит . . . . .	71Pl <sup>7</sup> <sub>5</sub> , 28Q, 1(mt, ap, Mu)	14.6	1.0	3.6	80.8
54	25	Кварцевый альбит . . . . .	39pOr <sup>2</sup> <sub>39</sub> , 31Pl <sup>8</sup> <sub>10</sub> , 28Q, 2(Bi, Mu, gr, zr, mt)	16.2	0.4	1.8	81.6
55	22	Гранитовый аплит . . . . .	47pOr, 25Pl <sub>20-5</sub> , 23Q, 5(Bi, ap, mt)	15.9	0.9	1.7	81.5
56	13	Энгадинит* . . . . .	39Pl <sub>6</sub> , 28Q, 24nSan <sub>59</sub> , 9nHb	16.1	0.7	3.2	80.0
57	30	Дагамит . . . . .	57Pl <sub>12</sub> , 23Ru, 8Q, 7pMi, 5il	15.0	0.7	3.9	80.4
58	313	Крагерёйт . . . . .	70pMi <sup>1</sup> <sub>57</sub> , 28Q, 2(Bi, ti, ap, mt)	15.6	1.3	2.1	81.0
59	26	Нордмаркит-аплит . . . . .	70pMi <sup>1</sup> <sub>57</sub> , 28Q, 2(Bi, ti, ap, mt)	16.7	0.3	1.4	81.6
60	38	Рунит . . . . .	75pMr <sup>3</sup> <sub>28</sub> , 25Q	18.0	0.3	0.1	81.6
61	15	Биркремит . . . . .	74pMi <sup>9</sup> <sub>63</sub> , 24Q, 2(Hy, Bi, ap, mt)	16.8	1.5	1.3	80.4
62	29	Пэзанит . . . . .	71nSan <sup>2</sup> <sub>52</sub> , 26Q, 2nHb, 1(ap, zr, mt)	17.0	0.3	2.9	79.8
63	19	Аляскит натровый . . . . .	42pMr <sub>57</sub> , 31Pl <sup>9</sup> <sub>5</sub> , 24Q, 3(mt, he, ap, zr)	17.6	0.1	2.1	80.2
64	71	Эвергринит . . . . .	43pMr <sup>7</sup> <sub>52</sub> , 24Q, 22Woll, 9Di, 2(mt, ti, ap)	9.9	0.5	17.7	71.9
65	94	Трахидацит . . . . .	45KNaFd <sub>56</sub> , 23Pl <sub>21</sub> , 20Q, 8Br, 4(mt, ap)	15.6	1.5	7.0	75.9
66	52	Санссийт . . . . .	45San <sub>55</sub> , 18Pl <sub>40</sub> , 5(Au, Bi), 2(ti, ap), 30(nSan+Q)	17.0	2.0	3.9	77.1
67	31	Эгириновый аплит . . . . .	80pMi <sup>4</sup> <sub>81</sub> , 15Q, 3Aeg, 2(ti, pr, mt)	17.8	0.9	4.4	76.9
68	76	Кварцевый кератофир . . . . .	66Ab <sup>14</sup> , 19Q, 13Hb, 2(mt, ap)	17.3	0.7	6.6	75.4
69	51	Кварцевый ортофир . . . . .	Norm: Q — 16·3; or — 44·5; ab — 24·6; an — 5·6; di — 1·3; hy — 1·4; mt — 3·5; il — 1·1; ap — 0·5	17.4	1.4	5.5	75.7

$a'$	$f'$	$m'$	$c'$	$n$	$\phi$	$t$	$Q$	$\frac{a}{c}$	Нр.	Источник
—	83.4	8.3	8.3	40.5	12.5	0,4	32.1	16.45	50	Eskola, 1934, [45], 8, 122, 114.
—	48.0	8.0	44.0	90.3	48.0	0	31.6	40.0	51	Palache, 1894, [190], 1, 61, 67.
50.5	34.6	15.4	—	33.6	15.4	0	31.6	18.5	52	Hauy и Brongniart'a, 1813, [93], 34, 32; Delesse, 1849, [8], 16, 97; [73], 50, 348.
61.8	21.8	16.4	—	57.1	0	0	31.4	14.6	53	Richthofen, 1868, [192], 20, 680; [122a], 12, 349.
78.6	17.8	3.6	—	91.2	14.3	0,1	30.4	40.5	54	Tilley, 1919, [185], 43, 325; [185], 44, 29.
15.4	61.5	23.1	—	60.8	46.1	0	30.3	17.65	55	Chelius, 1892, [131], (4), 13, 3; [162], 24.
—	64.6	20.8	14.6	51.7	41.7	0,4	30.1	23.0	56	Niggli, 1923, [77], 1, 110; [19a], 23, 191.
23.7	66.4	10.2	—	81.0	40.7	0	30.1	21.4	57	Pelikan, 1902, [50], 71 <sub>1</sub> , 77, 78.
46.6	26.7	26.7	—	90.1	20.0	27,0	29.5	12.0	58	Brögger, 1904, [65], 30; [7], (4) 34, 512.
—	90.5	9.5	—	57.8	57.1	0,1	29.5	55.6	59	Brögger, 1906, [133], 44, 135; [161], 1929 <sub>6</sub> , 1.
—	0	0	100.0	28.9	0	0	26.9	60.0	60	Pinkerton, 1811, [138], 2, 85; [162], 28.
—	68.4	26.3	5.3	70.3	21.1	0,1	25.7	11.2	61	Kolderup, 1903, [20], 12, 117; [20], 5, 98.
26.7	68.9	4.4	—	53.8	57.8	0	25.3	56.6	62	Osann, 1893, [12], 4, 123; [188], 15, 439.
—	81.2	0	18.8	71.1	56.2	0,2	25.1	176.0	63	Mauritz и Vendl, 1923, [108], 40, 100; [126], 1928 <sub>2</sub> , 143.
—	14.0	4.7	81.3	57.7	5.0	0,3	23.5	19.8	64	Ritter, 1908, [176], 38, 751; Lacroix, 1924, [44], 179, 947, 950,
—	52.4	15.2	32.4	65.0	36.2	0,45	19.1	10.4	65	Millosevich, 1906, [115], (5), 6, 418, 420.
34.5	46.5	19.0	—	59.5	41.4	0,6	18.2	8.5	66	Lacroix, 1923, [119], 3, 40, 14.
50.0	50.0	0	—	85.3	29.4	0	17.3	19.75	67	Pirsson, 1900, [7], (4), 9, 200; [177], 9, 418.
—	81.8	5.1	13.1	85.4	56.6	0,3	15.5	24.7	68	Lossen, 1882, [192], 34, 455; [162], 44.
—	64.2	24.7	11.1	37.0	37.0	0.6	15.2	12.4	69	Син.: анхиметаморфный кварцевый трахит. Tröger, 1935, [162], 32.

№ п.п.	№ Тр. гера	Название	Минералогический состав	a	c	b	s
<i>Класс 2, группа 4:</i>							
70	24	Кварцевый монцо-нит-аплит . . .	37Q, 32Pl <sup>6</sup> <sub>45-40</sub> , 27pMr <sup>3</sup> <sub>30</sub> , 4(Bi, Mu, gr, tu, ap)	12.2	2.9	1.1	83.8
71	40 <sup>2</sup> / <sub>3</sub>	Овараит . . . .	Norm: Q — 37·32; or — 21·13; ab — 27·77; an — 4·73; hy — 0·30; mt — 1·16; il — 0·30; c — 1·5; hm — 1·28; ap — 0·67.	12.3	1.6	3.6	82.5
72	111	Альсбахит . . . .	44Pl <sup>8</sup> <sub>12</sub> , 34Q, 14Or <sup>3</sup> <sub>30</sub> , 8(gr, Bi, Mu)	12.6	1.9	3.7	81.8
73	47 <sup>1</sup> / <sub>2</sub>	Окаваит* . . . .	29anOr, 2AegAu, 1mt, 68 стекло.	13.2	1.7	5.5	79.6
74	95	Бештаунит . . . .	35San, 30Pl <sup>1</sup> <sub>25-15</sub> , 29Q, 4Hb, 2(ap, ti, mt)	14.3	2.1	3.0	80.6
75	89	Мазанит . . . .	32Pl <sup>6</sup> <sub>20</sub> , 31Or, 27Q, 8Bi, 2(mt, ti, ap)	12.6	1.6	7.4	78.4
76	84	Иоземитит . . . .	35Pl <sup>6</sup> <sub>22</sub> , 30Q, 28Or <sup>6</sup> <sub>25</sub> , 5Bi, 2(mt, ti, ap, zr)	13.5	3.1	3.9	79.5
77	80	Выборгит . . . .	40(pOr, pMr <sup>4</sup> <sub>30</sub> , 27Q, 23Pl <sup>11</sup> <sub>29</sub> , 8Bi, 2(mt, fl, ap, zr)	14.8	2.0	4.2	79.0
78	98	Крейгнурит . . . .	Norm: Q — 25·8) or — 23·9; ab — 24·4; an — 7·7; di — 6·2; hy — 3·0; mt — 4·5; il — 1·7; ap — 0·4	12.2	1.8	10.4	75.6
79	96	Делленит . . . .	15Pl <sub>60</sub> , 4Hy <sub>30</sub> , 1(mt, ap) 80 сферолитовая основная масса	14.4	1.9	6.0	77.7
80	81	Тирилит* . . . .	51pMr, 19Pl <sub>40-30</sub> , 18Q, 7Hb, 3(Py, Le), 2(mt, ap, zr)	13.7	3.3	6.1	76.9
81	129	Трондьемит . . . .	68Pl <sub>27-16</sub> , 23Q, 9Bi, 1(mt, ti, ap)	15.0	3.6	3.7	77.7
82	97	Гринхальгит . . . .	38San <sup>3</sup> <sub>27</sub> , 36Pl <sup>6</sup> <sub>40-15</sub> , 18Q, 5Bi, 3(ap, zr)	14.5	2.6	7.5	75.4
83	85	Нормальный гранит* . . . .	34Pl <sub>29</sub> , 26Q, 23pMr <sup>3</sup> <sub>30</sub> , 16Bi, 1(mt, ap, zr)	14.0	3.5	7.2	75.3
84	120	Плагиофир . . . .	50Pl <sub>30-20</sub> , 23Or <sub>40</sub> , 17Q, 10(chl, mt, ap)	15.8	2.6	6.5	75.1
85	154	Санторинит* . . . .	7Hy, 6Pl <sub>50-40</sub> , 2(mt, ap), 85 основная масса (Pl <sub>25-15</sub> и стекло)	14.8	3.6	7.5	74.1
<i>Класс 2, группа 5:</i>							
86	55	Мойит . . . . .	46Q, 29nOr, 22Bi, 3(Pl <sub>20</sub> , calc, ap, mt)	8.3	2.8	6.9	82.0
87	130	Гранит плагиокла- зовый . . . . .	56Pl <sup>10</sup> <sub>25-10</sub> , 35Q, 8(Hb+Bi), 1(mt, ap, ti, zr)	11.7	3.1	5.0	80.2
88	130 <sup>1</sup> / <sub>2</sub>	Сабаровит . . . . .	58Pl <sup>12</sup> <sub>25-27</sub> , 32Q, 7Hy <sub>35</sub> , 3(mt, ap)	11.3	3.0	6.9	78.8
89	106	Фарсундит . . . . .	41Pl <sub>20</sub> , 25Q, 20Mr, 11(Hb, Hy, Dlg), 3(mt, ap)	11.5	3.6	6.2	78.7
90	83	Кальцигранит . . . .	47pOr <sup>15</sup> <sub>68</sub> , 30Q, 14Pl <sub>57</sub> , 6(Hy+Hb), 3(mt, ap, zr)	11.6	3.6	6.3	78.5
91	118	Риодацит . . . . .	34Pl <sub>50-15</sub> , 29Q, 18Or, 16Bi, 3(ap, mt)	10.9	3.4	8.9	76.8
92	50 <sup>1</sup> / <sub>2</sub>	Тридимитовый тра- хит . . . . .	36nSan, 29Pl <sub>37</sub> , 28Tr, 6Bi, 1(mt, ap, zr)	13.6	3.5	3.5	79.4
93	135	Гранит-пегматит олигоклазовый* . . . . .	70Pl <sup>6</sup> <sub>25</sub> , 26Q, 4(Bi, ap, Mr, mt)	14.1	4.2	2.0	79.7
94	126	Иннинморит . . . . .	Norm: Q — 22·6; or — 13·9; ab — 30·9; an — 11·5; di — 3·6; hy — 8·7; mt — 2·2; il — 2·1; ap — 0·7	11.5	3.0	10.5	75.0

$a'$	$f'$	$m'$	$c'$	$n$	$\Phi$	$t$	$Q$	$\frac{a}{c}$	Н.п.	Источник
$Q > 15, \quad 8 > \frac{a}{c} > 4.$										
—	58.8	35.3	5.9	58.9	0	0	40.3	4.2	70	Rosenbusch, 1907, [118], 598;
33.9	62.3	3.8	—	57.8	49.0	0.1	38.8	7.69	71	[50] 75, 160. Grange, 1934, [128], 16, 58, 73.
—	89.3	10.7	0	76.8	64.3	0	36.5	6.64	72	Chelius, 1892, [131], (4), 13, 8,
28.6	58.4	13.0	—	70.7	33.8	0.3	31.1	7.76	73	Nemoto, 1934, [90], 2, 300.
—	62.2	24.5	13.3	56.5	62.2	0	30.5	6.8	74	Байерн, 1866, [199]; Derwies, [149], 70.
40.3	35.1	24.6	—	57.7	22.8	0	30.0	7.9	75	Kotô, 1909, [89], 26, 190, 191.
22.0	47.5	30.5	—	56.4	13.6	0.3	28.9	4.35	76	Niggli, 1923, [77], 1, 111; [91]. 7, 443.
—	79	8.1	12.9	46.4	12.9	0.3	26.4	7.4	77	Wahl, 1925, [61], 45 <sub>20</sub> , 42, 77.
—	55.8	23.4	20.8	52.2	24.7	1.0	25.0	6.77	78	Bailey и Thomas, 1924, [112], 224; [109], 44, 19.
—	64.1	20.2	15.7	56.1	38.1	0	24.7	7.58	79	Brögger, 1895, [161] 59; [73] 10, 273.
—	80.7	9.1	10.2	72.7	29.5	0	23.1	4.15	80	Wahl, 1925, [61], 45 <sub>20</sub> , 69; [162], 48.
—	38.2	49.1	12.7	86.6	7.3	0.3	21.8	4.16	81	Goldschmidt, 1916, [161], 75, 79.
40.8	44.4	14.8	—	51.4	40.8	0.7	19.2	5.58	82	Niggli, 1923, [77], 1, 113; [64a], 120, 10.
—	62.3	36.8	0.9	58.2	9.4	0.8	19.1	4.0	83	Niggli, 1923, [77], 1, 113; [162], 48.
4.3	69.1	26.6	—	73.0	23.4	1.3	16.0	6.08	84	Tyrell, 1913, [178], 15, 77; [164], 1925, 128.
19.6	59.0	21.4	—	79.1	17.9	1.3	15.0	4.1	85	Washington, 1897, [91], 5, 368; [162], 75.
$Q > 15; \quad 4 > \frac{a}{c} > \frac{5}{2}$										
—	86.3	9.8	3.9	50.0	9.8	0.7	44.6	2.96	86	Johannsen, 1920, [91], 28, 158 [106], 38, 230.
—	50.7	30.7	18.6	84.0	50.7	0	33.9	3.78	87	Högbom, 1905, [27], 6, 232; [166a], 9 <sub>13</sub> , 33.
5.8	63.4	30.8	—	84.9	25.0	0	32.0	3.76	88	Безбородъко, 1931, [205], 1, 141.
25.6	40.4	34.0	—	83.9	40.4	1.2	30.5	3.2	89	Kolderup, 1903, [20], 12, 110; [20], 5, 113.
25.3	41.0	33.7	—	83.9	18.9	1.0	30.2	3.22	90	Johannsen, 1920, [91], 28, 210; [20], 5, 115.
22.9	46.6	30.5	—	50.0	4.6	1.0	28.4	3.2	91	Winchell, 1913, [91], 21, 214; [75], 69, 162.
—	41.5	41.5	17.0	75.5	34.0	0	28.1	3.88	92	Коленко, 1885, [126], 9.
13.8	34.5	51.7	—	89.5	20.7	0	27.0	3.36	93	Vogt, 1929 <sub>6</sub> , [161], 15, 16.
—	68.4	16.8	14.8	69.5	12.1	1.3	24.0	3.84	94	Thomas и Bailey, 1915, [147], 71, 209; [164], 1912, 69.

№ п.п.	№ Трёхмера	Название	Минералогический состав	a	c	b	s
95	107 <sup>1/2</sup>	Энгельбургит . . .	42Pl <sub>42</sub> , 25Q, 17(Mr,Or) <sub>6</sub> <sub>24</sub> , 13Bi, 3(ti, mt, ap, ep, ort)	12.6	4.3	7.4	75.7
96	100	Кварцевый латит	Norm: Q — 21·4; or — 20·0; ab — 26·7; an — 18·6; di — 0·7; hy — 3·3; il — 0·9; hm — 4·9; ru — 0·2; ap — 0·3	12.3	4.8	7.7	75.2
97	86	Кварцевый монцо- нит . . . . .	37Pl <sub>45</sub> , 24Or <sub>20</sub> , 23Q, 11Bi, 4Hb, 4(mt, ap)	12.1	4.6	8.8	74.5
98	101	Тосканит . . . . .	14San <sub>26</sub> , 11Pl <sup>7</sup> <sub>48</sub> , 4Hy, 3Bi, 1(mt ap), 67 стекло (San+Q+Pl)	14.3	3.6	5.9	76.2
99	107	Гранодиорит . . .	40Pl <sup>4</sup> <sub>30</sub> , 21Q, 18Or <sub>15</sub> , 17Hb, 4(mt, ti, ap)	11.9	4.8	9.1	74.2
100	155	Вейзельбергит . . .	12Pl <sub>65—45</sub> , 11Au, 9Pl <sub>40</sub> , 2(ap, mt), 66 стекло (олиг+Q)	12.4	3.3	11.0	73.3
101	131	Кварцевый диорит	47Pl <sup>6</sup> <sub>29</sub> , 22Q, 17Bi, 8Hb + Au, 5Or <sup>3</sup> <sub>30</sub> , 1(mt, ap)	12.2	4.4	10.8	72.6

*Класс 2, группа 6:*

102	873 <sup>1/2</sup>	Кахузит . . . . .	60Q, 30(mt+hm), 10 (tu, Bi, графит)	0	1.6	27.6	70.8
103	115 <sup>1/2</sup>	Вредефордит . . .	26Hy <sub>40</sub> , 25Pl <sub>63—53</sub> , 3Bi, 46 мик- ропегматитовая основная масса (вычисл.: 33Q, 13Kfd)	8.6	3.9	10.5	77.0
104	137	Кварцевый диорит- аплит . . . . .	65Pl <sup>3</sup> <sub>32</sub> , 29Q, 5Bi, 1(mt, ap, ti)	11.8	5.5	2.9	79.8
105	148	Дацит . . . . .	46Pl <sup>6</sup> <sub>34</sub> , 30Q, 9Or, 8chl, 5(Bi, Hb), 3(mt, ap)	10.3	4.5	8.0	77.2
106	129 <sup>1/2</sup>	Энибугит . . . . .	64 Pl <sup>8</sup> <sub>20</sub> , 25Q, 8Hy <sub>40</sub> , 3(mt, ap, zr)	10.1	5.3	8.7	75.9
107	139	Керсантит-аплит .	60Pl <sub>35</sub> , 20Q, 10Or, 10(Bi, Hb, ep, chl, ap, calc, pr)	10.3	4.6	11.8	73.3
108	124	Лейдлеит . . . . .	Norm: Q — 19·3; or — 10·0; ab — 27·3; an — 20·0; di — 2·3; hy — 14·4; mt — 1·9; il — 2·0; ap — 0·7	9.7	4.9	13.2	72.2
109	70	Унакит . . . . .	41ep, 28Or <sub>10</sub> , 26Q, 5(mt, ap, zr)	6.8	7.9	14.6	70.7
110	150	Porfido rosso antico	49Pl <sup>6</sup> <sub>26</sub> , 22Q, 20Hb, 7Or <sup>3</sup> <sub>30</sub> , 2(mt, ap)	11.6	4.9	10.0	73.5
111	143	Эстереллит . . . .	44Pl <sub>55—30</sub> , 19Q, 16Hb, 13Pl <sub>30</sub> , 6Or, 2(ap, mt)	10.4	7.1	9.2	73.3
112	149	Кварцевый порфи- рит . . . . .	45Pl <sup>6</sup> <sub>34</sub> , 19Or <sup>3</sup> <sub>30</sub> , 17Q, 16(Hb, Au), 3(mt, ap)	12.0	5.4	8.6	74.0
113	132	Тоналит . . . . .	33Pl <sub>63—41</sub> , 26Hb, 20Bi, 16Q, 4Or, 1(ap, zr, ti)	9.4	7.6	10.6	72.4
114	156	Шастаит . . . . .	28Pl <sub>58—45</sub> , 8Hy, 1(mt, ap) 63 стек- ло с микролитами Рур, Pl, mt	12.2	6.3	7.3	74.2
115	157	Пелейт . . . . .	Norm: Q — 17·2; or — 6·1; ab — 27·8; an — 32·8; hy — 13·4; mt — 3·0; il — 0·6; ap — 0·2	8.9	8.3	11.0	71.8

$a'$	$f'$	$m'$	$c'$	$n$	$\varphi$	$t$	$Q$	$\frac{a}{c}$	п. №	Источник
14.8	52.8	32.4	—	62.6	11.1	0.8	21.9	2.93	95	Frentzel, 1911, [71], 145; Drescher, 1930, [126], Beil, 60A, 445; [131], 10, 286.
—	63.3	31.2	5.5	58.6	56.0	0.9	21.0	2.56	96	Ransome, 1898, [7], (4), 5, 372; [37], 228, 208.
—	49.6	42.5	7.9	51.1	15.8	0.65	20.2	2.63	97	Brögger, 1898, [161], 59; [91], 7.
—	53.5	43.0	3.5	40.8	14.0	0.6	20.2	3.97	98	Washington, 1897, [91], 5, 37; [126], 5, 408.
—	48.1	39.7	12.2	61.6	18.3	0.7	19.8	2.5	99	Becker, 1890; Lindgren, 1893, [7], (3), 44, 202; Lindgren, 1890; [7], (4), 9, 269; [13], 17 <sub>2</sub> , 44.
—	57.9	23.3	18.8	84.3	17.6	1.1	18.5	3.76	100	Rosenbusch, 1887, [118], 501; [188], 46, 159.
—	38.5	52.8	8.7	73.3	26.1	0.6	16.4	2.77	101	Zirkel, 1866, [98], 2, 632; [122a], 32 <sub>2</sub> , 106.

 $Q > 15; \frac{5}{2} > \frac{a}{c}$ 

—	100?	—	—	67.2	—	40	0	102	Sorotchinsky, 1934, [3] 20, 192; [113], 9 <sub>6</sub> , 50.
—	48.4	48.4	3.2	60.0	5.0	0.9	32.9	2.2	Niggli, 1936, [157], 16, 369; Willemse, 1937, [180], 40, 111, 109.
28.6	38.1	33.3	—	91.9	4.8	0.3	30.5	2.14	104 Chelius, 1892, [131], (6), 4, 3; [13], 17, 702.
1.7	55.6	42.7	—	64.0	29.0	1.1	29.3	2.29	105 Stache, 1863; у Hauer и Stache, [76], 70; [119], 3, 15.
23.3	48.0	28.7	—	86.7	15.5	0	26.3	1.90	106 Безбородько, 1931, [205], 1, 138.
48.5	27.2	24.3	—	74.3	16.6	0	21.4	2.24	107 Barrois, 1902, [44], 134, 754; [162], 71.
—	53.7	36.8	9.5	74.3	8.4	1.15	20.1	1.98	108 Thomas и Bailey, 1915, [147], 71, 207; [164], 1912, 69.
—	48.5	1.0	50.5	10.6	41.0	0	19.9	0.86	109 Bradley, 1874, [7], (3), 7, 519, [162], 41.
—	42.8	45.6	11.6	80.0	9.5	0.8	18.9	2.37	110 Старое итальянское название. Tröger, 1935, [162], 72; [44], 147, 989.
—	44.0	43.0	13.0	81.1	19.7	1.05	18.7	1.46	111 Michel-Levy, 1897, [32], 9, № 57, 89; [119], 3, 15.
—	49.6	43.9	6.5	65.1	14.6	0.5	18.6	2.22	112 Rosenbusch, 1877, [118], 277; [13], 17 <sub>2</sub> , 75.
—	49.0	44.2	6.8	60.0	9.5	0.9	18.4	1.24	113 Rath, 1864, [192], 16, 249; [162], 68.
—	44.3	55.7	0	85.2	11.3	0	17.7	1.94	114 Iddings, 1913, [83] 2, 109; [37], 150, 228.
—	59.5	40.5	0	82.8	16.5	0.4	17.5	1.07	115 Niggli, 1923, [77] 1, 123; [162], 77.

№ п.п.	№ Тр. гера	Название	Минералогический состав	a	<i>c</i>	b	s
116	93	Трахилипарит . . .	51San <sup>3</sup> <sub>30</sub> , 20Q, 16Pl <sup>7</sup> <sub>25</sub> , 11(Bi, Di), 2(ap, ti, mt)	16.3	1.6	6.5	75.6
117	158	Бандайт . . . . .	Norm: Q — 18·6; or — 6·1; ab — 21·0, an — 28·1; di — 3·0; hy — 17·1; mt — 5·6; ap — 0·3	7.2	6.9	17.4	68.5
<i>Класс 3, группа 7:</i> 15>Q>6;							
118	73	Каджарит . . . . .	Norm: Q — 14·7; or — 28·4; ab — 33·5; ac — 6·0; ns — 4·2; hy — 9·0; il — 1·8; ap — 0·3; di — 1·2	15.7	— 6.4	1.9	76.0
119	77	Хакутоит . . . . .	79nSan <sub>64</sub> , 10Q, 8(Aeg—Hed, nHb), 2Fa, 1(mt, ap)	19.6	— 0.4	4.8	75.2
120	233 <sup>1/2</sup>	Канкарихит . . . . .	51San, 36AegAu, 9Q, 4(mt, ti, ap)	13.5	— 4.4	12.1	70.0
<i>Класс 3, группа 8:</i>							
121	33	Линдёйт . . . . .	72(Or, Ab), 16Q, 1chl, 6(mt, carb, pr, zr, ti, ap)	18.8	0.3	4.5	76.4
122	75	Лундииит . . . . .	72nOr <sup>4</sup> <sub>55</sub> , 17Q, 10nHb, 1(ap, carb, mt)	18.2	0.1	6.0	75.7
123	21	Нордмаркит кварцевый . . . . .	81(pMi, nOr, Ab), 13Q, 3(Di, Bi), 3(mt, ti, ap)	19.7	0.1	4.3	75.9
124	292	Олигоклазит . . . . .	76Pl <sup>6</sup> <sub>25</sub> , 9Q, 7Mr <sub>32</sub> , 8(Py, Bi, ap, mt, zr)	16.5	4.6	4.1	74.8
125	104	Веннебергит . . . . .	39Pl <sup>7</sup> <sub>19</sub> , 31San <sup>3</sup> <sub>30</sub> , 15Bi, 42Q, 3(ap, ti, calc)	15.4	3.4	8.4	72.8
126	54	Каммгранит . . . . .	32pOr <sup>19</sup> <sub>25</sub> , 24Q, 19Ab <sub>10</sub> , 17Bi, 6Hb, 2(ap, mt, zr, ti)	14.3	0.3	15.4	70.0
127	108	Опдалит . . . . .	39Pl <sup>4</sup> <sub>33</sub> , 19Mr <sub>33</sub> , 16Q, 10Bi, 9Hy, 5Di, 2(mt, ap)	12.7	3.9	13.2	70.2
128	91	Виндзорит . . . . .	41(nOr, pMi), 35Pl <sub>38-25</sub> , 13Q, 5Bi, 3(mt, Di, ap, zr)	17.6	2.2	6.2	74.0
129	103	Домит . . . . .	50(nSan, Pl <sub>40-30</sub> ), 5Bi, 45 стекло с микролитами nSan, Pl, Py, mt	19.1	1.3	4.9	74.7
130	82	Рапакиви-сиенит .	67(pOr, pMr, Pl <sub>18</sub> ), 14Q, 7Bi, 5(Di, gr), 7(mt, ap, ti, Mu, calc, klzs, zr)	17.2	2.1	8.5	72.2
131	99	Колорадоит . . . . .	28Or <sup>4</sup> <sub>33</sub> , 28Pl <sup>4</sup> <sub>33</sub> , 15Q, 15Bi, 10Di, 4(hm, mt, ap)	14.0	3.4	13.3	69.3
132	312	Диорит-аплит . . . . .	56Pl <sup>8</sup> <sub>12</sub> , 19(Bi, Hb), 15(Or, Mr) <sup>3</sup> <sub>30</sub> , 8Q, 2(mt, ap, ti)	16.4	2.1	10.5	71.0
133	251 <sup>1/2</sup>	Драконит . . . . .	40anOr <sup>6</sup> <sub>59</sub> , 23Pl <sub>30</sub> , 10 (San, anOr <sup>5</sup> <sub>48</sub> , 11 Q±Tr), 9Bi, 4Di, 3(mt, ap)	17.4	3.0	7.2	72.4
134	92	Хурумит . . . . .	37Pl <sub>37</sub> , 29Or, 12Bi, 11Q, 7Di, 4(mt, ap)	15.0	3.2	11.8	70.0
135	237	Ларvikит-акерит .	40nOr, 35Pl <sup>7</sup> <sub>25</sub> , 12(Di, Bi), 9Q, 4(mt, ap)	16.4	3.3	8.9	71.4
136	175	Кератофир калиевый . . . . .	91(anOr+Or) <sup>4</sup> <sub>29</sub> , 6Q, 3(Py, mt)	21.8	0.3	2.7	75.2

$a'$	$f'$	$m'$	$c'$	$n$	$\varphi$	$t$	$Q$	$\frac{a}{c}$	н.п.	№	Источник
—	32.5	33.0	32.5	42.1	32.5	0	17.0	1.02	116		Derwies, 1905, [149], 70.
—	56.8	36.5	6.7	77.0	19.0	0	15.7	1.04	117		Iddings, 1915, [83], 2, 111. [162], 77.

пересыщенные щелочами

—	59.3	11.1	29.6	55.6	0	1.0	14.2	2.45	118		Washington, 1913, [91], 21, 706.
—	57.0	8.3	34.7	64.2	0	0.8	11.8	49.0	119		Jamanari, 1925, [67], 3, [44], 185, 1414.
—	10.3	73.1	16.6	0	4.6	2.9	8.6	3.0	120		Parga-Pondal, 1935, [170], 39, 66.

 $15 > Q > 6$ ;  $\frac{a}{c} > 3$ 

20.9	62.7	16.4	—	63.1	26.9	0.5	14.9	62.6	121		Brögger, 1894, [161], 133; [161] 1932 <sub>7</sub> , 44.
—	69.7	9.0	21.3	61.0	18.0	0.4	14.9	182.0	122		Hall, 1914, [164] 53, 56.
—	57.8	20.3	21.9	59.5	37.5	0.3	12.3	197.0	123		Szadeczky, 1899, [60], 21, 253; [7], (4), 1, 354.
20.0	60.0	20.0	—	84.2	53.3	0	12.0	3.59	124		Bombicci, 1868, [155], (2), 9; Kolderup, 1898, [20], 7, 28.
23.0	43.4	33.6	—	55.5	6.5	0.8	11.4	4.53	125		Schowalter, 1904, [84], 33, 37.
—	28.1	49.8	22.1	34.9	1.7	1.3	11.1	47.6	126		Старое геологическое название. Niggli, 1931, [157], 11, 400, 370.
—	38.8	50.0	11.2	58.9	6.1	1.1	11.1	3.26	127		Goldschmidt, 1916 <sub>2</sub> , [161], 72.
—	59.3	29.7	11.0	57.4	24.2	1.0	10.6	8.0	128		Daly, 1903, [37], 209, 45, 47.
—	54.0	36.5	9.5	65.7	37.8	0.45	9.9	14.7	129		Buch, 1809, [68], 2, 244; [44], 147, 830.
—	58.7	17.5	23.8	62.2	14.3	1.0	7.9	8.2	130		Carstens, 1925, [130], 8, 88, 85.
—	42.5	37.8	19.7	53.9	38.3	0.6	7.2	4.12	131		Niggli, 1923, [77], 1, 118; [146], 99, 343.
15.4	36.5	48.1	—	63.6	7.7	0.8	7.1	7.8	132		Chelius, 1892, [131], (4), 13, 9; [146], 99, 459.
—	50.5	36.2	13.3	66.7	3.8	0.9	7.0	5.8	133		Reinisch, 1912, [137], 2, 121.
—	49.4	31.4	19.2	42.2	1.2	2.0	6.8	4.69	134		Brögger, 1930 <sub>6</sub> , [161], 72, 71.
—	60.1	34.4	5.5	66.0	20.3	1.6	6.7	4.97	135		Brögger, 1933, [161], 46, 63,
55.0	40.0	5.0	—	30.0	40.0	0.1	6.5	7.26	136		Lossen, 1884, [88], 36.

№ п.п.	№ Трепера	Название	Минералогический состав	a	c	b	s
<i>Класс 3, группа 9: 15</i>							
137	125	Кумбраит *	26Pl <sub>55</sub> , 22(Au+En), 10Pl <sub>90-85</sub> , 42 стекло (San+Q+Pl)	10.5	4.8	14.4	70.3
138	123	Санукит *	Norm: Q — 16·0; or — 16·0; ab — 35·1; an — 18·2; di — 3·5; hy — 6·8; mt — 3·5; il — 1·0; ap — 0·2	13.0	4.5	9.9	72.6
139	140	Гладкаит	70Pl <sup>6</sup> <sub>45-25</sub> , 16Q, 8Hb, 3Bi, 3(mt, ap)	11.9	7.4	8.3	72.4
140	307	Миротинит	54P <sup>5</sup> <sub>66-15</sub> , 16Or <sup>3</sup> <sub>30</sub> , 18(Hy, Au, Hb), 10Q, ( $\pm$ Tr), 2(mt, ap)	11.7	6.5	10.8	71.0
141	294	Амхерстит	85Pl <sup>18</sup> <sub>27</sub> , 6Q, 4Hy <sub>38</sub> , 5(ru, il, ap)	16.0	5.7	3.9	74.4
142	110	Граногаббро *	45Pl <sub>55</sub> , 18Hb, 15Bi, 15Q, 5Or, 2(mt, ap, ti, pr, zr)	11.3	4.2	17.6	66.9
143	121	Конга-диабаз	41Pl <sup>5</sup> <sub>50</sub> , 32(Au, Di), 10Q, 8Or, 9(mt, ap)	8.3	5.1	22.6	64.0
<i>Класс 3, группа 10:</i>							
144	151 <sup>2</sup> / <sub>3</sub>	Тридимитовый пе- ральборанит *	35Pl <sub>95</sub> , 34 <sup>1</sup> / <sub>2</sub> Pl <sub>60-43</sub> , 19Tr(+сте- кло), 2 <sup>1</sup> / <sub>2</sub> (Di>Hy), 6Pig, 3 (mt, ap)	6.1	12.0	12.9	69.0
145	115	Тёллит *	23Pl <sub>70</sub> , 20Or, 19Q, 13Pl <sub>45</sub> , 14Hb, 9Bi, 2(mt, gr, ap)	9.7	7.7	12.4	70.2
146	131 <sup>1</sup> / <sub>2</sub>	Бугит	60Pl <sup>9</sup> <sub>36</sub> , 18Hy <sub>40</sub> , 16Q, 6(mt, ap, zr)	8.4	5.9	18.2	67.5
147	151 <sup>1</sup> / <sub>3</sub>	Тридимитовый аль- борит *	30Pl <sub>85-80</sub> , 28 <sup>1</sup> / <sub>2</sub> Pl <sub>60-43</sub> , 18Tr (+стекло), 6Hy, 4 <sup>1</sup> / <sub>2</sub> Di, 10Pig, 3(mt, ap)	6.3	7.8	19.9	66.0
148	116	Маркфильдит	38Pl <sup>4</sup> <sub>56</sub> , 27(Hb, Au), 15Or, 15Q, 5 (mt, ap)	8.9	8.1	15.4	67.6
149	117	Сульденит (зуль- денит)	37Pl <sup>3</sup> <sub>64</sub> , 28Hb, 20Or <sup>3</sup> <sub>30</sub> , 12Q, 3(mt, ap)	9.2	6.7	17.2	66.9
150*		Микрогаббро	Norm: Q — 9·84; or — 2·24; ab — 15·72; an — 37·53; en — 6·80; hy — 8·58; wo — 5·47; il — 5·17; mt — 3·94; MnSiO <sub>3</sub> — 0·26	5.1	10.2	20.3	64.4
151	162	Михаракит	40Pl <sub>87;60</sub> , 20Hy, 15Au, 5(mt, ap), 20 стекло (лабрадор+Q)	3.4	10.1	24.0	62.5
152	160	Бонинит	34Br, 5(Ol, Au), 1(ap, mt), 60 стекло (Pl+Q)	5.0	6.0	27.7	61.3
153	334	Мальхит	56Pl <sup>6</sup> <sub>37</sub> , 24Hb, 9Q, 7Bi, 4(mt, ap, pr)	10.4	7.0	15.6	67.0

*Класс 4, группа 11: +6>Q>—6;*

154	170	Лестиварит	91pOr <sub>65</sub> , 8(Aeg, nHb), 1ti	21.2	— 2.1	2.0	74.7
155	223	Ордоизит	61Aeg, 33Mr <sub>18</sub> , 5Phl, 4(mt, ap)	9.8	— 14.1	7.1	69.0

$\alpha'$	$f'$	$m'$	$c'$	$n$	$\varphi$	$t$	$Q$	$\frac{a}{c}$	п. №	Источник
$>Q>6; 3>\frac{a}{c}>\frac{3}{2}$										
—	45.9	17.2	36.9	69.7	35.4	0.8	14.8	2.19	137	Tyrell, 1917, [75], (6), 4, 306, 310.
—	44.5	43.9	11.6	69.8	20.5	0.6	14.7	2.89	138	Weinschenk, 1890, [126]; Beil, 7, 150; [188], 46, 163.
—	58.0	32.0	10.0	85.9	11.8	0	13.6	1.61	139	Duparc и Pearce, 1905, [44] 140, 1615.
—	51.6	40.7	7.7	71.4	15.5	0.9	12.1	1.8	140	Lacroix, 1900, [44], 130, 349. [44], 140, 974.
36.4	29.1	34.5	—	75.0	10.9	4.5	11.1	2.81	141	Holmes, 1920, [129], 28; [37], 430, 208.
—	35.0	41.5	23.5	67.5	17.7	1.5	7.0	2.69	142	Johannsen, 1917, [91], 25, 89; [162], 60.
—	55.1	31.4	13.5	76.7	20.3	3.3	6.3	1.62	143	Törnebohm, 1877, [126], 262; [162], 63,
$15>Q>6; \frac{3}{2}>\frac{a}{c}$										
—	46.5	33.7	19.8	90.2	19.8	0.8	13.8	0.51	144	Burri, 1937, [157], 17, 258, 245.
—	57.8	41.6	0.6	50.0	15.0	0.2	13.3	1.26	145	Pichler, 1875, [126], 926; [50], 75, 160.
24.6	47.0	28.4	—	85.5	14.2	0	12.3	1.42	146	Безбородько, 1931, [205], 1, 132.
—	42.5	38.9	18.6	86.7	16.1	0.6	11.6	0.81	147	Burri, 1937, [157], 17, 255, 245.
—	61.8	34.0	4.2	63.9	31.1	0	9.3	1.1	148	Hatch, 1909, [167], 5ed., 219.
—	51.8	24.5	23.7	59.1	16.3	0	8.7	1.37	149	Stache и John, 1879, [87], 29, 382.
—	58.0	25.3	16.7	88.2	13.4	4.0	8.4	0.5	150	Rechesne, 1934, [34], 44, 16.
—	51.7	33.4	14.9	82.9	5.4	1.8	8.1	0.34	151	Tsuboi, 1918, [92], 25, 47; 1920, [89], 43, 72, 85.
—	21.5	78.0	0.5	89.2	21.5	0	6.6	0.83	152	Petersen, 1890, [86], 8, 25; [89], 3, 73.
—	48.0	44.8	7.2	81.1	16.3	1.6	6.2	1.49	153	Osann, 1893 [122], 2, 387; [131], (4), 28, 30.

пересыщенные щелочами

$n'-34.5$	0	13.8	51.7	62.9	0	0.8	4.9	10.1	154	Rosenbusch, 1896 [118], 464; [161], 1897 <sub>6</sub> , 216.
—	41.0	30.0	29.0	17.4	2.0	2.1	4.3	0.69	155	Lacroix, 1925, [44], 180, 482, 484.

№ п.п.	№ Трёхгора	Название	Минералогический состав	<i>a</i>	<i>c</i>	<i>b</i>	<i>s</i>
156	205	Бьеришёйт . . . .	87Pl <sup>7</sup> <sub>2</sub> , 6Aeg, 5Q, 2(ti, mt, pr, ap, calc)	21.9	0.5	—	74.2
157	195	Боуралит . . . .	54anOr <sup>7</sup> <sub>10</sub> , 24Pl <sup>8</sup> <sub>10</sub> , 18Aeg, 4(Q, mt)	20.0	1.0	7.0	72.0
158	66	Магнетитовый пегматит . . . .	33Mr <sup>3</sup> <sub>50</sub> , 23Pl <sup>9</sup> <sub>7</sub> , 19Q, 18mt, 6Bi, 1(ap, zr, gr)	14.4	0.5	—	66.4
159	178 <sup>2</sup> / <sub>3</sub>	Руттерит * . . . .	46Pl <sub>10-10</sub> , 42(Mr, pMr), 12Hb	17.7	0.7	12.2	69.4
160	695	Салитрит * . . . .	59AegDi, 30ti, 7Mr, 4(ap, mt)	1.9	7.0	35.0	56.1
161	169	Альбитит . . . .	96Ab, 4(Mu, mt, gr, ap, Q)	23.93	0.53	1.51	74.03
162	178	Финандранит . . .	88Mr <sub>24</sub> , 9nHb, 3(mt, ap)	22.6	0.1	—	71.9
163	208	Катафоритовый трахит . . . .	83(nSan,anOr) <sub>68</sub> , 17nHb	20.9	0.3	8.3	70.5
164	478	Орендит * . . . .	40Le, 31San, 15Di, 11Phl, 3(ap, br)	13.6	3.4	19.3	63.7
165	226	Твейтоизит . . . .	72AegDi, 15(pOr,pMr) <sub>50</sub> , 6ap, 4ti, 3(calc, zr, pr)	3.9	4.6	37.6	53.9
166	488	Пъенаарит . . . .	44AegAu, 28nOr <sup>5</sup> <sub>60</sub> , 17ti, 10Ne, 1(ap, gr, fl, mt)	12.2	4.2	21.7	61.9
167	234	Верит * . . . .	15(Ol, Di), 8Phl, 1(ap, sp, mt), 76 стекло (San+Py+Q)	13.8	0.6	24.1	61.5
168	222	Лузитанит . . . .	51(nHb, Aeg, Bi), 27Mr <sub>50</sub> , 21Pl <sup>8</sup> <sub>2</sub> , 1(zr, ap, mt)	14.2	6.1	15.7	64.0

Класс 4, группа 12, подгруппа а):

169	192	Сельвсбергит . . .	80(Mr, Ab) <sup>4</sup> <sub>60</sub> , 16(Aeg' nHb), 4Q	21.3	0.1	6.0	72.6
170	166 <sub>2</sub>	Нафровый санидинит . . . .	94nSan <sup>05</sup> <sub>55</sub> , 6 стекло (gr)	20.8	0.1	5.6	73.5
171	194	Щелочной сиенит-пегматит . . . .	88KNaf <sub>50</sub> , 8nHb, 4(Ne+Sod, Lep+Aeg, mt, wor)	23.6	0.3	5.0	71.1
172	207	Эгириновый трахит . . . .	89(nSan,anO) <sup>3</sup> <sub>60</sub> , 8AegAu, 3(mt, ti, ap)	23.5	0.3	4.2	72.0
173	211	Гибелит . . . .	83anOr, 7(AegAu, Di), 5nHb, 5(Q, mt, ap)	20.6	0.4	7.5	71.5
174	163 <sup>1</sup> / <sub>2</sub>	Бигвудит* . . . .	38Pl <sub>10-10</sub> , 36Or, 22Mr, 3Hb, 1 (mt, ap, calc)	23.9	0.7	2.0	73.4
175	173	Антифенит-пегматит . . . .	96pOr <sup>3</sup> <sub>72</sub> , 4(Bi, mt)	23.5	0.7	3.3	72.5
176	164	Пертозит * . . . .	97pOr <sup>3</sup> <sub>65</sub> , 2AegDi, 1(mt, ap, ti, calc, zr)	23.7	0.7	1.9	73.7
177	177	Ортоклазовый сиенит . . . .	84Or <sup>2</sup> <sub>10</sub> , 14Di, 2(ti, ap)	20.5	0.7	7.7	71.1
178	171	Бостонит . . . .	60Pl <sub>7</sub> , 32Mr, 8(carb, he, ru)	22.5	0.8	6.4	70.3
179	185	Нордмаркит . . . .	83(pMi,Pl) <sup>5</sup> <sub>58</sub> 7Q, 5Bi, 3(AegAu, nHb), 2(ti, ap, mt, zr)	21.0	0.9	4.5	73.6
180	256	Ортофир . . . .	62Or <sup>3</sup> <sub>80</sub> , 22Pl <sup>8</sup> <sub>15</sub> , 16(Au, Q, mt, ap)	19.9	0.9	6.4	72.8

$a'$	$f'$	$m'$	$c'$	$n$	$\Phi$	$t$	$Q$	$\frac{a}{c}$	Н. №	Источник
$n'=2.4$	46.1	19.2	34.7	92.9	30.8	0.5	4.1	43.8	156	Brögger, 1932 <sub>7</sub> , [161], 34, 36.
	48.5	20.1	31.4	81.6	46.6	2.2	3.0	—	157	Mawson, 1906, [142], 31, 606; [142]34, 96.
	86.9	8.1	5.0	50.9	53.5	0.5	2.9	28.8	158	Grout, 1923, [56], 18, 253, 260.
	54.3	15.8	29.9	58.6	40.2	0.9	1.7	25.2	159	Quirke, 1936, [187], 29, 179.
	0	30.3	67.3	0	0	18.5	1.4	0.27	160	Tröger, 1928, [40], A, 202; [162], 282.
	30.4	26.1	43.5	99.5	26.8	0.1	0.2	47.2	161	Turner, 1896, [6], 17, 380, 387; [13], 17, 728.
	56.3	16.7	27.0	27.4	38.5	0	1.5	226.0	162	Lacroix, 1922, [119], 2, 379, 380.
	78.7	7.4	13.9	68.0	34.4	1.3	1.6	69.33	163	Rosenbusch, 1896, [118], 769; [147], 87, 227.
$n'=14.5$	0	58.9	26.6	0	0	3.5	3.2	4.0	164	Cross, 1897, [7], (4), 4, 123, 130.
	19.5	24.1	56.4	43.3	0.7	2.4	4.6	0.84	165	Brögger, 1920 <sub>9</sub> , [161], 155, 153.
	24.8	10.6	64.6	76.7	10.6	9.8	4.8	2.9	166	Brouwer, 1910, [134], 45, 50.
	19.2	64.8	16.0	35.6	8.7	2.0	5.2	22.33	167	Osann, 1889, [192], 41, 311; [62], 277.
	87.3	4.4	8.3	70.2	2.5	0.6	5.5	2.33	168	Lacroix, 1916, [44], 163, 282.

+6> $Q$ >-6:  $\frac{a}{c}>7$ ;  $b>15$

—	71.9	5.6	22.5	66.7	51.7	0	2.5	213.0	169	Brögger, 1894 <sub>4</sub> , [161], 67, 78.
—	77.4	6.0	16.6	61.3	38.0	0.6	5.3	208.0	170	Brauns, 1912, [126], Beil, 34, 96; 1934, [40], A, 70; Tröger, 1938, [66], 59.
—	51.4	27.0	21.6	61.1	27.0	0.3	5.3	78.7	171	Brögger, 1890 [193]16, 189; [161], 1929 <sub>6</sub> , 114.
—	75.4	8.2	16.4	64.2	42.6	1.1	3.3	78.4	172	Rosenbusch, 1896, [118], 770; [119], 3, 25.
—	62.0	16.8	21.2	70.1	23.0	1.4	1.4	51.5	173	Washington, 1913, [91], 21, 691, 688.
—	43.3	43.3	13.4	43.7	20.0	0	1.7	34.2	174	Quirke, 1936, [187], 29, 179.
12.5	77.1	10.4	—	72.8	33.3	0	2.7	33.8	175	Barth, 1927 <sub>8</sub> , [161], 62, 97.
—	63.0	22.0	15.0	68.6	44.0	0.2	0.75	31.6	176	Read, 1925; Phemister, 1926, [109], 102, 41, 44.
—	17.7	35.4	46.9	12.0	7.0	0.7	0.5	29.3	177	Zirkel, 1866, [98], 1, 579; [146], 87, 40.
25.8	67.7	5.5	—	64.8	62.4	1.2	5.2	28.1	178	Hunter-Rosenbusch, 1890, [188], 11, 447; [161], 1897 <sub>6</sub> , 203
—	66.7	12.1	21.2	60.6	36.4	0.9	4.3	23.3	179	Brögger, 1890, [193], 16, 54; [161], 1933, 87.
17.2	67.7	15.1	—	45.1	66.7	0	4.9	22.1	180	Coquand, 1857, [173], [58a], 75, 36.

№ п.п.	№ Трёх- гера	Название	Минералогический состав	a	c	b	s
181	168	Орнёйт-аплит* . . .	60Pl <sub>7</sub> , 33Mr, 4Hb	23.8	1.2	1.1	73.9
182	166 <sub>1</sub>	Натровый санидинит . . . . .	94nSan <sup>5</sup> <sub>55</sub> , 6 стекло (Gr)	23.1	1.2	2.3	73.4
183	182	Хэзерлит* . . . . .	90anOr <sup>6</sup> <sub>66</sub> , 6Hb, 4(Bi, mt, ti, ap)	22.7	1.2	5.7	70.4
184	287 <sup>2</sup> / <sub>4</sub>	Маркфильдит-пегматит * . . . . .	54Pl <sub>10</sub> , 21Kfd(+Q), 20Hb, 5(ap, mt)	18.1	1.3	14.2	66.4
185	221	Альбитовый диабаз	60Pl <sup>9</sup> <sub>10</sub> , 18Hb, 11pOr <sub>50</sub> , 9Bi, 2(ti, ap, pr)	18.0	1.3	13.6	67.1
186	180	Пертитовый сиенит . . . . .	86pMi <sup>7</sup> <sub>52</sub> , 8Hy, 6(mt, Q, ap, pr)	20.2	1.6	7.1	71.1
187	188	Святоносит . . . . .	45pOr, 25Pl <sub>7</sub> , 17AegAu, 9gr, 4(ti, ap, mt, Q)	17.2	1.7	14.2	66.9
188	251	Трахит . . . . .	75San <sup>4</sup> <sub>38</sub> , 11Pl <sup>7</sup> <sub>19</sub> , 10Di, 4(ti, ap, mt)	19.9	2.3	5.6	72.2
189	252	Арсоит . . . . .	68nSan, 13Di, 9Pl <sub>85-40</sub> , 3(Bi OI), 3 (mt, ap), 4 стекло±sod	19.5	2.4	11.7	66.4
190	209	Анортоклазовый трахит . . . . .	82anOr <sup>12</sup> <sub>54</sub> , 15Aeg, 3(ap, mt)	19.7	2.5	7.3	70.5
191	266	Кварцевый бана- кит . . . . .	41Pl <sub>55-25</sub> , 40nSan <sub>32</sub> , 7Bi, 7Q, 5(mt, ap, Au, serp)	18.6	2.4	8.0	71.0

*Класс 4, группа 12, подгруппа 6:*

192	219	Гирнантий* . . . . .	84Pl <sub>35</sub> →Ab, 12chl, 4(mt, leuc, he)	15.0	0	18.4	66.6
193	233	Фортунит . . . . .	43San <sup>2</sup> <sub>23</sub> , 28(Br, Di), 15Phl, 4(ap, mt) 10 стекло (San+Q)	12.1	1.0	24.0	62.9
194	232	Селажит . . . . .	48San <sub>20</sub> , 23Bi, 19Di, 7Pl <sub>20</sub> , 3(ap, mt)	13.7	1.4	21.4	63.5
195	218	Кузелит . . . . .	34Pl <sup>6</sup> <sub>9</sub> , 24Or <sub>34</sub> , 27(Di, Bi), 11Q, 4(ap, mt)	12.7	1.3	20.2	65.8

*Класс 4, группа 13 подгруппа а:*

196	181	Умпекит * . . . . .	84Mi <sup>3</sup> <sub>79</sub> , 15(nHb, Aeg), 1ti	21.4	0	8.2	70.4
197	524	Тефритовый трахит . . . . .	58nSan <sup>4</sup> <sub>49</sub> , 22Pl <sup>6</sup> <sub>30</sub> , 11Au, 7(Nos, Hay), 2(mt, ap, ti)	20.5	3.0	5.3	71.2
198	253	Вульзинит . . . . .	70San <sub>30</sub> , 12Pl <sub>50</sub> , 7Au, 6Pl <sub>90</sub> , 5 (mt, Bi, ap, ti)	19.9	3.45	7.25	69.4
199	238	Леувфонтейнит * . . . . .	80anOr, 12nHb, 8(Bi, Di, mt, ap)	18.0	3.2	11.5	67.3
200	193	Мэнант . . . . .	45Pl <sub>10</sub> , 5Pl <sub>40</sub> , 20Or, 17(Py, Hb), 7(mt, ap, ti), 5(Q, kaol, calc)	16.7	3.1	11.0	69.2
201	469	Трахитоидный фололит . . . . .	68San <sup>5</sup> <sub>45</sub> , 15(Не, Sod), 8(Au, nHb), 6Pl <sub>40</sub> , 3(ap, ti, mt)	21.0	4.2	4.5	70.3
202	439	Ассинит * . . . . .	58Or, 18AegAu, 10Sod, 5Ne, 9(Bi, mt, ti, ap)	16.2	3.4	15.7	64.7
203	240	Сиенит . . . . .	51nOr <sup>4</sup> <sub>43</sub> , 20Pl <sub>25</sub> , 19Hb, 5Q, 5 (ti, mt, ap)	16.2	3.5	11.5	68.8

$a'$	$f'$	$m'$	$c'$	$n$	$\phi$	$t$	$Q$	$\frac{a}{c}$	п.п.	Источник
100	—	—	—	63.2	—	0	1.0	19.85	181	Högbom, 1910, [27], 10, 162; [27], 10, 166.
67.0	18.0	15.0	—	57.6	12.0	0	0.6	19.25	182	Brauns, 1912, [126]; Beil, 34, 96, 1934; [40], A, 70.
—	47.6	23.2	29.2	64.6	7.3	1.2	5.8	18.9	183	Henderson, 1898, [136], 46; [180], 24, 241.
—	21.2	44.8	34.0	62.9	3.5	2.0	4.7	13.9	184	Kennedy, 1936, [147], 92, 126.
—	60.1	16.7	23.2	77.8	10.8	0.8	3.1	13.85	185	Dewey и Flett, 1911, [75], (5), 8, 206; [107], 351, 35.
—	68.3	17.3	14.4	55.4	15.4	1.0	0.2	12.6	186	Geiyer, 1930, [17], 24 <sub>3</sub> , 101; [161], 1916 <sub>2</sub> , 43.
—	36.4	13.4	50.2	64.6	18.2	1.1	2.3	10.1	187	Eskola, 1920, [63], 63, A, 1.
—	69.6	2.5	27.9	39.0	45.6	0.1	2.3	8.65	188	Hauy, y Brongniart, 1813, [93], 34, 43; Roth, 1861, [54], 37; [162], 113.
—	41.4	29.6	29.0	55.3	16.6	1.6	0.6	8.12	189	Reinisch, 1912, [137], 2, 121; Washington, [155a], 75.
3.9	77.7	18.4	—	62.1	46.6	0.8	0.9	7.9	190	Searles и Summers, 1912, [30], 24, 23, 25.
—	48.7	25.2	26.1	54.5	36.5	0.6	2.4	7.75	191	Iddings, 1895, [91], 3, 947, [122a], 32 <sub>2</sub> , 347.

+6> $Q$ >-6;  $\frac{a}{c}$ >7;  $b$ >15

63.1	36.9	0	—	96.5	35.8	2.9	3.2	—	192	Travis, 1915, [143]; Cope Mem, 79.
—	22.3	67.6	10.1	24.7	19.2	1.8	0.6	12.1	193	Yarza, 1893, [23], 20; [62], 277.
—	24.3	60.3	15.4	20.2	9.2	2.7	1.8	9.8	194	Hauy, y Leonhard, 1893, [41], 1, 110; [7], (4), 9, 47.
36.8	20.6	42.6	—	66.0	8.4	0	4.9	9.76	195	Rosenbusch, 1887, [118], 503; [71], 23, 53,

+6> $Q$ >-6;  $7>\frac{a}{c}>\frac{5}{2}$ ;  $b<20$

—	38.4	17.6	44.0	81.3	28.8	1.0	2.0	—	196	Ramsay, 1894, [61], 11 <sub>2</sub> , 204, 205.
—	61.3	20.0	18.7	63.5	37.3	1.0	1.6	6.84	197	Becke, 1897, [188], 16, 166; [119], 3, 26.
—	52.0	27.4	20.6	35.7	37.3	1.0	4.45	5.76	198	Washington, 1896, [91], 4, 547; [155a], 31.
—	51.5	20.0	28.5	76.8	10.9	2.1	4.6	5.62	199	Molengraaff, 1903, [180], 6, 89; [134], 81,
—	45.2	38.7	16.1	70.9	5.2	1.4	1.9	5.38	200	Brögger, 1897 <sub>6</sub> , [161], 206; [161], 1930 <sub>6</sub> , 113.
29.1	54.8	16.1	—	56.6	35.5	0	5.6	5.0	201	Rosenbusch, 1887, [118], 622; [188], 28, 62.
—	37.6	33.9	28.5	60.5	23.5	3.2	3.4	4.76	202	Shand, 1910, [177], 9, 403, 418.
—	43.6	36.4	20.0	60.7	24.2	1.2	1.7	4.63	203	Plinius, использовано Werner'ом, 1788 <sub>2</sub> , [21], 824; [7], (4), 22, 132

№ п.п.	№ Трёхгера	Название	Минералогический состав	a	c	b	s
204	184	Тёнсбергит . . .	86nOr <sup>17</sup> <sub>58</sub> , 8(Lep, nHb, Au), 6(mt, he, ap, zr)	18.0	3.9	7.7	70.4
205	268	Дореит . . . . .	35Pl <sup>15</sup> <sub>32</sub> , 33nSan <sup>3</sup> <sub>39</sub> , 25Au, 7(mt, ap)	15.6	3.4	16.3	64.7
206	86 <sup>1/2</sup>	Украинит . . . . .	39Pl <sup>5</sup> <sub>26</sub> , 26pOr <sup>3</sup> <sub>25</sub> , 13(Dlg, Hb) 11Q, 11(mt, ap, bi)	14.2	3.2	16.1	66.5
207	198	Вэрсингит . . . . .	66Pl <sub>5</sub> , 27Au, 7(ti, ap, mt, ep, Mu, prn)	14.2	3.6	17.4	64.8
208	276	Эссексит-акерит .	45Pl <sup>8</sup> <sub>27</sub> , 26Di, 15nOr, 9Q, 5(mt, ap)	12.9	3.4	16.9	66.8
209	210	Ромбовый порфир	74anOr <sup>10</sup> <sub>58</sub> , 16(Di, Bi), 8mt, 2ap	14.7	4.0	14.4	66.9
210	305	Ориёйт* . . . . .	80Pl <sub>25</sub> , 12Hb, 5Mr, 3(Bi, mt, ap, pr, ti, prn)	17.5	4.9	10.3	67.3
211	275	Чельсосит . . . . .	53Pl <sup>8</sup> <sub>30</sub> , 19Or <sup>4</sup> <sub>36</sub> , 11(DiAu, Hb) 6Lep, 6mt, 5(Q, ap, pr)	14.8	4.3	13.5	67.4
212	339	Волынит . . . . .	63Pl <sup>15-50</sup> <sub>35</sub> , 19(Au, Hb, Bi), 12Or, 6(Q, mt, pr, ap, zr)	12.8	3.9	17.2	66.1
213	67	Керсантит-пегматит . . . . .	31Pl <sup>11</sup> <sub>8</sub> , 19Or <sub>30</sub> , 17Q, 19Bi, 5calc, 9(ap, ort, pr, ep)	15.2	4.7	10.5	69.6
214	199	Гельсинкит . . . . .	66Ab, 31(ep+chl), 3(Mr, mt, ti, Bi, ap)	17.9	5.7	7.7	68.7
215	217	Маседонит . . . . .	62(KNafd) <sup>13</sup> <sub>61</sub> , 10Bi, 8(Hb, Au), 7mt, 5Ol, 5Pl <sup>6</sup> <sub>36</sub> , 3ap	13.6	4.9	16.4	65.1
216	269	Шошонит . . . . .	35Pl <sub>60-40</sub> <sub>40</sub> , 35San <sup>3</sup> <sub>87</sub> , 20Au, 5Ol, 5(mt, ap, Bi)	13.2	5.3	17.8	63.7
217	543	Гюиновый эсексит . . . . .	50Pl <sub>40</sub> , 25San <sup>37</sup> <sub>38</sub> , 13(Au, Bi), 7Hay, 5(mt, ti, ap)	16.8	6.8	8.4	68.0

*Класс 4, группа 13, подгруппа б: +6*

218	287 <sup>1/4</sup>	Маркфильдит* . . .	50Pl <sub>10</sub> , 33Hb, 15Kfd+Q (пегматитовые сростки), 2(ap, mt)	13.5	2.2	22.6	61.7
219	255	Кварцевый чиминит . . . . .	44San <sub>14</sub> , 22Di, 16Pl <sub>67</sub> , 12Ol, 5Q, 1(mt, ap)	11.5	3.2	24.1	61.2
220	745	Уникомпагрит * . . .	72Mel, 14Py, 10mt, 4(per, ap, calc, gr, ant)	4.5	1.6	41.1	52.8

*Класс 4, группа 14, подгруппа а):*

221	264	Мондхальдеит . . .	40Pl <sub>47</sub> , 38nSan <sub>25</sub> , 15 (Au, Hb), 7(mt, ap)	15.1	6.3	11.2	67.4
222	270	Латит . . . . .	33Pl <sub>60</sub> , 28San <sub>33</sub> , 12Au, 7Bi, 7 (mt, ap) 13 микрофельзитовая основная масса (nSan +Q)	13.1	5.6	15.6	65.7
223	324	Анdezит . . . . .	46Pl <sub>70-35</sub> , 31Hb, 3(mt, ap) 20 стекло (Pl+San+Q)	12.5	5.4	16.7	65.4
224	341	Лабрадоровый порфирит * . . . . .	29Pl <sub>60-55</sub> , 23Pl <sub>25</sub> , 22Or, 18Au, 4Q, 4(Ol, mt, ap)	12.0	5.3	18.0	64.7
225	306	Эсбоит . . . . .	73Pl <sup>6</sup> <sub>32</sub> , 12Bi(+ep), 11Mr, 3Q, 1(mt, ap, zr)	17.2	7.6	4.6	70.6

$a'$	$f'$	$m'$	$c'$	$n$	$\varphi$	$t$	$Q$	$\frac{a}{c}$	п. №	Источник
—	61.8	19.1	19.1	69.5	47.3	1.3	0.9	4.61	204	Brögger, 1897 <sub>6</sub> , [161], 328; [161], 1933, 61.
—	40.5	23.2	36.3	65.5	24.5	3.5	5.2	4.59	205	Lacroix, 1923, [119], 3, 328, 329.
—	68.0	19.2	12.8	63.1	22.2	0	1.4	4.44	206	Безбородъко, 1935, [206], 5, 195.
—	25.7	47.5	26.8	96.2	6.2	2.3	2.4	3.94	207	Sobral, 1943, [43], 171.
—	55.3	26.0	18.7	74.5	11.4	2.3	4.4	3.79	208	Brögger, 1933 <sub>1</sub> , [161], 35, 29.
—	54.9	28.9	16.2	62.5	32.4	2.5	0.4	3.67	209	Buch, 1810, [151], [161], 1933 <sub>1</sub> , 69.
—	70.3	7.6	22.1	87.8	19.3	1.1	5.3	3.57	210	Cederström, 1893, [73], 15, 107; [188], 46, 165.
—	57.4	18.0	24.6	70.1	22.6	1.8	0.9	3.44	211	Brögger, 1933 <sub>1</sub> , [161], 45, 55.
—	63.4	20.7	15.9	76.1	17.1	4.1	2.4	3.28	212	Оссовский, 1871, [202]; [240], 11, 187.
23.1	42.9	34.0	—	54.7	9.5	0	4.1	3.23	213	Barrois, 1902, [44], 134, 753; [162], 41.
—	37.6	20.2	42.2	98.4	34.9	0.1	4.1	3.14	214	Laitakari, 1918, [25], 51, 3, 6.
—	61.3	31.1	7.6	61.3	27.6	3.7	1.9	2.78	215	Skeats, 1910, [139], 205; Skeats и Summers, 1912, [30], 24, 29, 31.
—	41.7	43.6	14.7	55.9	23.0	1.0	4.3	2.5	216	Iddings, 1895, [91], 3, 943, 944.
6.9	54.3	38.8	—	71.3	32.8	1.5	4.4	2.47	217	Lacroix, 1917, [44], 164, 585, 586.

$$>Q>-6; \quad 7>\frac{a}{c}>\frac{5}{2}; \quad 45>b>20$$

—	23.0	60.8	16.2	70.9	4.7	2.1	5.8	6.14	218	Kennedy и Read, 1936, [147], 92, 126.
—	20.3	51.5	28.2	24.4	4.2	0.5	3.8	3.6	219	Johannsen, 1920, [91], 28, 210; [7], (4), 9, 44.
—	22.6	23.0	54.4	97.2	12.5	3.8	5.0	2.81	220	Larsen и Hunter, 1914, [95], 4, 473; [146], 99, 725.

$$+6>Q>-6; \quad \frac{5}{2}>\frac{a}{c}>\frac{3}{2}; \quad b<20;$$

—	64.4	28.8	6.8	49.0	42.5	2.0	1.7	2.4	221	Gruss, 1903, [122], 4, 89; [162], 117.
—	43.5	38.1	18.4	50.0	23.3	1.4	0.4	2.34	222	Ransome, 1898, [7], (4), 5, 355; [155a], 88.
—	39.0	43.5	17.5	70.7	17.1	0.8	0.4	2.32	223	Buch, 1836, [139], 35, 188; Becke, 1900, [188], 19, 182; [126], Beil., 22, 598.
—	49.4	22.8	27.8	52.9	25.9	0	0.1	2.26	224	Zirkel, 1866, [98], 2, [162], 152.
9.5	79.4	11.1	—	80.5	12.7	1.4	0.8	2.26	225	Sederholm, 1928, [25], 83, 72, 48.

№ п.п.	№ Тр. гера	Название	Минералогический состав	a	c	b	s
226*	—	Белое габбро . . .	Pl $\rightarrow$ Ab, prn, pec, немного Hb и Py <sub>mon</sub> , ti	16.0	8.3	7.0	68.7
227	316	Игольчатый диорит	48Pl $^{7}_{18}$ , 38Hb, 9Or <sub>20</sub> , 5(Q, mt, ap)	13.1	5.8	16.0	65.1
228	325	Порфирит . . . . .	58Pl $^{6}_{39}$ , 16En, 15Or $^{3}_{30}$ , 5Au, 6(mt, Q, ap)	12.7	6.6	13.7	67.0
229	288	Куллаит . . . . .	55Pl $^{5}_{35}$ , 18chl, 43Or, 10mt, 4 (Q, ap, calc)	12.8	7.0	15.1	65.1
230	303	Плагиоплит . . . .	93Pl $^{8}_{25}$ , 4Hb, 3Q	16.2	9.0	2.9	71.9

*Класс 4, группа 14, подгруппа 6):*

231	281	Гойбергит . . . . .	75Hb, 12Pl $^{4}_{51}$ , 7Or, 5Q, 1(mt, ap)	6.7	2.8	32.8	57.7
232	317	Керсантит . . . . .	53Pl $^{5}_{25}$ , 24Bi, 8Py, 9Q, 4calc, 2(mt, ap)	9.2	4.8	26.3	59.7
233*	—	Чизлакит . . . . .	(20 — 30)(Pl <sub>35</sub> до Pl <sub>48</sub> , редко Pl <sub>58</sub> , Kfds, Q) (80 — 70) (Au, Hb (с включениями Bi), ti, ap, pr, zr.)	4.3	2.3	39.7	53.7
234	147	Антсохит . . . . .	42Bi, 39Hb, 19Q	7.4	4.2	30.7	57.7
235	811	Аллинит . . . . .		9.6	5.8	21.8	62.8
236*	—	Порфировый базальт . . . . .	Norm: Q — 3·6; or — 5·0; ab — 31·4; an — 25·3; di — 15·3; en — 1·9; mt — 5·3; hm — 4·0; il — 7·4; ap — 1·3	9.6	6.3	23.9	60.2

*Класс 4, группа 15, подгруппа а):*

237	346	Навит . . . . .	50Pl $^{5}_{45}$ , 27Au, 6Ol, 5(mt, ap), 12 стекло (Pl+Or+Q)	9.6	6.4	22.1	61.9
238	308	Диорит . . . . .	53Pl $^{41}_{41-51}$ , 22Hb, 9Bi, 7Q, 6Mr, 3(mt, ap)	10.3	6.9	17.0	65.8
239	321	Гистеробаз . . . .	40 (Au, Hb), 35Pl $^{40}_{40}$ , 10Or, 8Q, 5(mt, ap, pr)	9.5	4.4	23.6	62.5
240	338	Клаузенит . . . . .	65Pl $^{4}_{49}$ , 20Hy, 6Or $^{3}_{30}$ , 6Q, 3(mt, ap, zr)	9.9	6.9	18.2	65.0
241	343	Палатинит . . . . .	68Pl $^{5}_{44}$ , 14Au, 7Br, 7Or $^{3}_{30}$ , 4(mt, ap)	11.8	8.4	14.3	65.5
242	357	Мусковадит . . . .	40Pl $^{4}_{50-40}$ , 34cord, 9En, 8Bi, 7Q, 3(str, mt, ap)	6.6	4.7	30.2	58.5
243	293	Андеозинит . . . .	90Pl $^{5}_{42}$ , 5(Or, Q), 5(Au, mt, pr, ap)	14.8	10.7	2.7	71.8
244	159	Сакалавит . . . . .	30Pl $^{5}_{55}$ , 25Au, 8(mt, ap), 37 стекло (Pl+Q+Au+San)	7.1	5.2	27.3	60.4

$a'$	$f'$	$m'$	$c'$	$n$	$\varphi$	$t$	$Q$	$\frac{a}{c}$	п. №	Источник
—	18.9	13.7	67.4	92.7	2.1	0.3	2.9	1.93	226	Balsillie, 1932, [75], 69, 117.
—	54.5	33.0	12.5	79.3	34.8	0	—	2.26	227	Gumbel, 1868, [70]; [87], 29, 372.
—	41.9	47.1	11.0	72.7	19.9	1.5	2.0	1.92	228	Delamétherie, 1797, [168], 2, 418; [58a], 179.
2.9	65.9	31.2	—	74.7	10.7	0.8	2.4	1.83	229	Hennig, 1899, [100], 35 <sub>2</sub> , 24; Hjelmqvist, 1930, [73], 52, 247; [188], 21, 315.
—	20.0	25.0	55.0	95.5	20.0	0	2.4	1.8	230	Duparc и Jerchoff, 1902, [16], (4), 13, 307; [35], 33, 369.

$$+6 > Q > -6; \quad \frac{5}{2} > \frac{a}{c} > \frac{3}{2}; \quad b > 20$$

—	19.7	48.1	32.2	68.5	1.9	0.9	0.8	2.39	231	Tongeren, 1934, [141], 37 <sub>3</sub> , 5.
—	23.4	65.1	11.5	58.2	3.1	1.9	3.8	1.92	232	Delesse, 1851, [8], (4), 19, 164, [119], 2, 430.
—	9.6	51.4	39.0	80.6	2.1	0.7	3.5	1.87	233	Nikitin и Klemen, 1937, реф. [126], 1938, 368.
—	33.1	32.5	34.4	39.3	8.2	2.2	3.6	1.76	234	Lacroix, 1922, [119], 2, 431.
—	34.0	47.1	18.9	52.2	9.2	1.0	0.6	1.65	235	Bailey, 1916, [110], 53, 167.
—	49.0	26.2	24.8	87.1	28.0	5.7	5.1	1.52	236	Balsillie, 1932, [75], 69, 114.

$$+6 > Q > -6; \quad \frac{a}{c} < \frac{3}{2}; \quad b < 45$$

—	39.6	37.3	23.1	79.1	31.8	2.0	1.8	1.5	237	Rosenbusch, 1887, [118], 512; [88], 10, 309.
—	52.7	34.6	12.7	75.7	8.2	0.75	4.1	1.49	238	Hauy, y D'Aubuisson, 1819, [171], 2, 146; [73], 37, 419.
—	62.3	12.9	24.8	59.4	14.5	3.1	1.6	1.48	239	Lossen, 1886, [192], 38, 925; [192], 40, 204.
—	63.5	26.5	10.0	81.7	25.4	0	3.3	1.43	240	Cathrein, 1898, [192], 50, 275; Gisser, 1926, [156], 11; [87], 32, 647.
—	38.1	42.1	19.8	82.7	14.2	1.55	1.0	1.4	241	Laspeyeres, 1869, [126], 516; Rosenbusch, 1877, [118], 384; [88], 10, 309.
48.9	33.7	17.4	—	86.0	1.8	0	0.9	1.4	242	Winchell, 1900, [6], 26, 295, 303.
11.0	73.0	16.0	—	86.9	38.0	0.5	3.3	1.38	243	Turner, 1900, [91], 8, 110; [20], 12, 36.
—	46.0	30.2	23.8	78.4	19.4	2.4	1.4	1.36	244	Lacroix, 1923, [119], 3, 15, 47.

п.п. №	Тр- № гера	Название	Минералогический состав	<i>a</i>	<i>c</i>	<i>b</i>	<i>s</i>
245	151	Кварцевый базальт	35Pl <sub>50-50</sub> , 25(Au, Hy), 5Ol, 5Q, 3(mt, ap, sp), 27 стекло (Pl+Q+Or)	8.8	6.5	20.0	64.7
246	342	Алеутит . . . . .	59Pl <sup>5</sup> <sub>45</sub> , 22klHy, 8Q, 5Or, 6(mt, ap)	10.0	7.6	15.7	66.7
247	342 <sup>1/2</sup>	Валамит . . . . .	46Pl <sup>5</sup> <sub>46</sub> , 26Hy <sub>52</sub> , 10mt, 9Q, 8Or <sup>5</sup> <sub>22</sub> 1ap	8.3	6.4	21.8	63.5
248	333	Павдит . . . . .	61Pl <sub>80-10</sub> , 23Hb, 7Q, 5mt, 4(Bi, ti, ep)	9.3	7.4	19.3	64.0
249	335	Люциит . . . . .	48Pl <sup>5</sup> <sub>49</sub> , 32Hb, 6Q, 5Or <sub>30</sub> , 5Bi, 6(mt, ap)	9.1	7.9	22.1	60.9
250	331	Габбродиорит . . .	53Pl <sup>5</sup> <sub>50</sub> , 30(Au, Br) 6Bi, 6(Q, Or <sub>34</sub> ), 5(mt, ap)	8.1	7.1	23.1	61.7
251	310	Пегматит цоизито-олигоклазовый .	53Pl <sup>6</sup> <sub>13</sub> , 37zs, 7Q, 3Mu	12.8	11.4	5.6	70.2
252	392	Гиперстеновый диабаз . . . . .	44Pl <sub>55</sub> , 49(Pig, Hy), 7(mt, Q, ap)	6.0	5.5	30.4	58.1
253	395	Эпидиорит . . . . .	50Pl <sup>4</sup> <sub>55</sub> , 25Hb(уралит), 5(mt, ap)	8.3	7.6	24.6	59.5
254*		Порфировый тахилит . . . . .	Norm: Q — 1·2; or — 3·3; ab — 29·3; an — 32·0; di — 10·7; en — 4·5; mt — 7·4; il — 5·6; ap — 1·0; cc — 0·5;	9.3	8.6	20.9	61.2
255	378	Базальт . . . . .	49Au, 44Pl <sup>4</sup> <sub>52</sub> , 7(mt, ap)	5.7	5.4	30.6	58.3
256	330	Белугит . . . . .	66Pl <sup>10</sup> <sub>49</sub> , 23Au, 6Hb, 5(mt, ap, pr)	9.4	9.3	19.0	62.3
257	340	Лабрадоровый андезит . . . . .	61Pl <sup>4</sup> <sub>56</sub> , 17Au, 6mt, 6Or, 5Q, 4Ol, 1ap	9.3	9.4	17.3	64.0
258	296	Лабрадит . . . . .	95Pl <sup>5</sup> <sub>52</sub> , 4(Py, Ol), 1(mt, ap)	13.8	14.4	3.0	68.8
259	390	Диабаз . . . . .	48Pl <sup>7</sup> <sub>55</sub> , 41Au, 6(mt, ap,), 5(Or, Q)	7.1	7.4	26.4	59.1
260	297	Роутиварит . . . .	96Pl <sup>3</sup> <sub>52</sub> , 3gr, 1(ru, ap, mt)	12.5	13.5	5.1	68.9
261	127	Альборанит . . . .	40Pl <sub>87-55</sub> , 20Au, 14Hy, 5(mt, ap), 21 стекло (Q+San+Pl)	5.8	7.5	25.1	61.6
262	161	Миякит . . . . .	50Pl <sub>80-55</sub> , 19(Au, Hy, mt, ap, Bi), 25 стекло (Pl+Q)	7.3	12.4	15.8	64.5
263		Эклогит . . . . .	Омфацит, смарагдит, гранат.	4.9	8.6	30.8	55.7
264	355	Норит . . . . .	49Pl <sup>3</sup> <sub>70</sub> , 46Pyгомб, 4Bi, 1(Q, mt, ap)	4.0	8.5	30.8	56.7
265	298	Модумит . . . . .	88Pl <sup>2</sup> <sub>70</sub> , 9Py, 3(mt, ap, pr)	8.0	18.7	7.7	65.6
266	362	Биотитовый эвкрит	64Pl <sub>76</sub> , 23(Hy, Au), 6Ol <sub>35</sub> , 5Bi, 2(mt, calc, ap)	4.4	14.4	22.4	58.8
267	386	Анортитовый базальт . . . . .	50Pl <sub>95-85</sub> , 20Au, 5Ol, 5(mt, ap), 20 основная масса (Pl+Q+San)	4.0	13.0	21.2	61.8
268	361	Корсит . . . . .	77Pl <sup>2</sup> <sub>85-75</sub> , 21Hb, 2(Q, mt, ap)	5.2	19.1	13.4	62.3

$a'$	$f'$	$m'$	$c'$	$n$	$\varphi$	$t$	$Q$	$\frac{a}{c}$	п. №	Источник
—	29.6	56.6	13.8	73.8	7.4	0.7	5,3	1.35	245	Diller, 1887, [7], (3), 33, 45; [37], 79, 29.
—	48.0	40.8	11,2	81.7	19.7	1.6	5.8	1.32	246	Spurr, 1900, [13], 20, 190; [6], 25, 233.
—	69.3	27.8	2,9	76,3	16.8	2.9	4.0	1.30	247	Hackman, 1931, [165].
—	55.5	24.1	20.4	84.6	26.7	0.9	2.0	1.25	248	Duparc и Grosset, 1916, [148], 110, 113.
—	47.4	33.6	19.0	75.0	17.4	0	4.3	1.15	249	Chelius, 1892, [131], 4, 13, 40.
—	38.3	45.4	16.3	79.7	7.7	1.4	0.1	1.14	250	Törnebohm, 1877, [126], 391, [88], 27, 361.
—	29.3	0	70.7	89.4	29.3	0	3.4	1.12	251	Erdmannsdörffer, 1931, [158], 6.
—	26.6	49.5	23.9	76.1	4.7	1.7	1.3	1.09	252	Rosenbusch, 1887, [118], 204; [132], (5), 3, 114.
—	44.4	30.1	25.5	82.7	17.0	4.6	5.2	1.09	253	Gümbel, 1874, [135], 10; [69a], 198.
—	48.9	28.2	22.9	90.3	22.9	4.5	4.8	1.08	254	Balsillie, 1932, [75], 69, 110.
—	34.9	40.1	25.0	90.7	4.8	4.4	0.2	1.05	255	Plinius; Agricola, 1546, [49]; Werner, 1787, [97], 12; [7], (5), 6, 351.
—	42.7	34.6	22.7	78.1	20.0	1.9	3.5	1.01	256	Spurr, 1900, [6], 25, 232, 233; [13], 20, 189.
—	52.8	37.1	10.1	79.7	32.9	1.9	0	0.99	257	Iddings, Tröger, 1935, [162]; [126], Beil, 34, 61.
—	20.5	41.0	38.5	87.6	20.5	0	4.4	0.96	258	Turner, 1900, [91], 8, 110; [192], 36, 208.
—	46.7	44.6	8.7	74.6	30.4	1,75	3.4	0.96	259	Brongniart, 1807, [172]; Hausmann, 1842, [189]; 18; Zirkel, 1866, [98], 2, 79; [5], (C), 172, 64.
71.7	13.4	14.9	—	92.7	0	0.55	0.7	0.93	260	Sjögren, 1893, [73], 15, 62, 52.
—	40.3	34.6	25.1	62.8	15.7	0	4.1	0.8	261	Becke, 1899, [188], 18, 553, 544.
4,8	78.8	16.4	—	95.8	34.8	0	2.0	0.59	262	Petersen, 1890, [86], 8, 47, 50.
—	25.3	57.0	17.7	94.4	3.5	1.6	5.0	0.57	263	Hauy, 1822, y Kumel, 1938 реч. [126], 320.
—	23.8	71.0	5.2	80.0	2.2	0.6	3.1	0.47	264	Esmark, 1838, [102], 1, 207; [88], 27, 366.
—	54.7	26.3	19.0	93.8	37.9	0.75	3.5	0.43	265	Brögger, 1933, [161], 35, 26.
—	35.4	64.3	0.3	90.0	9.3	0.6	5.6	0.31	266	Bailey и Thomas, 1924, [110]; [109], 51, 85.
—	52.6	43.9	3.5	66.7	26.7	0	2.6	0.31	267	Wada, 1882, [186], 4, 34, 33.
—	36.2	59.6	4.2	90.6	20.5	0.1	4.9	0.27	268	Zirkel, 1866, [98], 2, 133; [188], 46, 168.

№ п.п.	№ Тр. гера	Название	Минералогический состав	<i>a</i>	<i>c</i>	<i>b</i>	<i>s</i>
269	393	Сэдберит . . . .	41Pl <sub>80</sub> , 26Hy, 23Au, 9mt, 1(Bi, ap, pr)	2.2	8.3	35.6	53.9
270	299	Битовнитит . . . .	88Pl <sub>83</sub> , 9Py, 3mt	4.6	22.5	9.4	63.5
271	703	Педрозит . . . .	97nHb, 3mt	0	14.1	27.2	58.7

*Класс 4, группа 15, подгруппа б):*

272	678	Вебстерит <sup>1</sup> . . . .	58Hy, 40(Di, Dlg), 2(mt, ap)	0.5	0.1	49.8	49.6
273	682	Диопсидит . . . .	95Di, 5gr.	0.2	0.8	49.7	49.3
274	675	Бронзитит . . . .	96Br, 3Pl <sub>60</sub> , 1mt	0	2.1	48.1	50.8
275	769	Урбанит . . . .	58il, 23ru, 13hm, 6(sp, Pl, Bi)	0	0.4	47.3	52.3

*Класс 5, группа 16: -6>Q>-15:*

276	174	Понцит* . . . .	88(nSan, anOr) 6Sod, 3Di, 3(mt, ap)	23.9	—	4.5	71.0
277	187	Фенит . . . .	84pMi <sup>2</sup> <sub>52</sub> , 8AegAu, 5calc, 3(ap, zr, ti)	22.6	0.1	8.3	69.0
278	213	Кератофир . . . .	63Ab <sup>10</sup> , 19pMi <sub>30</sub> , 15AegAu, 3(mt, ap)	22.9	0.1	8.4	68.6
279	189	Кальцитовый сиенит . . . .	71San <sup>4</sup> <sub>19</sub> , 17AegAu, 10calc, 2(ti, ap)	17.2	—	17.6	63.3
280	416	Мариуполит . . .	74Ab <sup>2</sup> , 13Ne, 7Aeg, 4Lep, 2(zr, fl)	24.9	2.1	2.1	70.9
281	454	Калиевый тингуат . . . .	57(Or, San) <sub>23</sub> , 34(AegAu), 9Ne	20.6	—	5.7	67.5
282	422	Лакарпигит* . . . .	33Mr, 26Hb, 17Pl <sub>5</sub> , 15Ne, 6Mn-pес, 3(ti, ap)	19.1	—	9.8	66.3
283	503	Уайомингит (Вайомингит) . . . .	20Phl, 19Di, 8(ap, ti), 53(Le и стекло(San+Nos))	15.3	—	22.2	60.2
284	436	Нозеановый сиенит * . . . .	59Or, 26Di, 7Nos, 8(mt, ap, calc, ti, Bi)	16.4	—	20.8	60.9
285	505	Хумилит * . . . .	41Le, 20Di, 17Ol, 11San <sub>12</sub> , 8Phl, 3(ap, mt)	11.2	—	33.2	54.7
286	191	Нефелиновый хедрумит . . . .	73KNafd, 11(Aeg, Au), 7Ne, 5(Lep, Hb), 4(mt, ti, Mu, ap)	23.9	—	6.2	67.9
287	440	Нефелиновый сиенит-пегматит . . .	73KNafd <sub>60</sub> , 12Ne, 5Lep, 5Aeg, 5(Sod, mt, asph)	26.1	—	2.6	69.5

*Класс 5, группа 17, подгруппа а):*

288	190	Хедрумит . . . .	84pMr <sup>4</sup> <sub>65</sub> , 13Lep, 3(calc, ap, mt)	21.8	0.3	9.2	68.7
289	179	Натровый сиенит . . . .	83(Pl <sup>7</sup> <sub>5</sub> ), 15nHb, 2(mt, ap, zr)	21.6	0.4	10.2	67.8

<sup>1</sup> По минералогическому составу должен быть отнесен к пернитам.

$a'$	$f'$	$m'$	$c'$	$n$	$\varphi$	$t$	$Q$	$\frac{a}{c}$	п.п. №	Источник
—	39.2	38.9	21.9	100.0	5.0	2.0	4.9	0.27	269	Coleman, 1914, [9], 23, 215, 216.
—	28.3	47.8	23.9	96.4	14.2	0	4.7	0.20	270	Johannsen, 1920, [91], 28, 60; [6], 26, 340.
—	67.1	23.0	9.9	—	0	0.6	3.3	0	271	Osann, 1923, у Rossenbusch/ Osann, 1923, [57], 260; [158], 5A, 16.

$+ 6 > Q > -6; \frac{a}{c} < \frac{3}{2}; b > 45$

—	11.9	72.1	16.0	100.0	4.8	0	1.9	5.0	272	Williams, 1890, [6], 6, 40; [37], 148, 92.
—	7.6	46.5	45.9	100.0	0.5	0.5	2.6	0.25	273	Lacroix, 1895, [32], 6, № 42, 31.
—	15.4	83.6	1.0	0	5.5	0.5	1.5	0	274	Lacroix, 1894, [132], (3), 6, 269; [162], 278.
3.4	80.7	15.9	—	0	26.7	94.7	4.2	0	275	Warren, 1912, [7], (4), 33, 276, 275.

пересыщенные щелочами

—	51.4	20.8	27.8	59.8	25.0	0.9	6.4	39.83	276	Washington, 1913, [91], 21, 691; [155a], 20.
—	23.6	4.4	72.0	60.6	10.5	0.1	7.3	226.0	277	Brögger, 1920, [161], 156, 158.
—	55.6	42.0	2.4	79.1	12.7	0.4	8.7	229.0	278	Gümbel, 1874, [135], 43; [162], 96.
—	5.95	19.4	74.65	25.8	0	0.3	9.7	9.0	279	Brauns, 1919, [40], 5, [126], 46, 74.
—	61.2	6.5	32.3	95.6	38.7	0	10.1	11.85	280	Morozewicz, 1902, [188], 21, 238, 241.
$n' = 2.4$	0	41.5	56.1	33.8	0	0.7	10.4	3.96	281	Weed и Pirsson, 1896, [7], (4), 2, 193, 192.
$n' = 15.3$	0	40.3	44.4	70.7	0	1.1	10.6	3.9	282	Törnebohm, 1906, [5], (c), 199, 32; [188], 46, 169.
—	11.3	55.3	33.4	5.5	3.1	3.2	12.5	6.65	283	Cross, 1897, [7], (4), 4, 120, 130.
—	33.1	25.0	41.9	32.8	16.2	1.7	12.9	8.63	284	Pirsson, 1905, [37], 237, 71, 74.
—	13.9	68.0	18.1	10.2	4.3	1.9	13.8	11.11	285	Osann, 1906, [62], 306, 290.
—	30.3	29.2	40.5	65.1	3.2	1.1	14.0	11.09	286	Brögger, 1933, [161], 77; [161], 1897, 190.
—	68.4	15.8	15.8	64.9	31.6	0.4	15.0	14.5	287	Brögger, 1890, [193], 16, 121; [161], 1929, 114.

$-6 > Q > -15; \frac{a}{c} > 7; b < 20$

—	44.1	20.6	35.3	64.6	16.2	0.9	6.5	72.6	288	Brögger, 1890, [193], 16, 40; [161], 1897, 195.
—	43.7	23.2	33.1	93.75	14.6	0.5	8.0	54.0	289	Becker, 1888, [13], 18, 37; [37], 398, 159.

№ п.п.	№ Тр груп	Название	Минералогический состав	a	c	b	s
290	212	Фонолитовый трахит . . . . .	83San <sub>ss</sub> , 7(Ne, Hay), 5AegAu, 5(mt, ti, ap)	24.3	0.5	6.3	68.9
291	216	Кайвекит . . . . .	70(anOr, San, Pl, - <sub>20</sub> ), 20Au, 5Ol, 5(mt, ap)	18.4	0.7	17.6	63.3
292	432	Анальцимовый сиенит . . . . .	55anOr, 15TiAu, 8Anal, 5Pl <sub>50-25</sub> , 5(Aeg, nHb), 12(mt, ol, ap)	19.4	0.8	13.7	66.1
293	526	Натролитовый фонолит, тефритовый . . . . .	55nSan <sub>48</sub> , 22natr, 11Pl <sub>43</sub> , 7Au, 5(mt, ap, ti)	24.6	1.2	6.0	68.2
294	570	Данкалит . . . . .	40Pl <sub>35-10; 20-10</sub> , 22anal, 18(Au, nHb), 17nOr <sub>60</sub> , 3(mt, ap)	22.0	1.2	10.1	66.7
295	197	Голионеит . . . . .	70Ab, 16calc, 10Or, 4(mt, ap, chl, pr)	20.8	1.2	12.5	65.5
296	653	Блерморит . . . . .	71anal, 14AegDi, 5Ne, 4San, 6(gr, ti, ap)	23.2	1.6	8.5	66.7
297	302	Плагиопегматит . . . . .	86Pl <sub>23</sub> , 7Bi, 7(mt, ti, ap, tu, fl, pr)	20.3	1.4	11.3	67.0
298	538	Вульцинито-виноит	40San <sup>20</sup> , 34Pl <sub>60, 30</sub> , 11(AegAu, Hb, TiAu, Bi), 9Le, 6(mt, Ol, ap).	21.1	1.8	9.4	67.7
299	186	Пуласкит . . . . .	79nOr <sub>55</sub> , 11(Py, nHb), 5Aeg, 4Sod, 1(ti, ap, mt)	23.0	2.3	5.3	69.4
300	220 <sup>1/2</sup>	Кератоспилит . . . . .	75Pl <sup>6</sup> <sub>5</sub> , 11chl, 10(mt, hm), 4(calc, ap)	18.8	2.1	15.9	63.2
301	257	Кератофир плагиоклазодержащ.	45pMi <sup>5</sup> <sub>50</sub> , 30(Di, Bi, Aeg), 20Pl <sub>35</sub> , 5(ap, mt)	17.6	2.1	18.6	61.7
302	245	Гаутеит . . . . .	47KNafd, 20Pl <sub>40</sub> , 23(Hb, Au, Bi), 5(mt, ap, ti), 5 стекло разложенное (Ne+San)	20.1	2.5	13.5	63.9
303	183	Ларвикит (лаурвикит)* . . . . .	88(pMi, anOr) <sup>12</sup> <sub>61</sub> , 8(TiAu, nHb, Lep), 4(mt, ap, Ol, zr)	20.4	2.6	9.4	67.6
304	525 <sup>1/2</sup>	Ветраллит . . . . .	65nOr <sub>20</sub> , 14Pl <sub>67</sub> , 11Au, 5Ne, 5(Bi, mt, ap)	20.8	2.7	9.1	67.4
305	528	Витербит * . . . . .	42nSan <sub>47</sub> , 38Le, 11Pl <sub>66</sub> , 7(Au, Bi), 2(mt, ap)	22.5	3.2	7.1	67.2

Класс 5, группа 17, подгруппа б):

306	567	Юссит (Юсит) . . .	63(TiAu, nHb), 22(anal, Pl <sub>70</sub> , anOr), 11mt, 4ap	6,5	0.6	39.3	53.6
307	232 <sup>1/2</sup>	Шихлунит . . . . .	61anOr <sup>10</sup> <sub>44</sub> , 16Au, 10Ol, 6Bi, 7(mt, ap)	14.7	1.9	23.9	59.5
308	228	Проверзит . . . . .	41Or <sup>5</sup> <sub>12</sub> , 26Bi, 24Di, 5Ol, 4(mt, ap)	12.7	1.7	28.8	56.8

Класс 5, группа 18, подгруппа а):

309	220	Кератофир-спилит	67Or <sub>8</sub> , 21chl, 12(calc, ti, ap, mt, Q, pr)	17.8	2.6	16.5	63.1
310	477	Лейцитовый трахит * . . . . .	52nSan <sub>45</sub> , 21Le, 16Pl <sub>67</sub> , 9Au, 2(mt, ap)	19.9	3.1	11.0	66.0

$a'$	$f'$	$m'$	$c'$	$n$	$\varphi$	$t$	$Q$	$\frac{a}{c}$	Нр. №	Источник
—	63.7	3.3	33.0	44.6	46.2	0.7	11.3	48.6	290	Rosenbusch, 1887, [118], 598; [91], 4, 849.
—	44.5	20.3	35.2	73.9	28.1	1.6	10.9	26.3	291	Marshall, 1906, [147], 62, 400; [147], 70, 397.
—	47.0	21.7	31.3	67.1	21.2	1.5	7.4	24.2	292	Tyrell, 1912, [75], 9, 70; [75], 59, 72.
—	68.7	10.8	20.5	69.0	45.8	0	14.0	20.5	293	Hibsch, 1904, [188], 23, 328; [188], 30, 30.
—	55.8	12.9	31.3	86.2	31.3	0.7	11.8	18.3	294	Angelis, 1925, [19], 64, 83, 78.
—	7.0	1.7	91.3	88.2	7.0	1.2	9.8	17.3	295	Emerson, 1902, [91], 10, 508, 510.
—	71.8	12.8	15.4	49.4	49.6	0.5	14.6	14.5	296	Knight, 1905, [38], 95, 265, 276.
28.7	56.9	14.4	—	98.0	19.2	1.1	8.0	14.5	297	Szentpetery, 1927, [64], 56, 208, 215.
—	53.3	18.5	28.2	53.3	17.8	0.8	8.6	11.7	298	Tsuboi, 1920, [92], 27, 91, 97.
—	62.3	33.8	3.9	61.1	28.6	0.2	9.5	10.0	299	Williams, 1890 <sub>2</sub> , [10], 56; [91], 609.
—	57.6	28.4	14.0	93.2	27.9	1.6	13.3	8.95	300	Левинсон-Лессинг, 1933, (Карадаг).
—	65.2	20.5	14.3	67.5	10.0	2.0	13.9	8.4	301	Erdmannsdoerffer, 1909, [40], 37, 40.
—	39.3	33.5	27.2	50.7	24.1	0	14.9	8.04	302	Hibsch, 1898, [188], 17, 84, 87.
—	51.8	27.0	21.2	71.4	14.6	1.4	8.2	7.85	303	Brögger, 1890, [198], 16, 30; [161], 1933 <sub>1</sub> , 59.
—	46.1	30.8	23.1	34.9	21.5	0.8	12.2	7.7	304	Johannsen, 1938, [52], 4, 173, [39], 57, 59.
—	53.5	28.3	18.2	29.1	22.2	0.9	13.8	7.04	305	Washington, 1906, [39], 57, 92.

$-6 > Q > -15; \frac{a}{c} > 7; b > 20$

—	36.9	25.7	37.4	70.8	18.2	17.1	6.4	10.82	306	Рачковский, 1911, [203], 5, 256.
—	35.4	43.9	20.7	48.2	5.0	2.7	12.3	7.74	307	Ogura и др. 1936, [166], 1, 93.
—	26.8	49.8	23.4	16.7	16.5	2.4	13.5	7.46	308	Rosenbusch, 1908, [118], 1487; [91], 14, 168.

$-6 > Q > -15; 7 > \frac{a}{c} > 2; b < 20$

—	51.3	41.2	7.5	8.2	14.2	4.4	12.0	6.85	309	Lehmann, 1933, [22], 15, 318, 312,
—	48.0	27.3	24.7	36.4	22.1	1.0	10.9	6.41	310	Rath, 1866, [192], 18, 584; [155a], 67.

№ п.п.	№ Трё- гера	Название	Минералогический состав	a	c	b	s
311	531	Гвардиант*	40San, 35Pl <sub>75-45;40</sub> ; 9Ne, 9Au, 6(Bi, mt, ap)	20.4	3.3	11.2	65.1
312	527	Банакит	43San <sup>3</sup> <sub>32</sub> , 19Pl <sub>50</sub> , 12Au, 9anal, 6Bi, 5Ol, 6(mt, ap)	16.5	3.4	17.8	62.3
313	482	Шаканит*	34anOr, 29anal, 8(Au, Ol), 4(mt, ap, ti, Bi) 25 стекло (anOr)	19.2	4.6	10.0	66.2
314	267	Анdezito-тефрит	40Pl <sub>55-45;30</sub> ; 33nSan, 15Au, 6Hay, 6(mt, ap)	18.0	4.4	13.4	64.2
315	214	Марлезит	54Pl <sup>8</sup> <sub>10</sub> , 27(Au, Hb, Ol) 15Or <sub>40</sub> , 4(mt, ap)	15.4	3.9	18.7	62.0
316	289	Кохалант	41Pl <sub>50-20</sub> , 30nSan <sup>3</sup> <sub>54</sub> , 12Au, 8mt 7Ol <sub>25</sub> 2ap	15.3	3.9	18.7	62.1
317	556	Думалит	43Pl <sub>42</sub> , 27Au, 17San <sub>50</sub> , 12 рас- стеклованный мезостазис (Ne), 1(mt, ap)	17.3	5.1	14.2	63.4
318	540	Орвиетит*	32Pl <sub>60</sub> , 29San <sub>33</sub> , 17Le, 14Au, 5(Bi, Ol), 3(mt, ap)	15.5	4.9	18.0	61.6
319	569 <sup>1/2</sup>	Мартинит	36Pl <sub>60</sub> , 25Le, 22Or, 9Au, 8(mt, Ol, ap)	18.8	5.8	9.9	65.5
320	277	Гребант*	58Pl <sub>48-29</sub> , 16Or <sup>6</sup> <sub>20</sub> , 12Au, 10Bi, 4(mt, Q, ap, pr)	14.2	5.1	19.3	61.4
321	541	Лейцитовый ба- нан- ит	38Pl <sub>55</sub> , 23nSan, 15Le, 14Au, 5Ol, 5(mt, ap, Bi)	16.8	6.4	13.1	63.7

*Класс 5, группа 18, подгруппа 6):*

322	243	Дурбахит*	34Or <sup>1</sup> <sub>8</sub> , 27Bi, 22Hb, 13Pl <sup>7</sup> <sub>28</sub> , 4(Q, ap, mt, ti, zr)	14.3	2.3	25.0	58.4
323	284	Кауант	37TiAu, 32Pl <sup>6</sup> <sub>22</sub> , 11nSan, 10mt, 5Ol, 5ap	11.4	2.2	31.3	55.0
324	279	Иогоит	39Pl <sub>40</sub> , 21Di, 18nOr <sub>50</sub> , 12Bi, 5Hb, 5(mt, ap)	13.3	2.6	23.3	60.8
325	242	Оливиновый си- нит*	45nOr, 24Au, 11Ol, 11Pl <sub>57-50</sub> , 5Bi, 4(mt, ap)	13.0	2.6	25.1	59.3
326	231	Берингит	55nHb, 40KNaf <sup>d1</sup> <sub>67</sub> , 5(Q, ap, mt)	13.7	2.8	22.8	60.7
327	539 <sup>1/2</sup>	Парчеттит	34Au, 32Le, 23Pl <sub>43</sub> , 5nOr <sub>50</sub> , 6(mt, ap)	14.6	3.2	22.4	59.8
328	254	Чиминит*	51San <sub>23</sub> , 23Di, 13Pl <sub>66</sub> , 11Ol, 2(mt, ap)	13.0	2.9	23.1	61.0
329	290	Мюджарит	57Pl <sub>22</sub> , 26Ol, 13Or, 4ap	15.1	3.5	21.3	60.1
330	247	Минетта*	36Or, 25Pl <sub>60-30</sub> , 12Bi, 20Di, 7(Ol, mt, ap, ti)	13.6	3.2	22.6	60.6
331	225	Андрадитовый си- нит	36gr, 29Or <sup>3</sup> <sub>34</sub> , 24AegHed, 6calc, 5(ep, zr, Q, Woll sp)	9.3	2.4	33.9	54.4
332	259	Монцонит*	33Pl <sub>68-25</sub> , 32Or, 24Di, 6Lep, 5(mt, ap, Q, zr, ti)	13.1	3.9	21.1	61.9
333	146	Хамронгит	43Pl <sub>44</sub> , 35Bi, 13Q, 9(calc, mt, pr, ap),	14.1	4.3	21.6	60.0
334	589	Гизит	20TiAu, 18mt, 6Ol, 5Bi, 5anal, 2ap, 44 стекло (Pl)	9.2	3.1	32.7	55.0
335	283	Эссекситов. габбро	36Au, 31Pl <sub>52</sub> , 17KNaf <sup>d55</sup> , 6Ol, 5mt, 4Ne, 1ap	12.4	4.2	25.9	57.5
336	237 <sup>1/2</sup>	Хайвидит	33(nOr, nMr), 25Pl <sub>50</sub> , 30Di, 10Bi, 2(mt, ap)	13.6	4.8	23.1	58.5

$a'$	$f'$	$m'$	$c'$	$n$	$\phi$	$t$	$Q$	$\frac{a}{c}$	Н. №	Источник
—	44.7	27.3	28.0	53.1	23.6	1.0	13.9	6.18	311	Bieber, 1924, [195], 5, 87; [195], 14, 236.
—	43.4	40.6	16.0	54.3	23.3	1.0	11.8	4.85	312	Iddings, 1895, [91], 3, 947.
—	51.9	34.6	13.5	79.7	40.6	1.0	10.6	4.17	313	Daly, 1912, [106], 38 <sub>1</sub> , 411, 414.
—	41.9	29.6	28.5	65.6	19.4	0.10	12.0	4.09	314	Colony и Sinclair, 1928, [7], (5), 16, 307.
—	49.0	44.0	7.0	74.5	18.7	2.6	10.7	3.95	315	Thomas, 1911, [147] 67, 198, 200.
—	53.9	28.8	17.3	79.1	16.2	3.0	10.3	3.92	316	Iddings, 1913, [83], 2, 193; [7], (5), 5, 478
—	37.8	47.3	14.9	82.9	6.0	0	12.9	3.39	317	Левинсон-Лессинг, 1905, [196], 2, 42, 276, 274.
—	37.8	34.3	27.9	36.4	15.0	2.1	12.7	3.25	318	Niggli, 1923, [77] 1, 186; [155a], 86.
—	58.2	32.1	9.7	37.0	12.0	1.6	12.4	3.24	319	Johannsen, 1938, [52], 4, 200, [39], 57, 80.
—	43.3	36.1	20.6	64.7	27.4	1.7	10.7	2.78	320	Reinisch, 1927, [59], 16, 33; [162], 125.
5.6	59.0	35.4	—	61.4	37.1	1.0	12.6	2.62	321	Iddings, 1895, [91], 3, 947; [122a], 32 <sub>2</sub> , 346.

$\rightarrow 6 > Q > -15$ ;  $7 > \frac{a}{c} > 2$ ;  $b > 20$

—	30.3	54.7	15.0	28.0	30.0	2.5	14.1	6.22	322	Sauer, 1893, [122], 2, 247, 258.
—	37.2	29.0	33.8	82.1	12.5	6.25	15.0	5.19	323	Iddings, 1913, [83], 2, 173; [146], 88, 15.
—	28.5	43.6	27.9	55.0	12.0	1.1	7.6	5.11	324	Weed и Pirsson, 1895, [7], (3), 50, 472, 473; Johannsen, 1920, [91], 28, 221.
—	29.4	48.1	22.5	44.9	8.5	1.0	10.0	5.0	325	Gratton, 1906, [146], 54, 53; [106], 381, 357.
—	31.4	39.0	29.6	69.9	16.9	4.1	8.8	4.9	326	Starzynski, 1912, [15], 671.
—	29.6	38.7	31.7	28.7	7.9	1.7	12.8	4.56	327	Johannsen, 1938, [52], 4, 291; [39], 57, 72.
—	22.4	56.0	21.6	29.3	4.5	0.8	6.9	4.49	328	Washington, 1896, [91], 4, 834; [7], (4), 9, 44.
—	60.0	25.0	15.0	79.2	25.3	2.7	13.5	4.31	329	Harker, 1904, [112], 257, 263.
—	31.6	54.0	35.4	49.5	31.6	2.3	9.2	4.25	330	Voltz, 1828, [175], 54; [162], 110.
—	38.9	5.3	55.8	47.8	27.3	0	12.2	3.88	331	Lacroix, 1916, [44], 163, 728, 729.
—	42.3	27.4	30.3	51.0	14.8	0.55	6.3	3.36	332	Lapparent, 1864, [8], (6), 4, 259; [161], 1895, 24.
—	43.8	36.6	19.6	49.0	10.5	1.8	12.5	3.28	333	Eckermann, 1928, [61], 50 <sub>18</sub> , 13;
—	29.1	48.5	22.4	88.0	18.8	8.1	11.5	2.97	334	Washington, 1914, [91], 22, 753; [24a], 33, 153.
—	34.9	41.4	23.7	78.3	3.1	4.2	14.0	2.95	335	Lacroix, 1909, [44], 149, 543, 546.
—	26.4	46.0	27.6	47.5	8.9	0.2	15.0	2.83	336	Johannsen, 1938, [52], 4, 40; [37], 237, 79.

№ п.п.	№ Трёхгера	Название	Минералогический состав	a	c	b	s
337	287	Ортлерит . . . .	43Pl <sub>35</sub> , 35(Hb, Di, Bi) 20 Or, 2(Q, ap, mt)	11.9	4.3	26.2	57.6
338	676	Гиперстенит . . . .	95Hb, 5(mt, ap)	4.0	1.5	43.1	51.4
339	327	Андеиновый базальт . . . .	59Pl <sub>50-35</sub> , 28Au, 5Ol, 8(mt, ap)	11.5	4.9	26.6	57.0
340	511	Соммант* . . . .	31San, 28Au, 25Pl <sub>70-60</sub> , 9Le, 4Ol, 3(ap, mt)	12.7	5.6	20.6	61.1

*Класс 5, группа 19, подгруппа а):*

341	789 <sup>1/2</sup>	Щелочной плагио-фирит* . . . .	23Pl <sub>39-24</sub> , 7 (Hb, A <sub>4</sub> ), 3(mt, ti, ap) 67 стекловатая основная масса	11.7	6.6	12.0	69.7
342	366	Габбро-аплит . . . .	84Pl <sup>4</sup> <sub>70</sub> , 16Hb	8.3	18.7	8.4	64.6
343	301	Кыштымит . . . .	47Cor, 38Pl <sub>88</sub> , 10Bi, 5(sp, zr, ap)	6.9	18.7	15.5	58.9

*Класс 5, группа 19, подгруппа б):*

344	595 <sup>1/4</sup>	Мурамбит . . . .	34Pl <sup>11</sup> <sub>45</sub> , 29Au, 17Ol, 12Le, f(mt, ap)	8.4	4.2	34.3	53.1
345	328	Доргалит . . . .	57Pl <sup>8</sup> <sub>33</sub> , 21Ol, 20Au, 2mt	9.5	4.8	27.3	58.4
346	543 <sup>1/2</sup>	Анальцимовый эс-сексит* . . . .	29Au, 26Pl <sub>50-35</sub> , 21 anal, 12Or, 5(Hb, Bi), 5mt, 2(ap, calc, ti)	11.6	5.9	25.4	57.1
347	329	Спилит . . . .	52Pl <sup>6</sup> <sub>26</sub> , 30Au, 13(chl, serp, calc), 5(mt, ap)	9.6	5.1	27.5	57.8
348	513	Лейцитовый кен-талленит . . . .	51Di, 23San, 12Pl <sub>60</sub> , 7Ol, 5Le, 2(mt, ap)	7.4	4.0	34.9	53.7
349	109	Воньерит* . . . .	34Bi, 26Hb, 22Pl <sub>60-35</sub> , 8Or, 8Q, 2(ap, ti, mt, zr)	10.0	5.6	27.4	57.0
350	249	Вогеэит . . . .	37Hb, 30Or <sup>4</sup> <sub>32</sub> , 21Pl <sub>50</sub> , 8Ol, 4(mt, ap)	9.5	6.0	27.3	57.2
351	224	Кодурит . . . .	55gr, 41Or, 4(ap, mt)	11.0	7.6	22.2	59.2
352	273	Анортоклазовый базальт . . . .	32Pl <sub>60</sub> , 27nOr <sup>10</sup> <sub>50</sub> , 27Au, 5Ol, 7mt, 2ap	9.7	6.7	23.9	59.7
353	323	Керсантий броназитовый . . . .	43Pl <sub>34</sub> , 25Au, 15Bi, 9Br, 5mt, 3(Or, ap, ti)	9.8	6.8	24.5	58.9
354	285 <sup>1/3</sup>	Пеникаваарит . .	21(nHb), 20Hb, 20Au, 17Pl <sub>40</sub> , 10chl, 6(mt, ap, pr, ru), 3Or	6.2	4.4	37.2	52.2
355	308 <sup>1/3</sup>	Катабугит . . . .	62Pl <sup>9</sup> <sub>27</sub> , 27Hy <sub>45</sub> , 2Q, 9(mt, ap)	10.2	7.4	22.0	60.4
356	579 <sup>1/2</sup>	Вестервальдит . .	36Pl <sub>60</sub> , 30Au, 20Ol, 8San, 2 <sup>1</sup> / <sub>2</sub> Ne, 3 <sup>1</sup> / <sub>2</sub> (mt, ap)	7.2	5.4	34.4	53.0
357	320	Диабазо-спессартит*	48Pl <sub>55-35</sub> , 34Au, 7Bi, 5Or, 6(Ol, mt, ap)	7.5	6.1	29.3	57.1
358	344	Толеит* . . . .	52Pl <sub>65-50</sub> , 18Au, 7Ol, 2(mt, ap) 21 мезостазис (минер. Pl, Au, mt±стекло)	8.7	7.2	25.1	59.0

$a'$	$f'$	$m'$	$c'$	$n$	$\Phi$	$t$	$Q$	$\frac{a}{c}$	н. №	Источник
—	66.9	14.0	19.1	61.9	28.6	0	12.9	2.77	337	Stache и John, 1879, [87], 29, 356, 362.
—	28.8	69.1	2.1	73.5	3.5	3.0	6.7	2.66	338	Rose, 1835, [139], 34, 10.
—	40.0	32.3	27.7	79.8	10.8	3.0	13.9	2.34	339	Iddings, 1913, [83], 2, 21; [7], (5), 12, 404.
—	33.3	35.7	31.0	42.9	4.0	2.3	8.8	2.27	340	Lacroix, 1902, [132], (4), 4, 190; [44], 165, 209.

$-6 > Q > -15; 2 > \frac{a}{c}; b < 20$

22.1	54.0	23.9	—	47.5	31.9	3.0	9.4	1.77	341	Szentpetery, 1935, [4], 4, 171, 189.
—	64.1	4.9	31.0	82.3	2.0	0.1	6.1	0.44	342	Chelius, 1892, [131], (4), 13, 4; [162], 165.
38.4	28.3	33.3	—	72.7	28.3	0	14.7	0.37	343	Morozewicz, 1898, [188], 18, 202, 212.

$-6 > Q > -15; 2 > \frac{a}{c}; 45 > b > 20$

—	27.5	55.5	17.0	54.7	6.1	3.8	14.8	2.0	344	Holmes, 1936, [111], 3 <sub>2</sub> , 14; 138.
—	41.9	41.9	16.2	87.5	16.0	1.2	7.0	1.98	345	Amstutz, 1925, [157], 5, 300, 297
—	39.8	31.8	28.4	54.9	15.6	2.0	14.9	1.97	346	Tröger, 1938, [66], B, 32, T, 4; [122], 10, 72,
—	34.3	40.2	25.5	94.2	6.1	2.6	8.7	1.88	347	Brongniart, 1827 [42], 98; Dewey и Flett, 1911, [75], 202; [107], 359, 185.
—	18.2	50.1	31.7	52.6	3.7	1.9	11.4	1.85	348	Lacroix, 1917, [44], 165, 209.
—	24.0	67.0	9.0	33.3	3.4	3.05	11.6	1.78	349	Fournet, 1836, [74]; [35], 40, 150,
—	30.5	57.1	12.4	55.7	11.4	1.5	10.6	1.58	350	Rosenbusch, 1887, [118], 345; [122], 12, 349.
—	69.7	1.0	29.3	0	8.1	0.5	11.2	1.45	351	Fermor, 1907, [150], 25, 22 [108], 37 261.
—	45.4	40.8	13.8	68.1	10.0	4.2	6.7	1.45	352	Skeats и Summers, 1912, [30], 24, 33.
—	48.0	39.9	12.1	78.3	17.3	3.8	8.6	1.44	353	Brögger, 1897 <sub>6</sub> , [161], 71, 75.
—	34.1	48.9	17.0	89.4	8.1	4.3	12.4	1.41	354	Johannsen, 1938, [52]; 4, 52 [25], 11, 29.
8.9	57.0	34.1	—	84.9	21.0	0	7.0	1.38	355	Безбородько, 1931, [205], 1, 145, 147.
—	28.8	55.4	15.8	70.4	9.7	4.75	13.8	1.33	356	Johannsen, 1938, [52], 4, 203; [66], 77.
—	31.7	48.1	20.2	69.6	8.6	2.1	6.9	1.23	357	Tröger, 1931, [2], 167; [162] 141.
—	37.6	38.7	23.7	70.7	15.0	0	6.6	1.21	358	Steininger, 1841, [69], 26; [58a], 80 <sub>35</sub> .

№ п.п.	№ Трёхгера	Название	Минералогический состав	a	c	b	s
359	345	Нонезит *	70Pl <sup>4</sup> <sub>48</sub> , 16Au, 8Ol, 2Or, 4(mt, ap)	9.7	8.6	22.8	58.9
360	353	Тронтолит	51Pl <sup>4</sup> <sub>53</sub> , 28Ol, 10(Au, Hy), 5(Hb, Bi), 6(sp, mt, ap)	7.1	6.3	33.8	52.8
361	546	Пульянит*	66Au, 16Pl <sub>90</sub> , 8Bi, 5Le, 4San, 2Hb	5.5	5.4	36.5	52.6
362	309	Бойит *	40Pl <sub>40</sub> , 37Hb, 16Dlg, 3Bi, 4(mt, ap)	5.8	5.7	33.2	55.3
363	352	Оссипит	63Pl <sub>60</sub> , 14Dlg, 10Ol <sub>34</sub> , 5Bi, 8(mt, ap)	9.0	9.6	22.5	58.9
364	379	Оливиновый базальт	51Pl <sup>6</sup> <sub>54</sub> , 31Au, 12Ol, 6(mt, ap)	6.4	7.1	31.0	55.5
365	336	Орбит	47Pl <sup>4</sup> <sub>53</sub> , 24Hb, 22Bi, 4Q, 3(mt, ap)	9.0	10.1	21.2	59.7
366	376	Фурчит	60 tiAu, 40 разложенное стекло(Pl <sub>65</sub> )	5.7	6.5	35.5	52.3
367	351	Оливиновое габбро	38Pl <sup>4</sup> <sub>55</sub> , 27Dlg, 25Ol, 3Bi, 3Or, 4(mt, ap, sp)	5.2	6.0	37.8	51.0
368	383	Гавайит	36Pl <sub>55</sub> , 32Ol <sub>12</sub> , 27tiAu, 5mt	3.6	4.5	41.1	50.8
369	354	Гиперит	57Pl <sup>4</sup> <sub>59</sub> , 13Au, 13Hy, 8Ol, 5Bi, 4(mt, ap)	6.6	9.0	27.3	57.1
370	348	Габбро	52Pl <sub>64</sub> , 35Dlg, 10Hy, 3(mt, ap)	6.3	8.9	29.0	55.8
371	394	Протеробаз	38Au, 33Pl <sup>1</sup> <sub>62</sub> , 20Hb, 8mt, 1ap	4.8	7.1	35.2	52.9
372	367	Беербахит	45Pl <sup>2</sup> <sub>67</sub> , 25Au, 23Hy, 7(mt, ap)	5.1	9.2	31.1	54.6
373	349	Роговообманковое габбро	56Pl <sub>89-28</sub> , 36Hb, 3Bi, 5(Or, mt, ap)	7.1	12.8	23.0	57.1
374	716	Гриквант*	52gr, 9Phl, 39Di	3.4	9.7	35.7	51.2
375	358	Эвакрит	48Pl <sub>63</sub> , 40(Au, Hy), 9Ol, 3(mt, Bi)	2.9	8.6	34.4	54.1
376	684	Ариенжит	64Dlg, 15Br, 10Pl <sup>5</sup> <sub>40</sub> , 6sp, 4gr	1.8	5.6	42.1	50.5
377	368	Уенит	51Pl <sub>91</sub> , 30Di, 17Ol, 2Br	1.3	12.0	34.0	52.7

Класс 5, группа 19, подгруппа 8);

378	705	Гренландит	73Hb, 2Hy, 3Ol, 3(mt, ap)	3.5	3.1	46.5	46.9
379	691	Оливиновый ямас-кит *	71Py, 13Ol, 9Hb, 6Pl <sub>90</sub> , 1(Bi, mt)	2.5	2.1	49.1	46.3
380	713	Ставрит	62nHb, 29Bi, 9(chl, calc, Q, mt, ap, барит)	2.3	2.3	45.3	50.1
381	398	Ильменитовый но-рит	41Hy, 38il, 21Pl <sub>52</sub>	2.5	2.6	45.1	49.8
382	681	Диаллагит	89Dlg, 7Pl <sup>5</sup> <sub>55</sub> , 4mt	2.0	2.1	46.8	49.1
383	400	Норитовый брон-зитит*	84Br, 11Pl <sub>70</sub> , 4(Bi, Hb), 1(mt, ap)	1.8	2.4	46.7	49.1

## Продолжение табл. В

$a'$	$f'$	$m'$	$c'$	$n$	$\varphi$	$t$	$Q$	$\frac{a}{c}$	н №	Источник
—	43.6	42.4	14.0	89.7	29.0	0	10.2	1.13	359	Lepsius, 1878, [48], 169, 166.
—	45.0	50.5	4.5	88.7	7.9	3.2	14.9	1.13	360	Bonney, 1885, [75], (3), 2, 439; [119], 2, 420.
—	19.8	40.1	40.1	26.2	10.0	3.2	11.2	1.02	361	Lacroix, 1917, [44], 165, 210, 211.
—	42.6	35.3	22.1	79.1	7.8	4.7	6.7	1.02	362	Weinschenk, 1897, [1], 19, 541; [188], 46, 166.
—	36.9	39.2	23.9	88.9	8.3	3.4	9.8	0.94	363	Hitchcock, 1871, [7], (3), 3, 48; Pirsson, 1911, [7], (4), 31, 418.
—	34.2	48.3	17.5	84.8	9.8	2.9	8.9	0.90	364	Rosenbusch, 1896, [118], 1018; [112], 31, 249.
—	47.7	50.9	1.4	66.4	15.3	1.1	8.7	0.89	365	Chelius, 1892, [131], (4), 13, 10; [131], (4), 28, 30.
—	36.7	31.6	31.7	73.2	18.5	6.2	13.3	0.88	366	Williams, 1890, [10], 107, 108.
—	24.4	65.1	10.5	77.5	2.8	1.6	14.4	0.87	367	Rosenbusch, 1877, [118], 471; [88], 27, 368.
—	24.1	65.5	10.4	89.6	4.2	2.2	10.4	0.8	368	Daly, 1911, [91], 19, 297, 296.
—	40.2	53.2	6.6	83.0	5.1	1.5	8.0	0.73	369	Elie de Beaumont, 1830 (для норитов); Törnebohm, 1877, [126], 379; [162], 158.
—	23.5	48.9	27.6	93.5	6.2	0.2	9.9	0.71	370	Старое флорентийское название Tozzetti, 1768, [152], 2, 432; [58а], 76, 21.
—	38.2	36.4	25.4	97.1	4.8	5.4	10.9	0.68	371	Gümbel, 1874, [135], 14; [109], 335, 46.
—	37.8	43.6	18.6	94.6	7.2	1.9	10.2	0.55	372	Chelius, 1892, [131], (4), 13, 4; [6], 26, 346.
—	37.5	41.4	21.1	83.3	8.4	1.4	12.8	0.55	373	Chelius, 1884, [131], (4), 5, 24; [162], 158.
—	21.1	67.7	11.2	64.0	4.2	0.8	14.1	0.35	374	Beck, 1907, [192], 59, 301; [180], 14, 57.
—	25.9	60.9	13.2	90.9	4.7	0.7	6.2	0.34	375	Rose, 1835, [139], 35, 1; [109], 45, 98.
—	8.7	68.7	22.6	93.3	4.1	0.6	8.2	0.32	376	Lacroix, 1900, [47], 2, 807; [44], 165, 385.
—	5.0	70.8	24.2	90.0	0	0	9.2	0.11	377	Lacroix, 1911, [44], 152, 817, 819.

$-6 > Q > -15$ ;  $2 > \frac{a}{c}$ ;  $b > 45$

—	22.1	64.1	13.8	89.7	6.2	1.3	12.3	1.2	378	Machatschki, 1927A [40], 72, 173.
—	15.7	49.3	35.0	81.0	4.4	2.4	14.5	1.19	379	O'Neill, 1914, [106], 43, 67.
—	13.2	79.3	7.5	0	0.8	0.4	6.7	1.0	380	Eckermann, 1928, [73], 50, 401, 402.
7.0	54.1	38.9	—	89.5	4.4	30.5	8.0	0.96	381	Vogt, 1891, [73], 13, 498; [20], 5, 165.
—	21.7	55.9	22.4	88.2	5.8	0.8	7.9	0.95	382	Cloizeaux, 1863, [36], (2), 21, 108; [44], 152, 820.
—	15.9	82.6	1.5	81.2	2.4	0	7.8	0.75	383	Kolderup, 1896, [20], 106, [88], 25, 471.

№ п. п.п.	№ Тр. гера	Название	Минералогический состав	a	c	b	s
384	687	Якулирангит . . .	80(tiAu, Au), 19timt, 1(Ne, ap)	1.9	3.0	48.9	46.2
385	680	Анабохитсит . . .	65(Hy, Hb), 30mtil, 5Pl	1.6	3.8	47.0	47.6
386	679	Бахиант . . . . .	59Hy, 30Hb, 7Ol, 4sp	0.7	3.1	47.1	49.1
387	677	Сагвандит * . . .	90Br, 9 магнезит, 1(тальк, sp, pr)	0	0	55.2	44.8

Класс 6, группа 20, подгруппа а): —15>Q;

388	431	Канкринитовый сиенит * . . .	83pMi, 12cancr, 5(mt, Aeg, Bi, calc, ap)	26.5	—	6.2	66.7
389	412 <sup>1/2</sup>	Дельдорадит* . . .	85pMi, 10cancr, 5(Aeg, Bi, mt, ap, ti, calc)	26.6	0.5	6.2	66.7
390	421	Луяврит * . . . .	40pMr <sub>54</sub> , 32Aeg, 26Ne, 2eud	22.7	6.8	6.4	64.1
391	456 <sup>1/2</sup>	Анальцимит-тингуаит . . . .	38anOr, 38anal, 11Ne, 10Aeg, 3AegAu	28.9	1.7	2.7	67.7
392	449 <sup>1/2</sup>	Анальцимовый тингуаит * . . . .	43pMi, 40anal, 15Au, 2(mt, Bi)	27.7	1.8	4.7	65.8
393	447	Содалитовый тингуаит . . . .	60San <sub>45</sub> , 27Sod, 12AegAu, 1 (ap, гаинит)	27.7	1.8	4.8	65.7
394	415 <sup>1/2</sup>	Хилэрит * . . . .	35Ne, 23Pl, 18Sod, 9Or, 11Aeg, 4eud	29.3	4.5	2.6	63.6
395	426	Сэрнант . . . . .	48nOr <sub>66</sub> , 19AegAu, 18cancr, 14Ne, 1(ti, ap)	25.5	4.5	5.7	64.3
396	467	Женинит . . . . .	52anOr <sup>10</sup> <sub>63</sub> ; <sup>5</sup> <sub>40</sub> , 25Ne, 13Aeg, Au, 6nHb, 4(Ol, ap, mt)	26.4	1.1	9.5	63.0
397	428	Гаюиновый сиенит	60nOr, 22Hay, 10(Di, Bi), 6Ne, 2(mt, ti, ap, rnk)	27.8	2.8	4.3	65.1
398	450	Канкринитовый тингуаит . . .	36cancr, 34nOr <sub>50</sub> , 28AegAu, 2(ti, ap, calc)	21.5	7.7	10.0	60.8
399	441	Нефелиновый апллит * . . . .	67nSan <sup>8</sup> <sub>45</sub> , 16Sod, 12Ne, 3Bi, 2(mt, zr)	29.4	2.6	1.9	66.1
400	501	Мюрит . . . . .	44(Au, AegAu), 27Ne, 22San <sup>8</sup> <sub>45</sub> , 7(Ol <sub>75</sub> , ap, mt, ti)	21.2	3.1	17.6	58.1
401	451	Натролитовый тингуаит . . . .	34natr, 18anal, 22San, 18AegAu, 6Ne, 1(ap, mt)	27.3	4.4	3.5	64.8
402	413 <sup>1/2</sup>	Рисчорррит . . . .	62pMr <sub>42</sub> , 25Ne, 9Lep, 4(mt, ap, calc)	29.3	0.1	6.3	64.3
403	452	Лейцитовый тингуаит . . . .	30nSan, 25 psLe, 17Ne, 15AegDi, 10Sod, 3(mt, ap)	27.1	1.1	9.2	62.6
404	641	Лейцитофир . . . .	30Le, 29AegAu, 20Ne, 14Hay, 5gr, 2(ap, ti)	24.4	3.8	15.6	56.2
405	418	Хибинит . . . . .	44pMr <sup>2</sup> <sub>57</sub> , 33Ne, 20(Aeg, nHb), 3(eud, ti)	27.9	1.7	7.2	63.2
406	564 <sup>1/2</sup>	Баршовит * . . . .	26nHb, 17Ne, 17Or, 12tiAu, 11anal, 10Pl <sub>40</sub> , 7(mt, ap)	21.5	1.9	20.0	56.6
407	445	Тингуаит . . . . .	46San <sub>35</sub> , 32Ne, 21Aeg, 1ap	27.4	5.4	2.4	65.1
408	472	Нозеановый фонолит . . . . .	54nSan, 15Nos, 12AegAu, 10Ne, 8Le, 1(mt, ti, Au, Bi)	30.2	0.3	6.2	65.3

$a'$	$f'$	$m'$	$c'$	$n$	$\varphi$	$t$	$Q$	$\frac{a}{c}$	п. №	Источник
—	21.9	39.1	39.0	92.9	19.9	7.8	14.4	0.63	384	Derby, 1891, [7], (3), 41, 314; [91], 9, 620.
—	54.1	42.5	3.4	25.0	13.5	17.3	11.8	0.42	385	Lacroix, 1914 [44], 159, 419, 421.
—	17.4	80.5	2.1	83.3	3.2	0.35	6.3	0.23	386	Washington, 1914, [7], (4), 38, 86, 85.
3.5	11.1	85.4	—	0	0	0	10.4	0	387	Pettersen, 1883, [126], 247; Barth, 1927, [130], 9, 271, 284, 1930; [188], 40, 221.

пересыщенные щелочами;  $b < 25$ 

—	51.7	7.9	40.4	66.7	24.7	0.5	20.2	44.17	388	Törnebohm, 1882, [73] 6, 399; [146], 99, 295.
—	51.7	7.9	40.4	66.7	24.7	0.5	20.3	55.2	389	Johannsen, 1938, [52], 4; 77, [37], 99, 295.
—	41.7	28.6	29.7	69.6	11.0	1.2	24.0	3.34	390	Brögger, 1890, [193], 16, 204; [61], 15, 16.
—	75.7	8.1	16.2	84.2	54.0	0.4	25.1	17.0	391	Johannsen, 1938 [52], 4, 271; [7], 6, 185.
—	44.1	10.3	45.6	69.5	0	0	25.6	15.4	392	Washington, 1898, [7], 4, 182; [37], 704, 104.
—	44.9	10.2	44.9	69.5	0	0	25.8	15.4	393	Hibsch, 1910, [188], 29, 431, 432.
$n' = 46.0$	0	10.8	43.2	78.7	0	0	25.9	6.51	394	Johannsen, 1938, [52], 4, 289; [106], 43, 38—41.
$n' = 35.8$	0	24.7	39.5	83.5	0	0.3	26.9	5.66	395	Brögger, 1890, [193], 16, 244; [73], 45, 305.
—	52.8	20.0	27.2	70.5	29.4	0.8	27.9	24.0	396	Gregory, 1900, [147], 56, 214; [121], 13, 247.
$n' = 16.4$	0	21.3	62.3	67.8	0	0	28.2	0.99	397	Lacroix, 1911, [132], (5), 3, 65.
$n' = 23.4$	0	22.7	53.9	79.3	0	0.7	29.1	2.79	398	Prior, 1903, [121], 13, 86; [73], 45, 326.
$n' = 3.7$	0	33.3	63.0	61.5	0	0.5	29.2	11.3	399	Rosenbusch, 1896, [118], 465; [188], 20, 288.
—	30.6	16.1	53.3	73.2	13.0	3.0	29.3	6.84	400	Lacroix, 1927, [105], 59, 32, 33.
—	38.3	4.2	57.5	77.0	0	0.6	29.4	6.20	401	Marshall, 1927, [181], 58, 533.
—	70.3	23.1	6.6	55.7	28.6	0.65	30.1	293.0	402	Куплетский, 1932, [207], 2.
—	60.5	5.4	34.1	56.0	34.1	0	30.1	24.64	403	Williams, 1890, [10], 277, 287.
—	19.6	15.0	65.4	60.6	0	1.5	30.2	6.42	404	Abich, 1841, [124], 125; [126], Beil, 46, 33.
—	48.1	20.2	31.7	72.8	17.3	1.3	31.1	16.4	405	Ramsay, 1898, [61], 15, 3; [162], 183.
—	49.1	20.6	30.3	87.2	25.3	0.9	31.7	11.32	406	Johannsen, 1938, [52], 4, 283; [75], 2, 1915, 362.
$n' = 12.5$	0	12.5	75.0	61.5	0	0	32.1	5.37	407	Rosenbusch, 1887, [118], 628; [57], 215.
—	51.1	3.5	45.4	54.3	25.6	0.45	33.9	100.6	408	Rath, 1864 [192], 16, 102; [126], Beil, 46, 25.

№ п.п.	№ Тр гера	Название	Минералогический состав	a	c	b	s
409	627	Италит . . . . .	93Le, 3AegAu, 8Hay, 2(gr, Bi, mt, ap)	31.8	— 1.0	2.5	64.7
410	456	Мунионджит . . .	39Ne, 32nSan, 28(AegAu, Bi), 1(ap, mt)	28.3	5.6	3.1	63.0
411	421 <sup>2/3</sup>	Канкринитовый нордшёйт . . .	38Ne, 31Py, 11Or, 9Aeg, 6cancr, 5(calc, ap, mt, pr, ti, per)	19.9	— 5.1	21.8	53.2
412	638	Шоренбергит * . .	38Le, 20Nos, 16AegAu, 12KNaFd, 6Ne, 6anal, 2(ap, ti)	29.5	4.3	5.1	61.1
413	636	Тавит * . . . . .	63Sod, 87Aeg, 1eud	22.6	— 13.5	5.8	58.1
414	446	Катценбукелит * .	35Ne, 27nSan, 15Nos, 12AegAu, 6 аномит, 5(Ol, ap, mt)	27.2	— 3.1	12.8	56.9
415	425	Содалито-нефелиновый сиенит .	34nOr <sub>70</sub> , 28Sod, 27Ne, 8AegAu, 2(lv, asph, fl)	34.4	— 4.0	3.3	58.3
416	608	Слюдяной ийолит *	44Ne, 29AegAu, 21Lep, 6(ti, mt, ap)	25.6	— 8.6	14.6	51.2
417	463	Натровый суссексит . . . . .	63Ne, 17Aeg, 14(anOr, pOr) <sub>87</sub> , 6(Woll, ti)	32.5	— 4.8	7.2	55.5
418	462	Суссексит . . . . .	60Ne, 22AegAu, 14nSan <sub>50</sub> , 2Bi, 2(ti, mt, ap)	32.5	— 2.2	11.7	53.6
419	635	Науялит . . . . .	54Sod, 14anal, 12Aeg, 7nHb, 6pMr <sub>50</sub> , 5Ne, 2(eud, rnk, rsb)	32.3	— 6.5	9.6	51.6
420	604	Уртит* . . . . .	82Ne, 9Aeg, 7Ab, 2ap	39.2	— 3.9	2.1	54.8
421	506	Белоэйлит * . . .	70Sod, 12Or, 8Ne, 5Pl <sub>14</sub> , 5Aeg	40.0	— 3.5	6.5	50.0

Класс 6, группа 20, подгруппа 6): —15>Q;

422	229 <sup>1/2</sup>	Раабсит * . . . . .	35Mr, 30nHb, 23Bi, 6Ol, 6(ap, ti, mt, pr, act)	11.9	— 2.1	30.3	55.8
423	500	Кокит (Косит) . .	36Au, 19Ol, 19Le, 18nSan, 5Bi, 3(mt, ap)	10.6	— 1.1	36.1	52.2
424	644 <sub>2</sub>	Оливиновый лейцитит * . . . . .	39tiAu, 37Le, 15Ol, 7mt, 2(ap, calc)	11.8	— 1.3	34.7	52.2
425	645	Мадупит . . . . .	46Di, 19Phl, 8(per, mt, ap), 27стекло (Le+Nos)	12.0	— 1.5	37.2	49.3
426	607 <sup>2/3</sup>	Луявритит <sup>1</sup> . . .	54AegAu, 30Ne, 8ti, 4pMr <sub>54</sub> , 4(ap, mt)	15.5	— 5.9	24.8	53.8
427	610	Альгарвит . . . . .	40AegDi, 34Bi, 17Ne, 8ti, 1(mt, ap)	15.3	— 3.2	30.9	50.6
428	618	Онкилонит . . . . .	45Ne, 28tiAu, 19Ol <sub>34</sub> , 8(per, mt, ap)	14.6	— 1.7	38.0	45.7
429	672	Венанцит* . . . . .	47Mel, 30Le, 17Ol, 4Phl, 2(mt, per, sp)	11.8	— 1.1	44.5	42.5
430	608 <sup>1/3</sup>	Нилигонгит . . . . .	30tiAu, 29Ne, 22Le, 6Mel, 13(mt, per, ap, calc)	23.8	— 2.7	25.2	48.3

<sup>1</sup> По количеству цветных минералов должен быть отнесен к группе 20, подгруппе в).

$a'$	$f'$	$m'$	$c'$	$n$	$\varphi$	$t$	$Q$	$\frac{a}{c}$	п. №	Источник
$n' = 32.0$	20.0	3.4	76.6	6.4	0	0.9	35.2	31.8	409	Washington, 1920, [7], (4), 50, 33; 1927, [7], (5), 14, 178.
	0	15.1	52.9	25.6	0	0	35.6	—	410	David, 1901, [145], 34, 347, 366.
$n' = 20.5$	9.8	29.5	60.7	67.6	0	1.5	38.5	3.9	411	Johannsen, 1938, [52], 4, 248.
	26.1	10.1	63.8	63.5	0	0.7	41.1	6.96	412	Brauns, 1922, [126]; Beil, 46, 46, [162], 261.
$n' = 54.3$	0	42.3	37.2	92.0	0	0	42.5	1.67	413	Ramsay, 1894, [61], 11 <sub>2</sub> , 93, [61], 15 <sub>2</sub> , 25.
	38.3	35.4	26.3	78.1	17.1	3.3	43.7	8.77	414	Osann, 1903, [188], 21, 403; [122], 5 <sub>1</sub> , 304.
$n' = 92.6$	0	28.3	17.4	86.5	0	0.25	56.2	8.6	415	Weidman, 1904, [91], 12, 552; [132], (5), 3, 38.
	9.3	18.0	72.7	64.4	0	3.8	57.4	2.98	416	Белянкин 1924, [204], 20.
$n' = 11.9$	5.9	16.7	77.4	90.9	0	0.1	58.8	6.76	417	Hackmann, 1900, [25], 11, 20, 22.
	28.5	22.0	49.5	72.4	28.0	0	60.0	14.77	418	Brögger, 1894, [161], 173; [162], 196.
$n' = 77.7$	0	0	7.4	92.9	0	0.3	67.6	4.95	419	Ussing, 1911, [104], 38, 32, 154.
	0	14.1	74.0	85.6	0	0	72.7	10.05	420	Ramsay, 1896, [73], 18, 459, 462.
	0	8.9	13.4	92.1	0	0	83.5	11.43	421	Johannsen, 1920, [91], 28, 163; [106], 43, 48.

пересыщенные щелочами;  $45 > b > 25$

—	8.5	24.5	17.0	6.4	0	2.6	14.3	5.6	422	Waldmann, 1935, [85], 85, 272, 278.
—	14.9	63.4	21.7	40.2	2.5	1.2	17.9	9.63	423	Lacroix, 1933, [33], 20 <sub>3</sub> , 98.
—	21.4	50.1	28.5	19.8	10.8	6.7	20.5	9.0	424	Брит. петр. ком. 1921, [121], 19, 142; [66], 82.
—	10.7	49.3	40.0	4.5	7.0	2.7	26.9	8.0	425	Cross, 1897, [7], (4), 4, 129; [7], (5), 4, 130.
—	24.2	27.6	47.2	80.5	4.4	5.3	29.3	2.63	426	Антонов, 1934, [208].
—	21.7	45.0	33.3	66.1	3.3	6.5	32.6	4.78	427	Lacroix, 1922, [119], 2, 646.
—	26.5	44.6	28.9	71.3	7.1	4.1	39.5	8.59	428	Бакlund 1915, [197], 6, 9 <sub>1</sub> , 289, 295.
—	13.0	46.2	40.8	17.8	3.3	0.6	39.6	10.72	429	Sabatini, 1898, [24], 29 <sub>3</sub> , [162], 272.
—	29.8	21.8	48.4	52.3	0	4.5	53.7	8.81	430	Lacroix, 1933, [33], 20 <sub>3</sub> , 198.

№ п.п.	№ Тр. гера	Название	Минералогический состав	a	c	b	s
431	726	Эйлизит . . . . .	58Fa, 17Antph, 15Di, 8Hb, 2(ap, mt)	1.3	—	58.4	40.2
432	692	Бебедурит* . . . . .	54Di, 21Bi, 14per, 10mt, 1(ap, San, Ol)	3.4	—	52.7	42.0
433	699	Холлант . . . . .	55Py, 16calc, 10Ne, 6gr, 6mt, 4ap, 3(ti, Bi, pr)	4.6	2.0	50.6	42.8
434	672 <sup>1/2</sup>	Катунгит* . . . . .	40Mel, 21Ol <sub>12</sub> , 10(Le+цеол), 7per, 22 основная масса кристокристаллическая с ар и mt	8.1	0.1	51.4	40.4
435	728	Ильменитовый дунит . . . . .	60Ol <sub>45</sub> , 36(mt, il), 4(Hb, sp, pr)	0.8	—	67.0	32.0
436	756	Коаенит . . . . .	57calc, 25Py, 7ap, 5Ne, 6(chl, Or, ti, mt, pr)	4.6	—	69.7	24.6
437	754	Рингит . . . . .	69calc, 20Aeg, KNafsd 5(ap, Bi, ti, pr)	2.7	—	69.6	22.3
438	759	Бефорсит . . . . .	60 доломит, 31nBi, 6барит, 3(mt, pr)	4.9	—	68.0	22.8

Класс 6, группа 21, подгруппа a):

439	481	Содалитовый трахит . . . . .	72nSan <sup>10</sup> <sub>25</sub> , 12AegAu, 11Sod, 1ti	24.1	1.5	7.1	67.3
440	549	Рагландит . . . . .	69Pl <sub>20</sub> , 12Ne, 5Cor, 14(Bi, Mu, calc, mt, ap)	24.8	3.3	3.0	68.9
441	415	Личфильдит . . . . .	47Pl <sub>3</sub> , 27Or, 17Ne, 7Lep, 2cancr	25.2	0.4	6.7	67.7
442	529	Трахивиконт . . . . .	40Le, 32nSan <sub>67</sub> , 12Pl <sub>67</sub> , 11Au, 5(mt, Ol, ap)	22.4	2.4	9.8	65.4
443	438	Содалитовый сиенит . . . . .	50Or <sub>20</sub> , 23nHb, 16Pl <sub>5</sub> , 8Sod, 3(anal, ap)	23.6	2.2	7.1	67.1
444	475	Анальцимовый фенолит . . . . .	56nOr <sup>6</sup> <sub>34</sub> , 18anal, 11Ne, 10Aeg Au, 5(Ol, mt, ap, pr)	24.9	0.6	8.0	66.5
445	466	Апацит* . . . . .	77nOr <sup>6</sup> <sub>52</sub> , 14Ne, 8(nHb, Di), 1(ti, ap)	25.5	1.0	6.2	67.3
446	227	Натровая минетта	52anOr <sup>7</sup> <sub>72</sub> , 27Lep, 18Di, 6(ti, ap)	18.1	0.7	21.5	59.7
447	572	Орданшит . . . . .	53Pl <sub>55-40</sub> , Pl <sup>25</sup> <sub>10</sub> , 28Au, 12(Hay, Sod), 7(Ol, mt, ti, ap)	18.6	2.1	18.8	60.5
448	455	Ульрихит . . . . .	29anOr <sup>14</sup> <sub>59</sub> , 27San <sup>6</sup> <sub>47</sub> , 23(AegAu, nHb), 14(Не, anal), 5Ol, 2(ap, mt)	20.5	0.9	16.9	61.7
449	525	Тефритовый фонолит . . . . .	42nSan <sub>50</sub> , 20Di, 19(Не+Sod), 17Pl <sub>40</sub> , 2(ti, ap)	23.5	1.3	10.9	64.3
450	430	Содалитовый сиенит* . . . . .	62anOr <sup>7</sup> <sub>54</sub> , 15Sod, 13Au, 3Hb, 3(mt, ti, ap)	22.7	0.5	13.9	62.9
451	504	Гаусбергит . . . . .	30Le, 25tiAu, 5mt, 5Ol, 5аномит, 2ар, 28 стекло (San)	17.7	0.6	23.9	57.8
452	248	Камперит . . . . .	45Or, 42Bi, 10Pl <sub>20</sub> , 3(ap, mt)	20.4	1.8	16.8	61.0
453	508	Хусебьюйт . . . . .	50nOr, 20Pl <sup>6</sup> <sub>80</sub> , 15Ne, 12Py, 3(mt, ap)	25.2	1.7	7.4	65.7

$a'$	$f'$	$m'$	$c'$	$n$	$\phi$	$t$	$Q$	$\frac{a}{c}$	$\frac{n}{N}$	Источник
—	83.1	12.05	4.8	62.5	4.0	0.3	22.3	130.0	431	Erdmann, 1849, [126], 837; [73], 44, 253.
—	26.6	36.5	36.9	29.6	17.4	18.2	24.7	—	432	Tröger, 1928, [40], 202; [162], 282.
—	22.6	16.5	60.9	61.8	8.1	4.9	25.6	23.0	433	Brögger, 1920, [161], 217, 219.
—	19.7	43.4	36.9	31.2	10.8	7.5	35.5	81.0	434	Holmes, 1936, [121], 24, 413; [75], 74, 200, 205.
—	60.1	39.0	0.92	83.3	14.3	25.4	37.8	—	435	Johannsen, 1920, [91], 28, 225, [61], 45, 16.
—	7.1	6.0	86.9	66.7	1.35	2.4	51.1	41.8	436	Brögger, 1920, [161], 222, 219.
—	2.8	1.8	95.4	14.3	2.6	1.2	66.2	—	437	Brögger, 1920, [161], 199, 197.
—	8.0	44.8	47.2	35.7	0	6.5	68.5	1.14	438	Eckermann, 1928, [73], 50, 382, 384.

$Q < -15$ ;  $\frac{a}{c} > 7$ ;  $b < 25$

—	39.4	36.6	24.0	47.7	5.8	0.5	15.1	16.1	439	Freda, 1898, [154], 3, 38; [132], (4), 9, 138.
—	42.5	7.5	50.0	89.8	25.0	0.4	15.1	7.5	440	Adams и Barlow, 1908, [183], (3), 2, 64.
58.0	39.0	3.0	—	72.7	6.0	0	15.4	63.0	441	Bailey, 1892, [28], 3, 231, 241,
—	46.1	26.6	27.3	29.8	15.8	1.0	16.4	9.34	442	Narici, 1933, [162], 221; [155a], 92.
—	77.2	15.8	7.0	54.2	15.8	0.4	17.2	10.7	443	Lindgren, 1893, [7], (3), 45, 286.
—	67.0	7.8	25.2	62.4	22.6	0.4	17.4	41.5	444	Pelikan, 1906, [188], 25, 118; [75], 59, 522.
—	75.3	6.7	18.0	66.5	49.4	0.7	17.4	25.5	445	Osann, 1896, [188], 15, 447; [40], 1925, 333.
—	42.1	27.4	30.5	65.2	16.2	2.2	17.5	25.8	446	Brögger, 1897, [161], 126, 139,
—	30.1	33.7	36.2	77.5	4.3	2.7	18.3	8.85	447	Lacroix, 1917, [44], 164, 582, 584.
—	57.2	25.5	17.3	69.6	31.3	0	18.5	22.8	448	Marshall, 1906, [147], 62, 397.
—	40.1	13.4	46.5	70.4	22.9	0.6	19.7	18.1	449	Hibsch, 1900, [188], 19, 27; [188], 14, 98.
—	30.4	32.8	36.8	68.9	18.9	2.0	20.1	45.5	450	Steenstrup, 1881, [104], 2, 35; Hibsch, 1902, [188], 21, 159; [188], 42, 327,
—	35.4	43.2	21.4	24.1	24.0	1.7	20.4	29.5	451	Lacroix, 1926, [44], 182, 599; [162], 212.
—	43.9	43.9	12.2	25.0	5.9	1.0	20.6	11.3	452	Brögger, 1920, [161], 104, 101.
—	51.9	8.5	39.6	74.9	30.2	1.2	20.7	14.8	453	Brögger, 1933, [161], 85, 29.

M. п.п.	№ Трёхгера	Название	Минералогический состав	a	c	b	s
454*	509	Миаскит * . . . .	67 пол. шп. (34Or, 29 олигоклаз зональный), 18Ne, 10.5 Bi, 4.5(canc и mt.)	27.6	0.4	4.8	67.2
455	419	Лардалит (Лаурдаллит) . . . .	62Kfd <sup>4</sup> <sub>67</sub> , 13Ne, 10Lep, 8Py, 2Sod, 5(mt, ap)	24.1	0.8	11.5	63.6
456	471	Лейцитовый фонолит * . . . .	71nSan <sub>40</sub> , 14Le, 6(Ne, Hay), 6AegAu, 3(mt, ap)	26.5	1.1	6.6	65.8
457	569	Фонолитоидный содалитовый тифрит . . . .	46Pl <sub>55-30</sub> , 20Sod, 18nSan <sub>40</sub> , 14AegAu, 2(mt, ti, ap)	23.6	3.1	9.6	63.7
458	460	Нефелиновый ромбовый порфир .	68(pMi, anOr) <sup>7</sup> <sub>63</sub> , 13Ne, 11Au, 7Bi, 1(ap, mt)	26.1	2.0	7.1	64.8
459	483	Оливиновый лардалит . . . .	46anOr <sub>64</sub> , 18Ne, 18mt, 8Ol, 5Py, 5(Lep, nHb, ap)	20.1	0.2	22.2	57.5
460	534	Латито-фонолит .	32KNafd, 31Pl <sub>20</sub> , 12(anal, Nos, Sod), 12AegAu, 7Hb, 6(ti, mt, ap)	22.5	1.5	10.5	65.5
461	465	Фонолит . . . .	66nSan <sub>53</sub> , 18Ne, 8AegDi, 7(Sod, Hay), 1(ti, гаинит, ap)	29.15	0.05	4.5	66.3
462	470	Полленит . . . .	30(Au, Bi, nHb), 20San, 5Pl <sub>60</sub> , 5(Ne, Sod, Hay), 3(Ol, ti, gr, mt), 37 стекло (San+Ne+Pl)	22.6	2.0	14.6	60.8
463	186 <sup>1/2</sup>	Корундовый сиенит . . . .	79pOr <sub>52</sub> , 19Cor, 2Bi	18.9	0.3	24.7	56.1
464	484	Канадит . . . .	56(Ab, pMr), 30Bi, 8Ne, 6(calc, mt, ap)	23.7	1.7	13.1	61.5
465	414	Фойяит . . . .	67pOr <sup>8</sup> <sub>56</sub> , 24Ne, 7AegAu, 2(ti, zr, mt, pr, ap)	28.6	1.5	4.0	65.9
466	517	Содалитовый гаутейт . . . .	30nSan, 19Sod, 18Pl <sub>50-40</sub> , 15Hb, 15Au, 3(ti, ap, mt)	22.3	2.1	16.2	59.4
467	573	Кампанит . . . .	39Le, 19Pl <sub>65-40</sub> , 23Au, 8nSan, 8(Hay, Ne), 3(mt, ap, Bi)	23.0	2.4	14.4	60.2
468	476	Лейцитовый ромбовый порфир *	26(pMi, anOr) 1(Ol, Di), 73 стекло с микр. anor, «Le», Di, Aeg, Ol, Hb, mt, ap, zr, Bi	26.9	0.1	10.1	62.9
469	417	Итсиндрит . . . .	53Mr, 23Ne, 11Aeg, 10Bi, 3(gr, ap)	25.7	1.0	11.1	62.2
470	537	Таитит . . . .	Norm: or — 20·6; ab — 20·3; an — 10·2; ne — 21·5; th — 1·5; di — 13·7; wo — 1·7; mt — 3·5; il — 4·5; hl — 0·2	23.0	1.8	15.6	59.6
471	642	Миненит . . . .	35Le, 30(TiAu и Aeg-Au в основной массе), 10(mt, ap, per), 15KNafd, 10Ne	21.2	1.0	20.9	56.9
472	424	Лейцитовый сиенит * . . . .	44San, 37Le, 12Sod, 3Hb, 4(mt, ap, ti, gr)	28.8	1.5	5.3	64.4
473*		Миаскит роговообманковый (меламиаскит) * . . . .	30Or, 25Pl, 25Ne, 13Hb, 2(il, ap, ti)	26.8	2.9	7.3	63.0
474	413	Ювит . . . .	51Or <sub>23</sub> , 36Ne, 7AegDi, 3calc, 3(ti, ap, mt)	28.4	0.5	7.9	63.2

$a'$	$f'$	$m'$	$c'$	$n$	$\varphi$	$t$	$Q$	$\frac{a}{c}$	п. №	Источник
—	73.0	18.0	9.0	56.0	—	—	21.2	69.0	454	Rose, 1839, [139], 47, 375; [198], 13, 730.
—	44.6	29.2	26.2	70.9	17.9	1.8	21.8	30.1	455	Brögger, 1890, [193], 16, 32; [161] 1897 <sub>6</sub> , 19.
—	45.3	12.6	42.1	40.7	29.5	1.0	22.5	24.1	456	Rosenbusch, 1877, [118], 234; Zirkel, 1894, [98], 427; [155a], 47.
—	40.1	26.3	33.6	71.0	11.7	0.5	22.9	7.6	457	Hibsch, 1898, [188], 17, 60; [188], 19, 82.
—	58.8	27.5	13.7	71.8	13.7	0	24.6	13.05	458	Brögger, 1890, [193], 16, 38.
—	61.1	24.4	14.5	72.1	37.0	10.4	25.4	100.5	459	Brögger, 1897 <sub>6</sub> , [161], 16, 19.
—	44.3	20.8	34.9	67.3	24.2	1.3	25.5	15.0	460	Graton, 1905 [146], 54, 68, 79,
—	60.9	6.3	32.8	73.6	18.7	0.3	25.75	583.0	461	Hauy. y Cordier, 1816, [94], 83, 151; [162], 198.
—	25.8	37.1	37.1	57.6	6.6	0.6	25.8	11.3	462	Lacroix, 1907, [132], (4), 9, 183, 137,
97.9	1.05	1.05	—	52.4	—	0	25.9	63.0	463	Morozewicz, 1898, [188], 18, 217, 219,
—	71.0	6.6	22.4	72.9	29.5	0.5	26.1	13.9	464	Quensel, 1913, [27], 12, 177; [106], 6, 264,
—	57.1	12.5	30.4	70.1	25.0	0.8	26.9	19.1	465	Blum, 1861, [126], 426; [36], (4), 26, 326.
—	40.2	24.8	35.0	79.1	9.4	2.1	27.9	10.6	466	Hibsch, 1902, [188], 21, 530; [188], 29, 421.
—	33.0	21.8	45.2	49.7	10.7	1.2	28.0	9.6	467	Lacroix, 1917, [44], 165, 207; [132], (4), 9, 131.
—	53.1	21.4	25.5	69.6	34.5	1.0	28.1	269.0	468	Finkh, 1906, [62], 382, 392.
—	46.2	21.5	32.3	41.3	31.6	0.8	28.6	25.7	469	Lacroix, 1922, [119], 2, 388, 391,
—	48.4	17.2	39.4	77.8	13.6	3.6	28.6	12.8	470	Lacroix, 1917, [44], 164, 583; [105], 59, 18.
—	38.6	23.8	37.6	55.9	13.9	3.9	29.6	21.2	471	Lacroix, 1933, [33], 20 <sub>6</sub> , 196.
—	44.0	12.0	44.0	41.4	24.0	0	30.3	19.2	472	Williams, 1890 <sub>2</sub> , [10], 276; [44], 165, 208.
—	71.6	19.6	8.8	63.6	5.9	1.8	30.5	9.24	473	Заварицкий, 1924, [201].
—	33.3	1.9	64.8	55.2	13.0	0.7	30.9	56.8	474	Brögger, 1920 <sub>9</sub> , [161], 86, 91,

№ п.п.	№ Пре- гера	Название	Минералогический состав	a	c	b	s
475	468	Нефелинитоидный фонолит . . . .	58nSan <sup>8</sup> <sub>40</sub> , 32Ne, 8Aeg, 2(ti, ap, гаинит)	29.6	0.6	5.8	64.0
476	516	Геронит . . . .	47anal, 28Or, 13Pl <sub>55</sub> , 4Aeg, 10(lim, calc, ap)	28.5	0.4	8.5	62.6
477	435	Лейцитовый санидинит* . . . .	46Le, 26San <sup>4</sup> <sub>46</sub> , 11 давин, 8(Hb, Py), 7(Pl, Ne, Sod), 2(mt, ti, ap)	27.3	1.4	9.7	61.6
478	479	Гаюиновый трахит	50nSan, 35Hay, 15Au.	27.1	1.7	10.3	60.9
479	433	Содалитовый санидинит* . . . .	63San, 31(Sod+Ne), 4gr, 2(nHb, mt, zr)	31.6	0.1	4.3	64.0
480	427	Дитроит . . . .	61pMr <sup>14</sup> <sub>40</sub> , 20Ne, 11(cancr, Sod), 6Bi, 2(mt, ti, ap, calc)	29.7	1.9	5.5	62.9
481	530	Таволатит* . . . .	37Le, 19San, 12Ne, 11AegAu, 10Hay, 7Pl <sub>67</sub> , 4(gr, Bi, ap)	29.3	0.5	9.2	61.0
482	518	Аллохетит . . . .	30Or <sub>53</sub> , 30Ne, 18Pl <sub>45</sub> , 17(tiAu, Hb), 5(ap, mt)	27.3	1.9	11.8	59.0
483	453	Зельбергит* . . . .	36KNafd, 26Le, 16AegAu, 12(Nos+Hay), 8Ne, 2(gr, ti, ap, mt)	24.2	1.8	14.5	59.5
484	629	Аркит . . . .	37psLe, 26Ne, 14gr, 11Di, 8Aeg, 4Or, 1ap	26.5	0.3	20.5	52.7
485	657	Нефелино-мелилитовая порода .	40Mel, 40Ne, 12Le, 8(Au, gr, Hay, ap)	25.0	1.4	23.6	50.0
486	548	Крейгмонтит . . . .	63Ne, 30Pl <sub>25</sub> , 4Mu, 3(calc, Bi, mt, Cor)	38.2	2.4	1.1	58.3
487	607	Ийолит . . . .	52Ne, 39AegAu, 5ap, 4(ti, calc, ииварит)	25.4	0.3	24.7	49.6
488	423	Торигиллит . . . .	51Ne, 19Ab, 19AegAu, 7calc, 4(mt, gr, ap)	30.2	2.9	14.4	52.5
489	606	Монмутит . . . .	72Ne, 15Hb, 5cancr, 2Ab, 6(Sod, calc, mt, ap)	38.4	3.4	8.2	50.0
490	605	Конгрессит . . . .	73Ne, 10(Or, Ab, Sod), 10Bi, Mu, 5(mt, pr), 2(calc, ap)	42.3	1.0	5.0	51.7

Класс 6, группа 21, подгруппа 6):

491	385	Оливиновый пасифицит . . . .	34(Or <sub>28</sub> Ab <sub>29</sub> Cg <sub>42</sub> An <sub>2</sub> ), 33Au, 18Ol <sub>26</sub> , 7Pl <sub>72;43</sub> , 7mt, 1 ap.	10.7	1.3	37.4	50.6
492	491	Лейцитовый шонкинит . . . .	39Le, 32Di, 17Or, 5mt, 5Ol, 2(Bi, ap)	15.5	1.7	27.4	55.4
493	490	Нефелиновый шонкинит . . . .	36Au, 27Or <sub>25</sub> , 12Ne, 10Bi, 8Ol, 5mt, 2ap	14.1	0.8	31.9	53.2
494	487	Малиньит . . . .	49AegAu, 21Or, 20Ne, 6ap, 4(Bi, mt, ti)	15.4	0.9	30.4	53.3
495	229	Каскадит* . . . .	45nOr, 27Di, 16Bi, 7Ol, 5(mt, ap)	13.4	1.2	34.0	51.4
496	512	Плагиофойнат-аркит* . . . .	46Le, 28Di, 10Pl <sub>80</sub> , 6San, 6Bi, 4(ap, mt, Ol)	16.0	2.0	28.3	53.7

$a'$	$f'$	$m'$	$c'$	$n$	$\varphi$	$t$	$Q$	$\frac{a}{c}$	$\frac{n}{\Sigma}$	Источник
—	48.8	3.6	47.6	74.5	31.0	0.5	31.8	49.4	475	Rosenbusch, 1887, [118], 622.
—	61.0	6.0	33.0	70.6	35.6	0	32.2	71.3	476	Coleman, 1899, [91], 7, 431; [162], 219.
—	38.7	19.7	41.6	35.9	7.3	1.0	32.8	19.5	477	Lacroix, 1907, [132], (4), 9, 143.
—	57.8	2.8	39.4	67.4	53.5	0	34.1	15.9	478	Rosenbusch, 1896, [118], 768; [162], 202.
—	47.5	5.0	47.5	67.4	13.1	0.2	35.3	316.0	479	Lacroix, 1907, [132], (4), 9, 143.
—	44.7	15.8	39.5	70.4	10.5	0.7	35.5	15.6	480	Zirkel, 1866, [98], 1, 595; [188], 38, 20.
—	36.7	6.2	57.0	40.9	17.2	0.8	37.1	58.5	481	Washington, 1906, [39], 57, 54; [550a], 51.
—	59.7	16.5	23.8	75.4	31.7	1.3	38.5	14.4	482	Doelter, 1902, [159], 111 <sub>1</sub> , 978; [162], 219.
—	36.0	18.3	45.7	50.6	20.3	1.4	39.2	13.4	483	Brauns, 1922, [126], Beil, 46, 47, 55.
—	35.1	14.9	50.0	55.0	21.6	2.5	47.9	88.5	484	Washington, 1901, [91], 9, 615; 616.
—	18.2	14.4	67.4	60.8	10.6	2.5	51.4	17.9	485	Washington, 1927, [7], (5), 14, 190, 191.
25.0	43.7	31.3	—	85.2	37.5	0	51.5	15.9	486	Adams и Barlow, 1908, [183], (3), 2, 61, 60.
—	24.5	26.7	48.8	83.6	11.4	1.5	51.9	84.6	487	Ramsay, 1891, [73], 13, 304; [25], 11, 17.
—	45.4	12.2	42.4	85.9	13.3	0.7	58.3	10.4	488	Johannsen, 1920, [91], 28, 163; [183], (3), 24, 39.
—	33.7	13.6	52.7	83.9	5.5	0.3	80.2	11.3	489	Adams, 1904, [7], (4), 17, 269, 275.
—	82.1	13.4	4.5	81.1	47.8	0.4	82.2	42.3	490	Adams и Barlow, 1913, [180], 2, 90, 96.

$Q < -15; \frac{a}{c} > 7; 45 > b > 25$

—	30.9	43.7	25.4	88.4	7.0	3.4	21.5	8.23	491	Barth, 1930, [95], 20, 65; [7], (5), 5, 500.
—	29.4	37.5	33.1	48.3	10.7	0.5	21.9	9.11	492	Pirsson, 1905, [37], 237, 105, 109.
—	23.4	44.6	32.0	43.9	9.1	1.2	22.6	17.6	493	Schmidt, y Sarasin, 1901, [55]; Johannsen, 1920, [91], 28, 220; [7], (4), 12, 14.
—	15.6	31.2	53.2	52.2	7.5	0	25.1	17.1	494	Lawson, 1896, [190], 1, 350.
—	21.9	50.6	27.5	38.6	9.4	1.0	25.2	11.15	495	Pirsson, 1905, [37], 237, 142, 145.
—	17.4	37.6	45.0	14.5	5.6	1.2	26.6	8.0	496	Rittmann, 1933, [195], 15, 17; [195], 14, 233.

№ п.п.	№ Тр- гера	Название	Минералогический состав	a	c	b	s
497	620	Калиевый нефелинит . . . . .	58Au, 26(Ne, Klph), 10mt, 6(per, ap, calc, Mel)	12.4	0.4	39.1	48.1
498	514	Тералит* . . . . .	33tiAu, 16Pl <sub>60-45</sub> , 12nSan, 15Ne, 12nHb, 6mt, 5Bi, 1(ap, ti)	14.4	1.4	33.9	50.3
499	522	Фарризит . . . . .	35(Or, Pl, Ne), 33nHb, 24Di, 5Lep, 3(mt, ap, Ol)	16.6	2.2	29.0	52.2
500	497	Хеймит . . . . .	42(anOr, nOr) <sub>84</sub> , 31nHb, 11Lep, 5Ne, 4Sod, 7(mt, ap, ti, Di)	18.5	1.4	26.6	53.5
501	671	Сесилит (Чечилилит)	42Le, 23Au, 12Mel, 7Ne, 7Ol, 4Pl <sub>90</sub> , 5(mt, ap)	17.7	2.2	28.0	52.1
502	609	Мельтейгит . . . . .	47AegDi, 21Ne, 6Bi, 5cancr, 5 calc, 5ap, 5ti, 5gr, 1(mt, pr)	12.6	0.5	40.8	46.1
503	580	Авгитит . . . . .	40tiAu, 5(mt, ap), 55 стекло с микролитами Pl и Ne	17.0	2.0	31.0	50.0
504	616	Нефелиновый долерит * . . . . .	46Ne, 25tiAu, 4(mt, ap, Ol), 25 стекло с микролитами Ne, Pl, Au, mt и ap	13.4	3.7	36.0	46.9
505*		Сандылит* . . . . .	50(Ne, Or), 50(Aeg, Hb, ti, Ti — содержащий gr, ap, calc)	19.7	2.0	27.0	51.8
506	656	Весбит . . . . .	60Le, 20AegAu, 18Mel, 2(mt, ap)	19.9	1.7	27.4	51.0
507	619	Этиндит . . . . .	42tiAu, 29Ne, 15Le, 7mt, 7(ti, per, ap)	18.9	2.3	30.0	48.8
508	523	Тамараит . . . . .	60(tiAu, nHb), 25Ne, 10(Pl, Or), 5(mt, ap, ti)	18.7	2.3	30.5	48.5
509	492	Натровый шонкинит . . . . .	35Di, 20Ne, 13Bi, 10nSan, 10mt, 8Nos, 4ap	18.5	0.8	34.1	46.6
510	178 <sup>1/2</sup>	Туресит* . . . . .	72nMr, 23nHb(c Di в ядре), 2Q, 3(ap, ti, ort, ru)	27.8	0.4	27.8	66.0
511	659	Турьянит . . . . .	44Mel, 19Bi, 17Ne, 7mt, 7(per, gr), 6(ap, calc)	15.4	0.4	42.5	41.7
512	720	Биотитит* . . . . .	100Bi	15.8	0.2	43.4	40.6
513	662	Бергалит . . . . .	35Mel, 20Hay, 13Bi, 10Ne, 7(mt, per, ap) 15 стекло разложенное	19.6	0.1	36.3	44.0
514	649	Гаюинофир* . . . . .	33Au, 33(Hay + Sod), 16Ne, 16Le, 2(mt, ap)	25.0	0.5	26.2	48.3
515	504 <sup>1/2</sup>	Лейцитовый шихлунит . . . . .	27anOr, 28Au, 24Le, 10Ol, 11(mt, ap)	13.4	2.6	29.5	54.5

Класс 6, группа 21, подгруппа ε<sub>1</sub>):

516	647	Батукит . . . . .	69Au, 16Ol, 12Le, 3(mt, ap)	4.6	0.4	47.8	47.2
517	702	Даванинит . . . . .	91Hb, 5En, 4Pl	7.7	0.6	45.0	46.7
518	722	Меланитовый уачитит . . . . .	54Bi, 33gr, 5 calc, 8(ap, anal, mt, pec)	9.8	0.7	45.9	43.6
519	750	Оlivиновый мелилитит* . . . . .	44Mel, 23Ol <sub>5</sub> , 19Au, 6Ne, 4mt, 4(Bi, per, ap, calc, chr)	7.4	1.0	52.6	39.0

Продолжение табл. В

$a'$	$f'$	$m'$	$c'$	$n$	$\Phi$	$t$	$Q$	$\frac{a}{c}$	п. №	Источник
—	31.7	24.3	44.0	53.3	15.9	8.4	29.0	31.0	497	Holmes, 1932, [147], 88, 400; [119], 3, 267.
—	39.4	27.9	32.7	82.6	22.2	2.6	29.6	10.3	498	Rosenbusch, 1887, [118], 248; [188], 22, 281.
—	30.3	40.5	29.2	80.8	10.6	2.7	31.0	7.54	499	Brögger, 1897, [161], 64, 65.
—	40.1	31.1	28.8	73.6	14.4	2.7	31.4	13.2	500	Brögger, 1897, [161], 90, 91.
—	30.7	31.9	37.4	26.7	12.6	0.6	33.4	8.05	501	Cordier, 1868, [51], 117; [155a], 139.
—	18.3	26.0	55.7	79.2	8.3	4.0	33.5	25.2	502	Brögger, 1920, [161], 18.
—	43.4	23.8	32.8	76.6	18.9	0	36.0	8.5	503	Doelter, 1883, [126], 404, 400,
—	28.5	34.4	37.1	78.3	20.8	1.9	36.7	36.2	504	Leonhard, 1832, [53], 1, 158; [188], 9, 466.
—	39.3	25.8	34.9	75.9	8.0	3.8	38.8	9.85	505	Заварицкий, 1937, [200].
—	7.3	26.2	66.5	18.2	2.4	0.3	39.5	11.7	506	Washington, 1920, [7], (4), 50, 43, 45.
—	33.7	25.5	40.8	70.8	20.6	5.6	42.5	8.22	507	Lacroix, 1923, [119], 3, 65, 267.
—	37.7	28.9	33.4	82.4	8.6	3.5	42.7	8.14	508	Lacroix, 1918, [44], 166, 543, 545.
—	42.4	29.2	28.4	76.3	21.0	5.3	44.6	23.1	509	Nieland, 1931, [126]; Beil, 63A, 97; [122], 5, 268.
—	21.8	48.4	29.8	33.3	11.1	1.1	46.0	69.5	510	Waldmann, 1935, [85], 85, 260, 274.
—	23.9	23.1	53.0	71.9	12.7	6.6	47.8	38.5	511	Ramsay, 1921, [73], 43, 488; [61], 51, 33.
4.6	15.9	79.5	—	12.0	9.0	2.9	50.6	79.0	512	Washington, 1927, [7], (5), 14, 187, 189.
—	30.4	21.2	48.4	74.6	12.4	3.0	51.3	196.0	513	Söllner, 1913, [122], 7, 415.
—	28.1	20.8	51.1	65.7	16.9	2.4	53.9	50.0	514	Abich, 1839, [126], 337; [146], 99, 583.
—	31.4	43.9	24.7	51.5	26.2	3.8	382.2	51.5	515	Ogura и др. 1936, [166], 1, 92.

$Q < -15; \frac{a}{c} > 7; b > 45; a+c > 5$

—	14.4	52.3	33.3	38.5	7.4	0.75	15.2	11.5	516	Iddings, 1917, [144], 3, 595, 596,
—	36.0	40.0	24.0	75.8	19.2	3.2	22.6	12.8	517	Wyllie и Scott, 1913 [75], (5), 10, 502.
—	20.8	39.3	39.9	36.0	15.2	6.3	33.1	14.0	518	Kranck, 1928, [61], 51, 67, 68.
—	18.3	52.5	29.2	75.4	9.0	4.8	37.8	7.4	519	Tröger, 1934, [188], 46, 172.

№ п. №	№ Тр. рода	Название	Минералогический состав	a	c	b	s
520	667	Нефелино-гаюиновый альнёйт . . .	35Ol, 17Mel, 16Phl, 11Hay, 6mt, 5Au, 5(Ne, ap), 5 мезостазис (Phl и др.)	8.9	0.5	50.9	39.7
521	746	Альнёйт * . . . .	33Mel, 30Bi, 17Au, 5Ol, 5mt, 10(carb, ap, per, Nos, Ne, zr)	8.5	0.6	53.0	37.9
522	767	Магнетитовый сиенит . . . . .	62mt, 32Mi, 8Mu	9.3	0.7	61.4	28.6

*Класс 6, группа 21, подгруппа ε₂:*

523	706	Сциеллит * . . . .	58Hb, 22Ol, 19Phl, 1(mt, chr)	3.0	0.3	56.1	40.6
524	724	Дунит . . . . .	97Ol <sub>10</sub> , 3(mt, chr, sp, pr)	0.3	0	65.8	33.9

*Класс 6, группа 22, подгруппа α:*

525	602	Анальцимовый диабаз . . . . .	50Pl <sub>75-30</sub> , 32tiAu, 11anal, 7 (mt, ap)	15.3	3.2	22.4	59.1
526	508 <sup>1/2</sup>	Рафаэлит * . . . .	35Or, 17Pl <sub>60</sub> , 18Hb, 9thom, 8anal, 4Au, 2(natr, ap), 4 mt	17.6	3.8	17.0	61.6
527	532	Таутирит . . . . .	41KNaf <sub>d28</sub> , 27Pl <sub>40</sub> , 11(Ne+Sod), 14(Hb, Au), 7(ti, mt, ap)	21.6	3.5	9.7	65.2
528	558	Топсайллит . . . . .	42Pl <sub>55-45, 40</sub> , 16Au, 14Mr, 12Bi, 8Ne, 8(mt, ti, ap)	15.0	7.1	17.6	60.3
529	549	Кассант . . . . .	34Pl <sub>55-25</sub> , Pl <sub>40-20</sub> , 34San, 21 (nHb, Au), 8(Hay, cancer), 3(mt, ap)	20.5	3.4	12.2	63.9
530	583 <sup>1/2</sup>	Оттаянит * . . . .	40Pl <sub>60</sub> , 28Le, 15Au, 7San, 4Ol, 6(mt, Bi, ap)	14.5	5.7	20.9	58.9
531	599	Анальцимовый базанит . . . . .	25Au, 23Pl <sup>4</sup> <sub>55</sub> , 21Or, 18anal, 7Ol, 6(mt, ap)	14.8	4.4	22.4	58.4
532	995	Сиено-габбро * . .	(35. 5—57)Pl, (20.4—9.0) Kfd, (20.35—35.5)Au; (1.8—10.1) Bi; (3.1—5.0)mt	15.1	3.3	23.5	58.1
533	585	Базальтоидный со- далитовый теф- рит . . . . .	38tiAu, 37Pl <sub>65-40</sub> , 10Sod, 5mt, 4(Hb, Bi), 4(Le, Ne), 2ap	13.5	5.1	24.4	57.0
534	565 <sup>1/2</sup>	Кьюйамит * . . . .	43Pl <sub>60-30</sub> , 32Au, 20anal, 5(mt, ap, pr, calc)	14.2	6.1	21.7	58.0
535	282	Ронгстонит * . . . .	44Pl <sub>60-25</sub> , 3 <sup>+</sup> tiAu, 12Bi, 9Or, 4(mt, ap, ti, 1 cancer)	16.7	3.7	20.4	59.2
536	601	Эссекситовый диа- баз . . . . .	36Pl <sub>55-20</sub> , 25(Au, nHb, Bi), 20 Or, 11Ne, 8(ap, mt)	18.9	3.2	16.8	61.1
537	551	Рувиллит . . . . .	53Pl <sub>80-50</sub> , 27Ne, 8tiAu, 5nHb, 6(mt, ap, ti)	18.8	7.3	10.9	63.0
538	533	Лейцитовый тау- тирит . . . . .	37nSan <sub>54</sub> , 24Pl <sub>40-20</sub> , 17(Py, Hb) 17(Le, anal), 7(mt, ap)	21.7	3.5	11.4	63.4

$a'$	$f'$	$m'$	$c'$	$n$	$\phi$	$t$	$Q$	$\frac{a}{c}$	Н.И. № р.	Источник
—	14.6	67.5	17.9	70.3	5.2	0.8	38.9	17.8	520	Ross, 1926 [7], (5), 11, 218, 222,
—	19.2	38.0	42.8	50.0	8.0	5.4	41.8	11.42	521	Rosenbusch, 1887, [118], 805; [188], 46, 171.
0,7	99.3	0	—	6.6	81.4	0.3	62.1	13.3	522	Lacroix, 1922, [119], 2, 387, 388.

$Q < -15$ ;  $\frac{a}{c} > 7$ ;  $b > 45$ ;  $a+c < 5$

—	14.8	78.9	6.3	?	10.7	0	25.1	10.0	523	Judd, 1885, [147], 41, 401, 402.
3,0	8.8	88.2	—	100.0	3.0	0	32.8	—	524	Hochstetter, 1859, [127], 39, 31, 6, 126.

$Q < -15$ ;  $7 > \frac{a}{c} > 2$ ;  $b < 25$

—	49.8	30.2	20.0	91.6	10.2	2.9	15.6	4.78	525	Fairbanks, 1895, [190], 1, 273; [88], 29, 20.
—	35.6	31.0	31.4	58.5	16.1	2.9	15.8	4.63	526	Johannsen, 1938, [52], 4, 177; [7], 14, 199,
—	55.6	27.8	16.6	62.2	31.6	2.7	16.3	6.17	527	Iddings, 1918, [144], 4, 117, 115.
—	47.5	31.6	20.9	73.0	17.2	2.5	16.5	2.11	528	Lacroix, 1911, [132], (5), 3, 78, 80.
—	46.8	23.7	29.5	66.9	17.3	2.2	16.6	6.03	529	Lacroix, 1918, [44], 166, 542, 543,
—	32.7	41.1	26.2	37.9	8.8	2.9	16.9	2.54	530	Lacroix, 1917, [44], 165, 208, 485; [195], 14, 229—232,
—	35.2	35.9	28.9	65.7	19.5	2.0	17.2	3.36	531	Hibsch, 1920, [58], 14, 69; [146], 54, 93.
—	31.9	36.8	31.3	56.4	21.1	0.5	17.3	4.58	532	Johannsen, 1917, [91], 25, 89; 1922 [91], 28, 59.
—	42.2	29.8	28.0	78.1	21.4	3.3	18.1	2.64	533	Hibsch, 1898, [188], 17, 60; [188], 19, 82.
—	30.6	39.7	29.7	89.1	8.4	0	18.5	2.32	534	Johannsen, 1938, [52], 4, 243; [37a], 2, 30.
—	42.0	28.15	29.85	73.6	23.1	2.8	18.7	4.51	535	Tröger, 1935, [162], 124.
—	48.1	29.6	22.3	74.0	16.3	3.1	18.8	5.9	536	Erdmannsdörffer, 1907, [192], 59, M-ber 22; [126], 27, 272.
—	40.4	32.5	27.1	82.4	14.6	2.4	18.9	2.58	537	O'Neill, 1914, [106], 43, 35, 37.
—	53.1	29.4	17.5	65.8	40.0	0.3	20.1	6.2	538	Tröger, 1935, [162], 223; [188], 16, 168.

№ п.п.	№ Трёга	Название	Минералогический состав	a	c	b	s
539	571	Нефелино-олигоклавовый андезит . . . . .	42Pl <sub>40-20</sub> , 22Au, 18nSan, 9mt, 8Ne, 1ap	18.5	3.4	19.1	59.0
540	384	Пасифицит . . . . .	49(Or <sub>28</sub> , Ab <sub>29</sub> , Cg <sub>42</sub> , An <sub>2</sub> ), 25 Au, 13mt, 10Pl <sub>58-53</sub> , 3(Ol <sub>15</sub> , ap)	16.0	2.9	24.9	56.2
541	485	Ковит . . . . .	52nOr <sub>46</sub> , 19Hb, 13AegDi, 9Ne, 7(ti, mt, ap)	19.4	3.0	18.2	59.4
542	507	Нозикомбит . . . . .	31nSan <sub>52</sub> , 27Ne, 26nHb, 8Pl <sub>30</sub> , 5Bi, 3(mt, ti, ap, rnk)	20.7	4.2	13.8	61.3
543	560	Лейцитовый мончикит * . . . . .	31tiAu, 7Le, 5mt, 2Pl <sub>50</sub> , 55 стекло с микролитами (tiAu, nHb, Pl, mt, ap)	16.0	5.2	21.7	57.1
544	655	Анальцимовый базальт . . . . .	51anal, 28tiAu, 8Ol, 7Pl <sub>60</sub> , 6(mt, ap)	17.4	2.7	22.9	57.0
545	583	Браччанит . . . . .	33Le, 32Au, 15Pl <sub>75</sub> , 7nSan <sub>40</sub> , 7Ne, 6(mt, Ol, ap)	16.5	4.0	22.9	56.6
546	576	Нефелиновый тephрит . . . . .	42Pl <sub>60-45</sub> , 30tiAu, 15 Ne, 6mt, 4nSan, 3ap	15.5	5.4	23.1	56.0
547	420	Бороланит* . . . . .	34psLe(Or, Ne), 33Or, 25gr, 8Bi	20.1	2.9	18.0	59.0
548	542	Эссексит . . . . .	39(Hb, Bi, Di), 30Pl <sub>50</sub> , 12pMr <sub>60</sub> , 10Ne, 9(ti, ap, mt)	18.1	3.1	21.7	57.1
549	582	Везувит * . . . . .	40Le, 34Au, 18Pl <sub>70</sub> , 6(Ol, mt, ap), 2(Ne, Sod)	17.3	3.6	23.2	55.9
550	563	Нефелиновый тешенит . . . . .	38Ne, 35(tiAu, nHb), 20(anOr, Pl) <sup>20</sup> <sub>60</sub> , 5mt, 2ap	15.5	6.3	23.2	55.0
551	578	Кулайт . . . . .	48(Pl <sub>80-40</sub> , Or), 18tiAu, 15nHb, 13Ne, 6(mt, ap, Ol)	18.0	4.5	21.6	55.9
552	510	Нефелиновый монцонит . . . . .	26Pl <sup>3</sup> <sub>67</sub> , 25anOr <sup>10</sup> <sub>61</sub> , 25(nHb, tiAu), 17Ne, 6mt, 1ap	18.8	5.8	18.6	56.8
553	564	Лугарит * . . . . .	42anal, 22tiAu, 17Hb, 11Pl <sub>67-25</sub> , 8(mt, Ol, ap)	22.3	1.1	19.4	57.2
554	562	Бьерезит . . . . .	26Pl <sub>40</sub> , 26Ne, 18anal, 15Or, 9tiAu, 6(mt, ap)	25.6	4.5	10.8	59.1

Класс 6, группа 22, подгруппа 6):

555	235	Минверит . . . . .	45(tiAu, Hb), 34Ab, 17(ep, chl), 4(calc, ap, pr, leuc)	10.9	3.9	29.9	55.3
556	381 <sup>1/2</sup>	Линозаит . . . . .	47Pl <sub>60</sub> , 20Au, 14Ol, 10mt, 5Ne, 1ap	10.3	4.3	30.5	54.9
557	271	Абсарокит . . . . .	26San <sup>2</sup> <sub>18</sub> , 25Au, 24Ol, 22Pl <sup>5</sup> <sub>55</sub> , 3(mt, ap, Bi)	10.4	3.1	32.5	54.0
558*		Лимбургит . . . . .	Norm: or — 12·2; ab — 8·4; ne — 5·4; an — 15·6; di — 28·2; fo — 15·0; mt — 4·9; il — 6·2; ap — 2·0	7.6	3.7	37.4	51.3
559	640 <sup>1/2</sup>	Балдит . . . . .	49anal, 40Au, 6mt, 4Ol, 1ap	11.6	3.0	30.5	54.9

$a'$	$f'$	$m'$	$c'$	$n$	$\varphi$	$t$	$Q$	$\frac{a}{c}$	п. №	Источник
—	40.3	25.2	34.5	83.0	12.2	2.9	22.4	5.45	539	Washington, 1926, [7], (5), 12, 402, 404.
—	44.4	27.9	27.7	83.8	15.3	7.7	22.5	5.5	540	Barth, 1930 [95], 20, 60; [7], (5), 15, 211.
—	39.4	22.4	38.2	62.3	16.2	2.0	23.0	6.46	541	Washington, 1901, [91], 9, 612; [28], 11, 399.
—	46.2	35.9	17.9	69.7	6.2	2.0	23.0	4.93	542	Niggli, 1923, [77], 1, 158; [132], (4), 4, 32,
—	40.0	34.9	25.1	58.7	20.3	2.4	23.0	3.08	543	Hibsch, 1898, [188], 17, 76; [188], 14, 103.
—	33.4	26.5	40.1	85.0	21.7	3.5	23.5	6.45	544	Lindgren, 1883 [7], (3), 45, 289; [44], 178, 532.
—	32.9	32.3	34.8	30.7	13.5	1.9	23.8	4.13	545	Lacroix, 1917, [44], 165, 1030; [155a], 113.
—	41.9	23.5	34.6	80.9	28.1	2.7	24.4	2.87	546	Rosenbusch, 1877, [118], 1, 492; [59], 87, 30.
—	31.8	11.1	57.1	39.0	22.2	2.7	25.1	6.94	547	Horne и Teall, 1892, [184], 37, 163; Shand, 1908, [184], 9, 202.
—	43.9	25.6	30.5	78.5	10.3	4.5	25.1	5.85	548	Sears, 1892, [26], 23, 146; [91], 7, 57.
—	36.3	31.3	32.4	36.0	9.5	1.7	26.4	4.8	549	Lacroix, 1917, [44], 165, 483; [155a], 105.
—	47.0	21.2	31.8	68.2	15.4	3.8	27.3	2.46	550	Tyrell, 1923, [75], 60, 250; [162], 137.
—	33.7	41.3	25.0	67.7	10.3	0.1	28.7	4.0	551	Washington, 1894, [7], (3), 47, 114; [91], 8, 613.
—	46.3	26.7	27.0	78.2	20.1	2.5	29.8	3.25	552	Lacroix, 1902, [132], (4), 4, 33; 1922 [119], 2, 626; [132], (4), 5, 194.
—	48.0	19.6	32.5	89.7	10.3	3.7	31.3	2.03	553	Tyrell, 1912, [75], (5), 9, 77; [147], 72, 110.
—	74.7	13.7	11.6	83.7	41.1	0.9	37.5	5.7	554	Erdmannsdörffer, 1928, [28], 85, 87.

$$Q < -15; \frac{a}{c} > 2; 45 > b > 25$$

—	39.6	40.3	20.1	91.2	9.6	3.2	15.1	2.8	555	Devey, 1910, [107], 335, 336, 46; [107], 348, 100.
—	33.0	47.1	19.9	77.9	8.8	5.8	15.1	2.39	556	Johannsen, 1938, [52], 4, 68; [91], 16, 23.
—	22.8	59.2	18.0	46.8	9.7	0.7	15.9	3.36	557	Iddings, 1895, [91], 3, 938.
—	30.2	48.2	21.6	61.4	7.5	5.3	16.3	2.05	558	Rosenbusch, 1872, [126], 53; [122], 8, 177. Skeats и Summers 1912 [30] 24, 28
—	23.2	46.3	30.5	62.8	12.4	0.9	16.4	3.86	559	Johannsen, 1938, [52], 4, 393; [13], 20, 548.

№ п.п.	№ Тр- гера	Название	Минералогический состав	a	c	b	s
560	581	Лейцитовый тефрит *	35Pl <sub>70</sub> , 27Le, 27Py, 5Ol, 3Ne, 3(mt, ap)	11.3	5.2	27.9	55.6
561	595 <sup>1/4</sup>	Кивит . . . . .	33Pl <sub>45</sub> , 3KNafд основная мас-са, 25Au, 19Le, 13mt, 5Ol, 2ap	10.4	5.0	30.2	54.4
562	489	Шонкинит . . . . .	46Au, 20Or <sub>25</sub> , 10Ol, 8Bi, 6Ne, 6mt, 4ap	8.9	1.5	38.5	50.7
563	272	Вудендит . . . . .	30Au, 10Ol, 10(mt, ap), стекло (San+Pl)	11.2	2.4	33.0	53.4
564	595 <sub>2</sub>	Лейцитовый база- нит . . . . .	30Le, 28Pl <sub>57-35</sub> ; 35-25; 23ti — Au, 9mt, 8Ol, 2(ap, calc) fds → Ab, Ol, Au, anal	13.7	3.7	26.1	56.5
565*		Пикротешенит . .		9.0	2.5	37.4	51.1
566	285	Мафраит . . . . .	44Hb, 32Pl <sub>45</sub> , 10Py, 8nSan, 5mt, 1ap	11.6	4.6	29.3	54.5
567	648	Каянит . . . . .	33Bi, 37Di, 22Le, 5Ol, 3mt	10.1	2.9	35.3	51.7
568	521	Эвстратит . . . . .	40Au, 9Pl <sub>50</sub> , 5Ol, 6mt, 6(Bi, ap), 34 основная масса из San и стекла (San+Ne)	13.3	2.2	30.0	54.5
569	600	Сканоит . . . . .	20tiAu, 15mt, 12Ol, 8anal, 3ap, 42 стекло (Pl)	11.3	2.5	32.3	53.9
570	498	Саннант . . . . .	29Or, 14Au, 12nHb, 16chl, 11calc, 7Aeg, 5Ne, 6(ap, mt, ti, pr)	11.5	2.8	32.9	52.8
571	594	Палагонит . . . . .	Norm: or — 5·6; ab — 30·7; an — 11·1; ne — 7·5; di — 20·0; ol — 13·7; mt — 8·4; il — 1·4;	12.5	2.6	31.2	53.7
572	592	Манджурият . . .	32Py, 11Ne, 7Ol, 7mt, 1ap, 42 стекло (Pl+nSan)	14.3	3.8	25.8	56.1
573	262	Марозит . . . . .	33Bi, 30Au, 15San <sup>2</sup> <sub>23</sub> , 14Pl <sub>89</sub> , 8(ap, mt)	10.3	3.1	34.9	51.7
574	751	Коппаелит . . . . .	35Di, 33MeI, 29PhI, 3(per, ap, mt)	7.8	2.3	41.2	48.7
575	373	Камptonит *	47Pl <sub>65</sub> , 31tiAu, 10nHb, 9Ol, 3(mt, ap)	12.1	4.7	29.5	53.7
576	515	Бескинкинит . . .	66nHb, 16(Не, anOr, Pl <sub>50</sub> ), 12tiAu, 6(Ol, mt, ap)	8.9	4.3	36.5	50.3
577	396	Тералито-диабаз *	45Pl <sub>75-30</sub> , 30tiAu, 12chl, 8mt, 5(calc, ap, pr, ti)	10.1	4.7	39.6	51.6
578	260	Кенталленит *	24Au, 22Ol, 22Or, 20Pl <sub>35</sub> , 10Bi, 2(mt, ap)	9.9	2.8	36.9	50.4
579	495	Тьозит . . . . .	49Au, 20mt, 10Ne, 9ap, 7anOr, 5Bi	9.1	2.5	39.0	49.4
580	319	Одинит . . . . .	53Pl <sup>6</sup> <sub>33</sub> , 42Hb, 5(mt, ap)	13.3	5.4	26.3	55.0
581	274	Калиевый спилит	38Pl <sub>50-20</sub> ; 28Or, 14Ol, 12Au, 8 (calc, Q, chl, serp)	12.3	3.5	31.2	53.0
582	566 <sup>1/2</sup>	Гленмуирият *	35Pl <sub>60-50</sub> , 27Au, 15anal, 13Ol, 3KNafд, 7(mt, Bi, ap)	15.1	3.2	26.2	55.5
583	595 <sub>1</sub>	Лейцитовый база- нит . . . . .	46Au, 18Pl <sub>65</sub> , 15Le, 10Ol, 5Bi, 6(mt, ap)	10.0	4.1	35.1	50.8
584	631	Миссурит . . . . .	50Di, 16Le, 15Ol, 8anal 6Bi, 5(mt, ap)	9.4	1.4	40.7	48.5

$a'$	$f'$	$m'$	$c'$	$n$	$\phi$	$t$	$Q$	$\frac{a}{c}$	$\frac{n}{\pi}$	$\frac{\pi}{\Sigma}$	Источник
—	23.2	42.8	34.1	38.1	4.8	1.6	16.6	2.17	560	—	Rosenbusch, 1877, [118], 495; [195], 14, 232.
—	35.8	41.0	23.2	54.5	5.0	4.4	17.0	2.08	561	—	Lacroix, 1923, [119], 3, 265. Holmes, 1937, [111], 3 <sub>2</sub> , 12, 104
—	27.0	38.6	34.4	42.0	7.3	1.3	17.5	5.93	562	—	Pirsson, 1895, [28], 6, 415; [37], 237, 102.
—	28.4	49.2	22.4	60.5	11.9	3.9	18.0	4.66	563	—	Skeats и Summers, 1912, [30], 24, 31.
—	41.3	30.5	28.2	38.4	8.4	5.5	18.1	3.7	564	—	Rosenbusch, 1887, [118], 760, [111], 132.
—	27.7	57.4	14.9	76.1	10.1	3.8	18.3	3.6	565	—	Flett, реф. 1933, [126], 419.
—	39.5	30.9	29.6	78.8	8.8	4.75	18.8	2.52	566	—	Lacroix, 1920, [44], 170, 22, 25.
—	22.5	58.0	19.5	33.3	8.1	3.4	19.7	3.48	567	—	Lacroix, 1926, [44], 182, 600; [141], 12, 151.
—	22.5	47.7	29.8	62.4	8.8	1.8	19.8	6.05	568	—	Ktenas, 1928, [44], 186, 1632.
—	24.2	53.4	22.7	90.6	8.7	7.8	19.8	4.52	569	—	Lacroix, 1924, [44], 178, 534; [24a], 33, 153.
—	31.6	30.5	37.9	45.0	10.0	3.5	20.2	4.1	570	—	Brögger, 1920, [161], 318, 186.
—	34.9	46.1	19.0	88.5	15.0	1.0	20.2	4.80	571	—	Waltershausen, 1846, [163], 34, [162], 247.
—	46.4	22.9	30.7	86.0	17.7	4.6	20.2	3.76	572	—	Lacroix, 1928, [29], 7, 47, 57 и 58.
—	30.8	39.0	30.2	29.0	8.6	3.7	20.3	3.32	573	—	Iddings, 1913, [83], 2, 246; 1915, [91], 23, 233; [83], 2, 627.
—	18.3	42.4	39.3	41.4	18.3	0	20.5	3.4	574	—	Sabatini, 1903, [24], 34, 376; [24], 14, 318.
—	44.7	30.3	25.0	97.6	10.2	6.9	21.5	2.58	575	—	Rosenbusch, 1887, [118], 333; [7], (3), 17, 150.
—	26.2	46.5	27.3	89.6	8.7	4.0	21.5	2.07	576	—	Rosenbusch, 1907, [118], 441; [132], (4), 5, 229.
—	40.3	35.9	23.8	77.4	18.1	0.3	21.7	2.15	577	—	Erdmannsdörffer, 1907, [192], 59, M-ber, 22; [88], 29 <sub>1</sub> , 20.
—	18.4	64.9	16.7	63.3	18.4	0.4	21.8	3.54	578	—	Hill и Kynaston, 1900, [147], 56, 531; [162], 117.
—	37.5	38.4	24.1	72.6	23.4	8.9	21.9	3.64	579	—	Brögger, 1906, [133], 44, 128; [161], 1933 <sub>1</sub> , 78.
—	32.0	44.7	23.3	83.2	9.5	1.4	22.0	2.46	580	—	Chelius, 1892, [131], (4), 13, 4; [131], 5 <sub>2</sub> , 102.
33,3	19.1	47.6	—	47.8	19.1	0	22.1	3.51	581	—	Sargent, 1917, [147], 73, 17, 22.
—	34.9	35.1	30.0	75.0	7.5	4.8	22.4	4.72	582	—	Johannsen, 1938, [52], 4, 194; [75], 9, 69.
—	26.2	43.1	30.7	63.2	13.2	5.1	22.5	2.44	583	—	Rosenbusch, 1887, [118], 760; [162], 247.
—	18.1	56.5	25.4	28.0	6.1	1.2	22.8	6.7	584	—	Weed и Pirsson, 1896 [7], (4), 2, 315, 321.

№ п.п.	№ Трёхгера	Название	Минералогический состав	a	c	b	s
585	591	Нефелиновый базанит . . . . .	41tiAu, 20Pl <sub>45</sub> , 13San, 10Ne, 7mt, 1ap	12.2	3.5	31.8	52.5
586	643	Лейцитит . . . . .	50Au, 30Le, 6Ne, 5Pl <sub>90</sub> , 9(Mel, Ol, mt, ap)	12.5	3.1	31.9	52.5
587	642 <sup>1/3</sup>	Угандинит . . . . .	44Au, 17Ol <sub>10</sub> , 16Le, 14anOr, 7mt, 2(ap, calc)	9.1	2.7	39.3	48.9
588	624	Весселит . . . . .	30tiAu, 20nHb, 20Bi, 14Ne, 5Hay, 5Ol, 6(mt, ap)	12.1	5.0	30.4	52.5
589	579	Бухонит . . . . .	30(Pl <sub>65,52</sub> , nSan) 25Au, 20nHb, 14(Ne, anal), 6mt, 3Bi 2(ap, calc)	15.5	3.3	26.2	55.0
590	577	Атлантизит . . . . .	42tiAu, 31Pl <sub>65</sub> ; 65-55 11Ne, 9mt, 5Ol <sub>20</sub> , 2ap	10.0	4.9	34.8	50.3
591	565 <sup>1/3</sup>	Богузит * . . . . .	30Au, 30Pl <sub>60</sub> , 27anal, 6mt, 3ap	15.1	4.7	25.2	55.0
592	565	Тешенит . . . . .	43(tiAu, nHb), 27Pl <sub>60-45</sub> , 16anal, 10mt, 4(ap, pr)	12.3	4.4	31.0	52.3
593	381	Щелочной базальт*	47Pl <sub>55</sub> , 35tiAu, 11Ol, 7(mt, ap)	11.9	2.5	34.7	50.9
594	584	Кивит . . . . .	38tiAu, 23Pl <sub>75-40</sub> , 17Le, 10mt, 5Ol, 5Bi, 2ap	11.7	3.5	34.1	50.7
595	613	Нефелиновый уачитит . . . . .	33Bi, 25Au, 28(Ne, anal), 6mt, 6carb, 2ap	10.7	4.2	35.4	49.7
596	642 <sup>1/3</sup>	Лутализит . . . . .	42Au, 16Le, 6Ol, 10(mt, ap), 26 стекло (18Ne, 8Pl <sub>35</sub> )	13.9	3.0	31.7	51.4
597	644 <sub>1</sub>	Оливиновый лейцитит * . . . . .	53tiAu, 24Le, 8Ne, 7Ol, 8(ap, mt, Bi)	10.8	2.3	39.3	47.6
598	311	Плюмазит . . . . .	75Pl <sub>28</sub> , 23Cor, 2(mt, gr, Mu, ap)	12.2	4.8	32.8	50.2
599	374	Мончикит* . . . . .	24tiAu, 5Ol, 4mt, 67 стекло (Pl+Ne) богатое микролитами Py, nHb, mt, ap	12.5	3.8	34.5	49.2
600	623	Анкарратрит . . . . .	56tiAu, 14Ne, 10Ol, 8Bi, 12(mt, ap, per, Mel)	8.8	2.8	43.8	44.6
601	502	Санидиновый нефелинит . . . . .	33Py, 29(Ne + Nos), 15mt, 10San, 7ap, 6(Ol, Hb, Bi)	15.2	2.3	32.8	49.7
602	615	Нефелинит . . . . .	44tiAu, 23Ne, 14Hay, 7mt, 2ap, 10 стекло (Pl+San+Ne)	17.3	2.9	28.9	50.9
603	637	Риденизит . . . . .	43AegAu, 27Bi, 25Nos, 5(ti, mt, ap)	14.4	3.7	33.8	48.1
604	650	Гаюинит . . . . .	54tiAu, 38Hay, 8(mt, ap, Bi)	15.7	4.7	30.3	49.3
605	622	Монтличеллито-нефелиновый базальт . . . . .	27Ne, 27tiAu, 27Mont, 14Ol, 5(mt, ap, Bi, per)	11.7	4.2	42.9	21.2

Класс 6, группа 22, подгруппа 6<sub>1</sub>):

606	688	Полевошпатовый якунирангит* . . . . .	57Au, 14nHb, 13Pl <sub>45-40</sub> , 10mt, 6(ap, calc)	4.8	1.4	46.3	47.5
607	625	Калиевый анкаратрит . . . . .	60Au, 15mt, 14(Ne+Le), 8(Ol <sub>10</sub> , Bi), 3(per, ap)	4.8	2.0	46.9	46.3

$a'$	$t'$	$m'$	$c'$	$n$	$\varphi$	$t$	$Q$	$\frac{a}{c}$	№ п. п.	Источник
—	33.4	38.4	28.2	68.5	17.2	3.3	22.9	3.48	585	Rosenbusch, 1887, [118], 763; [188], 28, 57.
—	23.6	36.6	39.8	27.7	10.9	1.9	23.1	4.03	586	Rosenbusch, 1877, [118], 515; [155a], 131.
—	24.4	53.2	22.4	57.0	4.2	4.1	23.1	3.87	587	Holmes, 1937, [111], 3 <sub>2</sub> , 11, 65.
—	36.8	37.2	26.0	66.7	14.2	1.6	24.2	2.42	588	Scheumann, 1932, [40], 504, [162], 257.
—	40.1	33.7	26.2	73.9	19.3	3.8	24.3	4.7	589	Sandberger, 1872, [160], 203; [158], 1933 <sub>3</sub> , 13.
—	35.8	37.4	26.8	79.7	14.2	3.5	24.3	2.04	590	Lehmann, 1924, [195], 4, 175, 119.
—	43.5	26.2	30.3	59.8	24.7	0	24.4	3.21	591	Johannsen, 1938, [52], 4, 220; [159], 53 <sub>1</sub> , 276.
—	44.7	27.8	27.5	75.6	18.5	5.3	24.4	2.80	592	Hohenegger, 1861, [72], 43; [162], 237.
—	29.5	45.3	25.2	74.4	9.9	3.9	24.5	4.75	593	Hirsch, 1910, [188], 29, 402; [58a], 47.
—	41.0	32.5	26.5	57.0	14.3	4.6	25.5	3.34	594	Lacroix, 1923, [119], 3, 265; [162], 243.
—	33.4	43.7	22.9	48.0	10.1	4.9	26.2	2.55	595	Flett, 1911, [109], 35, 44, 46.
—	33.1	35.0	31.9	58.2	10.2	3.8	28.0	4.64	596	Holmes, 1937, [111], 32, 10, 75.
—	25.8	38.1	36.1	53.0	15.2	4.1	28.7	4.7	597	Брит. петр. ком. 1921 [121], 19, 142. Tröger, 1935, [162]; [88], 35 <sub>2</sub> , 194.
95.6	2.8	1.6	—	93.5	1.2	0.1	28.8	2.54	598	Lawson, [190], 3, 217; [180], 25, 52,
—	33.4	39.3	27.3	83.1	12.6	5.4	30.4	3.29	599	Hunter и Rosenbusch, 1890, [188], 11, 445; [36], (4), 26, 344.
—	23.9	44.3	31.8	70.6	8.0	6.0	31.2	3.14	600	Lacroix, 1916, [44], 163, 256, 258.
—	42.2	28.1	29.7	75.7	28.3	7.3	33.3	6.61	601	Nieland, 1931, [126] Beil, 63A, 85, 86.
—	33.9	20.3	45.8	79.3	32.7	4.2	35.7	5.96	602	Zirkel, 1866, [98], 2, 258; [188], 16, 347.
—	32.9	25.7	41.4	71.3	13.1	3.1	36.3	3.89	603	Brauns, 1922, [126], Beil, 46, 76, 80.
—	37.2	26.7	36.1	73.2	17.2	3.7	37.5	3.34	604	Reinisch, 1917, [59], 147, 68, 69.
—	32.6	33.7	33.7	78.2	11.6	2.3	45.2	2.78	605	Tilley, 1928, [75], 65, 29; [188], 25, 312.

$$Q < -15; \quad 7 > \frac{a}{c} > 2; \quad b > 45; \quad a+c > 5$$

—	30.8	31.0	38.2	70.3	15.7	10.5	16.0	3.43	606	Tröger, 1934, [188], 45, 215, 216.
—	25.8	36.9	37.8	52.6	10.2	7.7	19.0	2.4	607	Holmes, 1932, [147], 88, 387, 390.

№ п.п.	№ Тр. гера	Название	Минералогический состав	a	c	b	s
608	709	Шрисхеймит*	44Hb, 42Ol, 7Phl, 5Di, 1(mt, ap)	3.5	1.7	51.5	43.3
609	626	Анкаратрит-никрит	53tiAu, 28Ol, 11Ne, 9(Bi, Pl, mt, Mel, per, ap)	5.1	2.4	48.1	44.4
610	664	Модлибовит*	34Mel, 22Ol, 22Bi, 16(лазурит +Ne), 6(per, ap, mt, chr)	10.0	3.3	47.2	39.5
611	747	Биотитовый альнейт	38Mel, 33Bi, 11calc, 7mt, 5ap, 6(per, Ol, Mont)	9.2	2.0	51.8	37.0
612	640	Турьит*	40светлая слюда, 20anal, 20calc, 18gr, 2(Aeg, ap, mt, per)	13.1	2.3	45.3	39.3
613	663	Везецит*	33Mel, 23Ol, 14(Ne, Hay), 12Bi, 10Mont, 8(per, ap, chr, mt, pr)	8.7	1.8	55.7	33.8
614	660	Нефелиновый окант	49Mel, 21Ne, 8mt, 6Bi, 5Hay, 11(ap, calc, per, pr)	11.8	4.4	45.7	38.1
615	757	Карбонатитовый альнейт	37calc, 29Bi, 16nHb, 14Au, 4(per, mt, барит)	7.8	2.0	58.4	31.8

*Класс 6, группа 22, подгруппа 8<sub>2</sub>):*

616	689	Апатитовый пироксенит*	74Di, 10ap, 10mt, 5Bi, 1(gr, ti, calc)	2.3	0.6	56.6	40.5
617	731	Саксонит	66Ol <sub>6</sub> , 31En <sub>6</sub> , 3(mt, ap, chr)	0.6	0.1	62.0	37.3
618	721	Оливиновый глимерит*	56Phl, 35Ol <sub>10</sub> , 6Au, 3(mt, per)	5.1	1.6	52.4	40.9
619	742	Кимберлит	60Ol <sub>11</sub> , 14calc, 13Phl, 6(gr, Di), 7(ap, mt, per)	1.9	0.7	65.4	32.0

*Класс 6, группа 23, подгруппа a):*

620	315	Девонит*	44Pl <sub>56</sub> , 28Pl <sup>30</sup> <sub>30</sub> , 20Py, 7mt, 1ap	13.4	8.7	19.8	61.1
621	278	Мангерит	42Pl <sub>30</sub> , 37Au, 14pMi <sup>12</sup> <sub>23</sub> , 7(mt, ap, zr)	11.3	8.3	23.4	57.0
622	628	Фергусит	65psLe(Or, Ne, цеолиты), 24Di, 8mt, 3(Ol, Bi, ap)	17.4	0.9	23.1	58.6
623	350	Сессералит	45Pl <sub>55</sub> , 41(Hb, Au), 12Cor, 2(mt, pr, ap)	9.2	17.5	15.6	57.7
624	486	Ледморит	33Or, 30AegAu, 20Ne, 10gr, 5Bi, 2ap	15.2	8.0	18.5	58.3
625	550	Дунганонит	72Pl <sub>55</sub> , 18Cor, 18Bi, 5 Ne, 2(mt, calc)	13.0	7.3	22.2	57.5

*Класс 6, группа 23, подгруппа b):*

626	566	Кринанит	37Pl <sub>50-15</sub> , 25tiAu, 25Ol, 6mt, 6anal, 1(ap, pr)	6.4	6.1	35.6	51.9
627	407	Токент	62Au, 18Pl <sub>58-53</sub> , 9Ol, 8mt, 3Bi	3.4	4.9	43.8	47.9

$a'$	$f'$	$m'$	$c'$	$n$	$\phi$	$t$	$Q$	$\frac{a}{c}$	н. н.	№	Источник
—	18.2	67.3	14.5	65.5	10.0	0.7	22.1	2.06	608		Rosenbusch, 1896, [118], 348; [162], 286.
—	18.3	65.8	15.9	72.1	2.2	3.0	23.8	2.22	609		Lacroix, 1916, [44], 163, 256.
—	26.3	48.7	25.0	75.6	11.4	3.6	44.3	3.03	610		Scheumann, 1922, [40], 496; [162], 272.
—	12.0	39.5	48.5	44.9	5.9	6.3	46.4	4.6	611		Stansfield, 1923, [75], 60, 551; [7], (5), 3, 10.
—	23.1	25.2	51.7	48.3	12.6	2.7	49.9	5.7	612		Белянкин и Куплетский, 1924, [204], вып. 18.
—	19.3	47.1	33.6	70.15	3.0	3.8	51.6	4.84	613		Scheumann, 1922, [40], 496; [162], 272.
—	18.1	18.1	63.8	85.9	9.4	4.6	51.8	2.68	614		Stansfield, 1923, [75], 60, 440; [7], (5), 11, 397.
—	18.3	27.1	54.6	42.3	8.0	5.4	54.0	3.9	615		Eckermann, 1928, [73], 50, 395, 394.

$Q < -15; \frac{a}{c} > 2; b > 45; a+c < 5;$

—	29.1	28.5	42.4	44.4	16.6	2.0	24.2	3.84	616		Larsen, 1929, [91], 37, 103.
0.5	9.0	90.5	—	83.3	2.0	0	26.7	6.0	617		Wadsworth, 1884, [99]; [106] 38, 386,
—	16.4	78.3	5.3	31.7	13.1	1.7	30.0	3.19	618		Tröger, 1935, [162], 291.
—	11.3	71.9	16.8	18.7	3.5	3.8	39.5	2.72	619		Lewis, 1887, [75], (3), 4, 22; [147], 88, 421.

$Q < -15; \frac{a}{c} < 2; b < 25$

—	48.4	46.1	5.5	63.4	14.8	1.8	16.3	1.54	620		Johannsen, 1910, [37], 419, 40; [146], 99, 533.
—	56.2	34.9	8.9	76.9	27.2	0	16.9	1.36	621		Kolderup, 1903, [20], 12, 109, 107,
—	33.5	33.5	33.0	36.7	18.8	0.35	18.5	1.93	622		Pirsson, 1905, [37], 237, 83, 74.
—	35.0	51.8	13.2	84.5	6.1	0.8	20.5	0.52	623		Millosevich, 1927, [18], (6), 5, 30.
—	48.1	34.2	17.7	56.0	32.1	2.1	21.8	1.90	624		Shand, 1910, [177], 9, 384; [177], (5), 9, 419.
82.8	9.7	7.5	—	86.0	3.8	0	22.3	1.78	625		Adams и Barlow, 1908, [183], (3), 2, 67; [183], (3), 24, 64.

$Q < -15; \frac{a}{c} < 2; 45 > b > 25$

—	36.5	49.9	13.6	93.6	4.6	4.1	15.1	1.05	626		Flett, 1911, [109], 35, 42, 46.
—	20.7	45.5	33.8	77.8	6.4	3.7	15.9	0.69	627		Duparc и Molly, 1928, [46], 45, 24, 25.

№ п.п.	№ Тр. гра	Название	Минералогический состав	a	c	b	s
628*		Лимбургит (Мурамбитаид) . . . .	Norm: or — 12·2; ab — 15·5; ne — 2·8; an — 20·0; di — 17·4; fo — 15·3; mt — 6·7; il — 6·8; ap — 2·0	7.6	4.9	35.4	52.1
629	261	Хортит . . . .	37tiAu, 25Hb, 14pMr <sup>2</sup> <sub>28</sub> , 10Pl <sub>32</sub> , 9calc, 5(ti, ap, везувиан, pr)	7.5	4.4	36.7	51.4
630	397	Монреалит . . .	60(tiAu, nHb), 15Ol, 19Pl <sub>50</sub> , 6(mt, ap, pr, ti, zr)	5.8	3.1	42.1	49.0
631	363	Себастианит * . .	45Pl <sub>95</sub> , 28Bi, 22Au, 5(mt, ap)	5.6	6.7	37.1	50.6
632	399	Тылант* . . . .	65Di, 20Pl <sub>90—60</sub> , 11Ol, 4(mt, Bi, sp)	3.1	5.1	44.6	47.2
633	693	Пироксенолит* . .	75Au, 20Bi, 4Le, 1(ap, Ol)	4.9	3.8	43.1	48.2
634	552	Нефелиновое габбро . . . . .	52(tiAu, nHb), 33Pl <sup>4</sup> <sub>62</sub> , 7Ne, 5mt, 3(Ol, ap)	9.0	7.1	30.1	53.8
635	360	Ружмонтит . . .	46Pl <sub>98</sub> , 35tiAu, 9Ol, 10(mt, ap)	2.9	12.4	34.5	50.2
636	359	Риколлетаит . . .	41Py, 39Pl <sub>62</sub> , 7mt, 5Ol, 4Or <sub>33</sub> , 4(Bi, ap)	2.2	14.0	33.5	50.3
637	544	Люскладит . . .	39tiAu, 35(Pl <sub>70</sub> , кайма — Or), 8Ol, 7mt, 5Bi, 5Ne, 1ap	8.8	5.5	33.2	52.5
638	382	Эссекситовый базальт . . . .	53Pl <sub>90—40</sub> ; 72—60; 18tiAu, 18Ol, 8mt, 3(Ne, ap)	8.0	7.5	31.9	52.6
639	568	Оливиновый тешенит . . . . .	32tiAu, 28nHb, 21Pl <sup>5</sup> <sub>45</sub> , 13Ol, 6(mt, ap, calc, pr)	6.3	3.7	41.1	48.9
640	553	Марёжит . . . .	48Au, 42Pl <sub>82</sub> , 6(mt, ap), 4Hay	5.7	11.0	31.4	51.9
641	561	Гепторит * . . .	30tiAu, 8Hb, 8Hay, 8(mt, ap), 46 стекло с микролитами лабрадора	8.5	8.0	30.3	53.2
642	322	Камптоспессартит*	40Pl <sub>45—27</sub> , 23tiAu, 19nHb, 9Ol, 8(mt, ap)	8.5	5.7	33.8	52.0
643	599 <sup>1/2</sup>	Кальтонит* . . .	44Au, 23Pl <sub>60—30</sub> ; 14anal, 13Ol, 6mt	8.0	6.3	34.1	51.6
644*		Пегматитоид . . .	Au, Ne, христианин, ap, ti, mt	8.4	7.3	32.4	51.9
645	595 <sup>3/4</sup>	Фиасконит . . . .	48Au, 17Le, 16Ol, 13An, 4Ne, 2(mt, ap)	7.1	4.5	39.2	49.2
646	404 <sup>1/2</sup>	Эунит . . . . .	56Au, 16Bi, 7mt, 2ap, 19 криптокристаллическая основная масса	6.2	4.8	41.0	48.0
647	593	Лимбургит * . . .	30tiAu, 9Ol, 4mt, 57 стекло (Ne+Pl) с микролитами Au	8.5	5.3	35.7	50.5
648	487 <sup>1/2</sup>	Местигмерит* . . .	45Ne, 45Au, 6ti, 4(ap, mt)	10.9	5.3	31.1	52.7
649	704	Лерцит . . . . .	81Hb, 15Bi, 4mt	6.7	6.0	39.0	48.3
650	364	Алливалит . . . .	49Pl <sup>1</sup> <sub>62</sub> , 43Ol, 6Au, 2(sp, chr, mt)	2.5	10.0	41.4	47.0
651	710	Гаюиновый горнблендит . . . .	60Hb, 25tiAu, 10mt, 4Hay, 1ap	4.1	6.1	44.2	45.6
652	545	Берондрит . . . .	44nHb, 18tiAu, 25Pl <sub>70—50</sub> , 7Ne, 6(mt, ap)	9.3	6.8	32.8	51.1
653	554	Килит* . . . . .	38Ol, 27Pl <sub>55—35</sub> , 25tiAu, 4Ne, 2anal, 4(Bi, ap, mt)	6.3	3.3	44.1	46.3

$a'$	$f'$	$m'$	$c'$	$n$	$\varphi$	$t$	$Q$	$\frac{a}{c}$	п. №	Источник
—	34.1	47.8	18.1	60.7	11.2	5.9	15.9	1.55	628	Skeats и Summers, 1912, [30], 24, 28, № 11.
—	29.6	16.3	54.1	66.7	4.9	1.9	16.6	1.70	629	Th. Vogt, 1915 <sub>8</sub> , [161], 5, 17.
—	23.7	48.3	28.0	71.7	9.3	3.6	16.7	1.87	630	Adams, 1913, [80], 3, 38, 39.
—	16.8	42.8	40.4	35.7	5.8	7.7	16.7	0.84	631	Lacroix, 1917, [44], 165, 210, 211.
—	25.7	47.5	26.8	92.0	10.2	0	16.9	0.61	632	Duparc и Pearce, 1905, [116], 34, 425, 440,
—	12.2	52.4	35.4	25.0	2.6	2.4	17.2	1.29	633	Lacroix, 1894, [132], (3), 6, 269; [44], 165, 211.
—	36.7	52.6	10.7	68.2	6.4	4.5	17.5	1.27	634	Lacroix, 1902, [132], (4), 4, 192.
—	30.8	39.8	29.4	85.7	12.0	3.4	17.8	0.23	635	O'Neill, 1914, [106], 43, 74, 76.
—	40.7	43.6	15.7	60.0	13.1	0.4	17.8	0.16	636	Johannsen, 1920, [91], 28, 224, [188], 21, 101.
—	32.4	46.5	21.1	68.2	5.6	4.8	18.1	1.6	637	Lacroix, 1920, [44], 170, 21, 24.
—	39.1	45.1	15.8	77.2	11.4	3.2	18.3	1.07	638	Lehmann, 1924, [195], 4, 175, 125.
—	25.1	50.1	24.8	72.9	5.7	3.5	18.5	1.7	639	Lacroix, 1890, [36], (3), 18, 529; [162], 237.
—	43.0	31.0	26.0	78.9	28.4	7.3	18.6	0.52	640	Lacroix, 1917, [44], 164, 587, 588.
—	24.5	47.5	28.0	76.7	11.7	2.9	18.6	1.06	641	Busz, 1904 <sub>2</sub> , [126], 86, 91.
—	48.0	32.2	19.8	90.2	15.5	5.8	18.7	1.49	642	Tröger, 1931, [66], 16, 139; 1931, [2], 166; [162], 141.
—	32.4	48.2	19.4	76.3	9.6	3.3	19.1	1.27	643	Johannsen, 1938, [52], 4, 242; [147], 84, 709.
—	40.7	26.2	33.1	58.2	22.2	6.2	20.3	1.15	644	Lacroix, 1928, [44], 187, 321; 1938, [44], 206, 548.
—	16.8	56.6	26.6	29.1	6.9	1.6	20.9	1.58	645	Johannsen, 1938, [52], 4, 307; [39], 57, 126.
—	28.0	43.0	29.0	62.2	17.1	6.7	21.2	1.29	646	Duparc, 1926, [14], 49, 119; 120.
—	31.0	41.8	27.2	51.6	14.6	5.7	21.3	1.6	647	Rosenbusch, 1872, [126], 53; [122], 8, 177.
—	35.7	35.2	29.1	83.8	25.5	5.3	21.7	2.06	648	Duparc, 1926, [14], 49, 120, 122.
—	17.2	64.6	18.2	75.0	2.0	9.4	22.8	1.12	649	Lacroix, 1917, [44], 165, 381, 387.
—	16.9	80.4	2.7	94.7	2.5	0.1	22.9	0.24	650	Harker, 1908, [109], 60, 71, 80.
—	29.9	40.8	29.3	76.7	20.1	12.0	23.1	0.67	651	Lacroix, 1917, [44], 164, 587, 588.
—	36.5	29.7	33.8	71.2	15.9	6.5	23.2	1.37	652	Lacroix, 1920, [44], 170, 22, 25.
—	21.1	62.1	16.8	74.5	1.7	2.1	23.3	1.91	653	Tyrell, 1912, [75], (5), 9, 122.

№ п.п.	№ Трёхгера	Название	Минералогический состав	a	c	b	s
654	499	Дамньернит . . .	32tiAu, 24Bi, 17Ne, 8sep, 6Or, 3calc, 9(mt, ap, pr, per, ti)	8.3	6.9	34.7	50.1
655	375	Рицционит . . .	34Au, 12Ol, 7(mt±sp), 47 стекло (Or+Pl)	8.2	7.0	35.0	49.8
656	356	Магнетитовый норит * . . .	70Pl <sub>55</sub> , 22ti-mt, 6Hy, 2Bi	6.5	11.2	32.3	50.0
657	391	Оливиновый диабаз . . .	54Pl <sub>80-15</sub> , 16Au, 16Ol, 8mt, 5Or, 1ap	9.6	7.2	27.6	55.6
658	377	Джумаррит . . .	35(tiAu, Hb), 10(mt, ap), 55 стекло с микролитами Py, Hb, Pl <sub>80-60</sub>	10.6	10.6	26.0	52.8
659	658	Мелилитовый фазинит . . .	42Ne, 32Py, 16mt, 8Mel, 2(ap, per)	10.4	5.9	33.7	50.0
660	607 <sup>1/2</sup>	Тасманит . . .	43(Ne, цеолиты), 32Py, 14mt, 8Mel, 3(ap, Ol, per)	10.4	5.9	33.7	50.0
661	403	Анортитовый исит	70Hb, 22An, 8mt	6.0	9.1	38.0	46.9
662	617	Оливиновый нефелинит * . . .	44Ne, 40tiAu, 7Ol, 5Pl <sub>30</sub> , 4(mt, ap, ренит)	8.9	5.0	38.7	47.4
663	712	Исит . . .	89Hb, 6Au, 5(mt, ap)	5.5	5.9	44.2	44.4
664	611	Фазинит . . .	67tiAu, 15Ne, 5Bi, 4Ol, 2nMr, 7(mt, ap)	9.9	5.5	36.3	48.3
665	286	Сёркедалит . . .	30Pl <sup>15</sup> <sub>50</sub> , 20Ol, 18mt, 12ap, 10nOr, 10Py	7.8	4.0	43.3	44.9
666	746 <sup>1/2</sup>	Холмит . . .	35Au, 30Mel, 20Ol, 10Bi, 5(mt, ap, per)	5.1	8.6	42.1	44.2
667	405	Уачитит . . .	44Bi, 26tiAu, 9calc, 6(mt, ap, ti, pr) 15 стекло(Pl <sub>90</sub> )	6.8	5.5	44.6	43.1
668	623 <sup>1/2</sup>	Танибушит . . .	62Au, 6mt, 14Ne, 6Ol, 2(ap, calc), 10 стекло(An, немного Ne)	9.7	5.3	39.8	45.2

Класс 6, группа 23, подгруппа 6):

669	690	Ямаскит . . .	57tiAu, 29nHb, 8(mt, pr), 6(pl, calc, ap, sp)	3.6	3.8	45.5	47.1
670	708	Кортландит . . .	65Hb, 17Ol, 15(Dial, Hy), 3(sp, mt, ap)	4.1	3.8	45.2	46.9
671	408	Анкарамит . . .	49tiAu, 18Pl <sup>8</sup> <sub>52</sub> , 17Ol, 9carb, 7(Bi, mt, ap)	4.0	2.6	47.4	46.0
672	404	Мадейрит* . . .	46tiAu, 25Ol, 23Pl <sub>80-60</sub> , 5mt, 1ap	3.7	3.9	46.4	46.0
673	409	Океанит . . .	40tiAu, 34Ol, 20Pl <sup>9</sup> <sub>59</sub> , 5mt, 1ap	3.6	4.0	46.7	45.7
674	701	Горнблендит . . .	91Hb, 4Ol, 5mt	4.6	3.3	45.9	46.2
675	694	Кромальтит . . .	54AegAu, 19gr, 15Bi, 8mt, 4ap	3.4	3.0	50.2	43.4
676	718	Родингит . . .	53gr, 36Dlg, 11(mt, ap, sp)	0	9.3	47.6	43.1
677	410	Пикритовый базальт . . .	45Ol, 27Au, 23Pl <sup>5</sup> <sub>60</sub> , 5(mt, ap)	3.3	3.2	50.7	42.8

Продолжение табл. В

$a'$	$f'$	$m'$	$c'$	$n$	$\varphi$	$t$	$Q$	$\frac{a}{c}$	Н. №	Источник
—	31.1	42.5	26.4	10.3	9.5	5.9	23.3	1.2	654	Brögger, 1920, [161], 276, 303.
—	30.8	44.8	49.8	64.4	13.2	0.7	23.8	1.17	655	Doelter, 1902, [159], 111 <sub>1</sub> , 977. Went, 1903, [159], 112, 274, 978.
1.0	87.6	11.4	—	73.8	45.8	10.0	24.2	0.58	656	Lombaard, 1932, [180], 35, 125; [162], 158.
—	48.0	37.0	15.0	77.9	5.5	3.4	25.2	1.33	657	Rosenbusch, 1877, [118], 317; [162], 172,
—	50.3	44.9	4.8	?	50.3	0	26.2	1.0	658	Viola, 1901, [24], 32, 309, 305,
—	36.3	26.1	37.6	87.1	14.9	7.0	26.7	1.76	659	Erdmannsdörffer u. Nieland, 1928, [61], 50 <sub>4</sub> ; [61], 50 <sub>4</sub> , 13.
—	36.3	87.1	37.6	87.1	14.9	7.0	26.7	1.76	660	Johannsen, 1938, [52], 4, 318; [61], 50 <sub>4</sub> , 13.
—	40.6	37.9	21.5	93.0	14.3	0	27.3	0.66	661	Tröger, 1935, [162], 175; Du- parc и Pearce, 1902, [116], 34, 170; [116], 34 <sub>2</sub> , 171.
—	25.6	49.3	25.1	81.5	10.2	3.9	28.0	1.78	662	Брит. петр. ком. 1921, [121], 19, 142; [162], 257.
—	43.9	27.7	28.4	75.0	13.6	2.5	28.1	0.93	663	Duparc и Pamfil, 1910, [44], 151, 1136, 1137.
—	33.8	39.6	26.6	75.0	14.7	5.2	28.7	1.8	664	Lacroix, 1916, [44], 163, 257; [132], (4), 4, 138.
—	52.4	26.2	21.4	77.8	12.7	1.0	29.8	1.95	665	Brögger, 1933, [161], 35; [161], 1933 <sub>1</sub> , 26.
—	18.9	55.7	25.4	67.6	5.3	4.5	30.4	0.59	666	Johannsen, 1938, [52], 4, 378; [184], 38, 898.
—	26.5	45.1	28.4	33.3	16.4	0.8	32.9	1.23	667	Kemp, 1890 <sub>2</sub> , [10], 393, 399.
—	27.7	41.5	30.8	77.8	13.6	1.9	34.3	1.83	668	Johannsen, 1938, [52], 4, 364; [188], 17, 49.

$Q < -15$ ;  $\frac{a}{c} < 2$ ;  $b > 45$ ;  $a+c > 5$

—	32.1	37.2	30.7	70.4	15.6	7.1	16.8	0.95	669	Joung, 1904, [11], 33.
—	28.3	58.6	13.1	72.7	5.8	3.7	18.2	1.08	670	Williams, 1886 [7], (3), 31, 29; Tröger, 1935, [162]; [83], 2, 337.
—	15.0	58.2	26.8	62.5	3.7	2.2	18.6	1.54	671	Lacroix, 1916, [44], 163, 182; [119], 3, 49.
—	23.9	49.3	26.8	78.6	8.5	4.2	19.3	0.95	672	Gagel, 1913, [192], 64, 382, 399.
—	23.5	66.7	9.8	80.0	4.8	3.4	19.8	0.9	673	Lacroix, 1923, [119], 3, 49, 50.
—	25.3	56.1	18.6	94.7	7.5	1.2	20.1	1.4	674	Dana, 1880, [7], (3), 20, 199; [7], (4), 38, 81.
—	30.2	25.4	44.4	61.5	18.0	7.4	23.0	1.13	675	Shand, 1910, [177], 9, 394, 417.
—	22.3	24.6	53.1	0	11.6	3.1	23.1	0	676	Marshall, 1911, [31], 12, 31, 33.
—	21.9	74.1	4.0	78.6	4.1	1.8	24.2	1.03	677	Quensel, 1919, [27], 11, 265, 287.

№ п.л.	№ Трёхгера	Название	Минералогический состав	a	c	b	s
678	698	Пикрит . . . .	34tiAu, 31Ol, 25nHb, 5(mt, ap, calc), 5 стекло (anal, Pl)	4.4	3.0	48.9	43.7
679	714	Аvezакит . . . .	64(Hb, Au), 17mt, 11ap, 8ti	3.8	1.9	52.2	42.1
680	743	Пикрит . . . .	51Ol, 37Au, 8Pl <sub>ss</sub> , 4(mt, ap, pr, sp)	1.6	4.1	53.4	40.9
681	401	Харизит . . . .	64Ol <sub>17</sub> , 28Pl <sup>2</sup> <sub>81</sub> , 7Au, 1(sp, chr)	1.3	5.6	52.1	41.0
682	670	Мелилитовый анкаратрит . . . .	56tiAu, 14Mel, 11Ne, 8mt, 7(Bi, Ol), 4(sp, ap)	6.5	3.7	45.5	44.3
683	685	Острайт . . . .	72Au, 21sp, 7mt	1.4	11.9	45.1	41.9
684	406	Флоринит . . . .	26Ol, 21Au, 8Bi, 8(mt, ap), 38 цеолитизированный мезостазис	4.1	4.5	50.8	40.6
685	711	Вибетоит . . . .	64(Hb, Au), 14calc, 10Bi, 9ap, 3(mt, pr, ti)	5.9	3.5	51.3	39.3
686	748	Монтичеллитовый альянэйт . . . .	30Ol, 25Mel, 20Bi, 10Mont, 6Au, 9(per, mt, ap)	3.4	1.7	61.1	33.8
687	661	Окайт* . . . .	53Mel, 21Hay, 8Bi, 7mt, 6per, 5(ap, calc, pr)	7.6	5.2	48.9	38.3
688	715	Квеллит . . . .	30nHb, 22mt, 15Lep, 13Ol, 11ap, 6anOr, 3Ne	6.9	4.1	53.3	35.7
689	777	Арапагит . . . .	56mt, 25Pl <sup>14</sup> <sub>71</sub> , 15Au, 4ap	2.1	6.3	65.6	26.0
690	776	Марундит . . . .	63маргарит, 33Cor, 4Bi	4.7	8.4	69.1	17.8

Класс 6, группа 23, подгруппа 8:

691	683	Косвит . . . .	74Di, 19Ol, 7(mt, sp)	0.8	1.7	55.6	41.9
692	768	Ильменитит . . . .	99il—mt, 1Hy	0	0	60.0	40.0
693	770	Нельсонит . . . .	58il, 31ap, 9ru, 2(pr, Hy)	0	0	61.3	38.7
694	741	Гаревайт . . . .	42Ol <sub>12</sub> , 42Di, 9Pl <sup>3</sup> <sub>65</sub> , 7(sp, mt, chr)	1.6	1.2	56.4	40.8
695	735	Лерцолит . . . .	50Ol, 32Bron, 15Dlg, 3(mt, ap, sp)	0.3	2.4	57.8	39.5
696	737	Гордунит . . . .	62Ol <sub>9</sub> , 26Di, 10gr, 2(sp, mt)	0	1.5	60.1	38.4
697	686	Мархит . . . .	50Di, 45En, 5(mt, ti, ap)	0	0.8	61.4	37.8
698	734	Верлит . . . .	38Ol <sub>50</sub> , 30Dlg, 21mt, 11Hb	0.9	0.5	60.2	38.4
699	738	Амфиболовый перидотит . . . .	78Ol, 20Hb, 2mt	0	1.2	61.0	37.8
700	775	Алексоит . . . .	54Ol, 29 пирротин, 10mt, 7пентландит	0	0.6	63.7	35.7
701	739	Пирротиновый перидотит . . . .	60Ol, 22 пирротин, 10mt, 8(Pl, Bi, Hb, sp, ap)	0.9	2.2	60.0	36.9
702	402	Казанскит . . . .	58Ol, 22(mt, sp), 12Pl <sub>ss</sub> , 9Hb	0.9	1.9	61.6	35.6

$a'$	$f'$	$m'$	$c'$	$n$	$\Phi$	$t$	$Q$	$\frac{a}{c}$	п. №	Источник
—	22.0	61.2	16.8	77.1	7.2	4.3	24.4	1.47	678	Tshermak, 1866, [159], 53, 262; [162], 282.
—	39.9	21.7	38.4	66.7	24.4	15.3	25.3	2.0	679	Lacroix, 1900, [47], 826; [44], 165, 387.
—	21.0	78.5	0.5	76.9	2.0	1.0	25.5	0.38	680	Rosenbusch, 1877, [118], 527; [126], 18, 292.
—	17.2	81.1	1.7	81.8	2.6	0.3	26.2	0.23	681	Harker, 1908, [109], 60, 71, 80.
—	19.2	50.4	30.4	70.6	6.2	6.9	28.1	1.76	682	Lacroix, 1916, [44], 163, 257; [44], 156, 177.
—	35.2	49.5	15.3	75.0	22.7	1.7	30.3	0.09	683	Duparc, 1913, [35], 36, 18, 20.
—	20.4	52.4	27.2	69.7	8.9	2.0	31.5	0.91	684	Lacroix, 1933, [33], 20, 197; [35], 41, 64.
—	24.3	30.5	45.2	65.9	10.7	7.9	36.7	1.68	685	Brögger, 1920, [161], 76, 77.
—	15.2	63.0	21.8	69.0	6.3	4.6	40.9	2.0	686	Bowen, 1922, [7], (5), 3, 4, 7.
—	22.2	22.1	55.7	73.6	8.8	7.9	43.8	1.46	687	Stansfield, 1923, [75], 60, 440; [7], (5), 11, 397.
—	51.7	33.8	14.5	63.5	17.4	1.4	46.5	1.68	688	Brögger, 1906, [133], 44, 128; [161], 1933, 78.
—	84.7	10.8	4.5	50.0	58.5	2.1	58.5	0.33	689	Washington и Larsen, 1913, [95], 3, 449, 450.
85.9	4.8	9.3	—	97.1	1.5	1.5	73.8	0.56	690	Hall, 1922, [180], 25, 43, 52.

$Q < -15$ ;  $\frac{a}{c} < 2$ ;  $b > 45$ ;  $a+c < 5$

—	19.4	51.7	28.9	71.4	5.5	1.0	19.5	0.47	691	Duparc и Pearce, 1901, [44], 132, 892; [35], 33, 351.
—	88.9	9.9	1.2	0	34.5	98.1	20.0	—	692	Kolderup, 1896, [20], 5, 178.
—	57.2	3.7	39.1	0	7.2	98.1	22.6	—	693	Watson и Taber, 1909, [37], 430, 206; [162], 310.
—	19.2	62.3	18.5	71.4	7.3	0	22.8	1.33	694	Duparc и Pearce, 1904, [44], 139, 154, 155.
1.8	9.2	89.0	—	66.7	3.3	0	24.0	0.12	695	Delamétherie, 1797, [168], 2, 281; [44], 165, 383.
—	10.5	86.9	2.6	0	4.9	0.3	24.7	0	696	Grubenmann, 1908, [123], 53, 128, 10.
2.1	9.1	88.8	—	0	5.5	0	25.2	0	697	Kretschmer, 1917, [87], 67, 148, 147.
—	53.3	37.2	9.5	100.0	10.1	12.3	25.5	1.8	698	Kobell, 1838, [79], 313; [64], 56, 213.
—	10.1	88.8	1.1	0	1.3	0	25.6	0	699	Verbeek, 1883, [174], 304; [37a], 3, 224.
—	19.0	70.6	10.4	0	11.9	0.3	29.2	0	700	Walker, 1931, [191], 30, 5, 7.
—	27.5	72.0	0.5	83.3	0	0.4	30.2	0.41	701	Bastin, 1908, [91], 16, 124, 134.
0.8	35.2	64.0	—	80.0	10.4	2.1	32.5	0.5	702	Duparc и Grosset, 1916, [148], 106, 107.

№ п.п.	№ Трё- гера	Название	Минералогический состав	<i>a</i>	<i>c</i>	<i>b</i>	<i>s</i>
703	725	Гортонолитовый дунит . . . . .	93Ol <sub>50</sub> , 5Di, 2(Hb, chr, mt, ap)	0.4	0.6	65.5	33.5
704	766	Кумберландит . . . . .	40mt-il, 40Ol <sub>50</sub> , 10Pl <sup>4</sup> <sub>55</sub> , 7serp, 3(sp, ap)	1.0	1.3	65.9	31.8
705	762	Магнетитовый шпи- неллит . . . . .	80ti-mt, 14sp, 5Ol, 1(pr, ap)	0	0.3	86.8	12.9
706	764	Магнетитовый хёг- бомитит . . . . .	88ti-mt, 9 хёгбомит, 3(sp, ap, pr, гидрагиллит)	0	0.2	88.8	11.0
707	763	Магнетитовый ко- рундит . . . . .	83ti-mt, 11Cor, 6(хёгбомит, гидрагиллит, ap, sp, pr)	0	0.4	89.5	10.1
708	771	Хромитит . . . . .	91chr, 8Br, 1(Pl <sub>90</sub> , Bi, ap)	0	0.3	91.0	8.7
709	753	Сёвит . . . . .	74calc, 8(Bi, манганофиллит), 8mt, 8ap, 2(pr, барит)	1.1	1.0	92.2	5.7
710	761	Магнетитит . . . . .	98mt, 3(Pl, Au, Bi, pr, ap)	0	0.3	98.5	1.2
711	758	Раухаугит . . . . .	90 доломит, 8ap, 2(KNafd, pr, барит)	0.4	0.6	97.6	1.4

$a'$	$f'$	$m'$	$c'$	$n$	$\varphi$	$t$	$Q$	$\frac{a}{c}$	№ п. з.	Источник
—	48.0	49.2	2.8	100.0	3.2	0.2	34.4	0.66	703	Wagner и Mellor, 1925, [180], <b>28</b> , 1, 7.
4.5	56.5	39.0	—	87.5	17.1	25.3	39.7	0.77	704	Wadsworth, 1884, [114], <b>11</b> , 80; [7], (4), <b>25</b> , 24.
13.9	77.3	8.8	—	0	44.6	77.7	74.5	0	705	Vogt, 1900, [194], <b>8</b> , 235; [27], <b>15</b> , 312.
10.7	83.6	5.7	—	0	51.0	9.4	78.2	0	706	Gavelin, 1917, [27], <b>15</b> , 310, 312.
0.7	81.0	18.3	—	0	48.0	9.3	80.2	0	707	Gavelin, 1917, [27], <b>15</b> , 307, 312.
30.4	42.6	27.0	—	0	0.7	0	82.9	0	708	Johannsen, 1920, [91], <b>28</b> , 225; [162], 310.
—	12.4	7.9	79.7	16.7	7.8	6.7	91.8	1.1	709	Brögger, 1920, [161], 246, 243.
—	99.2	0.6	0.2	0	65.0	0	97.9	0	710	Johannsen, 1920, [91], <b>28</b> , 225; [126], <b>24</b> , 583.
—	5.6	40.7	53.7	50.0	0	0	98.6	0.67	711	Brögger, 1920, [161], 252, 250.

## УКАЗАТЕЛЬ ГОРНЫХ ПОРОД К ТАБЛИЦЕ В

	№ в табл.	№ Трегера		№ в табл.	№ Трегера
Абсаронит . . . . .	557	271	Аппинит . . . . .	235	
Авгитит . . . . .	503	580	Арапагит . . . . .	689	777
Авезакит . . . . .	679	714	Ариежит . . . . .	376	684
Алексоит . . . . .	700	775	Аркит . . . . .	484	629
Алеутит . . . . .	246	342	Аризонит . . . . .	3	7
Алливалит . . . . .	650	364	Арсоит . . . . .	189	252
Аллохетит . . . . .	482	518	Ассинит . . . . .	202	439
Альбитит . . . . .	161	169	Атлантий . . . . .	590	577
Альбитовый гранит . . . . .	32	20			
" гранофир . . . . .	7	10	Базальтоидный, содали- толовый тефрит . . . . .	533	585
" диабаз . . . . .	185	221	Базальт . . . . .	255	378
" фельзит-пор- фир . . . . .	50	46	Балдит . . . . .	559	640 $\frac{1}{2}$
Альборанит . . . . .	261	127	Банакит . . . . .	312	527
Альгарвит . . . . .	427	610	Бандайт . . . . .	117	158
Альнёйт . . . . .	521	746	Батукит . . . . .	516	647
Альсбахит . . . . .	72	111	Баршовит . . . . .	406	564 $\frac{1}{2}$
Аляскит . . . . .	45	14	Бахиаит . . . . .	386	679
Аляскит натровый . . . . .	63	19	Бебедурит . . . . .	432	692
Амфиболовый перидотит .	699	738	Беербахит . . . . .	372	367
Амхерстит . . . . .	141	294	Бекинкинит . . . . .	576	515
Анабохитсит . . . . .	385	680	Белое габбро . . . . .	226	
Анальцимит-тингуаит . .	391	456 $\frac{1}{2}$	Белоэйлит . . . . .	421	506
Анальцимовый базальт .	544	655	Белугит . . . . .	256	330
" базанит . . . . .	531	599	Бергалит . . . . .	513	662
" диабаз . . . . .	525	602	Березит . . . . .	4	9
" сиенит . . . . .	292	432	Берингит . . . . .	326	231
" тингуаит . . . . .	392	449 $\frac{1}{2}$	Берондрит . . . . .	652	545
" фонолит . . . . .	444	475	Бефорсит . . . . .	438	759
" эсексит . . . . .	346	543 $\frac{1}{2}$	Бештаунит . . . . .	74	95
Андезит . . . . .	223	324	Бигвудит . . . . .	174	163 $\frac{1}{2}$
Андезито-тефрит . . . . .	314	267	Биотитит . . . . .	512	720
Андезинит . . . . .	243	293	Биотитовый альнёйт .	611	747
Андеевиновый базальт . .	339	327	" эвкрит . . . . .	266	362
Андрадитовый сиенит . .	331	225	Биркремит . . . . .	61	15
Анкарамит . . . . .	671	408	Битовнитит . . . . .	270	299
Анкаратрит . . . . .	600	623	Блерморит . . . . .	296	653
Анкаратрит-пикрит . . . .	609	626	Богузит . . . . .	591	565 $\frac{1}{2}$
Анортитовый базальт . .	267	386	Бойит . . . . .	362	309
Анортитовый исит . . . .	661	403	Бонинит . . . . .	152	160
Анортоклазовый базальт .	352	273	Бороланит . . . . .	547	420
Анортоклазовый трахит .	190	209	Бостонит . . . . .	178	171
Антифенит-пегматит . . .	175	173	Боуралит . . . . .	157	195
Антсохит . . . . .	234	147	Брандбергит . . . . .	44	27
Анатитовый пироксенит . .	616	689	Браччанит . . . . .	545	583
Апацит . . . . .	445	466	Бронзитит . . . . .	274	675
Аплитовый гранит . . . .	43	12	Бугит . . . . .	146	131 $\frac{1}{2}$
" гранит ще- лочный . . . . .	13	17	Бухонит . . . . .	589	579
			Бъерезит . . . . .	554	562
			Бъеришент . . . . .	156	205

	№ в табл.	№ Треке- ра		№ в табл.	№ Треке- ра
Вайомингит см. уайомингит					
Валамит . . . . .	247	342 <sup>1/3</sup>	Гренландит . . . . .	378	705
Вебстерит . . . . .	272	678	Гриквант . . . . .	374	716
Везецит . . . . .	613	663	Гринхальгит . . . . .	82	97
Везувит . . . . .	549	582	Грорудит . . . . .	14	62
Вейзельбергит . . . . .	100	155	Даванинит . . . . .	517	702
Венанциг . . . . .	429	672	Дагамит . . . . .	57	30
Веннебергит . . . . .	125	104	Дамкъернит . . . . .	654	499
Верит . . . . .	167	234	Данкалит . . . . .	294	570
Верлит . . . . .	698	734	Дацит . . . . .	105	148
Весбит . . . . .	506	656	Девонит . . . . .	620	315
Весселит . . . . .	588	624	Делленит . . . . .	79	96
Вестервальдит . . . . .	356	579 <sup>1/4</sup>	Цельдорадоит . . . . .	389	412 <sup>1/4</sup>
Ветраллит . . . . .	304	525 <sup>1/2</sup>	Джумаррит . . . . .	658	377
Вибетоит . . . . .	685	711	Диабаз . . . . .	259	390
Виндзорит . . . . .	128	91	Диабазо-спессартит . . . . .	357	320
Витербит . . . . .	305	528	Диаллагит . . . . .	382	681
Вредефордит . . . . .	103	115 <sup>1/2</sup>	Диопсидит . . . . .	273	682
Вогезит . . . . .	350	249	Диорит . . . . .	238	308
Волынит . . . . .	212	339	Диорит-аплит . . . . .	132	312
Воньерит . . . . .	349	109	Дитроит . . . . .	480	427
Вудендит . . . . .	563	272	Домит . . . . .	129	103
Вульзинит . . . . .	198	253	Доргалит . . . . .	345	328
Вульзинито-виноит . . . . .	298	538	Дореит . . . . .	205	268
Выборгит . . . . .	77	80	Драконит . . . . .	133	251 <sup>1/4</sup>
Вэрнсингит . . . . .	207	198	Думалит . . . . .	317	556
Габбро . . . . .	370	348	Дунганонит . . . . .	625	550
Габбро-аплит . . . . .	342	366	Дунит . . . . .	524	724
Габбро-диорит . . . . .	250	331	Дурбахит . . . . .	322	243
Гавайит . . . . .	368	383	Зельбергит . . . . .	483	453
Гаревант . . . . .	694	741	Игольчатый диорит . . . . .	227	316
Гаусбергит . . . . .	451	504	Ийолит . . . . .	487	607
Гаутеит . . . . .	302	245	Ильменитит . . . . .	692	768
Гаюинит . . . . .	604	650	Ильменитовый дунит . . . . .	435	728
Гаюинофир . . . . .	514	649	„ норит . . . . .	381	398
Гаюиновый гориблендит . . . . .	651	710	Иннинморит . . . . .	94	126
„ сиенит . . . . .	397	428	Иогоит . . . . .	324	279
„ трахит . . . . .	478	479	Иоземитит . . . . .	76	84
„ асексит . . . . .	217	543	Исит . . . . .	668	712
Гвардиант . . . . .	311	531	Италит . . . . .	409	627
Гельсиникит . . . . .	214	199	Итсиндрит . . . . .	469	417
Гепторит . . . . .	641	561	Каджарит . . . . .	118	73
Геронит . . . . .	476	516	Казанскит . . . . .	702	402
Гибелит . . . . .	173	211	Кайвекит . . . . .	291	216
Гизит . . . . .	334	589	Калиевый анкарратрит . . . . .	607	625
Гиперит . . . . .	369	354	„ гранит . . . . .	35	53
Гиперстенит . . . . .	338	676	„ нефелинит . . . . .	497	620
Гиперстеновый диабаз . . . . .	252	392	„ спилит . . . . .	581	274
Гирнантит . . . . .	192	219	„ тингуаит . . . . .	281	454
Гистеробаз . . . . .	239	321	Калытонит . . . . .	643	599 <sup>1/4</sup>
Гладкант . . . . .	139	140	Кальцигранит . . . . .	90	83
Гленмуирит . . . . .	582	566 <sup>1/2</sup>	Кальцитовый сиенит . . . . .	279	189
Гойбергит . . . . .	231	281	Каммгранит . . . . .	126	54
Голионеит . . . . .	295	197	Кампанит . . . . .	467	573
Гордунит . . . . .	696	737	Камнерит . . . . .	452	248
Горнблендит . . . . .	674	701	Камптонит . . . . .	575	373
Гартоналитовый дунит . . . . .	703	725	Кампто-спессартит . . . . .	642	322
Гранитовый аплит . . . . .	55	22	Канадит . . . . .	464	484
Гранит-пегматит олиго- клавозовый . . . . .	93	135	Канкарихит . . . . .	120	233 <sup>1/2</sup>
Гранит-плагиоклавозовый . . . . .	87	130	Канкринитовый норд- шнейт . . . . .	411	421 <sup>1/2</sup>
Грано-габбро . . . . .	142	110	Канкринитовый сиенит . . . . .	388	431
Гранодиорит . . . . .	99	107	„ тингуаит . . . . .	398	450
Греблит . . . . .	320	277			
Грейзен . . . . .	9	6			

	№ в табл.	№ Треге- ра		№ в табл.	№ Треге- ра
Канталит . . . . .	22	49	Кохалайт . . . . .	316	289
Канцибит (темная раз- ность) . . . . .	10	878 $\frac{1}{2}$	Крагерёйт . . . . .	58	313
Канцибит (светлая раз- ность) . . . . .	34		Крейгмонтит . . . . .	486	548
Карбонатитовый альянёйт	615	757	Крейгнурит . . . . .	78	98
Карит . . . . .	6	63	Кринанит . . . . .	626	566
Карлштейнит . . . . .	24	56 $\frac{1}{2}$	Кромальтит . . . . .	675	694
Каскадит . . . . .	495	229	Кузелит . . . . .	195	218
Кассант . . . . .	529	519	Кулайт . . . . .	551	578
Катабугит . . . . .	355	308 $\frac{1}{3}$	Куллайт . . . . .	229	288
Катафоритовый трахит .	163	208	Кумберландит . . . . .	704	766
Катунгит . . . . .	434	672 $\frac{1}{2}$	Кумбраит . . . . .	137	125
Катценбукелиит . . . . .	414	446	Кыштымит . . . . .	343	301
Кауайт . . . . .	323	284	Кьюйамит . . . . .	534	565 $\frac{2}{3}$
Каянит (каянит) . . . . .	567	648	Лабрадит . . . . .	258	296
Кахузит . . . . .	102	873 $\frac{1}{2}$	Лабрадоровый андезит	257	340
Кварцевый альбитит . . .	54	25	" порфирит	224	341
" базальт . . . . .	245	151	Лакарпийт . . . . .	282	422
" бианакит . . . . .	191	266	Лланит . . . . .	40	60
" диорит . . . . .	101	131	Ларвикит (Лаурвикит)	303	183
" диоритовый аплит . . . . .	104	137	" акерит . . . . .	135	237
Кварцевый кератофир . . .	68	76	Лардалит (Паурдалит)	455	419
" латит . . . . .	96	100	Латит . . . . .	222	270
" монцонит . . . . .	97	86	Латито-фонолит . . . . .	460	534
" монцонит-ап- лит . . . . .	70	24	Ледморит . . . . .	624	486
" ортофир . . . . .	69	51	Лейдлент . . . . .	108	124
" порфирик . . . . .	112	149	Лейцитит . . . . .	586	643
" порфир . . . . .	47	41	Лейцитовый базанит . . .	564	595 $\frac{2}{3}$
" трахит . . . . .	27	50	" базанит . . . . .	583	595 $\frac{1}{1}$
" чиминит . . . . .	219	255	" бианакит . . . . .	321	541
" эврит . . . . .	8		" кенталленит . . . . .	348	513
Квеллит . . . . .	688	715	" мончинит . . . . .	543	560
Кенинит . . . . .	396	467	" ромбовый порфир . . . . .	468	476
Кенталленит . . . . .	578	260	Лейцитовый санидинит . . .	477	435
Керамикит . . . . .	42	40 $\frac{1}{3}$	" сиенит . . . . .	472	424
Кератофир . . . . .	278	213	" таутирит . . . . .	538	533
" калиевый . . . . .	136	175	" тефрит . . . . .	560	581
" спилит . . . . .	309	220	" тингуаит . . . . .	403	452
" плагиоклав- содержащий . . . . .	301	257	" трахит . . . . .	310	477
Кератоспилит . . . . .	300	220 $\frac{1}{2}$	" фонолит . . . . .	456	471
Керсанит . . . . .	232	317	" шихлунит . . . . .	515	504 $\frac{1}{2}$
" -аплит . . . . .	107	139	" шонкинит . . . . .	492	491
" бронзитовый . . . . .	353	323	Лейцитофибр . . . . .	404	641
" -пегматит . . . . .	213	67	Ленниенорфибр . . . . .	5	11
Кивит (Холмс) . . . . .	561	595 $\frac{1}{4}$	Лерцит . . . . .	649	704
" (Лякруа) . . . . .	594	584	Лердолит . . . . .	695	735
Килит . . . . .	653	554	Лестиварит . . . . .	154	170
Кимберлит . . . . .	619	742	Леувонтеинит . . . . .	199	238
Клаузенит . . . . .	240	338	Лимбургит (Розенбуш)	647	593
Ковит . . . . .	541	485	" (Скитс и Соммерс)	558	
Кодурит . . . . .	351	224	Лимбургит (мурамбитоид)	628	
Козенит . . . . .	436	756	Линдёйт . . . . .	121	33
Конит (Косит) . . . . .	423	500	Линдинозит . . . . .	25	59
Колорадоит . . . . .	131	99	Линоэзит . . . . .	556	381 $\frac{1}{2}$
Комендит . . . . .	19	48	Липарит . . . . .	48	40b
Конга-диабаз . . . . .	143	121	Личфильдит . . . . .	441	415
Конгрессит . . . . .	490	605	Лугарит . . . . .	553	564
Коппаелит . . . . .	574	751	Лузитанит . . . . .	168	222
Корсит . . . . .	268	361	Лундийт . . . . .	122	75
Кортландит . . . . .	670	708	Луталит . . . . .	596	642 $\frac{1}{3}$
Корундовый сиенит . . .	463	186 $\frac{1}{2}$	Луяврит . . . . .	426	607 $\frac{2}{3}$
Косвит . . . . .	691	683	Луяврит . . . . .	390	421
			Люскладит . . . . .	637	544
			Юциит . . . . .	249	335

	№ в табл.	№ Треке- ра		№ в табл.	№ Треке- ра
Магнетитит . . . . .	710	761	Натровый сиенит . . . . .	289	179
Магнетитовый корундит . . . . .	707	763	" суссексит . . . . .	417	463
" норит . . . . .	656	356	" шонкинит . . . . .	509	492
" пегматит . . . . .	158	66	Натролитовый тингуант . . . . .	401	451
" сиенит . . . . .	522	767	фонолит, тефритовый . . . . .	293	526
" хёгбомитит . . . . .	706	764	Науяйт . . . . .	419	635
" шпинеллит . . . . .	705	762	Невадит . . . . .	53	42
Мадейрит . . . . .	672	404	Нельсонит . . . . .	693	770
Мадупит . . . . .	425	645	Нефелинитоидный фоно- лит . . . . .	475	468
Мазанит . . . . .	75	89	Нефелинит . . . . .	602	615
Малинит . . . . .	494	487	Нефелиново-мелилитовая порода . . . . .	485	657
Мальхит . . . . .	153	334	Нефелиновое габбро . . . . .	634	552
Мангерит . . . . .	621	278	Нефелиновый аплит . . . . .	399	441
Манджурит . . . . .	572	592	", базанит . . . . .	585	591
Маржит . . . . .	640	553	", долерит . . . . .	504	616
Мариунит . . . . .	280	416	", монцонит . . . . .	552	510
Маркфильдит (Хач) (Кеннеди и Рид) . . . . .	148	116	", онакит . . . . .	614	660
Маркфильдит-пегматит . . . . .	218	287 <sup>1/4</sup>	", ромбовый порфир . . . . .	458	460
Марлезит . . . . .	315	214	Нефелиновый сиенит пег- матит . . . . .	287	440
Марозит . . . . .	573	262	Нефелиновый тефрит . . . . .	546	576
Мартинит . . . . .	319	569 <sup>1/2</sup>	Нефелиновый тешенит . . . . .	550	563
Марундит . . . . .	690	726	Нефелиновый уачитит . . . . .	595	613
Мархит . . . . .	697	686	", хедрумит . . . . .	286	191
Маседонит . . . . .	215	217	", шонкинит . . . . .	493	490
Мафраит . . . . .	566	285	", гаюиновый алльёйт . . . . .	520	667
Меланитовый уачитит . . . . .	518	722	Нефелиновый олигокла- зовый андезит . . . . .	539	571
Мелилитовый анкаратрит . . . . .	682	670	Нилигонит . . . . .	430	608 <sup>1/2</sup>
", фазинит . . . . .	659	658	Нозикомбит . . . . .	542	507
Мельтейгит . . . . .	502	609	Нозеановий сиенит . . . . .	284	436
Местигмерит . . . . .	648	487 <sup>1/2</sup>	", фонолит . . . . .	408	472
Миаскит . . . . .	454	509	Нонезит . . . . .	359	345
", роговообманко- вый (Меламиаскит) . . . . .	473		Нордмаркит . . . . .	179	185
Микенит . . . . .	471	642	", аплит . . . . .	59	26
Микрогаббро . . . . .	150		", кварцевый . . . . .	123	21
Микротинит . . . . .	140	307	Норсфильдит . . . . .	2	4
Минверит . . . . .	555	235	Нормальный гранит . . . . .	83	85
Минетта . . . . .	330	247	Норит . . . . .	264	355
Миссурит . . . . .	584	631	Норитовый бронзитит . . . . .	383	400
Михарант . . . . .	151	162	Овараит . . . . .	71	40 <sup>1/2</sup>
Миякит . . . . .	262	161	Одинит . . . . .	580	319
Модлибовит . . . . .	610	664	Окаваит . . . . .	73	47 <sup>1/2</sup>
Мойит . . . . .	86	55	Онаит . . . . .	687	661
Мондхальдент . . . . .	221	264	Океанит . . . . .	673	409
Модумит . . . . .	265	298	Оливиновое габбро . . . . .	367	351
Монмутит . . . . .	489	606	Оливиновый базальт . . . . .	364	379
Монтичелитовый альянит . . . . .	686	748	", глиссерит . . . . .	618	721
Монтичеллит-нефелино- вый базальт . . . . .	605	622	", диабаз . . . . .	657	391
Монреалит . . . . .	630	397	", лардалит . . . . .	459	483
Монцонит . . . . .	332	259	", лейцитит . . . . .	424	644 <sub>2</sub>
Мончикит . . . . .	599	374	", лейцитит . . . . .	597	644 <sub>1</sub>
Мунионджит . . . . .	410	456	", мелилитит . . . . .	519	750
Мурамбит . . . . .	344	595 <sup>2/4</sup>	", нефелинит . . . . .	662	617
Мусковадит . . . . .	242	357	", тешенит . . . . .	639	568
Мэнант . . . . .	200	193	", сиенит . . . . .	325	242
Мюдженит (Муджиэрит) . . . . .	329	290	", пасифицит . . . . .	491	385
Мюрит . . . . .	400	501	", ямасынит . . . . .	379	691
Навит . . . . .	237	346	Олигоклазит . . . . .	124	292
Натровая минетта . . . . .	446	227	Ониклонит . . . . .	428	618
Натровый риолит . . . . .	51	47			
", санидинит . . . . .	182	166 <sub>1</sub>			
", санидинит . . . . .	170	166 <sub>2</sub>			

	№ в табл.	№ Треге- ра		№ в табл.	№ Треге- ра
Опдалит . . . . .	127	108	Рафаэлит . . . . .	526	508 $\frac{1}{4}$
Орбит . . . . .	365	336	Рибекитовый гранофибр	18	61
Орвиетит . . . . .	318	540	Риденит . . . . .	603	637
Орданшит . . . . .	447	572	Рикколлетант . . . . .	636	359
Ордоцит . . . . .	155	223	Рингит . . . . .	437	754
Орендит . . . . .	164	478	Риодацит . . . . .	91	118
Орнёйт . . . . .	210	305	Риолит . . . . .	49	40a
Орнёитовый аплит . . . . .	181	168	Рисчоррит . . . . .	402	413 $\frac{1}{4}$
Ортлерит . . . . .	337	287	Риционит . . . . .	655	375
Ортохлаз сиенит . . . . .	177	177	Роговообманковое габбро	373	349
Ортофир . . . . .	180	256	Родингит . . . . .	676	718
Оссипит . . . . .	363	352	Рок'лит . . . . .	17	58
Острайт . . . . .	683	685	Ромбовый порфир . . . . .	209	210
Оттяянит . . . . .	530	583 $\frac{1}{2}$	Ронгстокит . . . . .	535	282
			Роутиварит . . . . .	260	297
Павдит . . . . .	248	333	Рувиллит . . . . .	537	551
Палагонит . . . . .	571	594	Рунит . . . . .	60	38
Палатинит . . . . .	241	343	Руттерит . . . . .	159	178 $\frac{2}{3}$
Пантеллерит . . . . .	26	72	Ружмонтит . . . . .	635	360
Парчеттит . . . . .	327	539 $\frac{1}{4}$	Сабаровит . . . . .	88	130 $\frac{1}{4}$
Пасифицит . . . . .	540	384	Сагвандит . . . . .	387	677
Пегматитоид . . . . .	644		Саналавит . . . . .	244	159
Пегматит . . . . .	52	65	Саксонит . . . . .	617	731
„ цоизито-олиго- хлазовый . . . . .	251	310	Салитрит . . . . .	160	695
Педрозит . . . . .	271	703	Сандылит . . . . .	505	
Пелейт . . . . .	115	157	Санидиновый нефелинит	601	502
Пеникаваарит . . . . .	354	285 $\frac{1}{2}$	Саннаит . . . . .	570	498
Пёртитовый сиенит . . . . .	186	180	Сансит . . . . .	66	52
Пертозит . . . . .	176	164	Санторинит . . . . .	85	154
Пехштейн . . . . .	37	102	Синукит . . . . .	138	123
Пикрит (Чермак) . . . . .	678	698	Святоносит . . . . .	187	188
„ (Розенбуш) . . . . .	680	743	Себастианит . . . . .	631	363
Пикритовый базальт . . . . .	677	410	Сёвит . . . . .	709	753
Пикротешенит . . . . .	565		Селажит . . . . .	194	232
Пиритосалит . . . . .	1	3	Сельбергит см. Зельбер- гит . . . . .	483	453
Пироксенолит . . . . .	633	693	Сельвсберит . . . . .	169	192
Пиромерид . . . . .	38	45	Сёркедалит . . . . .	665	286
Пирротиновый перидотит	701	739	Сесилит (Чечилит) . . . . .	501	671
Питерлит . . . . .	33	79	Сессералит . . . . .	623	350
Плагиаплит . . . . .	230	303	Сиенит . . . . .	203	240
Плагиолипарит . . . . .	39	43	Сиено-габбро . . . . .	532	995
Плагиопегматит . . . . .	297	302	Сканоит . . . . .	569	600
Плагиофир . . . . .	84	120	Слюдяной ийолит . . . . .	416	608
Плагифойяйт-архит . . . . .	496	512	Содалито-нефелиновый сиенит . . . . .	415	425
Плюмазит . . . . .	598	311	Содалитовый гаутейт . . . . .	466	517
Полленит . . . . .	462	470	„ санидинит . . . . .	479	433
Понцит . . . . .	276	174	„ сиенит . . . . .	443	438
Полевошпатовый якупи- рангит . . . . .	606	688	„ сиенит . . . . .	450	430
Porfido rosso antico . . . . .	110	150	„ тингуаит . . . . .	393	447
Порфирит . . . . .	228	325	„ трахит . . . . .	439	481
Порфировый базальт . . . . .	236		Соммайт . . . . .	340	511
„ тахилит . . . . .	254		Спилит . . . . .	347	329
Проверзит . . . . .	308	228	Ставрит . . . . .	380	713
Протеробаз . . . . .	371	394	Сульденит (Зульденит) . . . . .	149	117
Пуласкит . . . . .	299	186	Суссексит . . . . .	418	462
Пульянит . . . . .	361	546	Сциэлит . . . . .	523	706
Пъенаарит . . . . .	166	488	Сэдберит . . . . .	269	393
Пэзанит . . . . .	62	29	Сэрнант . . . . .	395	426
Раабсит . . . . .	422	229 $\frac{1}{2}$			
Рагландит . . . . .	440	549	Тавит . . . . .	413	636
Рапакиви-аплит . . . . .	46	23	Таврит . . . . .	20	74
„ сиенит . . . . .	130	82	Таволатит . . . . .	481	530
Раухаугит . . . . .	711	758	Таитит . . . . .	470	537

	№ в табл.	№ Треге- ра		№ в табл.	№ Треге- ра
Танибушит . . . . .	668	623½	Хайвидит . . . . .	336	237½
Тамаракит . . . . .	508	523	Хакутоит . . . . .	119	77
Тасманит . . . . .	660	607¹/₂	Хамронгит . . . . .	333	146
Таутирит . . . . .	527	532	Харризит . . . . .	681	401
Твейтозит . . . . .	165	226	Хедрумит . . . . .	288	190
Тёллит . . . . .	145	115	Хеймит . . . . .	500	497
Тёнсбергит . . . . .	204	184	Хибинит . . . . .	405	418
Тералит . . . . .	498	514	Хилэрит . . . . .	394	415½
Тералит-диабаз . . .	577	396	Холлант . . . . .	433	699
Тефритовый трахит .	197	524	Холмит . . . . .	666	746½
" фонолит . . . .	449	525	Хортит . . . . .	629	261
Тешенит . . . . .	592	565	Хромитит . . . . .	708	771
Тингуаит . . . . .	407	445	Хумилит . . . . .	285	505
Тирилит . . . . .	80	81	Хурумит . . . . .	134	92
Токент . . . . .	627	407	Хусебьюйт . . . . .	453	508
Толент . . . . .	358	344	Хэзерлит . . . . .	183	182
Тоналит . . . . .	113	132	Чарнокит . . . . .	30	16
Топсайллит . . . . .	528	558	Чельсосит . . . . .	211	275
Тордриплит . . . . .	42	44	Чизлакит . . . . .	233	
Торигиллит . . . . .	488	423	Чиминит . . . . .	328	254
Тосканит . . . . .	98	101	Шаканит . . . . .	313	482
Трахивиконт . . . . .	442	529	Шастант . . . . .	114	156
Трахидацит . . . . .	65	94	Шихлунит . . . . .	307	232½
Трахилипарат . . . .	116	93	Шонкинит . . . . .	562	489
Трахит . . . . .	188	251	Шоренбергит . . . .	412	638
Трахитоидный фонолит .	201	469	Шошонит . . . . .	216	269
Тридимитовый трахит .	92	50½	Шрисхеймит . . . .	608	709
" альборанит . . .	147	151¹/₂	Щелочной базальт . .	593	381
" перальбо-ранит . . . . .	144	151²/₃	" гранит . . . . .	15	56₁
Троктолит . . . . .	360	353	" гранит . . . . .	29	56₂
Трондемит . . . . .	81	129	" плагиофирит . .	341	789½
Турезит . . . . .	510	178½	Щелочной сиенит-пегматит . . . . .	171	194
Турит . . . . .	612	640	Эвергринит . . . . .	64	71
Турьянит . . . . .	511	659	Эвкрит . . . . .	375	358
Тылант . . . . .	632	399	Эвстратит . . . . .	568	521
Тъозит . . . . .	579	495	Эгириновый аplit . .	67	31
Уайомингит (вайомингит)	283	503	" трахит . . . . .	172	207
Уачитит . . . . .	667	405	" фельзит . . . . .	21	28
Угандит . . . . .	587	642²/₃	Эйлизит . . . . .	431	726
Уенит . . . . .	377	368	Энерит . . . . .	16	48
Украинит . . . . .	206	86 ½	Эклогит . . . . .	263	
Ульрихит . . . . .	448	455	Эльсит . . . . .	28	32
Унакит . . . . .	109	70	Эльван . . . . .	41	413
Унгайт . . . . .	36	122	Энгадинит . . . . .	56	13
Ункомпагрит . . . . .	220	745	Энгельбургит . . . .	95	107½
Умпекит . . . . .	196	181	Эпибутигит . . . . .	106	129½
Урбанит . . . . .	275	769	Эпидиорит . . . . .	253	395
Уртит . . . . .	420	604	Эсбоит . . . . .	225	306
Фазибитикит . . . . .	23	64	Эсмеральдит . . . . .	11	5
Фазинит . . . . .	664	611	Эссексит . . . . .	548	542
Фарсундит . . . . .	89	106	Эссексит-акерит . .	208	276
Фарризит . . . . .	499	522	Эссекситовое габбро .	335	283
Фенит . . . . .	277	187	Эссекситовый базаль .	638	382
Фергусит . . . . .	622	628	" диабаз . . . . .	536	601
Фиасконит . . . . .	645	595³/₄	Эстереллит . . . . .	111	143
Финандранит . . . . .	162	178	Этиндит . . . . .	507	619
Флоринит . . . . .	684	406	Эунит . . . . .	646	404½
Фойлит . . . . .	465	414	Ювит . . . . .	474	413
Фонолитоидный содали- товый тефрит . . . . .	457	569	Юконит . . . . .	31	136
Фонолит . . . . .	461	465	Юссит (Юсит) . . . .	306	567
Фонолитовый трахит .	290	212	Якуприангит . . . . .	384	687
Фортунит . . . . .	193	233	Ямаскит . . . . .	669	690
Фурчит . . . . .	366	376			

## СПИСОК ИСТОЧНИКОВ К ТАБЛИЦЕ В

*Жирные цифры отмечают цифрами в прямых скобках на таблицах (стр. 84—147)*

1. Abh. Bayer. Akad. Wiss. M. Ph. Kl. 2. Abh. Naturwiss. Ges. Isis, Dresden. 3. Ac. Roy. Belg. Bull. Cl. Sc. 4. Acta Chem. Min. Phys. 4, 171, Szeged. 5. Afh. Sverig. geol. Unders., Ser. C. 6. Amer. Geol. 7. Amer. J. of Sci. 8. Ann. Mines. Paris. 9. Ann. Rep. Bur. Mines, Toronto [Ontario]. 10. Ann. Rep. Geol. Surv. Arkansas. 11. Ann. Rep. Geol. Surv. Canada. 12. Ann. Rep. Geol. Surv. Texas. 13. Ann. Rep. U. S. Geol. Survey. 14. Ann. Soc. Geol. Belg., Bull. 15. Anz. Akad. Wiss. Krakau, M.—N. Kl., Reihe. 16. Arch. Sci. phys. nat. Genève. 17. Årsb. Sverig. geol. Undersök. 18. Atti R. Accad. naz. Lincei, Rend. Cl. M. N. 19. Atti Soc. Ital. Sci.—nat. Milano. 19a. Beitr. geol Karte Schweiz. N. F. 20. Bergens Mus. Aarb. 21. Bergmänn. J. 22. Ber. Oberhess. Ges. Natur.—u. Heilkunde, Giessen. 23. Bol. Com. Mapa geol. España. 24. Boll. R. Com. geol. Italia. 24a. Boll. Soc. geol. Ital. 25. Bull. Comm. geol. Finl. 26. Bull. Essex Inst. 27. Bull. geol. Inst. Univ. Upsala. 28. Bull. geol. Soc. America. 29. Bull. geol. Soc. China. 30. Bull. geol. Surv. Victoria. 31. Bull. New Zealand geol. Surv. 32. Bull. Serv. Carte geol. France. 33. Bull. Serv. Geol. Indochine. 34. Bull. Soc. Belge Geol. 35. Bull. Soc. franc. Mineral. 36. Bull. Soc. geol. France. 37. Bull. U. S. Geol. Surv. 37a. Bull. Dept. geol. Univ. Calif. 38. Canad. Rec. Sci. 39. Carnegie Publ. 57: Roman comagm. Region. 40. Centrbl. Miner. A. 41. Charakt. d. Felsarten. Heidelberg. 42. Classif. et Caract. min. des roches, Paris. 43. Contrib. Geol. Nordingrō—Region, Upsala. 44. C. R. Acad. Sci., Paris. 45. C. R. Soc. geol. Finl. 46. C. R. Soc. Phys. Hist. nat. Genève. 47. C. R. VIII Congr. geol. Int. 48. Das westl. Südtirol, Berlin. 49. De Natura Fossilium, Basel. 50. Denkschr. k. Akad. Wiss. M.—N. Kl. Wien. 51. Description des Roches, Paris. 52. Descriptive Petrography IV. Chicago. 53. Die Basaltgebilde Stuttgart. 54. Die Gesteinsanalysen, Berlin. 55. Die Insel Celebes, Wiesbaden. 56. Econ. Geol. 57. Elemente der Gesteinslehre. 4 Aufl. 58. Erl. geol. Karte Böh. Mittelgeb. Prag. 58a. Erl. geol Karte Preussen. 59. Erl. geol. Karte Sachsen [Wiesenthal] 2 Aufl. 60. Ertesítő az erdelyi Museumgylet, Orvos—termeszettud Szak. 61. Fennia. 62. Festschr. H. Rosenbusch. Stuttgart. 63. Finska Vetensk.—Soc. Förh. 64. Földt. Közl. 64a. Fol U. S. geol. Surv. 65. Förh—Vidensk.—Selsk. Christiania. Overs. V.—S. Möder. 66. Fortschr. d. Mineral. 67. Geol. Atlas of Chosen. 68. Geogn. Beob. auf Reisen. Berlin. 69. Geogn. Beschr. Land zw. Saar u. Rhein, Nachr. 26. Trier. 69a. Geogn. Beschr. Fichtelgebierge. 70. Geogn. Beschr. ostbayr. Grenzgeb. 349, Gotha. 71. Geogn. Jh. 72. Geognost. Verhältn. Nordkarpathen, 43, Gotha. 73. Geol. Fören. Förh. 74. Geol. Lyonnaise, Lyon. 75. Geol. Mag. 75a. Geol. Rundschau. 76. Geol. Siebenbürg. Wien. 77. Gestein. u. Mineralprovinzen. Berlin. 78. Goldschmidt. Festschr. 85. Heidelberg. 79. Grundz. d. Miner. Nürnberg. 80. Guide XII Congr. geol. Int. 81. Guide VII Congr. geol. Int. 82. Handbuch Oryktognos Heidelberg. 1821. 83. Igneous Rocks. 84. Inaug. Diss. Erlangen. 85. Jahrb. geol. Bundesanst. Wien. 86. Jahrb. Hamburg. wiss. Anst. 87. Jahrb. k.—k. geol. Reichsanst. Wien. 88. Jahrb. Preuss. geol. Landesanst. 89. J. Coll. Sci. Tokyo Imp. Univ. 90. J. Fac. Sci. Hokkaido Imp. Univ. Ser. IV, Sapporo. 91. J. Geol. Chicago. 92. J. geol. Soc. Tokyo. 93. J. Mines. 94. J. Physique 83, 151. 95. J. Washingt. Acad. Sci. 20. 96. Karstens Arch. Mineral. 97. Klass Beschr. versch. Gebirgsarten, 12. Dresden. 98. Lehrbuch d. Petrogr. 99. Litholog. Stud., Cambridge [Mass.]. 100. Lunds. Univ. Aarsskr. 101. Mag. Ges. naturf. Freude. 102. Mag. Naturvidensk. 103. Matemat. termeszettud. Ertesítő. 104. Medd. Grönl. 105. Mem. Acad. Sci. Paris. 106. Mem. geol. Surv. Canada. 107. Mem. geol. Surv. Engl. Explan. Sh. 108. Mem. Geol. Surv. India. 109. Mem. geol. Surv. Scotl. Explan. Sh. 110. Mem. geol. Surv. Scotl. 111. Mem. 3<sub>2</sub>. Geol. Surv. Uganda. 112. Mem. Geol. Surv. Un. Kingdom. 113. Mem. Inst. geol. Univ. Louvain. 114. Mem. Mus. compar. Zoology H. 80, Cambridge. 115. Mem. R. Accad. naz. Lincei. 116. Mem. Soc. Phys. Hist. nat. Geneve. 117. Mikr. Beschr. Min. Gest. Leipzig. 118. Mikr. Phys. 119. Mineral. de Madagaskar. Paris. 1922. 120. Miner. geogn. Reise nach dem Ural, I, Berlin. 1837. 121. Mineral. Mag. 122. Mitt. Bad. geol. Landesanst. 122a. Mon. U. S. geol.

- Survey. 123. Naturf. Ges. Zürich. 124. Natur. Zusammenh. vulkan. Bildung, 125 Braunschweig. 125. Neue Gesellsch. Erzähl. Leipzig. 126. Neues Jahrb. f. Min. etc. 127. New Zealand Gov. Gaz. 128. New. Zealand. J. Sci. Techn. 129. Nomenclature of Petrology, London. 130. Norsk Geol. Tidskr. 131. Notizbl. Ver. Erdk. Darmstadt. 132. Nouv. Arch. Mus. Hist. nat., Paris. Anm. 133. Nyt. Mag. Naturvid. 134. Oorspr. en Samenst. Transv. Neph.—syenieten, Den Haag. 135. Palaolith. Eruptivgest. Fichtelgeb. München. 136. Petr. geol. Invest. cert. Transvaal Norites. London. 137. Petr. Praktikum. 2 Auf. Leipzig. 138. Petrology. London. 139. Poggendorf's Annal. Phys. Chem. 140. Proc. Australas. Assoc. Adv. Sci. f. 105. 141. Proc. k. Akad. Wetensch. Amsterdam. 142. Proc. Linnean Soc. N. S. Wales. 143. Proc. Liverpool geol. Soc. Cope—Mem. v. 79. 144. Proc. nat. Acad. Sci. U. S. A. 145. Proc. R. Soc. N—S—Wales. 146. Prof. Pap. U. S. Geol. Surv. 147. Quart. J. Geol. Soc. London. 148. Recherches geol. petr. Distr. minier Nicolai—Pawda. Paris & Genf. 149. Recherches geol. et petr. Laccol. Piatigorsk. Genf. 150. Rec. geol. Surv. India. 151. Reise durch Norwegen u. Lappland. I. 106. Berlin. 152. Relaz. alc. Viaggi in div. Parti d. Toscana 2,2 Aufl. 432, Firenze. 153. Rend. R. Accad. naz. Lincei. 154. Rend R. Accad. Sci. fis. mat. Napoli. 3,38. 155. R. Acad. Sci. Inst. Bologna. 155a. Roman. Comagmat. Region (Washington). 156. Schlern-Schriften; Veröff. Landesk. Südtirol, 11. 157. Schweiz. min. petr. Mitt. 158. Sb. Heidelberg. Akad. wiss. M. N. Kl. 159. Sb. k. Akad. Wiss. Wien. M.—N. Kl. 111. 160. Sb. k. Bayer Akad. Wiss. München. 1872, 203. 161. Skr. Vidensk. Selsk. Kristiania, M. N. Kl. 162. Spez. Petr. der Eruptivgesteine Ein Nomenklatur-Kompendium. 163. Submar. vulk. Ausbrücke d. Val. di Noto. 34. 164. Summ. Progr. geol. Surv. Great Britain. 165. Suomen geol Yleiskartha, Lehti D, Savonlinna. 166. Surv. Rep. Volkanoes of Manchuria I; Ryoung Coll. of Engin Manchuria. 166a. Sverig. Vetensk. Akad. Handl. 167. Textbook of Petrology. London, 5 edit. 168. Theorie de la Terre, 2 edit. 2. Paris. 169. The ore Magmas. New-York. 1923. 170. Trab. Mus. Nac. Ci. nat. Madrid. Ser. geol. 171. Traité de Geognos, 2,146 Strassbourg. 172. Traité elem. de Miner. Paris. 173. Traité des Roches, Paris et Besançon. 174. Topogr. geol. Beschr. Sumatra's westkust 304, Batavia. 175. Topogr. Ubers. Rhein-dept. 54, Strassburg. 176. Trans. Amer. Inst. Mining Ingen. 177. Trans. geol. Soc. Edinburgh. 178. Trans. geol. Soc. Glasgow. 179. Trans. geol. Soc. London. 180. Trans. geol. Soc. S. Afr. 181. Trans. New. Zealand Inst. 58, 553. 182. Trans. R. Irish. Acad. 183. Trans. R. Soc. Canada Sekt. 4. 184. Trans. R. Soc. Edindburgh. 185. Trans. Roy. Soc. S-Austral. 186. Trans. seismolog. Soc. Japan. 187. Trans III. Acad. Sci. 188. Tschermak's min. petr. Mitt. 189. Ueber d. Bildung d. Harzgeb. 18. Göttingen. 190. Univ. Calif. Publ. Bull. Dept. Geol. 191. Univ. Toronto Stud. Geol. Ser. 30,5. 192. Z.-Deutsch. Geol. Ges. 193. Z. Krist. 194. Z. Prakt. Geol. 8, 235. 195. Z. Vulkanol. Erg. Bd. 196. Зап. Мин. об-ва. 197. Изв. Имп. Акад. Наук, V серия. Петроград. 198. Изв. Политехнического ин-та. XIII. СПб. 199. Каталог геогн. музея при Кавк. минер. водах, 1866, стр. 43. 200. Международный геологич. конгресс, XVII сессия. 201. Отчет Геол. Комит. за 1923. 202. III Съезд русских естеств. в Киеве 203. Тр. геол. музея Ак. Наук СПб 204. Тр. Ин-та по изуч. севера. 205. Тр. Мин. ин-та АН СССР. 206. Тр. ПЕТРИН, АН. 207. Тр. СОИС, сер. Кольская. 208. Хибинские апатиты.

# ОГЛАВЛЕНИЕ

*Стр.*

Предисловие . . . . .	3
 Вводная часть	
Предварительные замечания . . . . .	5
Система американской количественной классификации . . . . .	8
Вычисление виртуального состава или нормы . . . . .	10
Символ состава и схема классификации CIPW . . . . .	13
Простейшая числовая характеристика химических составов горных пород в виде групп не более чем трех отношений . . . . .	17
Предлагаемый способ образования числовых характеристик . . . . .	18
О рациональной форме числовых характеристик . . . . .	21
Порядок подсчета числовой характеристики . . . . .	24
Обратное вычисление состава по числовым характеристикам . . . . .	27
Построение диаграммы химических составов и ее свойства . . . . .	28
Диаграмма, представляющая основные характеристики . . . . .	29
Частные диаграммы дополнительных характеристик . . . . .	33
Общая диаграмма числовых характеристик . . . . .	34
Выражение на диаграмме главных особенностей химизма горных пород . . . . .	35
Изображение химизма серий горных пород . . . . .	39
 Таблицы:	
I. Таблицы для вычисления молекулярных количеств окислов из весовых процентов . . . . .	43
II. Таблицы для перехода от суммы $A + C + B + S$ , равной от 1000 до 2000, к сумме $a + c + b + s$ , равной 100 . . . . .	51
III. Таблицы для вычисления весовых процентов содержания разных минеральных молекул по их молекулярным количествам . . . . .	57
IV. Числовые характеристики химических составов разных типов изверженных горных пород . . . . .	68
Таблица А. Химические составы и числовые характеристики средних типов изверженных горных пород по Дэли . . . . .	71
Таблица В. Числовые характеристики горных пород, получивших особое название от описавших их авторов . . . . .	79
Схема классификации химических составов по признакам, определяемым из числовой характеристики . . . . .	80
Условные обозначения минералов . . . . .	82
Указатель горных пород к табл. В . . . . .	148
Список источников к табл. В . . . . .	154

## Приложения:

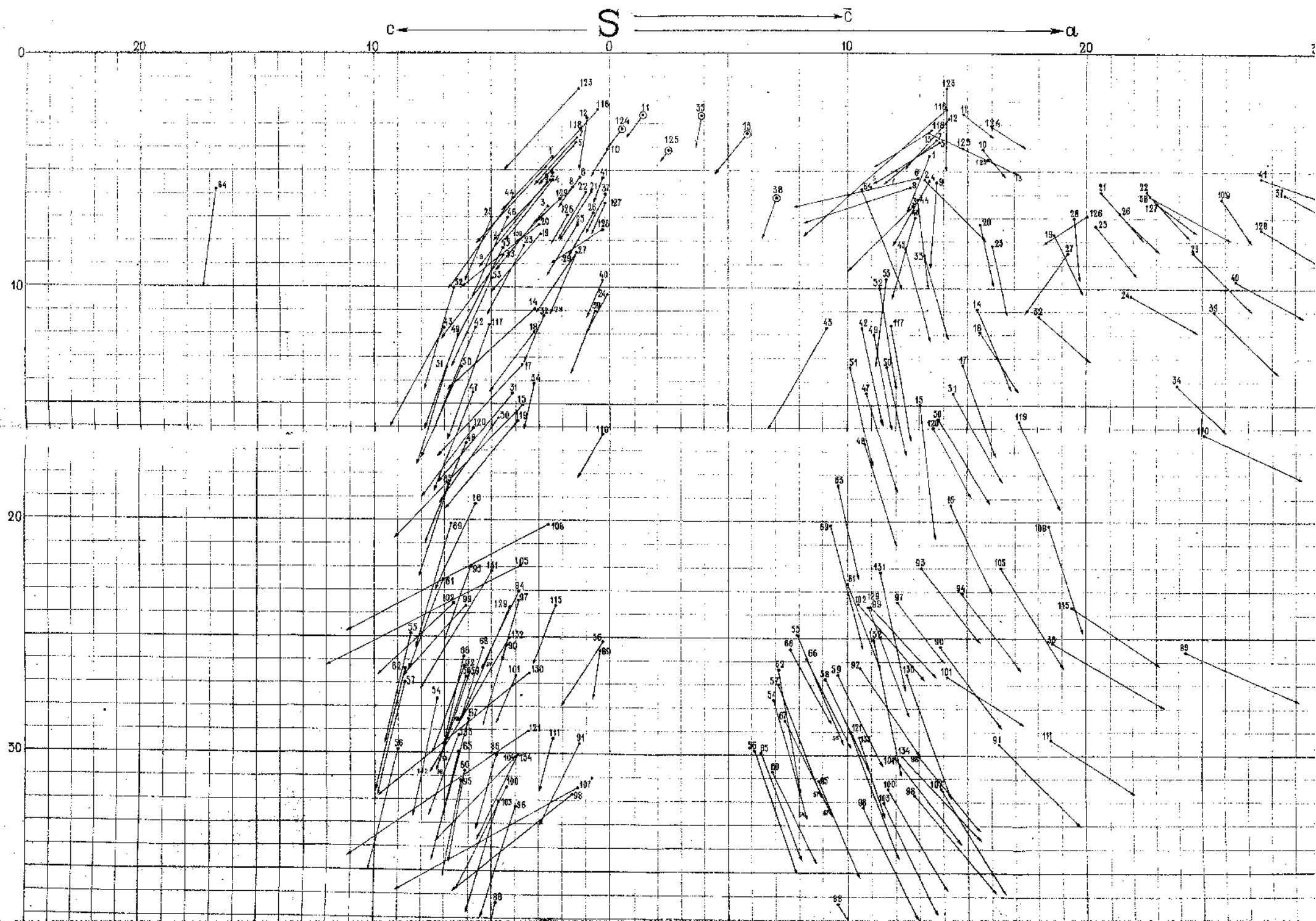
- Диаграмма средних типов изверженных горных пород по Дэли (к табл. А)
- Диаграмма типов изверженных горных пород, получивших особые названия от авторов (к табл. В)

## ОПЕЧАТКИ

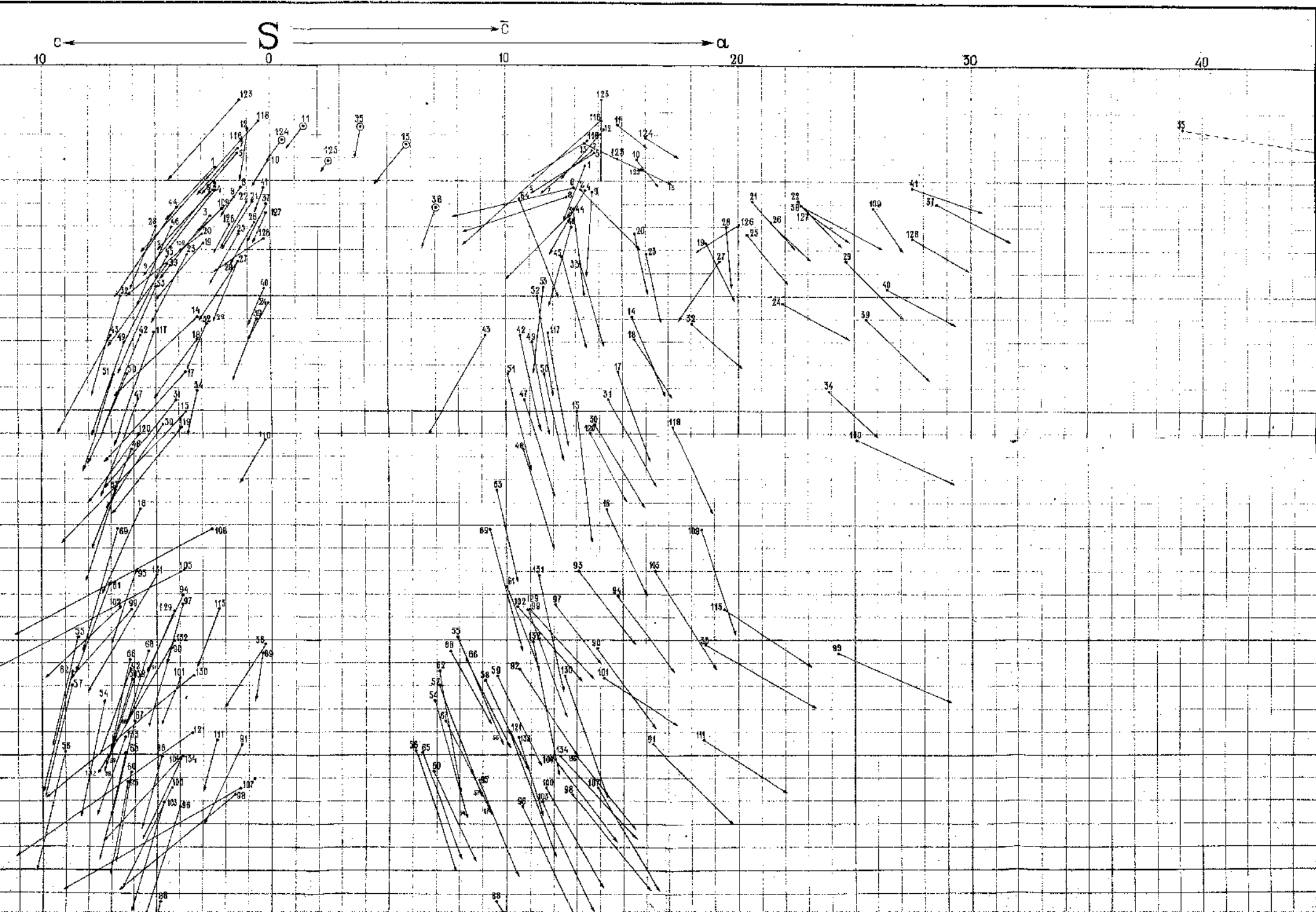
Стр.	Строка	Напечатано	Следует
5	1—3 снизу	Следует переставить подстрочные примечания	
8	18 сверху	состава этих	состава посредством этих"
10	5 снизу	<i>th</i>	<i>tn</i>
11	22 сверху	избыток по	избыток Na <sub>2</sub> O по
24	3 снизу	[читать так:]	$a = \frac{100 \cdot A}{N}$ ; $c = \frac{100 \cdot C}{N}$ ;
			$b = \frac{100 \cdot B}{N}$ ; $s = \frac{100 \cdot S}{N}$
28	13 снизу	$\frac{N}{1000} : 100 = 100 : 100$	$\frac{N}{1000} : 100 = 100 : 100$ <i>и,</i>

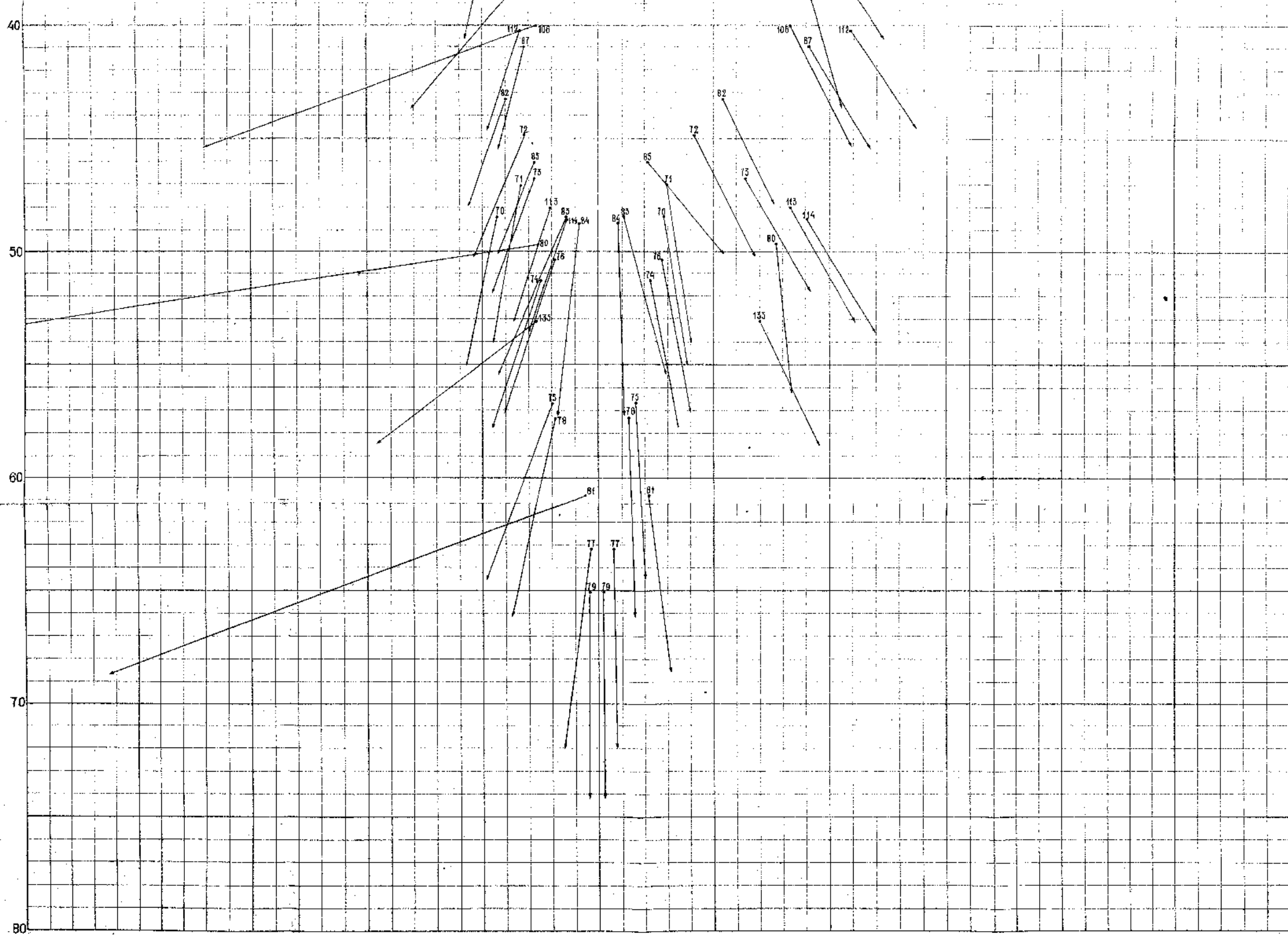
Акад. А. Н. Заварицкий. „Пересчет химич. анализов изверженных горных пород“  
Зак. 355. А. Н. Заварицкий

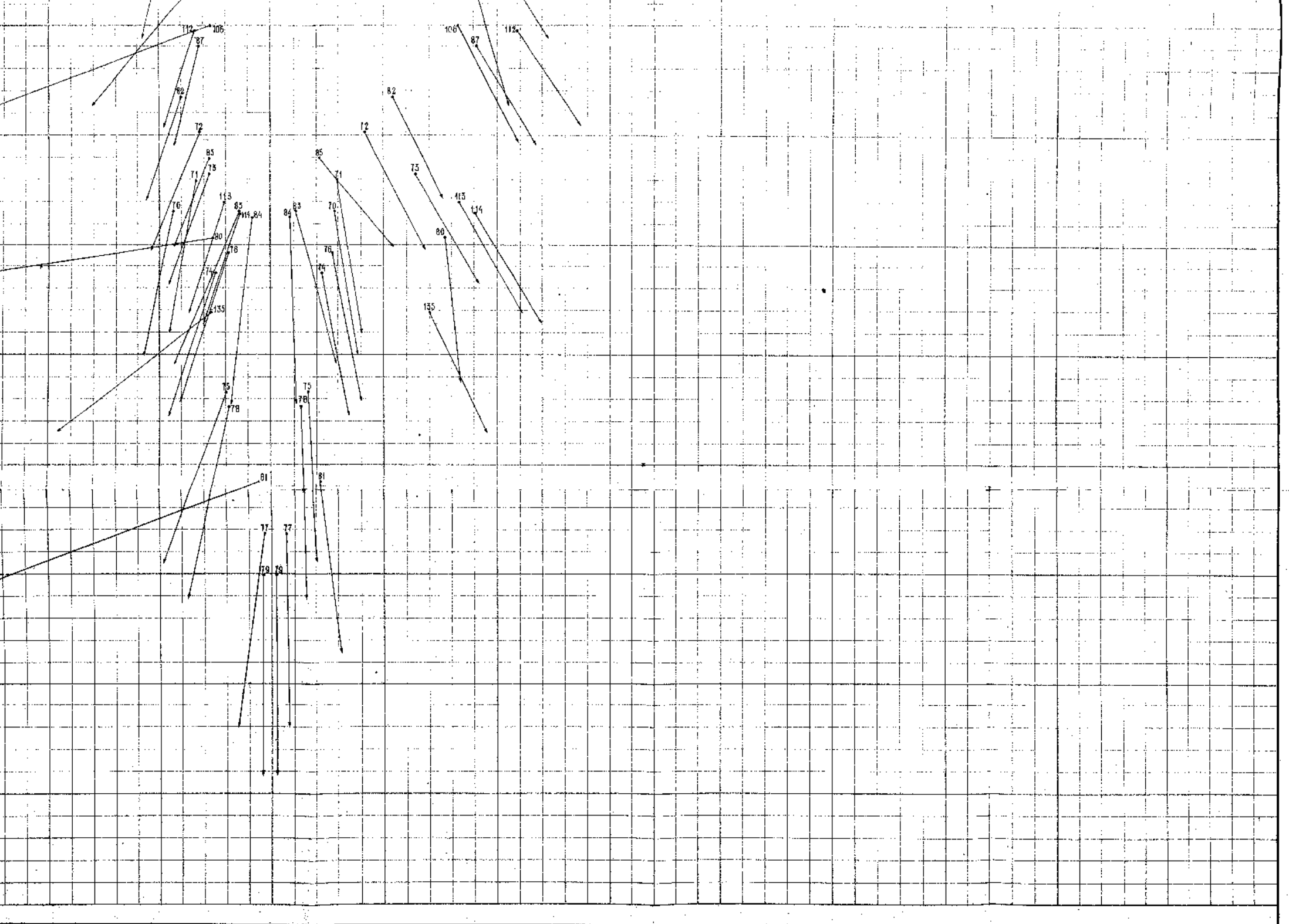
1. Диаграмма средних типов изверженных горных пород по Дэли (к табл. А).



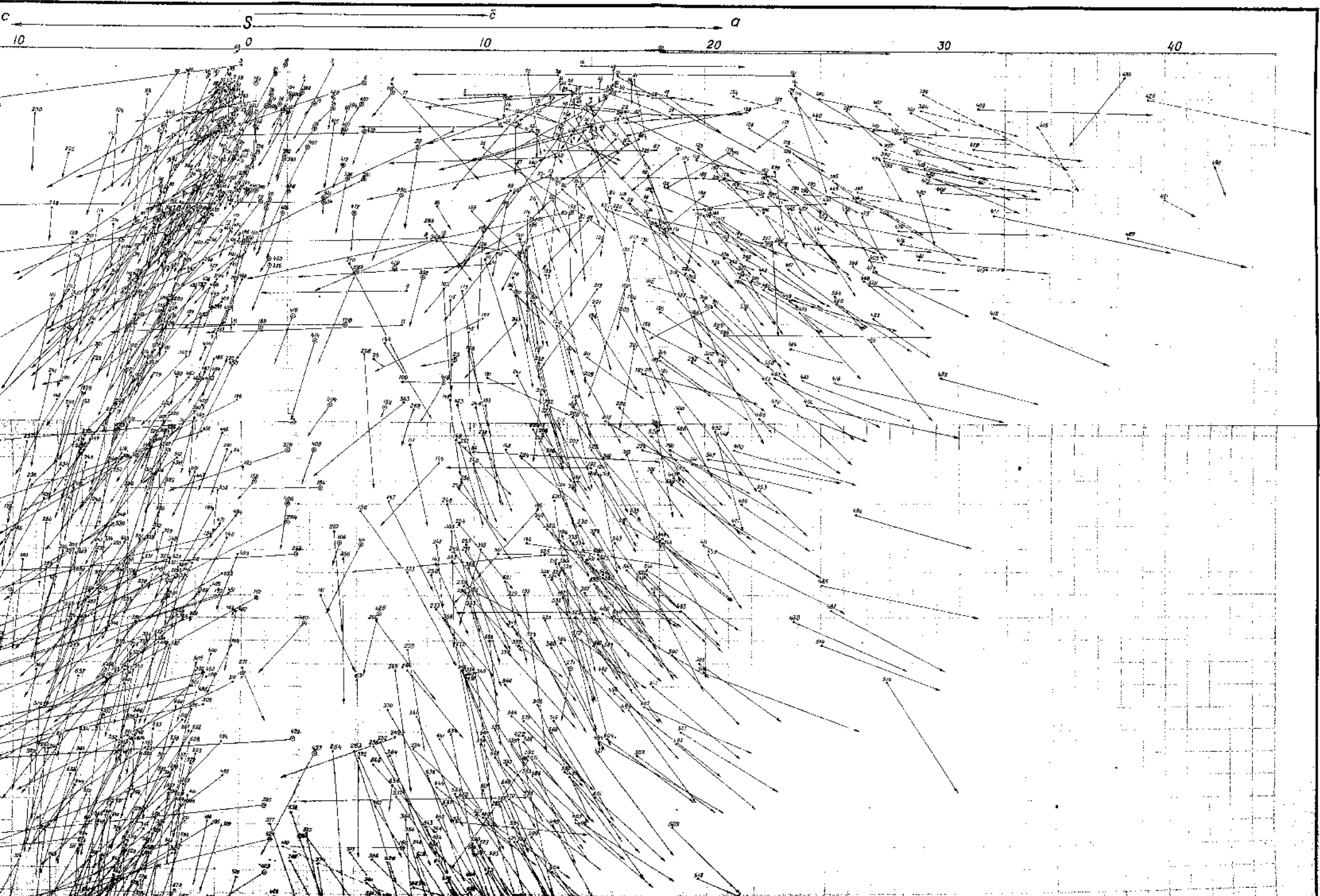
1. Диаграмма средних типов изверженных горных пород по Дэли (к табл. А).







2. Диаграмма типов изверженных горных пород, получивших особое название (к табл. В).



2. Диаграмма типов изверженных горных пород, получивших особое название (к табл. В).

